

109-010-7B57

MOTC-IOT-108-H3DA001c

# 臺灣東部近岸港口外廓配置對 毗鄰海灘沖淤之影響評估



交通部運輸研究所

中華民國 109 年 2 月

109-010-7B57

MOTC-IOT-108-H3DA001c

# 臺灣東部近岸港口外廓配置對 毗鄰海灘沖淤之影響評估

著 者：莊文傑

交通部運輸研究所  
中華民國 109 年 2 月

臺灣東部近岸港口外廓配置對毗鄰海灘沖淤之影響評估

交通部運輸研究所

GPN: 1010900161

定價:300 元

國家圖書館出版品預行編目(CIP)資料

臺灣東部近岸港口外廓配置對毗鄰海灘沖淤之影響評估 / 莊文傑著. -- 初版. -- 臺北市 : 交通部運研所, 民 109.02  
面 ; 公分  
ISBN 978-986-531-086-8(平裝)

1. 港埠管理

557

109000056

臺灣東部近岸港口外廓配置對毗鄰海灘沖淤之影響評估

著 者：莊文傑

出版機關：交通部運輸研究所

地 址：10548 臺北市敦化北路 240 號

網 址：[www.ihmt.gov.tw](http://www.ihmt.gov.tw) (中文版>中心出版品)

電 話：(04)26587185

出版年月：中華民國 109 年 2 月

印 刷 者：

版(刷)次冊數：初版一刷 60 冊

本書同時登載於交通部運輸研究所港灣技術研究中心網站

定 價：300 元

展 售 處：

交通部運輸研究所運輸資訊組•電話：(02)23496880

國家書店松江門市：10485 臺北市中山區松江路 209 號 F1•電話：(02) 25180207

五南文化廣場：40042 臺中市中山路 6 號•電話：(04)22260330

GPN : 1010900161

ISBN : 978-986-531-086-8 (平裝)

著作財產權人：中華民國（代表機關：交通部運輸研究所）

本著作保留所有權利，欲利用本著作全部或部分內容者，須徵求交通部運輸研究所書面授權。

# 交通部運輸研究所自行研究計畫出版品摘要表

出版品名稱：臺灣東部近岸港口外廓配置對毗鄰海灘沖淤之影響評估			
國際標準書號（或叢刊號） ISBN 978-986-531-086-8 (平裝)	政府出版品統一編號 1010900161	運輸研究所出版品編號 109-010-7B57	計畫編號 108-H3DA001c
主辦單位：港灣技術研究中心 主管：蔡立宏 計劃主持人：莊文傑 研究人員：莊文傑 參與人員：蔡世璿、傅怡鉤、陳正義 聯絡電話：(04)26587185 傳真號碼：(04)26564415			研究期間 自 108 年 02 月 至 108 年 11 月
關鍵詞：碎波、碎波帶、離岸堤效應、突堤效應、海灘沖淤、港口淤塞、臺灣海岸防護			
<b>報告內容重點摘要：</b>			
<p>本研究所稱之「近岸港口」，係指港口之外廓防波堤或航道出口，係座落於碎波帶內或位於內灘者。主要研究目的在探討並評估臺灣東部近岸港口外廓配置對毗鄰海灘之沖淤影響。</p>			
<p>臺灣環島的近岸港口，大多為規模不大、航道水深較淺的漁港，為防制颱風與季風波浪之侵襲，保持港域之靜穩，經常會在平行及垂直海岸方向，構築防波堤之外廓防浪設施，但是在過於著重防浪功能、急切擴增港域面積及講究泊地靜穩度情況下，外廓防波堤之配置或擴建，因而普遍具有突堤及離岸堤之混合型式，以致外廓防波堤，除了防浪外，將附帶衍生近岸灘區輸沙平衡之改變，最終，若此些具有防護海灘侵蝕之防波堤設施座落在漂沙最活躍之碎波帶內，則勢必將因近岸灘區不均勻的強烈波浪作用與輸沙沈積之嚴重失調，進而造成毗鄰海灘的嚴重沖蝕及港口與航道之嚴重淤塞。</p>			
<p>近岸港口淤塞與毗鄰海灘沖蝕，是波浪、漂沙與港口外廓配置的交互干擾課題。本研究依據臺灣東部長濱漁港、金樽漁港及大武漁港港口航道淤塞與毗鄰海灘沖蝕之特性，研判主要的影響因素，含括具時、空變動性暴潮巨浪(約大於 1.5 m)在沖刷帶上之強勁衝擊流作用、具不定常且非均勻性海灘坡度與碎波型態之改變及海岸防護設施與港口外廓配置規模持續擴展等三項。關鍵機制則是碎波帶內波浪對港口外廓配置之直接衝擊流所引致「離岸堤效應」與「突堤效應」之複合作用。</p>			
<p>對於臺灣東部近岸港口外廓配置對毗鄰海灘之沖淤影響範圍，經應用 Google Earth 檢視歷年港口灘區之影像，再結合應用岬頭控制與經驗化岬灣海灘(Hsu &amp; Evans, 1989)進行綜合分析評估後，可研判在「離岸堤效應」與「突堤效應」之控制影響下，波浪衝擊作用對與港口毗鄰海灘之沖淤影響範圍，概約可達外防波堤(離岸堤)或內防波堤(突堤)堤頭離岸距離的 2 倍。又確認在港口外廓配置影響範圍內，受通過外防波堤堤頭繞射波的強力衝擊，海灘通常會自然形成岬灣，惟因近岸卓越波浪的時、空變異性，以及隨著近岸港口擴展與沿岸輸沙沈積所造成港口地形水深之變化影響，致使鄰近岬頭之波浪繞射點具有變動性，所以，毗鄰港口外廓配置之岬灣海灘，實際皆是動態的，且長久穩定的靜態岬灣海灘，其存在性是不可期待的。儘管如此，經驗化岬灣海灘之應用，可依據既有動態岬灣海灘以判定岬頭繞射點(上游控制點)、海灘受波浪衝擊之最大影響距離(下游控制點)及通過岬頭繞射點之卓越入射波向。</p>			
<p>對於近岸港口航道淤塞與毗鄰海灘沖蝕之防治對策，建議可採行之通用綜合措施包括：無論是在規劃、設計、擴建、維護及清淤疏浚階段，皆應著重於「突堤效應」及「離</p>			

岸堤效應」之評估，藉以確實避免或有效降低其影響；對於前灘地形水深與海灘坡度對波浪繞射與碎波型態的時空變動性，應配合現場調查並採用數值模擬技術，廣泛詳實進行研究，特別是掌握近岸灘區卓越波浪之衝擊作用力及波浪對漂沙的輸運作用；擴展港口外廓配置規模，外防波堤應盡採用可有效減緩波浪衝擊及順應漂沙輸運之圓弧型態，而內防波堤，特別應著重於轉移原存在於外防波堤岬頭之波浪繞射點，並利用「突堤效應」，防制因「離岸堤效應」在堤後發展所衍生之衝擊環流以及直接向港口及航道輸運之漂沙；對於既有港口外廓配置所衍生之「離岸堤效應」，可參考國內、外施行減量工程之成功案例，就其外防波堤之總長度及離岸距離，配合離岸堤之設計與配置經驗準則，作適度限縮，藉以抑制「離岸堤效應」之發展，排除堤後繫岸沙洲或沙舌海灘之營造規模。

檢選大武漁港做為臺灣東部近岸港口之代表，針對其外廓防波堤配置所造成之「離岸堤效應」及因而衍生之港嘴航道淤塞與毗鄰海灘沖蝕，本研究綜合近岸波浪與漂沙及結構物間的交互作用及關鍵影響機制之研判分析，建議最經濟之防治對策且規模最小之改善措施，係將內防堤，比照港口南側新建突堤之拋石形式與圓弧型態，將既有配置向南作適度延伸約 120 公尺至 -5 米等深線，藉以降低及減小外防波堤所造成之「離岸堤效應」，並轉移現況伴隨「離岸堤效應」而存在於外防波堤岬頭之波浪繞射點，同時可應用「突堤效應」，截斷與導引外防波堤後側營造繫岸沙洲之波浪沖擊流，並攔阻直接向港口及航道輸運之漂沙，藉以大幅減少長期性之港口淤沙疏浚。

#### 研究成果之效益：

- (1) 學術成就(科技基礎研究)方面：發表國內研討會論文 2 篇，出版研究報告 1 冊。深切分析檢討臺灣東部近岸港口既存之沖淤機制與型態，提出「離岸堤效應」，確認造成近岸港口淤塞之關鍵因素，並評估與港口毗鄰海灘之沖蝕影響。結合海岸專業知識，溫故知新，學以致用；
- (2) 技術創新(科技整合創新)方面：結合網際網路資源，應用 Google Earth 之歷史圖像，提升掌握科研課題之廣度與深度，擴展分析觀點，精進海岸經理評估策略，降低生態環境衝擊，促成國家海岸資源之永續利用；
- (3) 在經濟效益(經濟產業促進)方面：配合政府推展「海岸管理法」之永續發展目標，因應海岸防災效能，撙節經常性防沖減淤之減災與救災成本，大量減少長期性港口淤沙疏浚之維運費用；
- (4) 在社會影響(社會福祉提升、環保安全)方面：配合「整體海岸管理計畫」，綜整海岸管理之課題與對策、導引海岸地區之有效維護措施，推展海岸利用方向，健全海岸之永續管理，改善近岸港口之經常性淤塞，消弭漁民對出海作業不便之怨言；
- (5) 在其它效益(政策管理及其它)方面：維繫自然平衡之海灘系統，確保自然海岸零損失，因應氣候變遷，防治海岸災害與環境破壞，保護與復育海岸資源。

#### 可供本所或其他政府機關後續應用情形：

本研究結合網際網路資源，應用 Google Earth 之歷史圖像，提升掌握科研課題之廣度與深度，擴展分析觀點，發揮海岸專業學能，溫故知新，學以致用，歸納近岸港口外廓配置型態，研判其對毗鄰海灘之沖淤影響與範圍，具體建議對於近岸港口之防沖減淤對策，無論是在規劃、設計、擴建或維護階段，皆應著重於「突堤效應」及「離岸堤效應」之避免或降低，特別是對外廓防波堤之既有配置，施行長度減量工程，或適度延長港口內防波堤之長度，藉以有效阻絕離岸堤堤後沙舌或繫岸沙洲之衍生，進

而可大量減少長期性港口淤沙疏浚之人力與物力投注。相關成果可提供行政院農委會漁業署、交通部、各港務分公司、內政部、經濟部水利署、各工程顧問公司等相關產、官、學、研單位從事海岸開發、港灣規劃、設計、擴建及維護的應用參考。推動並落實總體性之海岸保育與防災策略，撙節年度防沖減淤經費之投注。

出版日期	頁數	定價	本出版品取得方式
109 年 2 月	320	300	凡屬機密性出版品均不對外公開。普通性出版品，公營、公益機關團體及學校可函洽本所免費贈閱；私人及私營機關團體可按定價價購。
機密等級：			
<input type="checkbox"/> 密 <input type="checkbox"/> 機密 <input type="checkbox"/> 極機密 <input type="checkbox"/> 絕對機密 (解密條件： <input type="checkbox"/> 年 月 日解密， <input type="checkbox"/> 公布後解密， <input type="checkbox"/> 附件抽存後解密， <input type="checkbox"/> 工作完成或會議終了時解密， <input type="checkbox"/> 另行檢討後辦理解密)			
<input checked="" type="checkbox"/> 普通			
備註：本研究之結論與建議不代表交通部之意見。			



**PUBLICATION ABSTRACTS OF RESEARCH PROJECTS**

**INSTITUTE OF TRANSPORTATION**

**MINISTRY OF TRANSPORTATION AND COMMUNICATIONS**

**TITLE:** The assessments of harbor entrance siltation and adjacent beach erosion induced by the inshore harbor configurations in the eastern coasts of Taiwan.

ISBN (OR ISSN) 978-986-531-086-8 (pbk)	GOVERNMENT PUBLICATIONS NUMBER 1010900161	IOT SERIAL NUMBER 109-010-7B57	PROJECT NUMBER 108-H3DA001c
DIVISION: HARBOR & MARINE TECHNOLOGY CENTER DIVISION DIRECTOR: Tsai Li-Hung PROJECT ADVISOR: Juang Wen-Jye PRINCIPAL INVESTIGATOR: Juang Wen-Jye PROJECT STAFF: Tsai Shih-Hsuan, Fu Yi-Chuan, Chen Cheng-Yi PHONE: 04-26587185 FAX: 04-26564415			PROJECT PERIOD FROM February 2019 TO November 2019

**KEY WORDS:** Wave Breaking, Surf Zone, Detached Breakwater Effects, Groin Effects, Beach Erosion and Deposition, Harbor Entrance Siltation, The Coast Protection in Taiwan.

In this study, the inshore harbors indicate that the harbors are located inside the surf zone and could be further implied to the fishery ports of which the depth at entrance is less than -6.0 m. Due to the sediment is highly activated in surf zone, most of the entrance as well as the navigation channel of the inshore harbors have encountered serious silt problems. The purpose of this study therefore focused on investigating the decisive causes associated with proposing the control countermeasures.

Applying the Google Earth and reviewing the history images of inshore harbors in Taiwan, we find that the entrance layouts of inshore harbors, which required to defend both of the monsoon and typhoon waves and to ensure superior shelter basins, could be roughly divided into two categories: one is the groins configuration located on the western coast, the other is the detached breakwater configuration located on the eastern coast. With further reviewing the possible impact factors from marine environments and analyzing the erosion and deposition characteristics presented on the shorelines adjacent to inshore harbors, we conclude that the critical causes related to the entrance silts include: (1) the inconsistent impacts from storm tides and high monsoon waves, (2) the flexible beach slopes and nonstationary wave breaking so as to the breaker types, and (3) the special lee side deposition effects derived from the groin and the detached breakwater configuration. Among the critical causes, the detached breakwater effect is worth special mention. For in the shielding zone behind a detached breakwater a salient and even tombolo could be generated. So when the outer breakwater layout of inshore harbors that were planned or extended to be with the configuration of a detached breakwater, serious silt up at entrance should occur.

To reduce and to reconcile the serious silt up status occurred at entrance, the proposed crucial control countermeasures are paying highly attention and keeping serious concern on both of the “groin effects” and the “detached breakwater effects” during the stages of planning, extending, and even ordinary maintaining. The decisive strategies raised in this study are: (1) investigating the inshore topography in detail and adapting the beach slope effects as well as the breaker types to fully master the various wave breaking impacts, (2) altering straight and right angle configuration of the shoreline-vertical outer breaker and adopting circular layouts to reduce and reconcile the groin effects, (3) limiting the length of the shoreline-parallel outer breaker to confine and diminish the detach breakwater effects, (4) executing the reduction engineering to the outer breakers which has been over extended to be the configuration of detached breakwater.

DATE OF PUBLICATION February 2020	NUMBER OF PAGES 320	PRICE 300	CLASSIFICATION <input type="checkbox"/> RESTRICTED <input type="checkbox"/> CONFIDENTIAL <input type="checkbox"/> SECRET <input type="checkbox"/> TOP SECRET <input checked="" type="checkbox"/> UNCLASSIFIED
--------------------------------------	------------------------	--------------	--

The views expressed in this publication are not necessarily those of the Ministry of Transportation and Communications.



# 臺灣東部近岸港口外廓配置對毗鄰海灘沖淤之 影響評估

## 目 錄

中文摘要 .....	I
英文摘要 .....	IV
目 錄 .....	V
圖目錄 .....	VIII
表目錄 .....	XXII
第一章 緒論 .....	1-1
1.1 研究緣起 .....	1-1
1.2 文獻回顧 .....	1-3
1.3 工作項目 .....	1-11
1.4 研究成果之效益與應用 .....	1-12
1.4.1 研究成果效益 .....	1-12
1.4.2 在業務施政上的應用 .....	1-13
第二章 臺灣海域的海氣象環境 .....	2-1
2.1 地形水深 .....	2-1
2.2 風與波浪 .....	2-1
2.2.1 風 .....	2-1
2.2.2 波浪 .....	2-8
2.3 潮汐與潮流 .....	2-31

2.3.1 潮汐 -----	2-31
2.3.2 潮流 -----	2-36
2.4 海流.....	2-42
2.5 河川 .....	2-49
2.6 水下沙體與輸沙潛勢 .....	2-52
2.6.1 水下沙體 -----	2-52
2.6.2 輸沙潛勢 -----	2-56
<b>第三章 臺灣環島海岸與近岸港口.....</b>	<b>3-1</b>
3.1 臺灣環島海岸概況 .....	3-1
3.1.1 海岸自然度 -----	3-1
3.1.2 海岸型態 -----	3-4
3.1.3 海岸沖淤概況 -----	3-5
3.1.4 海岸侵淤原因 -----	3-27
3.1.5 既有海岸防護設施 -----	3-31
3.2 臺灣環島之近岸港口 .....	3-43
3.2.1 近岸港口之現況配置 -----	3-48
3.2.2 近岸港口之沖淤調查 -----	3-85
<b>第四章 近岸港口淤塞機制與毗鄰海灘沖蝕防治對策 .....</b>	<b>4-1</b>
4.1 近岸港口之沖淤系統與機制分析 .....	4-1
4.1.1 時空變動性之暴潮巨浪作用 -----	4-1
4.1.2 海灘坡度與碎波型態的改變 -----	4-2
4.1.3 海岸防護設施及近岸港口外廓配置型態之影響-----	4-9

4.2 臺東近岸港口淤塞與毗鄰海灘沖蝕原因評估 .....	4-32
4.3 近岸港口外廓配置對毗鄰海灘沖淤之影響評估 .....	4-78
4.4 近岸港口淤塞與毗鄰海灘沖淤之防治對策 .....	4-94
<b>第五章 結論與建議.....</b>	<b>5-1</b>
5.1 結論與建議 .....	5-2
5.2 研究成果之效益 .....	5-3
5.3 可供本所或其他政府機關後續應用情形 .....	5-4
<b>參考文獻.....</b>	<b>參_1</b>
<b>附錄 1 期末報告審查簡報資料.....</b>	<b>附 1-1</b>
<b>附錄 2 期末報告審查會議紀錄及委員意見處理表.....</b>	<b>附 2-1</b>



## 圖目錄

圖 1-1 近岸灘區之波浪碎波帶示意圖 .....	1-1
圖 1-2 一般海灘斷面示意圖 .....	1-1
圖 1-3 颱風時期強浪拍打富岡海堤之景象 .....	1-6
圖 1-4 臺灣東部侵蝕嚴重並用大量消波塊保護的海岸公路 .....	1-6
圖 1-5 自然海岸線(左)與人工海岸線(右)套疊之衛星影像 .....	1-7
圖 1-6 高雄旗津海岸線近十多年來退縮約廿公尺，是全台侵蝕甚嚴重的海岸之一 .....	1-10
圖 1-7 近岸港口因離岸堤效應造成的港口淤塞與海灘沖蝕 .....	1-10
圖 2-1 臺灣環島近岸海域的水深地形 .....	2-2
圖 2-2 臺灣海域冬季 2017/10/30 02:00 之東北季風天氣系統(左)與地面風場(右) .....	2-6
圖 2-2(續) 臺灣海域夏季 2017/06/20 08:00 之西南季風天氣系統(左)與地面風場(右) .....	2-6
圖 2-2(續) 臺灣海域秋季 2017/10/20 08:00 蘭恩颱風之颱風天氣系統(左)與地面風場(右) .....	2-6
圖 2-3 基隆(左)及臺中(右)港域概約自 2000 年起至 2016 年止歷年冬(上)、夏(中)季及全年(下)之風玫瑰圖 .....	2-7
圖 2-4 蘇澳港(藍)與花蓮港(紅)在 2015 年 7 月夏季颱風期監測波浪之示性波高(上)與尖峰週期(中)及十分鐘平均風速(下)逐時變化歷程之對照比較 .....	2-9
圖 2-5 基隆港(藍)與臺中港(紅)在 2015 年 12 月冬季季風期監測波浪之示性波高(上)與尖峰週期(中)及十分鐘平均風速(下)逐時變化歷程之對照比較 .....	2-9
圖 2-6 冬季季風期間臺灣西部海岸臺中港(紅)及北部海岸基隆港(藍)之長浪波高與臺中港風速二次方之關聯圖 .....	2-12
圖 2-7 冬季季風期間臺灣西部海岸臺中港(紅)及北部海岸基隆港	

(藍)之長浪尖峰週期與臺中港風速之關聯圖 .....	2-12
圖 2-8 冬季季風期間臺灣東部海岸蘇澳港(紅)及花蓮港(藍)之長浪 波高與臺中港風速二次方之關聯圖 .....	2-14
圖 2-9 冬季季風期間臺灣東部海岸蘇澳港(紅)及花蓮港(藍)之長浪 尖峰週期與臺中港風速之關聯圖 .....	2-14
圖 2-10 冬季季風(色階及箭尺)對臺灣東部及中西部海域長浪波高 (等值線)所具有總體上之影響性 .....	2-15
圖 2-11 蘇澳港與花蓮港自 2013 年至 2015 年 7 月與 8 月夏季颱風 期監測波浪示性波高(上)與尖峰週期(下左)及二階譜週期(下 右)之關聯性.....	2-15
圖 2-12 臺灣西南部高雄(上)及東部花蓮(中)、臺東(下)海域概約自 2000 年起至 2016 年止歷年夏季觀測波浪玫瑰圖.....	2-22
圖 2-13 臺灣東部蘇澳(上)、花蓮(中)、臺東(下)海域概約自 2000 年 起至 2016 年止歷年冬季觀測波浪玫瑰圖.....	2-23
圖 2-14 臺灣東部蘇澳(上)、花蓮(中)、臺東(下)海域概約自 2000 年 起至 2016 年止歷年全年觀測波浪玫瑰圖.....	2-24
圖 2-15 蘇澳資料浮標自 1999 年起至 2017 年止分月波高統計圖 ...	2-26
圖 2-16 花蓮資料浮標自 1997 年起至 2017 年止分月波高統計圖 ...	2-28
圖 2-17 臺東資料浮標自 2010 年起至 2017 年止分月波高統計圖 ...	2-30
圖 2-18 臺灣海域月大潮期間擬真潮波之同潮圖(黑虛線：同振幅 線；紅實線：同潮時線) .....	2-33
圖 2-19 臺灣環島沿岸各主要河川河口與各重要工商港口位置之月 大、小潮及月平均潮差分布 .....	2-35
圖 2-20 臺灣離島各海岸之月大、小潮及月平均潮差分布 .....	2-35
圖 2-21 臺灣七大商港港口外廓海域 2009 年至 2010 年實測海流(黑) 與天文潮流(紅)之流速散佈圖比較 .....	2-37
圖 2-22 臺灣海域之計算等潮位線(色階)與潮流(箭矢)流場(參考潮 位:台中港乾潮後漲潮，2002/11/21 08:00) .....	2-38

圖 2-22(續) 臺灣海域之計算等潮位線(色階)與潮流(箭矢)流場(參考 潮位:台中港漲潮期近滿潮，2002/11/21 10:00).....	2-39
圖 2-22(續) 臺灣海域之計算等潮位線(色階)與潮流(箭矢)流場(參考 潮位:台中港滿潮後退潮，2002/11/21 14:00).....	2-40
圖 2-22(續) 臺灣海域之計算等潮位線(色階)與潮流(箭矢)流場(參考 潮位:台中港退潮期近乾潮，2002/11/21 16:00).....	2-41
圖 2-23 臺灣環島海域實測之年平均表層海流形態 .....	2-43
圖 2-24 臺灣海域綜合洋流與潮流效應之擬真海流流場(參考台中港 漲潮期計算潮位 2009/07/11 15:00) .....	2-44
圖 2-24(續) 臺灣海域綜合洋流與潮流效應之擬真海流流場(參考台 中港退潮期計算潮位 2009/07/11 21:00) .....	2-45
圖 2-25 臺灣海域自綜合洋流與潮流效應之擬真海流流場中扣除潮 流效應所得之恆常海流流場(台中港漲潮期 2009/07/11 15:00) .....	2-46
圖 2-25(續) 臺灣海域自綜合洋流與潮流效應之擬真海流流場中扣 除潮流效應所得之恆常海流流場(台中港退潮期 2009/07/11 21:00) .....	2-47
圖 2-26 臺灣之主要河川與水資源分區圖 .....	2-50
圖 2-27 中央管河川及跨省市河川流域位置圖 .....	2-51
圖 2-28 存在於臺灣環島近岸海域之大尺度水下大型沈積沙體 .....	2-53
圖 2-29 臺灣鄰近海域於含括月大小潮期間連續 15 日逐時潮流作用 下綜合以輸沙潛勢(色階)及輸沙運移方向(箭矢)所表示之潮 殘餘流流場 .....	2-57
圖 2-30 臺灣海域海表層春(上左)、夏(上右)、秋(下左)、冬(下右) 四季之季平均海流(箭矢)與輸沙潛勢(色階) .....	2-61
圖 3-1 臺灣海岸地區範圍示意圖 .....	3-2
圖 3-2 臺灣海岸自然度分布概況 .....	3-3
圖 3-3 臺灣海岸型態分布概況 .....	3-4

圖 3-4 臺灣海岸發生較顯著侵淤之地區示意圖 .....	3-17
圖 3-5 臺灣東北部宜蘭海岸蘇澳內埠之自然海灘 .....	3-32
圖 3-6 臺灣西南部臺南海岸安平港北側之人工岬灣 .....	3-32
圖 3-6(續) 臺灣西南部屏東東港大鵬灣海岸在 2010 年於潮口束流 堤兩側之原始海灘.....	3-33
圖 3-6(續) 臺灣西南部屏東東港大鵬灣海岸在 2013 年於潮口束流 堤北側初始設置離岸堤群之海灘防護設施.....	3-33
圖 3-6(續) 臺灣西南部屏東東港大鵬灣海岸在 2014 年後於潮口南 北兩側設置海堤、突堤、離岸堤群及魚尾突堤岬灣等海岸防 護設施 .....	3-34
圖 3-6(續) 臺灣西南部屏東東港大鵬灣海岸在 2019 年現況潮口南 北兩側設置離岸堤群及魚尾突堤岬灣等海岸防護設施 .....	3-34
圖 3-6(續) 臺灣西南部屏東東港大鵬灣海岸 2019 現況之潮口突 堤、離岸堤群及魚尾突堤岬灣等海岸防護設施.....	3-35
圖 3-6(續) 臺灣西南部屏東東港大鵬灣海岸 2019 現況潮口南側之 離岸堤與魚尾突堤岬灣之海岸防護設施.....	3-35
圖 3-6(續) 臺灣西南部高雄茄萣海岸之離岸堤群防護設施.....	3-36
圖 3-6(續) 臺灣西南部高雄茄萣海岸之離岸堤群防護設施.....	3-37
圖 3-6(續) 臺灣西南部高雄蚵子寮海岸之突堤及離岸堤群防護設施 .....	3-38
圖 3-6(續) 臺灣西南部屏東佳冬塭豐海岸之離岸堤群防護設施 .....	3-39
圖 3-6(續) 臺灣西南部臺南海岸青山港汕之單突堤與將軍漁港防波 堤防護設施(上)及臺灣東北部宜蘭頭城海岸之突堤群防護設 施(下).....	3-40
圖 3-7 臺灣海岸海岸一般性海堤防護設施之分布圖 .....	3-41
圖 3-7(續) 臺灣海岸一般性海堤之分布概況與權轄單位及範圍 .....	3-42
圖 3-8 臺灣本島之漁港分佈圖 .....	3-47

圖 3-9 臺灣北部基隆海岸大武崙漁港毗鄰海岸(上)及港口配置(下) 概況 .....	3-49
圖 3-10 臺灣北部海岸草里漁港之毗鄰海岸(上)及港口配置(下)概況 .....	3-50
圖 3-11 臺灣北部海岸磺港漁港之毗鄰海岸(上)及港口配置(下)概況 .....	3-51
圖 3-12 臺灣北部海岸和美漁港之毗鄰海岸(上)及港口配置(下)概況 .....	3-52
圖 3-13 臺灣西北部桃園海岸竹園漁港之毗鄰海岸(上)及港口配置 (下)概況 .....	3-53
圖 3-14 臺灣西北部桃園海岸永安漁港之毗鄰海岸(上)及港口配置 (下)概況 .....	3-54
圖 3-15 臺灣西北部新竹海岸坡頭漁港之毗鄰海岸(上)及港口配置 (下)概況 .....	3-55
圖 3-16 臺灣西北部新竹海岸新竹漁港之毗鄰海岸(上)及港口配置 (下)概況 .....	3-56
圖 3-17 臺灣中西部苗栗海岸龍鳳漁港之毗鄰海岸(上)及港口配置 (下)概況 .....	3-57
圖 3-18 臺灣中西部苗栗海岸外埔漁港之毗鄰海岸(上)及港口配置 (下)概況 .....	3-58
圖 3-19 臺灣中西部苗栗海岸通霄漁港之毗鄰海岸(上)及港口配置 (下)概況 .....	3-59
圖 3-20 臺灣中西部臺中海岸松柏漁港之毗鄰海岸(上)及港口配置 (下)概況 .....	3-60
圖 3-21 臺灣中西部彰化海岸王功漁港之毗鄰海岸(上)及港口配置 (下)概況 .....	3-61
圖 3-22 臺灣中西部雲林海岸箔子寮漁港之毗鄰海岸(上)及港口配 置(下)概況 .....	3-62
圖 3-23 臺灣西南部嘉義海岸網寮漁港之毗鄰海岸(上)及港口配置	

(下)概況 .....	3-63
圖 3-24 臺灣西南部臺南海岸安平漁港之毗鄰海岸(上)及港口配置 (下)概況 .....	3-64
圖 3-25 臺灣西南部臺南海岸將軍漁港之毗鄰海岸(上)及港口配置 (下)概況 .....	3-65
圖 3-26 臺灣西南部高雄海岸蚵子寮漁港之毗鄰海岸(上)及港口配 置(下)概況 .....	3-66
圖 3-27 臺灣西南部高雄海岸興達漁港之毗鄰海岸(上)及港口配置 (下)概況 .....	3-67
圖 3-28 臺灣西南部高雄海岸中芸漁港之毗鄰海岸(上)及港口配置 (下)概況 .....	3-68
圖 3-29 臺灣西南部屏東海岸東港鹽埔漁港之毗鄰海岸(上)及港口 配置(下)概況 .....	3-69
圖 3-30 臺灣南部屏東海岸枋寮漁港之毗鄰海岸(上)及港口配置(下) 概況 .....	3-70
圖 3-31 臺灣南部屏東海岸楓港漁港之毗鄰海岸(上)及港口配置(下) 概況 .....	3-71
圖 3-32 臺灣南部屏東海岸後壁湖漁港之毗鄰海岸(上)及港口配置 (下)概況 .....	3-72
圖 3-33 臺灣東北部宜蘭海岸大溪漁港之毗鄰海岸(上)及港口配置 (下)概況 .....	3-73
圖 3-34 臺灣東北部宜蘭海岸烏石漁港之毗鄰海岸(上)及港口配置 (下)概況 .....	3-74
圖 3-35 臺灣東北部宜蘭海岸梗枋漁港之毗鄰海岸(上)及港口配置 (下)概況 .....	3-75
圖 3-36 臺灣東北部宜蘭海岸南澳漁港之毗鄰海岸(上)及港口配置 (下)概況 .....	3-76
圖 3-37 臺灣東部花蓮海岸鹽寮漁港之毗鄰海岸(上)及港口配置(下) 概況 .....	3-77

圖 3-38 臺灣東部花蓮海岸石梯漁港之毗鄰海岸(上)及港口配置(下) 概況 .....	3-78
圖 3-39 臺灣東部臺東海岸長濱漁港之毗鄰海岸(上)及港口配置(下) 概況 .....	3-79
圖 3-40 臺灣東部臺東海岸小港漁港之毗鄰海岸(上)及港口配置(下) 概況 .....	3-80
圖 3-41 臺灣東部臺東海岸新港漁港之毗鄰海岸(上)及港口配置(下) 概況 .....	3-81
圖 3-42 臺灣東部臺東海岸金樽漁港之毗鄰海岸(上)及港口配置(下) 概況 .....	3-82
圖 3-43 臺灣東部臺東海岸大武漁港之毗鄰海岸(上)及港口配置(下) 概況 .....	3-83
圖 3-44 臺灣東南部屏東海岸旭海漁港之毗鄰海岸(上)及港口配置 (下)概況 .....	3-84
圖 3-45 民國 98 至 101 年港口航道應辦理疏浚之 84 處漁港位置圖 .....	3-86
圖 4-1 臺灣東部臺東海岸位於碎波帶內之近岸港口_ 長濱漁港(左) 與大武漁港(右) .....	4-3
圖 4-2 臺灣東部大武漁港北灘(左)及港口淤塞(右)之灘面大粒徑卵 石 .....	4-6
圖 4-3 近岸波浪、海灘坡度、底床質及平衡海灘斷面型態分類 .....	4-8
圖 4-4 受時空變動性海灘坡度及波浪衝擊交互作用影響下的海灘 ...	4-8
圖 4-5 臺灣環島海岸通常構建配置之人工防護設施 .....	4-9
圖 4-6 臺灣東部海岸花蓮鹽寮漁港(上)及中部海岸苗栗外埔後龍漁 港(下)之單突堤及雙突堤型態外廓防波堤配置 .....	4-10
圖 4-7 臺灣南部屏東海岸枋寮漁港(上)及東部臺東海岸長濱漁港 (下)港口複合兼具離岸堤與突堤效能之側 L 型態外廓防波堤 配置 .....	4-11

圖 4-7(續) 臺灣東部臺東海岸金樽漁港(上)及大武漁港(下)港口複合兼具突堤與離岸堤效能之側 L 型態外廓防波堤配置 .....	4-12
圖 4-8 突堤的平面型式(a)突堤型(b)T 型(c)倒 L 型(d)側 Z 型 .....	4-13
圖 4-9 灘線及突堤配置與主要波向之相關性 .....	4-14
圖 4-10 在近岸海灘設置突堤後之「突堤效應」(左)及其所引致迎向波浪上游側之漂沙沉降淤積與下游側之沖蝕(右) .....	4-14
圖 4-11 臺灣東北部宜蘭頭城海岸位在碎帶內之突堤群配置(上)及臺灣西南部臺南海岸將軍漁港青山港汕(下)在碎帶內之雙突堤及單突堤配置實況 .....	4-15
圖 4-12 臺灣中西部新竹海岸南寮漁港(上)及苗栗海岸後龍漁港(下)在碎帶內之雙突堤配置實況 .....	4-16
圖 4-13 臺灣東部臺東海岸金樽陸連島及英國東部 Norfolk 郡 Sea Palling 海灘上之透水式單離岸堤配置 .....	4-17
圖 4-14 英國東部 Norfolk 郡 Sea Palling 海灘上透水式單離岸堤後之沙舌(上)及繫岸沙洲(下) .....	4-18
圖 4-15 在近岸海灘設置離岸堤後之「離岸堤效應」(左)及其所引致堤後之漂沙沉降淤積與堤端兩側外海灘之沖蝕(右) .....	4-19
圖 4-16 均勻坡度海灘上之離岸堤受波浪正向入射之初始(上)及海灘變化達穩定狀態後(下)之波場 .....	4-20
圖 4-17 均勻坡度海灘上之離岸堤受波浪正向入射之初始(上)及海灘變化初期(下)之流場與灘線 (箭矢為流速；虛點線為海灘等深線) .....	4-21
圖 4-17(續) 均勻坡度海灘上之離岸堤受波浪正向入射之中期(上)及海灘達穩定變化後(下)之流場與灘線 (箭矢為流速；虛點線為海灘等深線) .....	4-22
圖 4-18 均勻坡度海灘上受波浪斜向入射之短(上)、長(下)離岸堤鄰近之近岸流場 .....	4-23
圖 4-19 離岸堤群配置與設計之主要控制及影響因素 .....	4-24
圖 4-20 英國東部 Norfolk 郡 Sea Palling 海灘上透水式離岸堤群後之	

沙舌及繫岸沙洲 .....	4-25
圖 4-20(續) 英國東部 Norfolk 郡 Sea Palling 海灘上透水式離岸堤群 後之沙舌及繫岸沙洲 .....	4-26
圖 4-20(續) 英國東部 Norfolk 郡 Sea Palling 海灘上透水式離岸堤群 後之沙舌及繫岸沙洲 .....	4-27
圖 4-20(續) 英國東南部 Essex 郡 Jaywick 海灘(上)及東部 Norfolk 郡 Sea Palling 海灘上透水式離岸堤群後之沙舌及繫岸沙洲 .....	4-28
圖 4-20(續) 臺灣西南部屏東佳冬海岸塭豐離岸堤群之實際配置與 堤後的沙舌及繫岸沙洲 .....	4-29
圖 4-20(續) 臺灣西南部屏東青洲遊憩區海岸環境營造整體規劃建 置離岸堤與魚尾型突堤及人工岬灣之海岸防護設施配置 .....	4-30
圖 4-21 英國環境署研提離岸堤群之空間幾何配置與堤後灘線對應 之發展演化型態 .....	4-32
圖 4-22 臺東長濱漁港配置(上)與港口航道嚴重淤塞景況之媒體報 導(下) .....	4-42
圖 4-23 臺東金樽漁港配置(上)與港口航道嚴重淤塞景況之媒體報 導(下) .....	4-43
圖 4-24 臺東大武漁港配置(左上)與港口航道嚴重淤塞景況之媒體 報導(下) .....	4-44
圖 4-24(續) 臺東大武漁港淤塞與清淤疏浚景況(左)及淤塞於港口航 道上之大粒徑表面沉積砂石(右) .....	4-45
圖 4-25 由北而南座落在臺東海岸(左)之長濱(右上)、金樽(右中)及 大武(右下)漁港及與港口毗鄰之海岸環境 .....	4-46
圖 4-26 臺東海域概約自 2000 年起至 2016 年止冬季(上)、夏季(中) 及全年(下)之觀測波浪玫瑰圖 .....	4-47
圖 4-27 臺東長濱漁港 2010 年 10 月(上)及 2012 年 1 月(下)之外廓 防波堤配置及衍生之港口航道淤塞與毗鄰海灘沖蝕 .....	4-48
圖 4-27(續) 臺東長濱漁港 2013 年 6 月(上)及 2013 年 7 月(下)之外 廓防波堤配置及衍生之港口航道淤塞與毗鄰海灘沖蝕 .....	4-49

- 圖 4-27(續) 臺東長濱漁港 2013 年 8 月(上)及 2015 年 6 月(下)之外  
廓防波堤配置及衍生之港口航道淤塞與毗鄰海灘沖蝕 ..... 4-50
- 圖 4-28 臺東長濱漁港 2013 年 6 月 2017 年 11 月之外廓防波堤配置  
及衍生之港口航道淤塞與毗鄰海灘沖蝕對照比較 ..... 4-51
- 圖 4-29 臺東長濱漁港 2010 年 1 月(上)及 2012 年 1 月(下)具「離岸  
堤效應」之外廓防波堤配置及衍生之港口航道淤塞與毗鄰海  
灘沖蝕 ..... 4-52
- 圖 4-29(續) 臺東長濱漁港 2013 年 6 月(上)及 2015 年 6 月(下)具「離  
岸堤效應」之外廓防波堤配置及衍生之港口航道淤塞與毗鄰  
海灘沖蝕 ..... 4-53
- 圖 4-29(續) 臺東長濱漁港 2015 年 6 月(上)及 2017 年 11 月(下)具「離  
岸堤效應」之外廓防波堤配置及衍生之港口航道淤塞與毗鄰  
海灘沖蝕 ..... 4-54
- 圖 4-30 臺東長濱漁港 2012 年 1 月、2013 年 6 月及 2017 年 7 月之  
外廓防波堤配置因複合「離岸堤效應」與「突堤效應」所衍  
生堤後繫岸沙洲型態之港口航道淤塞與毗鄰海灘沖蝕之對  
照比較 ..... 4-55
- 圖 4-31 臺東金樽漁港 2013 年 8 月(上)及 2014 年 7 月(下)之外廓防  
波堤配置及衍生之港口航道淤塞與毗鄰海灘沖蝕 ..... 4-56
- 圖 4-31(續) 臺東金樽漁港 2017 年 6 月(上)及 2018 年 10 月(下)之外  
廓防波堤配置及衍生之港口航道淤塞與毗鄰海灘沖蝕 ..... 4-57
- 圖 4-32 臺東金樽漁港 2013 年 8 月(上)及 2014 年 7 月(下)兼具「突  
堤效應」與「離岸堤效應」之外廓防波堤配置及衍生之港口  
航道淤塞與毗鄰海灘沖蝕 ..... 4-58
- 圖 4-32(續) 臺東金樽漁港 2017 年 6 月(上)及 2018 年 10 月(下)兼具  
「突堤效應」與「離岸堤效應」之外廓防波堤配置及衍生之  
港口航道淤塞與毗鄰海灘沖蝕 ..... 4-59
- 圖 4-33 臺東金樽漁港 2013 年 8 月(上)及 2018 年 10 月(下)兼具「突  
堤效應」與「離岸堤效應」之外廓防波堤配置及衍生之港口  
航道淤塞與毗鄰海灘沖蝕對照比較 ..... 4-60

- 圖 4-34 臺東大武漁港 2011 年 10 月(上)及 2012 年 9 月(下)之外廓  
防波堤配置及衍生之港口航道淤塞與毗鄰海灘沖蝕 ..... 4-61
- 圖 4-34(續) 臺東大武漁港 2012 年 10 月(上)及 2013 年 2 月(下)之外  
廓防波堤配置及衍生之港口航道淤塞與毗鄰海灘沖蝕 ..... 4-62
- 圖 4-34(續) 臺東大武漁港 2013 年 3 月(上)及 2013 年 6 月(下)之外  
廓防波堤配置及衍生之港口航道淤塞與毗鄰海灘沖蝕 ..... 4-63
- 圖 4-34(續) 臺東大武漁港 2013 年 7 月(上)及 2014 年 1 月(下)之外  
廓防波堤配置及衍生之港口航道淤塞與毗鄰海灘沖蝕 ..... 4-64
- 圖 4-34(續) 臺東大武漁港 2014 年 7 月(上)及 2017 年 10 月(下)之外  
廓防波堤配置及衍生之港口航道淤塞與毗鄰海灘沖蝕 ..... 4-65
- 圖 4-35 臺東大武漁港 2000 年 12 月(上)及 2005 年 6 月(下)兼具「突  
堤效應」與「離岸堤效應」之外廓防波堤配置及衍生之港口  
航道淤塞與毗鄰海灘沖蝕對照比較 ..... 4-66
- 圖 4-35(續) 臺東大武漁港 2012 年 10 月(上)及 2019 年 3 月(下)兼具  
「突堤效應」與「離岸堤效應」之外廓防波堤配置及衍生之  
港口航道淤塞與毗鄰海灘沖蝕對照比較 ..... 4-67
- 圖 4-36 臺東大武漁港 2012 年 9 月(上)及 2012 年 10 月(下)兼具「突  
堤效應」與「離岸堤效應」之外廓防波堤配置及衍生之港口  
航道淤塞與毗鄰海灘沖蝕 ..... 4-68
- 圖 4-36(續) 臺東大武漁港 2013 年 2 月(上)及 2013 年 3 月(下)兼具  
「突堤效應」與「離岸堤效應」之外廓防波堤配置及衍生之  
港口航道淤塞與毗鄰海灘沖蝕 ..... 4-69
- 圖 4-36(續) 臺東大武漁港 2013 年 6 月(上)及 2013 年 7 月(下)兼具  
「突堤效應」與「離岸堤效應」之外廓防波堤配置及衍生之  
港口航道淤塞與毗鄰海灘沖蝕 ..... 4-70
- 圖 4-36(續) 臺東大武漁港 2013 年 10 月(上)及 2014 年 1 月(下)兼具  
「突堤效應」與「離岸堤效應」之外廓防波堤配置及衍生之  
港口航道淤塞與毗鄰海灘沖蝕 ..... 4-71
- 圖 4-36(續) 臺東大武漁港 2014 年 7 月(上)及 2017 年 10 月(下)兼具  
「突堤效應」與「離岸堤效應」之外廓防波堤配置及衍生之

港口航道淤塞與毗鄰海灘沖蝕.....	4-72
圖 4-37 臺東大武漁港 2012 年 10 月(上)及 2013 年 7 月(下)兼具「突堤效應」與「離岸堤效應」之外廓防波堤配置及衍生之港口航道淤塞與毗鄰海灘沖蝕對照比較.....	4-73
圖 4-37(續) 臺東大武漁港 2014 年 7 月(上)及 2017 年 10 月(下)兼具「突堤效應」與「離岸堤效應」之外廓防波堤配置及衍生之港口航道淤塞與毗鄰海灘沖蝕對照比較.....	4-74
圖 4-38 臺東大武漁港外廓防波堤配置因複合「離岸堤效應」與「突堤效應」所衍生堤後繫岸沙洲型態之港口航道淤塞與毗鄰海灘沖蝕.....	4-75
圖 4-39 臺東海岸(左)面對冬、夏季主要波浪入射方向之長濱(右上)、金樽(右中)及大武(右下)漁港既有複合離岸堤及突堤型態之港口配置及與港口毗鄰海岸之防護設施.....	4-76
圖 4-40 造成臺灣近岸港口淤塞與其毗鄰海灘沖淤之波浪、水深地形及港口外廓配置等關鍵機制之互動影響.....	4-77
圖 4-41 具離岸堤或突堤型態之近岸港口外廓配置面對卓越波向入射波浪衝擊之遮蔽影響範圍 .....	4-78
圖 4-42 離岸堤後因正向入射波浪之衝擊流作用所造成初始(左)及穩定(右)狀況下之輸沙型態及影響範圍 .....	4-80
圖 4-43 離岸堤後受波浪正向(左)及斜向(右)入射所衍生之近岸波浪衝擊流流場(箭矢)與輸沙率(色階)及對應之影響範圍 .....	4-80
圖 4-44 單純由波浪衝擊作用造成具拋物線特徵之經驗化岬灣海灘 .....	4-81
圖 4-45 臺灣東部具突堤外廓配置型態之花蓮鹽寮漁港應用靜態岬灣海灘以 2 倍(上)及 1 倍(下)離岸距離評估「突堤效應」對堤後毗鄰海灘之沖蝕影響範圍 .....	4-87
圖 4-46 臺灣東部具離岸堤外廓配置型態之長濱漁港應用靜態岬灣海灘以 2 倍(上)及 1 倍(下)離岸距離評估「離岸堤效應」與「突堤效應」共同造成港嘴航道之淤塞及對堤後毗鄰海灘之沖蝕影響範圍 .....	4-88

- 圖 4-47 臺灣東部具離岸堤群外廓配置型態之金樽漁港應用靜態岬  
灣海灘以 2 倍及 1 倍離岸距離評估 2013 年(上)與 2018 年(下)  
「離岸堤效應」與「突堤效應」共同造成港嘴航道之淤塞及  
對堤後毗鄰海灘之沖蝕影響範圍 ..... 4-89
- 圖 4-48 臺灣東部具離岸堤外廓配置型態之金樽陸連島應用靜態岬  
灣海灘以 1 倍離岸距離評估「離岸堤效應」所造成之堤後繫  
岸沙洲淤積及對毗鄰海灘之沖蝕影響範圍 ..... 4-90
- 圖 4-49 臺灣東部具離岸堤外廓配置型態之大武漁港應用靜態岬灣  
海灘以 2 倍及 1 倍離岸距離評估 2000 年(上)與 2011 年(下)  
「離岸堤效應」與「突堤效應」共同造成港嘴航道之淤塞及  
對堤後毗鄰海灘之沖蝕影響範圍 ..... 4-91
- 圖 4-50 臺灣東部具離岸堤外廓配置型態之大武漁港應用靜態岬灣  
海灘以 2 倍及 1 倍離岸距離評估 2012 年(上)與 2013 年(下)  
「離岸堤效應」與「突堤效應」共同造成港嘴航道之淤塞及  
對堤後毗鄰海灘之沖蝕影響範圍 ..... 4-92
- 圖 4-51 臺灣東部具離岸堤外廓配置型態之大武漁港應用靜態岬灣  
海灘以 2 倍及 1 倍離岸距離評估 2014 年(上)與 2018 年(下)  
「離岸堤效應」與「突堤效應」共同造成港嘴航道之淤塞及  
對堤後毗鄰海灘之沖蝕影響範圍 ..... 4-93
- 圖 4-52 對於近岸港口外廓配置，應用數值模擬(上)及現場調查(下)  
詳實掌握波浪碎波型態及對近岸灘區之波浪衝擊力與對漂  
沙的輸運作用 ..... 4-95
- 圖 4-53 港口外廓防波堤設施為減小「突堤效應」、防制「離岸堤效  
應」替代直線而改採圓弧型態之配置 ..... 4-97
- 圖 4-54 港口外防波堤配置為防治港嘴航道淤塞及輕減毗鄰海灘沖  
蝕而採圓弧型態以減小「突堤效應」及縮減長度以防制「離  
岸堤效應」在堤後營造繫岸沙洲或沙舌海灘 ..... 4-97
- 圖 4-55 港口外廓內防波堤配置成圓弧型態前(上)、後(下)應用「突  
堤效應」以防制因「離岸堤效應」在堤後所衍生之衝擊環流  
及阻絕其直接向港口及航道輸運漂沙而造成淤塞 ..... 4-98
- 圖 4-56 港口外廓防波堤配置實施「減量工程」前(上)、後(下)因有

效降低及減小「離岸堤效應」並充分應用「突堤效應」所複合達成港口淤塞與毗鄰海灘沖蝕之改善.....4-99

圖 4-57 防治臺東大武漁港現況港口嚴重淤塞及毗鄰海灘沖蝕之措施與對策，建議適度延伸內防堤以應用其「突堤效應」降低及減小外防波堤所造成之「離岸堤效應」並導引外防波堤後側營造繫岸沙洲之波浪沖擊流，且攔阻直接向港口及航道輸運之漂沙 .....4-100

## 表目錄

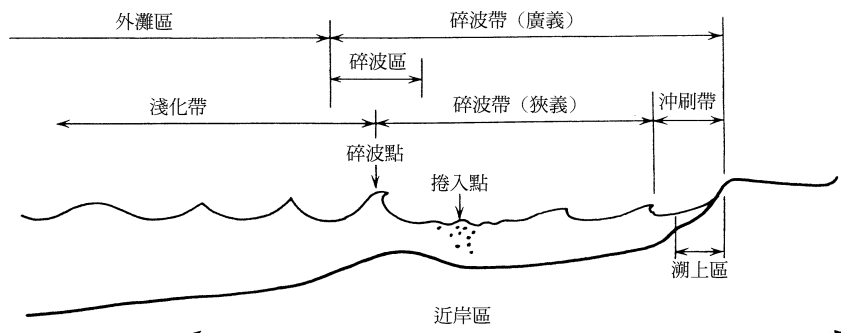
表 2-1 基隆港海域 2016 年及歷年(概約自 2000 起至 2016 止)分月與分季之實測風力統計表 .....	2-4
表 2-2 臺中港海域 2016 年及歷年(概約自 2000 起至 2016 止)分月與分季之實測風力統計表 .....	2-5
表 2-3 基隆港與臺中港 2013 至 2016 年冬季季風期分月監測波浪示性波高( $H_s$ )、尖峰週期( $T_p$ )及二階譜週期( $T_{m02}$ )之相關係數 .....	2-10
表 2-4 蘇澳港與花蓮港 2013 至 2015 年夏季颱風期分月監測波浪示性波高( $H_s$ )、尖峰週期( $T_p$ )及二階譜週期( $T_{m02}$ )之相關係數 .....	2-16
表 2-5 臺灣海峽南段海域東沙島、七美、小琉球資料浮標於 2017 年 5 月 8 日至 7 月 28 日夏季期間實測波高、週期、風速之統計分析 .....	2-18
表 2-6 臺灣環島海岸之季風波浪型態 .....	2-19
表 2-7 歷年冬季臺灣 12 個港域主要測站示性波高、週期及波向統計表 .....	2-19
表 2-8 臺灣環島海域國內 7 大商港 10 年重現期之建議設計波高範圍 .....	2-20
表 2-9 臺灣環島 12 個主要港域測站概約自 2000 年起至 2016 年止歷年夏季示性波高週期及波向統計表 .....	2-20
表 2-10 臺灣環島 12 個主要港域測站概約自 2000 年起至 2016 年止歷年冬季示性波高週期及波向統計表 .....	2-21
表 2-11 臺灣環島 12 個主要港域測站概約自 2000 年起至 2016 年止歷年全年示性波高週期及波向統計表 .....	2-21
表 2-12 蘇澳資料浮標自 1999 年起至 2017 年止分月波高統計表 ...	2-25
表 2-13 花蓮資料浮標自 1997 年起至 2017 年止分月波高統計表 ...	2-27
表 2-13 臺東資料浮標自 2010 年起至 2017 年止分月波高統計表 ...	2-29
表 2-15 臺灣環島沿岸各主要河川河口與各重要工商港口位置之月大、小潮及月平均潮差 .....	2-34

表 2-16 臺灣各離島海岸之月大、小潮及月平均潮差 .....	2-34
表 3-1 臺灣各縣市 105 年度第 2 期自然及人工海岸線比例一覽表 ...	3-6
表 3-1(續) 臺灣各縣市 100 年度第 2 期自然及人工海岸線比例一覽表 .....	3-7
表 3-2 海岸地區特性現況彙整表.....	3-8
表 3-2(續) 臺灣海岸地區特性現況彙整表.....	3-9
表 3-2(續) 臺灣海岸地區特性現況彙整表.....	3-10
表 3-3 臺灣海岸自然度分類準則 .....	3-10
表 3-4 臺灣海岸型態分類原則 .....	3-11
表 3-5 臺灣本島海岸環境概況一覽表 .....	3-11
表 3-6 臺灣海岸之侵淤概況 .....	3-15
表 3-7 臺灣海岸之侵淤熱點與其附近之重大設施與起迄點參考坐標 .....	3-16
表 3-8 臺灣海岸既有防護設施分析表 .....	3-43
表 3-9 臺灣各直轄市、縣(市)漁港類別及名稱一覽表.....	3-45
表 4-1 碎波型態之判別 .....	4-5
表 4-2 臺灣東部近岸港口外廓防波堤配置因「離岸堤效應」造成堤後 繫岸沙洲型態淤積之離岸堤長/距比值檢測 .....	4-41

# 第一章 緒論

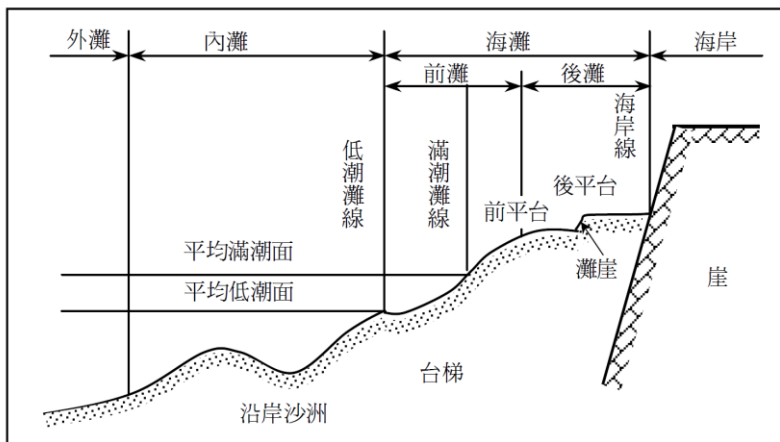
## 1.1 研究緣起

波浪受近岸區地形水深變化之影響，其在一般海灘斷面上之波浪特性變化示意圖，分別可參見圖 1-1 與圖 1-2，其中之碎波帶(surf zone)，係指波浪碎波後形成近岸流之區域，由於近岸流流況多屬紊流，故漂沙活動最為激烈，為海岸漂沙運移之主力作用區。本研究所稱之「近岸港口」，係指港口之外廓防波堤或航道出口係座落於碎波帶內或位於內灘者。



資料來源：「海岸工程學」，郭一羽，2001。

圖 1-1 近岸灘區之波浪碎波帶示意圖



資料來源：「海岸工程學」，郭一羽，2001。

圖 1-2 一般海灘斷面示意圖

基於波浪、近岸流與人工構造物的交互作用影響，世界上大小港口的外廓配置型態，皆會對港口毗鄰海域的波況、流況及地形水深造成干擾與改變，以致與港口毗鄰之海灘，不僅通常會發生程度輕重不一的沖蝕，在港口尚會發生淤積情況，淤積嚴重的港口，甚至會造成航道水深減小，船舶航行受到妨礙，因此，港口毗鄰海域的漂沙，常是港灣建設與海岸災防的關鍵課題。

臺灣環島之近岸港口，大多為規模不大、航道水深較淺的漁港，為防制颱風與季風波浪之侵襲，保持港域之靜穩，經常會在平行海岸方向，構築防波堤之外廓防浪設施，而在此種過於強調防浪功能之考量下，外廓防波堤之配置，因而普遍具有混合突堤與離岸堤所構成之側倒 L 形式(└─)，以致防波堤，除了原始規劃設計之防浪功能外，尚會附帶衍生具有改變近岸灘區輸沙平衡之效應，最終，若這些防波堤座落在漂沙最活躍之碎波帶內，則勢必將因近岸灘區不均勻的波浪作用與失衡之輸沙沈積，進而導致毗鄰海灘的沖蝕，甚至造成港口與航道之嚴重淤塞。

面對臺灣環島近岸港口之淤塞，依據行政院農委會漁業署(2009)「海岸新生之漁港疏濬及多功能漁港開發規劃」報告，民國 94~97 年度所執行國內漁港疏浚政策，均係以「整建、疏浚」為主要策略，且長年來，臺灣地區漁港如有面臨港口泊地或航道淤積問題時，皆以辦理疏浚與清淤工程方式進行改善，藉以維持漁港之正常運作。對於漁港之疏浚經費，統計民國 94~97 年間，共計 4 億 4,528 萬元，大多由漁業署以年度預算補助或自行辦理，地方政府雖有部分自籌經費或由其他單位補助辦理漁港疏浚，但所占比例有限。儘管政府自 97 年度起曾辦理擴大內需，加強辦理漁港泊地或航道淤沙之疏浚與清淤工程，但漁港之淤積、疏浚與毗鄰海灘之沖蝕，迄今仍是近岸灘區開發利用最常遭遇且亟待克服的課題。

在近岸海域，季風波浪、颱風波浪及湧浪，實際是造成各型海岸災害之最關鍵與最重要水動力因素。因此，全面檢討近岸灘區之波浪特性，探討碎波帶內各型海岸防護結構物對波浪及漂沙阻滯所造成沖

淤之影響，不僅是目前海岸環境保全與防護之重點工作，更是進行防災不可或缺之資訊。特別是近岸灘區，其係為生態環境敏感地區，政府相關權責機關雖曾有研擬各項管理計畫或開發利用方案，但由於缺乏整合性之規劃與有效之管理，致仍發生海岸土地競用、超限利用、不當利用等情事，使海岸多功能利用、海灘資源維護、生態棲地保存、生物多樣性維護、國土保安等均面臨重大威脅（「修正全國區域計畫」，內政部，2017）。

針對臺灣環島近岸港口淤塞及毗鄰海灘之沖蝕課題，本研究主要之研究目的，在結合現今進步且多元的網際網路資源，應用 Google Earth 之歷史圖像，調查既有近岸港口外廓防浪設施之配置，綜整分析港口之外廓配置型態，檢視毗鄰海灘之沖淤特性，再針對座落在臺灣東部海岸之近岸港口，檢選台東之大武及長濱漁港為例，並以莊（2017）所提出之「離岸堤效應」作基礎，從近岸波浪、海流與人工構造物的交互干擾與影響層面著手，尤其著重近岸波浪碎波及在沖刷帶內衍生強勁上沖下刷衝擊流之直接作用，據以評估近岸港口外廓防浪設施對毗鄰海灘沖淤之影響，掌握造成港口淤塞之關鍵控制因素，進而研提相關之防治對策與建議。主要之研究目標，在提升近岸港口沖淤課題探討之廣度與深度，達成因應氣候變遷，維護自然海岸環境，防治海岸災害，精進海岸經理策略，保育生態棲地，降低生態環境衝擊，配合『海岸管理法』之施行，落實「整體海岸管理計畫」，推動「海岸防護」與「海岸保護」措施，促成國家海岸資源之永續利用。

## 1.2 文獻回顧

臺灣四面環海，環島及各離島，不僅海氣象特性多變、海岸環境景觀多元，生態資源亦甚豐富多樣，因此，從事海岸相關的開發利用，常需面對各項繁複的評估規劃與經營管理課題。依據內政部 2017 年 5 月 16 日以臺內營字第 1060806764 號公告之「修正全國區域計畫」即指出，臺灣現況海岸及海域之主要經理課題包括：(1)「臺灣沿海地區

自然環境保護計畫」缺乏管理機制；(2)海岸土地不當利用；(3)海岸線嚴重人工化；(4)海岸地區遭受氣候變遷衝擊；(5)海域區使用管理權責重疊或競合。

臺灣環島海岸線長 1338.5 公里，有著豐富海岸景觀，但自然海岸線，僅有 585 公里，約僅佔 43.7%，其餘高達 56.3% 皆為具有港灣、航道、海岸圍墾區或海岸防護設施等人工構造之人工海岸，其中，特別是近岸港口或漁港。近年，內政部(2017)為達成維繫自然系統、確保自然海岸零損失、因應氣候變遷、防治海岸災害與環境破壞、保護與復育海岸資源等目標，已依據『海岸管理法』(經總統府 104 年 2 月 4 日總統華總一義字第 10400012591 號令公布)第 8 條及第 44 條規定，研訂「整體海岸管理計畫」，藉以綜整海岸管理之課題與對策、落實海岸地區之規劃管理原則、協調相關目的事業主管機關之分工，指導相關計畫修正或變更，以有效指導海岸土地之利用方向，健全海岸之永續管理。現階段之工作重點，包括「落實海岸保護與防護管理機制」、「劃設特定區位與規範適當利用原則，以促進海岸地區之永續利用」、「確保自然海岸零損失」、以及「保障公共通行與親水權益」。

自民國 61 年開始，經濟部水利署及其前身，即持續執行臺灣地區海堤的規劃、建設及維護，迄今已歷經四十餘年。臺灣的海岸防護設施，一向以建造防潮禦浪的陡坡海堤為主體，由早期的土堤及漿砌塊石海堤，逐漸演變為現在的緩坡海堤並配合消波塊拋放，以減輕波浪溢淹災害，復因海岸侵蝕日益嚴重，再搭配突堤及離岸堤，藉以遏止國土流失。惟臺灣海岸，因受颱風暴潮巨浪及種種人為因素的負面影響，海岸侵蝕仍舊普遍發生，參見圖 1-3 及圖 1-4。而自民國 89 年以後，經濟部水利署倡議未來臺灣的海岸防災重點，仍以侵蝕防治為主軸，同時將採用柔性工法並兼顧海岸生態與親水，恢復自然的海岸景觀、維護海岸生態及營造海岸親水遊憩空間(經濟部，2008；2014)。

另外，在民國 98 至 103 年間，經濟部水利署曾編列 80 億元辦理「海岸環境營造計畫」，並於執行海堤興(整)建過程，研擬相關設計規範，且以人工岬灣配合養灘之近自然工法，藉期能回復海岸自然風貌，

改善臺灣本島海岸仍布滿消波塊、堤防和各種人工化海岸之問題。隨後，行政院於 103 年 7 月 7 日以院臺經字第 1030038866 號函核定「海岸環境營造計畫(104~109 年)」，該計畫目標為「強化海岸防護能力，降低災害損失」、「加速海岸環境復育，營造優質海岸」與「落實海岸防護工法研發應用，維護海堤設施功能」。並於該計畫目標指導下，規劃「因應氣候變遷衝擊，規劃推動海岸防護適應策略」、「加強工法研發，提升海岸防護技術能力」、「善用海岸自然特性，展現特色海岸風華」、「維護海堤設施，確保應有防護功能」及「活化海堤空間利用，改善海岸棲地環境」等 5 大執行策略，且推動辦理海岸防護基本資料調查、環境改善工程規劃、環境營造工程及環境改善成效檢討等事項(經濟部，2014)。

為落實行政院國家永續發展委員會「天然海岸比例不再減少」之政策目標，內政部國土測繪中心自民國 94 年度起，曾參考交通部中央氣象局之年度潮汐表，以各潮位站量測之水位資料，蒐集並彙整相對日高潮位之高解析融合衛星影像，辦理海岸線變遷偵測及數化作業，並將自然海岸線與人工海岸線套疊衛星影像，參見圖 1-5，藉以統計掌握自然海岸線與人工海岸線的變化情形(內政部，2017c)。

依據行政院農業委員會 2014 年農漁字第 1031313239A 號公告，以及內政部(2017)與審計部(2017)等政府公開文獻之最新資料，至民國 98 年底止，農委會漁業署依「漁港法」公告之第一及第二類漁港，總數共計有 225 處之多，扣除位處在國際商港或其輔助港內，以及位於河道或潟湖內者，實際位處臺灣環島海岸線上之漁港有 106 處，所占海岸線長度共計約 46.95 公里，即平均約 12.6 公里即有一處漁港。而為因應部分漁港漁業利用機能偏低現象，行政院農業委員會漁業署在民國 94 年曾開展「漁港防波堤減量工法可行性研究」(農委會，2005)；直到民國 98 年後，漁業署曾再辦理「海岸新生之漁港疏濬及多功能漁港開發規劃」，並曾詳細探討全國漁港之淤塞原因及檢討相關之疏浚需求(農委會，2009)。另外，許(2001)；吳(2005)；農委會(2005)；吳等(2005；2006)；許等(2006)亦皆曾從漁港使用功能與海岸空間之再利用

觀點，檢討防波堤使用功能不彰的港別及內容，評估漁港防波堤減量工法，並研提具體可行的實施對策，藉期能達成漁港防波堤構造物減量之政策要求。



資料來源：水利署

圖 1-3 颱風時期強浪拍打富岡海堤之景象



圖 1-4 臺灣東部侵蝕嚴重並用大量消波塊保護的海岸公路



資料來源：<https://www.nlsc.gov.tw/Home/MakePage/448?level=448>

圖 1-5 自然海岸線(左)與人工海岸線(右)套疊之衛星影像

洪(2003)曾針對臺灣本島現有 150 處漁港之淤沙問題進行分析，從而發現其中計有 77 處漁港面臨有港口淤沙問題，扣除位居河道及位在商港或淺灘沙洲內的 35 處漁港，則位處海岸線上有淤沙問題之漁港則有 42 處；另外，就港口防波堤之配置型式分析，大致可歸納分成垂直海岸型防波堤有 26 處、突出海岸型防波堤有 7 處、複合型防波堤及防砂堤有 5 處、及屬狹長型防波堤有 3 處；檢討造成港口淤沙的原因，主要包括上游沿岸輸沙、灣澳海岸環流、波浪直接輸沙及河川輸沙等四種。

農委會(2005)曾綜整說明臺灣漁港之港口與航道水深淤積之主要原因包括：(1)漁港規模普遍偏小，港口大部份位於碎波帶附近或以內；(2)冬季東北季節風浪作用期長且波浪強勁，沿岸海域漂沙活躍；(3)夏季颱風頻繁且河川輸沙入海，提供沿岸漂沙沙源，影響水深維持。

郭(1997)曾對臺灣海岸往昔施行之各項防護策略與措施進行檢討並指出：「海灘為天然消波體...，倘無充份之海灘，就無法防止波浪災害及侵蝕。颱風期之侵蝕乃自然循環之過程一部份.....；如欲以人工防止，也以盡量少改變原貌，維持足以消能之寬敞海灘為宜。海岸侵蝕治本之道在保持砂源平衡，如有充份之砂源供應，即使暴浪侵蝕之

海灘在暴風後也會漸漸恢復，否則無論如何保護都難奏效。由過去經驗，我們已認識到消能優於反射，柔性勝於硬性，破壞自然不如尊重自然，高度開發必帶來自然反撲。」此外，郭(2004)曾針對臺灣海岸防護狀況進行調查並指出，至民國 95 年 12 月止，臺灣曾有海岸防護設施如下：(1)海堤 524 公里(包括防潮堤)；(2)護岸 12 公里(苗栗縣、台東縣、台北縣)；(3)消波工 60 公里(台東縣、花蓮縣)；(4)潛堤 11 座(花蓮縣)；(5)離岸堤 222 座(屏東縣、高雄縣)；(6)突堤 205 座(高雄縣、宜蘭縣)；(7)潛堤 26 座。

近年來，我國政府與民間在海岸保育之趨勢策略中，常見採行「近自然工法」(郭金棟，2004)之呼籲，而所謂「近自然工法」，其最主要的重点與特性，即在順應「自然環境」，讓「自然景觀」及「自然生態」，保有或維持其「大尺度」之「永續」(長期)性，減少並避免人為局部性及短期性之介入及干擾。因此，對海岸之自然環境、自然景觀及自然生態而言，從順應長期性大平面範圍之自然海流水動力輸運作用著手，詳實考量海流之特性，將可大幅度、有效地減少對自然海灘沖淤變遷過程之局部性及短期性之人為(非自然及小尺度)因素介入或非適切的干擾，亦即在「大尺度」之「永續」性上，充分掌握海流長期性全平面大尺度之優勢流向、優勢輸沙方向與漂沙沉積趨勢，應更可提供長期性大尺度自然海灘沖淤變遷趨勢之評估資訊(莊，2009；莊、廖，2011)，落實「近自然工法」策略之推展與實行。

至於相關海岸侵蝕變遷課題及相關之保育與防護對策，從時空範圍與規模差異，可區分為大、中、小尺度三類。在大尺度類別上，近年來，中國大陸學者林禪 等(2000)曾針對「東中國海陸架水下沙體與潮流作用」進行研究探討；而為海岸國土之永續經營利用，近岸海域環境之保育與防護，莊、江(2002a、b)；莊 等(2013)曾進行臺灣鄰近海域洋流之模擬及其對近岸海流之影響評估研究，並依據大比例尺海圖，首先介紹臺灣環島近岸海域的地形水深及存在於水深 50 米以內的大尺度水下沉積沙體，並從水下沙體的沉積形態與發展規模，篩檢對應的主要大尺度海流輸運動力，最後，以定性方式，闡釋臺灣環島沿

岸海域的長期漂沙沉積趨勢與海岸的自然沖淤趨勢，從而探討臺灣近岸海域海流對海岸長期沖淤之影響。另外，莊(2008)；廖 等(2011、2012、2013)亦曾針對臺灣環島近岸海域之大尺度海流，應用三維水動力數值模式\_POM，綜合洋流與潮流效應，進行海流輸運特性模擬，隨後，再結合臺灣主要河川之輸沙，透過輸沙模式的應用，掌握臺灣環島近岸海域之優勢海流特性與其所衍生之優勢輸沙潛勢。

在臺灣環島中、小尺度之海岸侵蝕變遷課題及與港口或海岸防護設施毗鄰海岸之相關防護、重建、保育與新生對策上，國內曾著力研究之學者專家甚多，如：郭(1990)；許 等(1994、1996)；簡 等(1996)；許、溫(1997)；張、黃(1997)；郭 (1999)；林 等(2001)；歐 等(2001)；郭、簡(2001)；莊(2009)；廖 等(2012)；許(2013)；簡 等(2015)。其間，在 1989 年，國內學者許榮中教授曾發表「靜態岬灣經驗式」(Hsu & Evans, 1989)，藉以針對具有岬頭型態之海岸或在近岸海灘構建適當人工構造物，有效評估海岸長期性的沖淤潛勢，並達成保育與穩定海岸之目的(許，2002；邱，2004；余 等，2006；許 等，2010；許，2011；余，2011；郭 等，2013、2016)。另外，在 2017 年 5 月 29 日，聯合報記者蔡孟妤等在「看見臺灣消失的海岸線 各地爭取前瞻搶救」之專題中曾報導：「全台海岸線都在退縮。」國土消失日益嚴重，高雄茄萣，曾被內政部列為一級海岸防護區，海岸線 10 多年來遭嚴重侵蝕，崎漏原本大片沙灘已退縮約上百公尺；旗津海岸線也不斷退縮約 20 公尺，部分沙灘並已完全消失，參見圖 1-6；臺南市黃金海岸也後退上百公尺；曾文溪北岸頂頭額汕南端 20 年來退縮約一公里；嘉義縣布袋鎮好美里海灘，近 20 年來海岸線至少後退 60 公尺，位於布袋鎮與東石鄉交界處的壽島，原本海巡車輛可通行無阻，現在漲潮時，壽島就「半沉」海中。為搶救流失的海岸線，高雄市政府打算向中央爭取前瞻計畫「水環境建設」逾十二億元預算，希望興建月牙型人工灣澳，加強保護旗津沙灘；茄萣擬以人工養灘和興建離岸堤方式，重現部分沙灘。



資料來源：聯合報，記者劉學聖攝影。

**圖 1-6 高雄旗津海岸線近十多年來退縮約廿公尺，是全台侵蝕甚嚴重的海岸之一**

針對近岸港口之沖淤課題，莊（2017）曾應用 Google Earth 之歷史圖像，配合波浪與海流之海象長年調查統計特性（莊、曾，2015；2016；2017），檢視並綜整臺灣環島近岸港口之外廓配置型態，並歸納出臺灣環島近岸港口，普遍具有突堤與離岸堤之複合型態，進一步再對造成港口之淤積機制進行分析，進而在眾所週知、耳熟能詳的「突堤效應」外，提出「離岸堤效應」，並判定「離岸堤效應」是造成近岸港口淤塞之最主要、也是最關鍵因素，如圖 1-7 所示，據此建議對於近岸港口之防沖減淤對策，無論是在規劃、設計、擴建或維護階段，皆應著重於「突堤效應」及「離岸堤效應」之避免或降低。



**圖 1-7 近岸港口因離岸堤效應造成的港口淤塞與海灘沖蝕**

## 1.3 工作項目

本研究\_「臺灣東部近岸港口外廓配置對毗鄰海灘沖淤之影響評估」為一年期程之研究計畫，研究重點在針對座落於臺灣東部海岸之近岸港口，檢選台東之大武及長濱漁港為例，並以莊(2017)所提出之「離岸堤效應」作基礎，從近岸波浪、海流與人工構造物的交互干擾與影響層面著手，尤其著重近岸波浪碎波及沖刷帶內碎波衍生上沖下刷衝擊流之直接作用，據以評估近岸港口外廓防浪設施對毗鄰海灘沖淤之影響，確認造成港口淤塞之關鍵控制因素，進而研提相關之防治對策與建議。主要之年度研究重點工作項目如下：

### (1) 分析臺灣東部近岸海域之颱風及季風波浪特性

颱風與強烈季風波浪之侵襲，是臺灣東部近岸港口淤塞與毗鄰海灘沖蝕之最主要造成因素及作用外力。

### (2) 綜整港口外廓配置型態之共通性

為禦防季風波浪與颱風波浪之直接衝擊，提昇港域泊地的靜穩度，臺灣東部之近岸港口，普遍向南開啟，而且外廓配置，通常具有突堤與離岸堤之複合型態。

### (3) 探討近岸港口近傍之波、流場特性

在颱風與強烈季風波浪之侵襲下，無論波浪是否碎波，於港口近旁及毗鄰之近岸灘區，皆會因具時空變動性之強大波浪衝擊與其在海灘沖刷帶上衍生強勁上沖下刷衝擊流之直接作用而使近岸輸沙失衡，進而導致港口淤塞與毗鄰海灘之沖蝕。

### (4) 「離岸堤效應」與「突堤效應」對毗鄰海灘沖淤之影響評估

臺灣東部近岸港口普遍具有複合突堤與離岸堤之配置型態，特別是海側的外廓防波堤，受突堤之遮蔽，更具有半無限長離岸堤之特徵與功用，因此，配合颱風與強烈季風波浪之侵襲特性，以「離岸堤效應」與「突堤效應」為基礎，再應用海岸動力與輸沙平衡概念，即可進行港口淤塞與毗鄰海灘沖蝕之影響評估。

### (5) 研究成果發表及期末報告撰整提交

公開陳現年度研究成果，提交書面研究報告及相關電子文件，供國內產、官、學、研各界備查、參採與應用。

## 1.4 研究成果之效益與應用

### 1.4.1 研究成果效益

本研究成果主要在應用「離岸堤效應」與「突堤效應」，藉以充分論證近岸港口淤塞與毗鄰岸灘沖蝕之關鍵機制，進而研提並建議相關之改善與防治對策。主要研究效益，綜整條列如下：

- (1) 學術成就(科技基礎研究)方面：發表國內研討會論文 2 篇，出版研究報告 1 冊。針對臺灣東部近岸港口淤塞及毗鄰海灘之沖蝕課題，結合現今進步且多元的網際網路資源，調查綜整既有近岸港口外廓防浪設施之配置型態，檢視分析港口毗鄰海灘之沖淤特性，著重近岸波浪碎波及沖刷帶內碎波衍生強勁上沖下刷衝擊流之直接作用，提出「離岸堤效應」，判定造成港口淤塞之關鍵因素，並評估與港口毗鄰海灘之沖蝕影響。發揮海岸專業知識，溫故知新，學以致用；
- (2) 技術創新(科技整合創新)方面：結合網際網路資源，應用 Google Earth 之歷史圖像，提昇近岸港口沖淤課題探討之廣度與深度，因應氣候變遷，擴展分析觀點，精進海岸經理評估策略，降低生態環境衝擊，推動「海岸防護」與「海岸保護」措施，促成國家海岸資源之永續利用；
- (3) 在經濟效益(經濟產業促進)方面：保育生態棲地，降低生態環境衝擊，配合政府推展「海岸管理法」之永續發展目標，維護自然海岸環境，防治海岸災害，撙節經常性防沖減淤之減災與救災成本，大量減少長期性港口淤沙疏浚之維運費用；
- (4) 在社會影響(社會福祉提升、環保安全)方面：配合「整體海岸管理計畫」，綜整海岸管理之課題與對策、導引海岸地區之有效維護措施，推展海岸利用方向，健全海岸之永續管理，改善近岸港口之經常性淤塞，消弭漁民對出海作業不便之怨言；

(5) 在其它效益(政策管理及其它)方面：維繫自然平衡之海灘系統，確保自然海岸零損失，因應氣候變遷，防治海岸災害與環境破壞，保護與復育海岸資源。

#### 1.4.2 在業務施政上的應用

本研究結合網際網路資源，掌握科研課題之廣度與深度，擴展分析觀點，歸納近岸港口外廓配置型態，研判其對毗鄰海灘之沖淤影響與範圍，具體建議對於近岸港口之防沖減淤對策，無論是在規劃、設計、擴建或維護階段，皆應著重於「突堤效應」及「離岸堤效應」之避免或降低，特別是對外廓防波堤之既有配置，施行長度減量工程，或適度延長港口內防波堤之長度，藉以有效阻絕離岸堤堤後沙舌或繫岸沙洲之衍生，進而可大量減少長期性港口淤沙疏浚之人力與物力投注。相關成果可提供行政院農委會漁業署、交通部、各港務分公司、內政部、經濟部水利署、各工程顧問公司等相關產、官、學、研單位從事海岸開發、港灣規劃、設計、擴建及維護的應用參考。推動並落實總體性之海岸保育與防災策略，撙節年度防沖減淤經費之投注。



## 第二章 臺灣海域的海氣象環境

### 2.1 地形水深

臺灣位於東亞大陸棚架緣上，東部海岸面對深邃的太平洋，西部海岸緊鄰臺灣海峽，北部及南部海岸分別由東海及南海所環繞。近岸海域之地形水深，如圖 2-1 所示。由圖上色階或水深等值線變化可看出，在臺灣環島近岸海域存在有海峽、海脊、海槽、海谷、深溝、凹陷、隆起等複雜的地形構造。其間，在臺灣海峽之中北部，明顯可見兩個呈東北 - 西南走向的凹陷，在桃園外海的凹陷稱為「觀音凹陷」，最深處水深超過 80 米；鄰近烏坵海域南側的凹陷稱為「烏坵凹陷」，水深較淺；在海峽中間，由彰化、雲林海岸向西北延伸約達臺灣海峽中線附近且呈東西走向的水下隆起沙體地形稱為「雲彰隆起」，水深約在 50 米以內；在臺灣海峽的南部海域，於澎湖群島與嘉義海岸間存在有俗稱黑水溝的「澎湖水道」，此海溝水道北由「雲彰隆起」南側起，向南呈喇叭狀開口，水深由北端 60 米起往南驟增，水道開口端水深可約達 1000 米；於澎湖水道以西及臺灣海峽西南端海域尚有一片淺灘地形，俗稱「臺灣灘」，淺灘上水深僅約 20 米左右(詹，2002；劉，2002；莊、江，2005)。

### 2.2 風與波浪

#### 2.2.1 風

風，是空氣自氣壓較高處向氣壓較低處流動的氣動力現象。基於地理位置及海域環境因素，臺灣四季的風，明顯會受大陸及海洋氣候型態所影響。在冬季，有來自西伯利亞的大陸冷高壓，以東北季風為主；在夏季，則有來自太平洋的海洋性高氣壓，以西南季風為主，部分期間，尚由於熱帶海洋上會發生低氣壓的漩渦或熱帶氣旋，當其近

海面最大風速到達或超過每小時 62 公里(17.2 m/s)時，即為「颱風」(氣象局，2017)。冬、夏季季風及颱風之相關天氣圖及風場，參見圖 2-2。

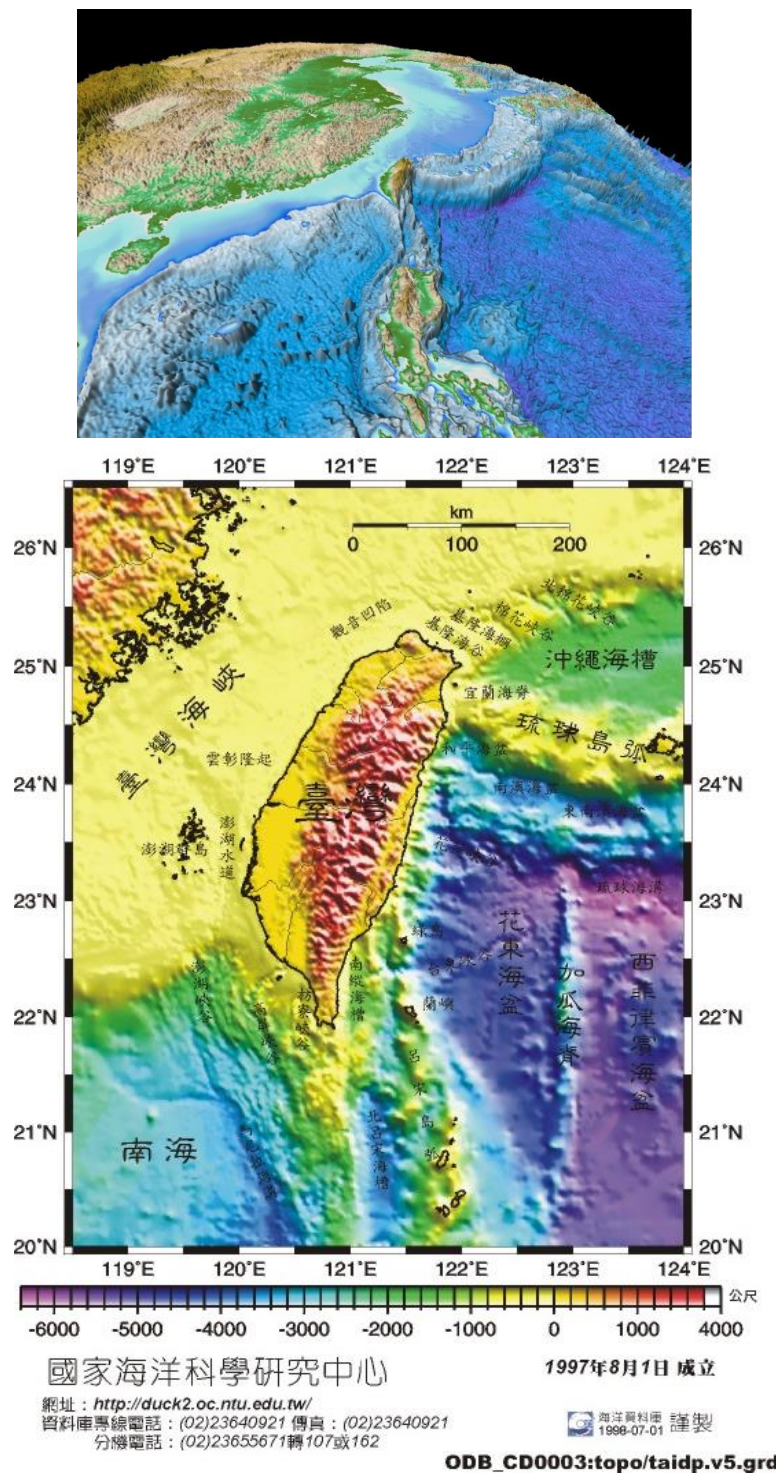


圖 2-1 臺灣環島近岸海域的水深地形

季風，主要係因海洋與陸地間季節性溫差所導致之大尺度空氣環流，並以亞洲的南部和東部最為顯著(氣象局，2017)。

臺灣位處東亞大陸與西太平洋間，概略自每年 12 月至次年 1、2 月之冬季期間，由於陸上通常較海洋寒冷，以致陸上空氣的密度較大，氣壓較高，大量寒冷而乾燥的空氣，於是因氣壓差而起風，並自陸上吹向海洋，外加科氏力(Coriolis force)之影響，因此，在東亞北緯 30 度以南地區，經常必需面對盛行的東北季風。相關冷高壓天氣系統圖，如圖 2-2 所示，由圖觀察可發現，受大陸冷高壓天氣系統之總體影響，當 1020 百帕等高壓線逐漸伸展至臺灣海峽北側，則臺灣海域之東北季風將逐漸盛行，風速(實測 10 分鐘平均)同時也將由弱轉趨強盛，一般風速可大於 5 級或 8.0~10.7 m/s (莊、曾，2016)。特別是在基隆港、臺中港近海，僅管其地理區位不同，但季風風速之強弱起伏變動卻具有甚相近似之變動趨勢；惟風速之大小，受臺灣海峽地形及所造成「狹管效應」(氣象局，2017)的影響，皆以臺中港較強勁，一般可大於 5 級或 8.0~10.7 m/s，較強勁之風速，約可達 10 級或 24.5~28.4 m/s，且約為基隆港之三倍。這實際現象說明，區域性之地形，對風力特性影響極大，故若欲藉風速以充分反映東北季風影響臺灣海域之程度，則臺中港實際上優於基隆港，也因此，臺灣海域冬季受大陸冷高壓天氣系統影響之程度，似乎可以臺中港作代表，並可以其風速之強弱，作為季風盛行程度之簡易判別指標(莊、曾，2019)。

在夏季，概略自每年 5 月至 8 月期間，由於亞洲南部陸地溫度通常較印度洋高，風因而會從氣壓較高之海洋吹向氣壓較低之陸地，外加科氏力之偏轉效應，所以，在臺灣海峽南段海域，海氣象狀況，總體上經常皆會受梅雨鋒面、西南季風天氣系統，甚至颱風所影響。相關具體的天氣系統與對應之地面風場，參見圖 2-2 所示。西南季風之風速大小，因其主要源生於海陸間之溫差，故明確具有海陸風特性，以致平均風速普遍偏弱，通常不及 8.0 m/s，季風盛行期間，風速約可達 5 級或 8.0~10.7 m/s，但較強勁風速，鮮少會超越 10.8~13.8 m/s 或 6 級。

在基港港及臺中港近海，2016 年當年分月、分季及歷年(概約自

2000 起至 2016 止)相關季風及颱風實測風力之統計表，自運研所(2017)出版之 2016 年港灣海氣象觀測資料統計年報節錄，可得如表 2-1 及表 2-2 所示；至於基隆及臺中港域，其歷年冬、夏季及全年之風玫瑰圖，經節錄整理，則可得如圖 2-3 所示。

表 2-1 基隆港海域 2016 年及歷年(概約自 2000 起至 2016 止)分月與分季之實測風力統計表

風向 年、月	N	NNE	NE	ENE	E	ESE	SE	SSE	S	SSW	SW	WSW	W	WNW	NW	NNW	靜風 (%)
2015/12	17.9	28.8	14.7	8.5	3.2	1.5	5.1	1.9	2.2	2.8	2.7	1.1	1.1	.7	2.3	5.8	.0
2016/01	20.6	17.2	12.2	5.2	2.3	1.9	3.1	2.2	4.7	6.0	2.0	2.8	.7	1.9	6.9	10.3	.0
2016/02	20.5	16.7	10.6	7.2	3.2	3.6	3.4	3.9	5.6	9.1	2.9	.9	.1	1.3	5.2	5.9	.0
2016/03	20.2	12.9	4.7	6.0	2.7	3.1	2.8	2.6	7.9	9.7	2.7	.9	1.2	1.7	7.0	13.8	.0
2016/04	6.4	10.8	14.9	10.1	2.4	4.3	4.3	3.2	7.2	13.3	7.1	1.3	.8	.8	4.4	8.6	.0
2016/05	6.7	12.0	17.3	8.9	6.9	5.0	4.4	2.8	11.0	8.3	3.6	1.9	1.2	1.1	3.9	4.8	.1
2016/06	7.5	6.9	7.4	5.4	3.1	2.4	3.3	6.0	16.3	20.4	8.6	3.5	1.5	1.0	2.6	4.2	.0
2016/07	5.0	4.4	8.7	6.3	8.7	5.8	9.1	5.4	14.4	14.8	7.7	1.9	.4	1.1	3.0	3.4	.0
2016/08	6.9	10.9	6.9	2.8	3.8	8.1	15.9	4.2	7.3	9.4	7.1	3.9	.7	.7	1.9	9.8	.0
2016/09	7.2	11.0	14.3	13.6	6.0	4.9	7.1	6.8	4.4	6.8	3.3	1.9	1.3	2.4	4.6	4.4	.0
2016/10	3.8	22.4	13.3	5.5	14.5	7.7	9.9	4.3	2.4	3.0	1.6	.5	.1	.5	4.2	6.2	.0
2016/11	7.9	23.9	15.4	8.5	6.4	4.3	6.0	3.9	5.0	6.9	3.9	.4	.1	.3	2.9	4.2	.0
2016/冬	19.6	21.0	12.5	7.0	2.9	2.3	3.9	2.6	4.1	5.9	2.5	1.6	.6	1.3	4.8	7.4	.0
2016/春	11.1	11.9	12.3	8.3	4.0	4.1	3.8	2.9	8.7	10.4	4.4	1.4	1.1	1.2	5.1	9.1	.0
2016/夏	6.4	7.4	7.7	4.8	5.2	5.4	9.5	5.2	12.6	14.8	7.8	3.1	.9	.9	2.5	5.8	.0
2016/秋	6.3	19.1	14.3	9.2	9.0	5.6	7.7	5.0	3.9	5.5	2.9	1.0	.5	1.1	3.9	4.9	.0
2016/年	10.9	14.8	11.7	7.3	5.3	4.4	6.2	3.9	7.4	9.2	4.4	1.8	.8	1.1	4.1	6.8	.0
歷年/12	13.2	19.1	18.9	12.4	7.7	3.6	3.2	2.5	3.3	3.9	3.4	1.6	.9	.7	1.5	3.1	.9
歷年/01	15.8	20.6	18.4	12.6	4.0	2.3	2.2	1.8	3.9	5.5	3.1	1.4	.8	.8	2.1	4.0	.7
歷年/02	15.7	16.5	14.1	11.1	3.9	2.7	2.3	2.7	4.8	5.7	4.9	2.3	1.0	1.2	4.2	5.9	.9
歷年/03	14.5	18.7	13.2	8.6	3.7	2.8	2.8	2.8	6.0	7.2	4.5	2.0	1.3	1.1	4.0	5.6	1.3
歷年/04	10.9	13.5	13.4	9.3	4.4	4.5	4.8	4.5	7.4	8.8	6.2	2.3	1.5	.9	2.7	4.3	.8
歷年/05	9.4	11.2	13.6	8.8	5.4	4.6	4.3	4.8	8.0	9.2	6.7	3.4	1.7	1.0	2.7	4.4	.9
歷年/06	10.1	9.6	11.4	6.5	3.8	2.7	3.4	4.7	8.7	12.8	10.3	4.3	2.0	1.3	3.0	4.4	1.0
歷年/07	7.7	7.4	8.3	4.8	4.3	3.9	8.3	7.0	10.1	13.0	10.9	4.0	1.8	1.1	2.9	3.9	.6
歷年/08	7.6	7.7	8.4	5.0	5.8	6.9	7.2	7.1	8.2	10.6	9.9	4.7	2.2	1.0	2.7	4.5	.4
歷年/09	9.2	10.2	15.3	10.6	8.7	7.3	6.8	6.6	4.7	5.4	4.4	2.7	1.3	.8	2.3	3.2	.4
歷年/10	13.7	20.9	21.9	12.4	6.9	5.0	4.1	2.0	2.7	3.1	1.6	.6	.3	.3	1.3	2.8	.4
歷年/11	10.7	17.4	20.8	15.9	6.8	4.9	4.3	2.8	3.0	3.9	2.6	1.2	.6	.4	1.4	2.4	.8
歷年/冬	14.9	18.8	17.3	12.1	5.2	2.9	2.6	2.3	3.9	5.0	3.8	1.7	.9	.9	2.6	4.3	.9
歷年/春	11.6	14.5	13.4	8.9	4.5	3.9	4.0	4.0	7.1	8.4	5.8	2.6	1.5	1.0	3.1	4.7	1.0
歷年/夏	8.5	8.2	9.3	5.4	4.6	4.6	6.3	6.3	9.0	12.1	10.4	4.3	2.0	1.1	2.8	4.3	.7
歷年/秋	11.2	16.2	19.4	13.0	7.4	5.7	5.1	3.8	3.5	4.1	2.8	1.5	.7	.5	1.7	2.8	.5
歷年/年	11.5	14.4	14.8	9.8	5.4	4.3	4.5	4.1	5.9	7.4	5.7	2.5	1.3	.9	2.6	4.0	.8

DISW5ZD.BAT

港灣技術研究中心

資料來源：2016 年港灣海氣象觀測資料統計年報 (運研所, 2017)

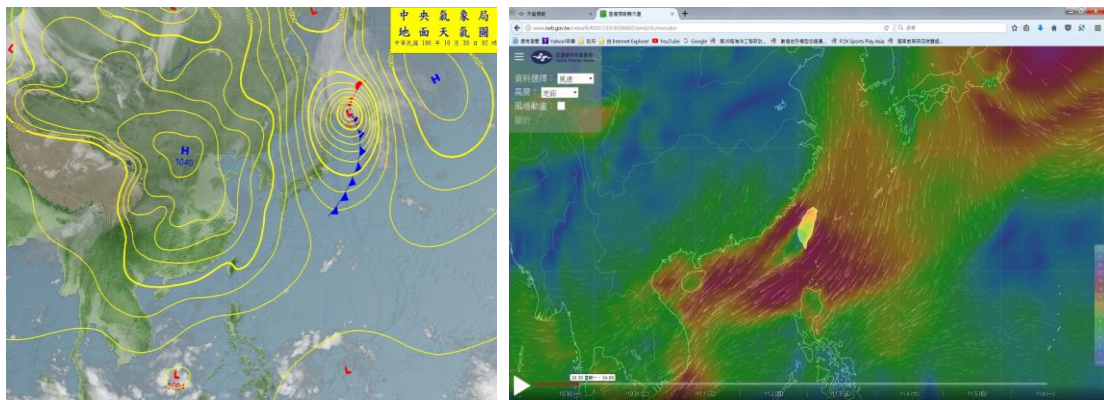
表 2-2 臺中港海域 2016 年及歷年(概約自 2000 起至 2016 止)分月與分季之實測風力統計表

風向 年、月	N	NNE	NE	ENE	E	ESE	SE	SSE	S	SSW	SW	WSW	W	WNW	NW	NNW	靜風 (%)
2015/12	4.8	66.4	22.0	1.7	.4	.4	.3	.3	.5	.3	.1	.0	.0	.1	.4	2.2	.0
2016/01	6.0	64.5	27.8	.7	.1	.1	.0	.0	.0	.0	.0	.0	.0	.0	.1	.5	.0
2016/02	4.5	59.9	24.1	.7	.6	.4	1.3	.4	2.2	2.4	.9	.7	.3	.3	.4	.9	.0
2016/03	5.6	46.8	32.7	2.0	.5	.5	.4	1.2	1.6	2.0	1.1	1.2	.0	.3	1.6	2.2	.3
2016/04	11.1	25.0	11.0	1.5	1.0	.7	.8	1.8	6.3	17.2	10.8	4.2	.8	.7	2.4	4.0	.7
2016/05	5.0	18.5	16.9	2.8	1.3	.7	.9	2.4	6.6	17.6	16.1	3.6	1.1	.9	1.6	3.1	.7
2016/06	3.2	2.1	2.4	3.1	1.9	1.1	.8	4.3	16.9	28.8	20.3	5.6	1.4	1.0	3.3	3.3	.6
2016/07	2.7	8.5	1.5	2.0	.5	.9	1.1	4.7	12.0	33.1	17.3	5.5	1.7	2.7	1.7	3.9	.1
2016/08	9.4	18.8	11.6	3.8	2.8	2.2	2.0	3.6	6.5	8.6	6.6	5.6	3.8	2.4	4.3	6.9	1.2
2016/09	5.1	32.8	18.3	3.3	.7	.7	1.1	4.2	11.7	13.3	4.4	.7	1.1	.7	.8	1.0	.0
2016/10	6.6	43.0	17.9	3.8	1.9	1.1	.8	1.3	3.0	5.0	5.5	1.6	1.6	.7	1.5	4.0	.8
2016/11	5.6	50.1	26.8	2.2	1.4	.3	.7	1.5	1.7	1.9	1.4	1.1	.3	.3	1.1	2.2	1.4
2016/冬	5.1	63.7	24.7	1.1	.4	.3	.5	.2	.9	.9	.3	.2	.1	.1	.3	1.2	.0
2016/春	7.2	30.2	20.3	2.1	1.0	.6	.7	1.8	4.8	12.2	9.3	3.0	.6	.6	1.9	3.1	.5
2016/夏	5.1	9.9	5.2	2.9	1.8	1.4	1.3	4.2	11.7	23.4	14.7	5.6	2.3	2.0	3.1	4.7	.6
2016/秋	5.8	42.0	21.0	3.1	1.3	.7	.9	2.3	5.4	6.7	3.8	1.1	1.0	.5	1.1	2.4	.7
2016/年	5.8	36.3	17.7	2.3	1.1	.8	.9	2.2	5.7	10.8	7.1	2.5	1.0	.8	1.6	2.9	.5
歷年/12	4.1	51.5	35.1	3.3	1.4	.6	.5	.4	.3	.4	.3	.2	.1	.1	.5	1.0	.0
歷年/01	6.4	58.9	26.6	2.6	1.1	.5	.3	.3	.3	.2	.1	.2	.1	.2	.5	1.6	.0
歷年/02	8.0	48.4	25.2	3.0	2.0	1.1	.7	.8	1.8	2.1	1.6	1.0	.5	.5	1.0	2.5	.1
歷年/03	7.6	36.7	30.0	3.0	2.0	.9	.9	1.4	2.1	4.0	2.7	1.9	.8	.7	1.6	3.5	.3
歷年/04	6.7	28.4	22.2	3.4	2.3	1.5	2.1	3.9	5.0	8.7	5.8	2.9	1.1	.8	1.7	3.5	.1
歷年/05	7.0	21.7	16.1	2.6	.9	1.1	1.0	2.3	7.6	15.0	11.6	4.0	1.3	1.4	2.3	3.8	.2
歷年/06	4.7	12.7	6.5	1.8	.7	.4	.9	2.4	14.5	26.3	17.3	4.5	1.2	1.3	2.0	2.9	.2
歷年/07	6.9	10.1	2.8	1.6	.7	1.0	1.0	3.1	12.3	24.4	15.4	7.4	1.9	2.2	3.7	5.4	.2
歷年/08	8.2	9.8	4.9	2.5	1.5	1.3	1.7	4.4	14.6	17.8	10.8	6.7	2.5	2.3	4.5	6.2	.2
歷年/09	8.2	31.6	19.5	3.9	1.9	1.5	2.0	3.6	6.7	6.3	3.7	2.6	1.3	.8	1.9	3.5	1.1
歷年/10	3.5	51.6	31.9	2.6	1.1	.7	.4	.7	1.3	1.8	1.3	.6	.3	.2	.5	1.4	.2
歷年/11	5.7	46.3	32.8	3.3	1.3	.8	.7	.7	1.6	1.7	.8	.7	.4	.4	.8	1.9	.2
歷年/冬	6.1	53.1	29.1	2.9	1.5	.7	.5	.5	.8	.9	.6	.4	.2	.3	.6	1.7	.1
歷年/春	7.1	28.9	22.8	3.0	1.7	1.2	1.3	2.5	4.9	9.3	6.7	2.9	1.1	1.0	1.8	3.6	.2
歷年/夏	6.6	10.8	4.7	2.0	1.0	.9	1.2	3.3	13.8	22.8	14.5	6.2	1.9	1.9	3.4	4.8	.2
歷年/秋	5.8	43.2	28.1	3.3	1.4	1.0	1.0	1.6	3.2	3.2	1.9	1.3	.7	.5	1.1	2.2	.5
歷年/年	6.4	33.9	21.1	2.8	1.4	.9	1.0	2.0	5.7	9.1	6.0	2.7	1.0	.9	1.7	3.1	.2

DISW5ZD.BAT

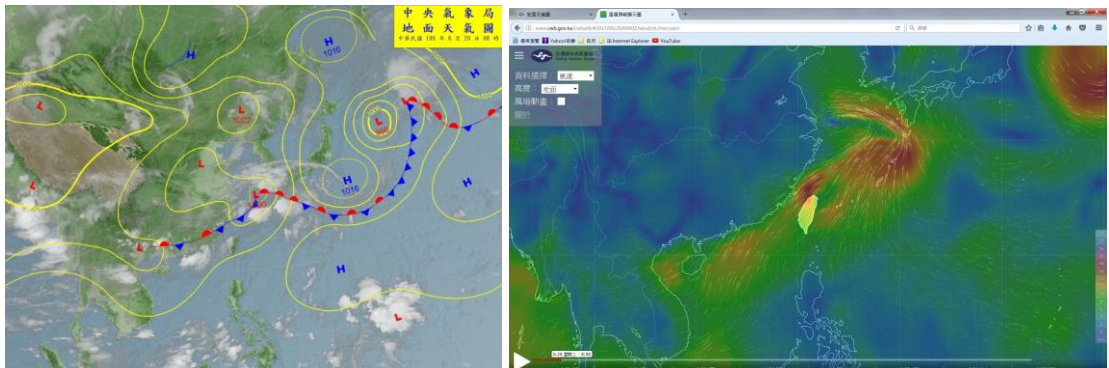
港灣技術研究中心

資料來源：2016 年港灣海氣象觀測資料統計年報（運研所，2017）



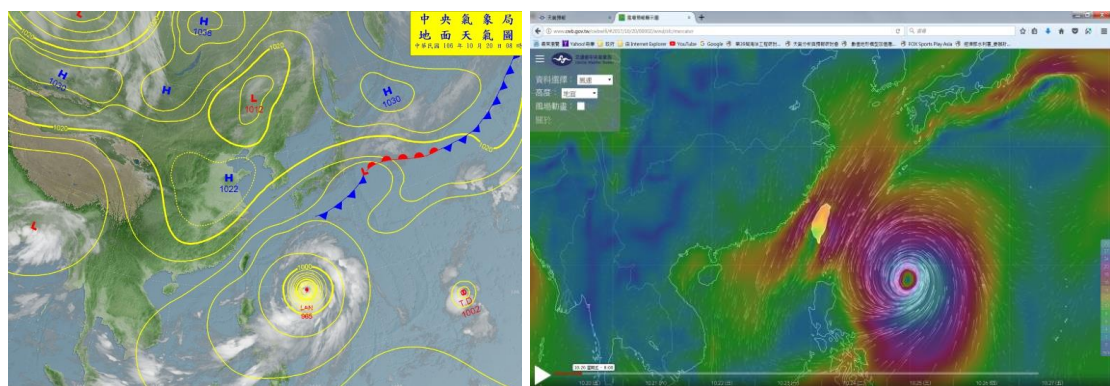
資料來源：中央氣象局 <http://www.cwb.gov.tw/>

**圖 2-2 臺灣海域冬季 2017/10/30 02:00 之東北季風天氣系統(左)與地面風場(右)**



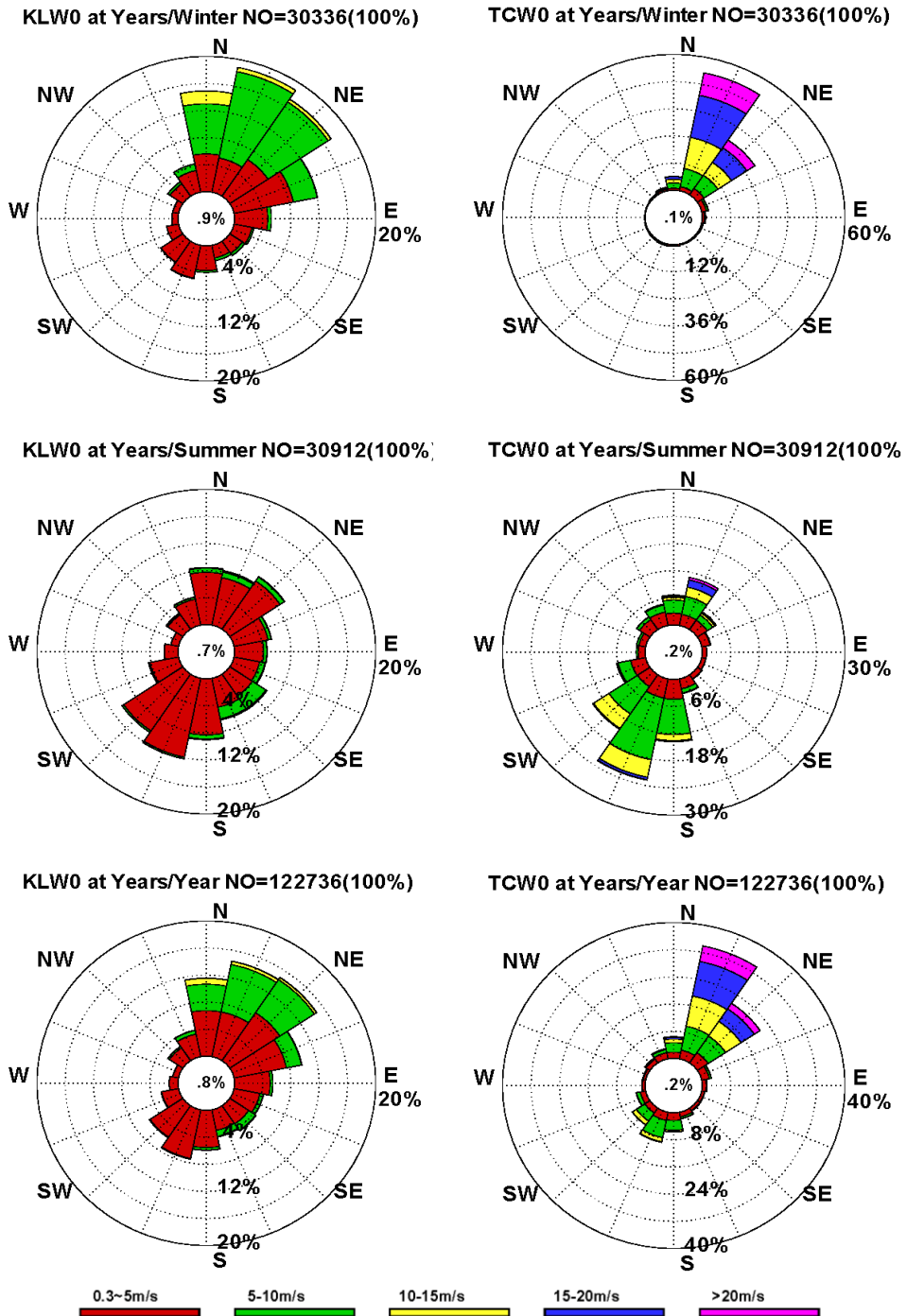
資料來源：中央氣象局 <http://www.cwb.gov.tw/>

**圖 2-2(續) 臺灣海域夏季 2017/06/20 08:00 之西南季風天氣系統(左)與地面風場(右)**



資料來源：中央氣象局 <http://www.cwb.gov.tw/>

**圖 2-2(續) 臺灣海域秋季 2017/10/20 08:00 蘭恩颱風之颱風天氣系統(左)與地面風場(右)**



資料來源：2016 年港灣海氣象觀測資料統計年報（運研所，2017）

圖 2-3 基隆(左)及臺中(右)港域概約自 2000 年起至 2016 年止歷年冬(上)、夏(中)季及全年(下)之風玫瑰圖

## 2.2.2 波浪

波浪，通常係因風而興起，因此，有「風生水起」、「無風不起浪」之俗諺。在海洋學之領域中，此種因移動風暴、颱風、或強盛季風等風力作用所衍生之波動，統稱為風浪(wind waves)。風浪之大小或所挾帶能量之高低，主要取決於風速之強弱、風域之範圍、及風力之持續吹襲時間。主要週期大多小於 30 秒，而且，週期約在 8~10 秒間之風浪，相對性地具有最大之波動能量(Munk, 1951)。

湧浪(swells)，學理上係專指離開風域或失去原生風力影響之風浪，故與颱風或強盛季風之存在息息相關，又因其通常具有較規則之波動或較長之週期，所以，通俗上亦稱為“長浪”，且常與“瘋狗浪”產生關聯(莊、曾，2015；2016；2017；2019)。

在夏季有颱風，冬季有東北季風情況下，臺灣近岸灘區及港口因而必須經年面對波浪之侵襲。其中，特別是颱風長浪，因其波動傳播速度，於颱風生成時，估計約可達 33 公里/時，或 800 公里/天(莊、曾，2015；2017；2019)。普遍較風域之移動速度快，所挾帶之能量較大，可傳播之距離甚遠，在近岸更會因波動本質之非線性群聚演化及阻塞作用而擁積及推疊，以致波高大幅放大，甚至引發突如其來的巨浪，或衍生瘋狗浪，進而對自然海灘環境及民眾之生命財產造成危害(莊、曾，2017；2019)，因此，相關其生成、發展、傳播、演化及衝擊影響等課題，長久以來，即普遍受到關注與重視。

至於臺灣海域夏季颱風與冬季季風波浪之近岸觀測特性，在綜合考量風域與區域地形水深對波浪生成與傳播之綜合影響效應下，莊、曾(2015、2016、2019)曾應用交通部運輸研究所港灣技術研究中心在國內五大商港海域所建置之海氣象(風、浪、潮、流)即時監測與傳輸顯示系統(曾 等，2015)，針對 2013 年 7 月至 2016 年 2 月期間，分月檢視海氣象測站間之觀測時序紀錄，其中，部分夏季颱風與冬季季風波浪之分月逐時觀測紀錄，分別如圖 2-4 及圖 2-5 所示。

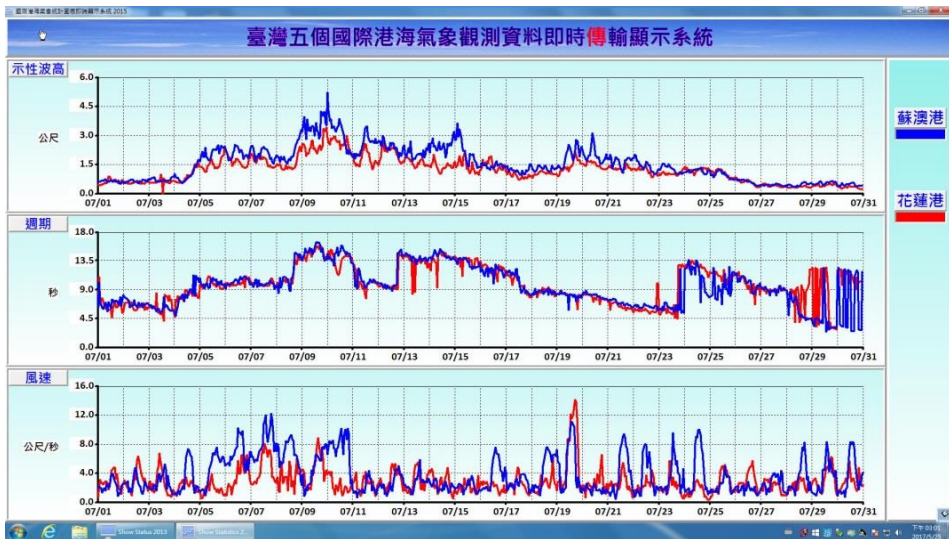


圖 2-4 蘇澳港(藍)與花蓮港(紅)在 2015 年 7 月夏季颱風期監測波浪之示性波高(上)與尖峰週期(中)及十分鐘平均風速(下)逐時變化歷程之對照比較

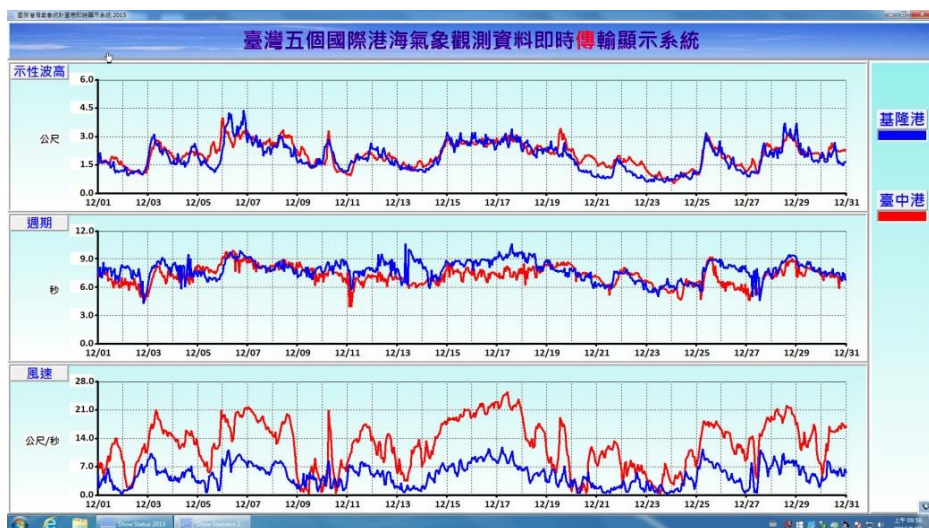


圖 2-5 基隆港(藍)與臺中港(紅)在 2015 年 12 月冬季季風期監測波浪之示性波高(上)與尖峰週期(中)及十分鐘平均風速(下)逐時變化歷程之對照比較

隨後，綜合圖 2-3 至圖 2-5 觀察冬季季風波浪可見，基於臺灣海域係受相同鋒面或季風系統所影響，位處臺灣北部之基隆港與位處中西部之臺中港，僅管兩港距離遙遠(沿海約 200 公里)，但季風波浪所衍生之示性波高及尖峰週期，仍皆具有極相近似之逐時變化歷程，特別是在臺中港，因在季風期中，該港明確比國內其他各大商港具有較強風速，因此，該港之風速，不僅可用以作為推衍冬季季風波浪之代表風速，尚可據以作為冬季季風強盛性之研判指標。其中，特別值得注意的是，在東北季風盛行期，臺灣環島海域之季風長浪，其尖峰週期，普遍約介在 5~10 秒間，最長不及 12 秒；而較大之示性波高，大多發生在基隆港，且較大之波高，可超過 3.0 公尺，最大甚至可達 6.0 公尺，惟波浪之尖峰週期，即使在高達 10 級或 24.5~28.4 m/s 之強烈季風作用下，仍普遍均低於 12 秒，且不會陳現像颱風波浪週期所特殊具有之突昇變動現象。此外，由於冬季季風期間基隆港與臺中港波浪之示性波高( $H_s$ )相關係數約介在 0.900~0.728 間，相關性甚良好；惟尖峰週期( $T_p$ )與二階譜週期( $T_{m02}$ )，由於週期值較集中，長短差異低，一般不及 12 秒，以致在部分月份，相關係數最高分別僅達 0.482 與 0.735，普遍偏低，參見表 2-3。僅管如此，單純依據波高相關性，依舊可判定基隆港的季風波浪，仍與臺中港彼此充分關聯。有所差別的，僅是基隆港觀測的波高與週期，皆略大於臺中港而已(莊、曾，2015、2016、2017)。

表 2-3 基隆港與臺中港 2013 至 2016 年冬季季風期分月監測波浪示性波高( $H_s$ )、尖峰週期( $T_p$ )及二階譜週期( $T_{m02}$ )之相關係數

項目 年/月	$H_s$	$T_p$	$T_{m02}$
	相關係數	相關係數	相關係數
2013/12	0.734	0.135	0.241
2014/01	0.836	0.362	0.288
2014/02	0.766	-0.015	0.162
2014/12	0.813	0.007	-0.066
2015/01	0.801	0.101	-0.337
2015/02	0.728	-0.198	-0.455
2015/12	0.826	0.476	0.648
2016/01	0.843	0.399	0.735
2016/02	0.900	0.482	0.573

另外，彷照颱風在遼闊海洋中，且具無限吹送距離條件下，發展成熟之颱風波浪，其尖峰週期( $T_p$ )及示性波高( $H_s$ )分別與海面上 19.5 m 處風速  $U_{19.5}$  之一次與二次方關係(Tucker, 1991)：

首先，針對臺中港與基隆港之長浪波高： $H_{TC}$  與  $H_{KL}$ ，整理其與臺中港季風風速  $V_{TC}$  二次方之關聯圖，因而可得如圖 2-6 所示，計算其對應之相關係數分別可達 0.869 及 0.770，而進行迴歸分析，並依據式(2-2)之型式計算，可得

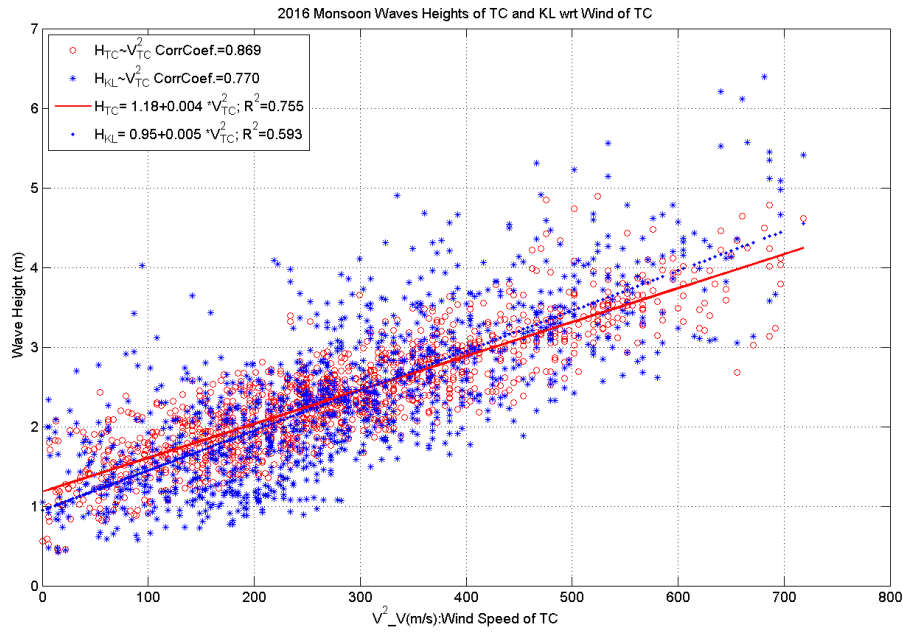
$$H_{TC} = 1.18 + 0.004 V_{TC}^2 \quad \dots \dots \dots \quad (2-3)$$

$$H_{KL} = 0.95 + 0.005 V_{TC}^2 \quad \dots \dots \dots \quad (2-4)$$

其推定係數( $R^2$ )分別亦可達 0.755 及 0.593。值得一提的是，式(2-3)及式(2-4)中，波高與風速平方間之換算係數 0.004 或 0.005，實際與一般水動力模擬風剪力之風摩擦係數(friction coefficient) 0.0026 甚近似。這意謂冬季季風對臺灣北部及中西部海域之長浪波高具有總體影響性，且風速可以臺中港作為示性代表。又針對臺中港與基隆港之長浪週期  $T_{TC}$ 、 $T_{KL}$ ，整理其與臺中港季風風速一次方之關聯圖，因而可得如圖 2-7 所示，計算其對應之相關係數分別為 0.543 及 0.614，而進行迴歸分析，並依據式(2-1)之型式計算，可得

$$T_{KL} = 5.91 + 0.167 V_{TC} \dots \quad (2-6)$$

其推定係數分別僅約為 0.295 及 0.377。這意謂臺灣北部及中西部海域之季風長浪，其週期長短僅約略與風速之強弱相關，但不會隨風速而陳現明顯變化。



Monsoon Wave Height of SA and HL wrt Wind of TC 2016.emf

圖 2-6 冬季季風期間臺灣西部海岸臺中港(紅)及北部海岸基隆港(藍)之長浪波高與臺中港風速二次方之關聯圖  
Monsoon Wave Periods and Wind Speed of TC 2016. emf

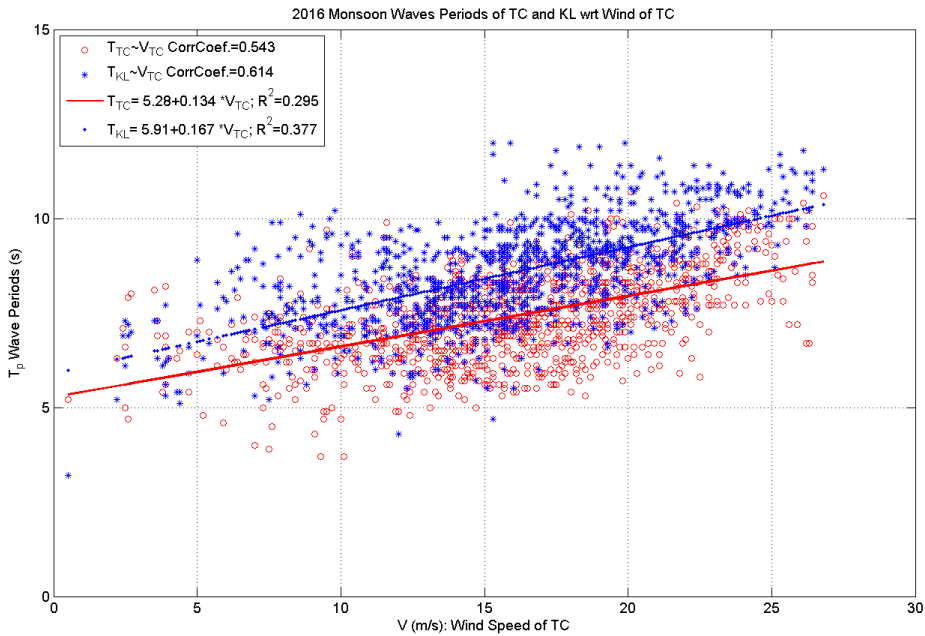


圖 2-7 冬季季風期間臺灣西部海岸臺中港(紅)及北部海岸基隆港(藍)之長浪尖峰週期與臺中港風速之關聯圖

其次，針對蘇澳港與花蓮港之長浪波高： $H_{SA}$  與  $H_{HL}$ ，整理其與臺中港季風風速  $V_{TC}$  二次方之關聯圖，因而可得如圖 2-8 所示，計算其對應之相關係數分別可達 0.598 及 0.617，而進行迴歸分析，並依據式(2-2)之型式計算，可得

$$H_{SA} = 1.24 + 0.0014 V_{TC}^2 \quad \dots \dots \dots \quad (2-7)$$

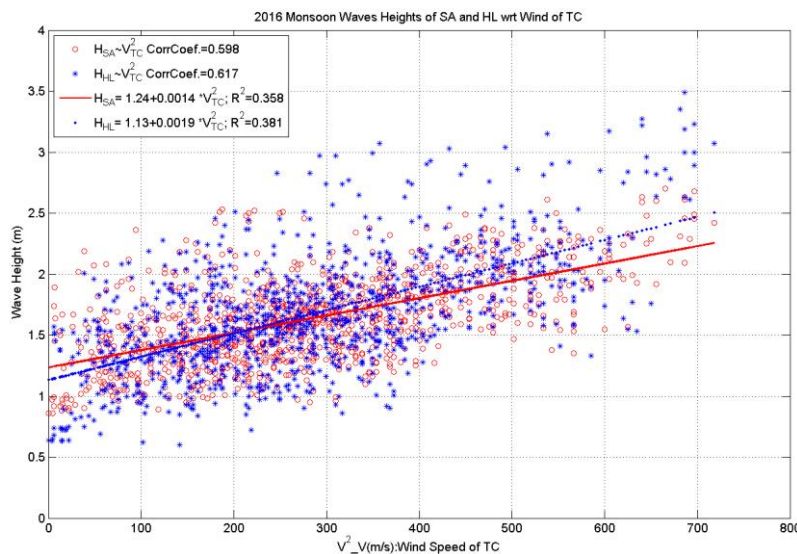
其推定係數分別可達 0.358 及 0.381，且式(2-7)及式(2-8)中，波高與風速平方間之換算係數 0.0014 或 0.0019，實際與一般水動力模擬風剪力之風摩擦係數(friction coefficient) 0.0026 亦甚近似。

接著，針對蘇澳港與花蓮港之長浪週期  $T_{SA}$ 、 $T_{HL}$ ，整理其與臺中港季風風速一次方之關聯圖，因而可得如圖 2-9 所示，計算其對應之相關係數，分別為 0.434 及 0.378，而進行迴歸分析，並依據式(2-1)之型式計算，可得

計算其推定係數，分別僅約為 0.188 及 0.143。這說明冬季季風對臺灣東部及中西部海域之長浪波高，總體上同樣具有影響性，如圖 2-10 所示，且風速可以臺中港作為示性代表；惟臺灣東部海域季風長浪之週期長短，僅概約與季風風速強弱相關，且不會隨風速而陳現明顯變化。

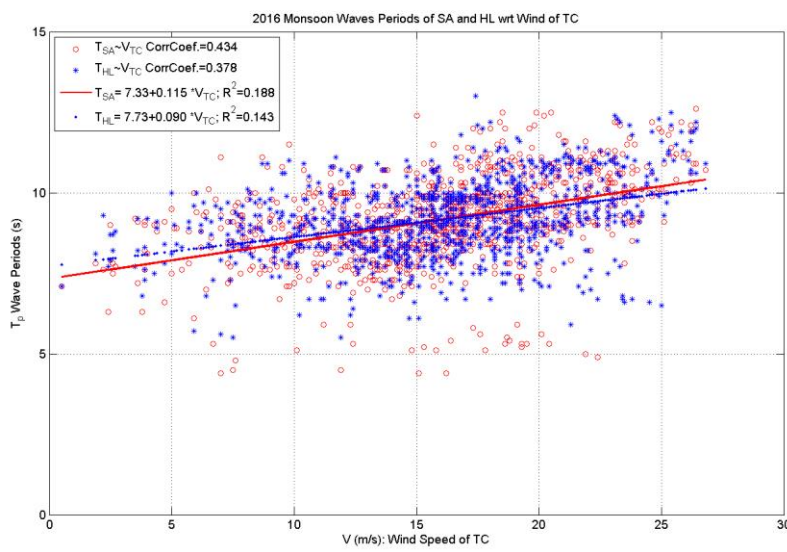
最後，針對夏季期間之颱風波浪，在臺灣東部海域，由於其直接面對深邃的西太平洋，加以近岸海灘坡度陡峭，海域地形水深環境甚相類似，故而自原生海域傳達近海之颱風波浪，受海岸及陸地岬頭地形遮蔽影響所衍生之淺海效應甚為有限，以致同處在東部海域之蘇澳港及花蓮港，無論颱風行進路徑、強度變化之影響，颱風波浪之波高與週期，均約略具有近似相同之逐時演化特性(莊、曾，2015；2017；2019)。廣泛綜整蘇澳港與花蓮港在2013年8月、2014年與2015年7

月、8月之波浪與風速分月逐時變化歷程，再檢視夏季颱風影響期間蘇澳港與花蓮港波浪之關聯性，進一步可將蘇澳港與花蓮港各分月逐時之示性波高、尖峰週期與二階譜週期分別綜整，如圖 2-11 所示，而對應之相關係數，則可統整如表 2-4 所示。



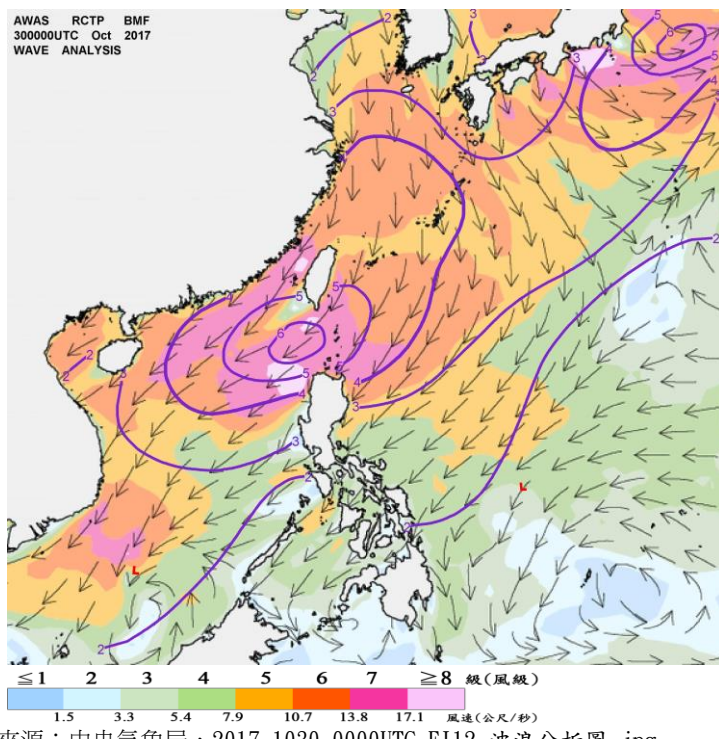
Monsoon Wave Height of SA and HL wrt Wind of TC 2016.emf

圖 2-8 冬季季風期間臺灣東部海岸蘇澳港(紅)及花蓮港(藍)之長浪波高與臺中港風速二次方之關聯圖



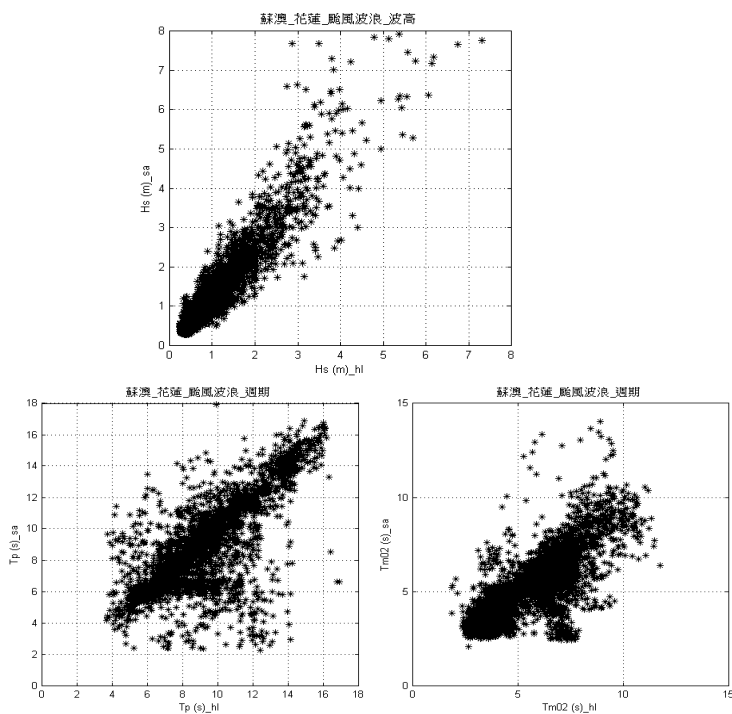
Monsoon Wave Periods of SA and HL wrt Wind of TC 2016.emf

圖 2-9 冬季季風期間臺灣東部海岸蘇澳港(紅)及花蓮港(藍)之長浪尖峰週期與臺中港風速之關聯圖



資料來源：中央氣象局，2017\_1030\_0000UTC\_F112\_波浪分析圖.jpg

**圖 2-10 冬季季風(色階及箭尺)對臺灣東部及中西部海域長浪波高(等值線)所具有總體上之影響性**



**圖 2-11 蘇澳港與花蓮港自 2013 年至 2015 年 7 月與 8 月夏季颱風期監測波浪示性波高(上)與尖峰週期(下左)及二階譜週期(下右)之關聯性**

表 2-4 蘇澳港與花蓮港 2013 至 2015 年夏季颱風期分月監測波浪示性波高( $H_s$ )、尖峰週期( $T_p$ )及二階譜週期( $T_{m02}$ )之相關係數

項目 年/月	$H_s$	$T_p$	$T_{m02}$
	相關係數	相關係數	相關係數
2013/07	0.872	0.802	0.759
2013/08	0.926	0.483	0.647
2014/07	0.962	0.758	0.901
2014/08	0.928	0.838	0.881
2015/07	0.891	0.618	0.670
2015/08	0.963	0.681	0.768

綜合觀察圖 2-11 及表 2-4 可見，在夏季颱風影響期間，蘇澳港與花蓮港之波浪，示性波高的相關係數普遍均甚高，約介在 0.872~0.963 間；尖峰週期與二階譜週期的相關係數亦甚良好，最高分別可達 0.838 與 0.901，最低仍有 0.483 與 0.647。因此可據以確認，蘇澳港與花蓮港之波浪，彼此確實皆具有極高之關聯性，且可進一步應用以作為不同海象測站間颱風波浪監測紀錄之品管，特別是作為交互檢校及補遺之參考依據。有所差別的，僅是蘇澳港觀測的示性波高，一般略大於花蓮港而已。

至於西南季風波浪之觀測特性，莊、曾(2017)曾就臺灣海峽南段海域，自中央氣象局之即時海況資訊網，檢選具有區域代表特性之東沙島、七美、小琉球等三處資料浮標，再擷取並彙整其自 2017 年 5 月 8 日 11 時至 7 月 28 日 0 時共計約 80 日無颱風影響期間之實測逐時監測紀錄，經統計分析，可得示性波高( $H_s$ )、二階譜週期( $T_{m02}$ )或稱平均週期、平均風速大小之詳細區間分布，如表 2-5 所示。由表綜合觀察可見，在夏季季風天氣系統之總體影響下，臺灣海峽南段海域，無論季風是否強盛，波浪與風速一般皆甚和緩，示性波高普遍低於 2 公尺，較大者亦不過 3 公尺；二階譜週期大多在 8 秒以下，且通常小於 6 秒；另外，再將三處資料浮標間之海氣象透過相關性分析可發現，東沙島與七美二資料浮標，不僅實際風速強弱之逐時變化歷程均甚相近似，波高大小亦概略會隨同風速強弱逐時變化而消長，彼此間風速及波高之

相關係數分別可達 0.614 與 0.782，因此，可互為代表並據以直接陳現區域性之海氣象特性，惟總體代表性，仍以東沙島較佳。

位處在臺灣環島之近岸灘區及港口，在夏季颱風及冬季東北季風盛行情況下，因而經年必須面對颱風與季風波浪之侵襲。相關臺灣環島之季風波浪型態，經摘錄內政部 2017 年經核定之「整體海岸管理計畫」內文說明，可參見表 2-6 所示；而歷年冬季臺灣 12 個港域主要測站實測示性波高、週期及波向之統計結果，經摘錄交通部運輸研究所港出版之「2014 年港灣海氣象觀測資料統計年報」，可參見表 2-7 所示。

此外，張 等(2016)為分析臺灣環島海域波浪之長期變遷趨勢，曾採用 Seasonal Kendall 趨勢檢定法，估算在氣候變遷影響下，各重現期的波高變化量，進而推求考慮長期變遷的設計波標準，相關七大主要商港港口 10 年重現期之設計波推算結果，經摘錄可參見表 2-8 所示，由表觀察可見，若以 10 年重現期訂為較經常遭遇之嚴峻海況，則臺灣東部海岸之蘇澳港與花蓮港，經常遭遇之嚴峻海況，波高將可達 8.6 公尺以上。

在臺灣環島 12 個主要港域測站，概約自 2000 年起至 2016 年止，歷年夏季、冬季及年際示性波高、週期及波向統計表，經摘錄交通部運輸研究所(2017)出版之「2016 年港灣海氣象觀測資料統計年報」，分別可得如表 2-9 至表 2-11 所示；相關臺灣西南部高雄及東部花蓮與臺東海域歷年(2000~2016)夏季觀測波浪玫瑰圖，如圖 2-12 所示；而臺灣東部蘇澳、花蓮、臺東海域歷年冬季及年際之觀測波浪玫瑰圖，則分別如圖 2-13 及圖 2-14 所示。其中，有關臺東海域冬、夏季之波浪，配合表 2-9 至表 2-11，並由圖 2-12 至圖 2-14 綜合觀察可見，在冬季東北季風影響期間，由於臺灣東部之蘇澳、花蓮及臺東海域，地理條件類同，以致近海波浪特性彼此亦相近似，以臺東海域為例，冬季示性波高以 1~2 公尺為主，較大波高可達 2~5 公尺，主要波向集中在東北東(ENE)至東南東(ESE)間；而在夏季西南季風影響期間，臺灣東部花蓮與臺東海域的波浪，仍約略具有與冬季波浪相近似之波高特性，示性波高仍以 1~2 公尺為主，較大波高亦可達 2~5 公尺，惟主要波向集中

於東(E)至南南東(SSE)間。

針對應用資料浮標所觀測臺灣東部近海之波浪特性，自中央氣象局官網-氣候-波浪統計(<https://www.cwb.gov.tw/V7/marine/stat/cht/wave/46694A.html>)項目下，摘錄蘇澳資料浮標歷年(1999-2017)每月之波高統計，可得結果如表 2-12 及圖 2-15 所示；花蓮資料浮標歷年(1997-2017)每月之波高統計結果，如表 2-13 及圖 2-16 所示；而臺東資料浮標歷年(2010-2017)每月之波高統計結果，則可得如表 2-14 及圖 2-17 所示。若臺東資料浮標可據以代表陳示臺東海域的波浪統計特性，則由圖 2-17 觀察可見，臺東海域的波浪，無論冬、夏季，其各月份之平均示性波高，一般皆不及 2 公尺，不過自每年 7 月至隔年 1 月包含夏、冬季之颱風及冬季季風期間，值得注意的是，較大之示性波高，約可達 4 公尺以上。

表 2-5 臺灣海峽南段海域東沙島、七美、小琉球資料浮標於 2017 年 5 月 8 日至 7 月 28 日夏季期間實測波高、週期、風速之統計分析

測站	示性波高 (m)		
	< 1.0 (%)	< 2.0 (%)	< 3.0 (%)
東沙島	48.32	91.59	99.84
七美	45.48	95.33	99.69
小琉球	74.35	98.69	100.00
測站 (%)	二階譜週期 (s)		
	< 6.0 (%)	< 8.0 (%)	< 10.0 (%)
東沙島	90.95	100.00	100.00
七美	97.77	100.00	100.00
小琉球	90.33	99.95	100.00
測站 (%)	平均風速 (m/s)		
	< 7.9 (4 級) (%)	< 10.7 (5 級) (%)	< 13.8 (6 級) (%)
東沙島	89.41	99.41	100.00
七美	90.98	99.13	99.89
小琉球	90.55	99.19	99.95

表 2-6 臺灣環島海岸之季風波浪型態

區段	冬季波浪	夏季波浪
北海岸 (富貴角至三貂角)	波高約2~3 公尺，週期8~10 秒，主要波向為北-北北東向。	波高多小於 1.0 公尺，週期約 6~7 秒。主要波向多為東北向。
西北海岸 (富貴角至白砂岬)	波高約 1.5~2.5 公尺，週期 8~10 秒，主要波向為北-北北東向。	波高平均約 0.5~1.0 公尺，週期約 5~6 秒。
西海岸北部 (白砂岬至烏溪)	波高約 1~2 公尺，週期 6~8 秒，主要波向北-北北東向。	波高 0.5~1.0 公尺，週期約 6 秒。
西海岸中部 (烏溪至外傘頂洲)	波高約 0.8 公尺，週期約 7 秒，波浪性質同上，但較複雜，波浪在外海由北北東經外傘頂洲折射繞射後在近岸改為北北西向。	夏季波浪甚小，週期約 5~6 秒主要波向為西南向。
西海岸南部 (新港至曾文溪)	受外傘頂洲屏障，冬季波浪不大，波高約 1~2 公尺，週期 5~6 秒，主要波向北-西北向。	波高多小 1.0 公尺，週期約 4~6 秒，主要波向為西南向。
西南海岸 (曾文溪至貓鼻頭)	波高約小於 0.5 公尺，對應週期 6 秒，主要波向為北-西北向，但海峽中心風浪仍可影響岸邊。	波高約 0.5~1.0 公尺，週期 6~8 秒，主要波向以西南-西南西向為主。
東部海岸 (鵝鑾鼻至三貂角)	面臨太平洋，波浪不受水深影響，季風波高約 3~4 公尺，對應週期 9 ~ 10 秒，主要波向為東北-北北東向，但最大波高可達 8~9 公尺。	波高約為 1.0~2.0 公尺之間，週期多介於 6~8 秒，主要波向多為東-東南向。

資料來源：「海岸領域行動方案(102-106 年)」，內政部，103 年 5 月；摘錄自「整體海岸管理計畫」，內政部，2017。

表 2-7 歷年冬季臺灣 12 個港域主要測站示性波高、週期及波向統計表

港區名稱	波高/週期/波向 最大值	示性波高 (Hs)				波向				尖峰週期(Tp)			
		<0.5m (%)	0.5~1m (%)	1~5m (%)	>5 m (%)	N~E (%)	E~S (%)	S~W (%)	W~N (%)	< 6s (%)	6~8s (%)	8~10s (%)	>10s (%)
蘇澳港域	6.22/11.9/NE	.0	10.1	89.8	.0	52.0	47.2	.7	.0	5.4	35.0	49.0	10.6
花蓮港域	4.38/9.6/SE	.0	9.3	90.7	.0	23.4	75.2	1.2	.3	6.4	36.0	47.9	9.7
臺東港域	4.60/8.8/E	.0	6.3	93.7	.0	28.6	71.2	.1	.0	15.1	82.8	2.0	.1
基隆港域	8.14/10.1/WSW	4.6	21.2	73.8	.3	93.4	1.8	1.4	3.5	13.4	46.4	36.5	3.7
臺北港域	5.47/10.9/N	12.2	23.5	64.2	.0	68.2	2.4	2.9	26.5	26.4	53.0	19.6	1.0
臺中港域	8.44/11.1/N	3.2	8.6	87.8	.5	88.4	.2	.4	11.0	22.5	57.2	19.8	.4
布袋港域	1.72/10.2/WNW	68.2	27.7	4.1	.0	6.8	28.8	10.4	54.0	29.7	29.3	34.4	3.8
安平港域	3.52/12.6/SSW	49.0	49.0	2.0	.0	7.5	9.1	33.9	49.5	70.6	22.5	6.2	.7
高雄港域	4.06/11.8/SSW	13.5	79.2	7.3	.0	2.0	7.1	37.5	53.3	48.0	34.7	13.4	3.8
馬祖港域	6.26/8.5/NE	.3	10.5	88.6	.6	61.7	26.4	9.9	2.0	62.3	29.1	8.0	.5
金門港域	3.73/6.9/	7.9	28.4	63.7	.0	29.9	67.7	2.2	.2	91.9	8.1	.0	.0
澎湖港域	5.96/7.8/NE	8.5	12.9	78.4	.3	89.7	2.5	.8	7.0	74.2	25.6	.2	.0

資料來源：「2014 年港灣海氣象觀測資料統計年報」，交通部運輸研究所，2017。

表 2-8 臺灣環島海域國內 7 大商港 10 年重現期之建議設計波高範圍

商港	極值波高 (m)	標準偏差 (m)	建議設計波高範圍 (m)
蘇澳港	8.72	0.54	7.95~9.75
花蓮港	8.60	0.59	7.56~9.50
基隆港	7.73	0.7	6.58~8.89
臺北港	5.94	0.54	5.28~7.08
臺中港	7.25	0.44	6.52~7.98
安平港	5.81	0.41	5.25~6.59
高雄港	6.33	0.41	5.76~7.10

資料來源：「臺灣主要港口附近海域混合波浪統計特性及推算模式建置研究(4/4)」，張 等，2016。

表 2-9 臺灣環島 12 個主要港域測站概約自 2000 年起至 2016 年止歷年  
夏季示性波高週期及波向統計表

港區 名稱	觀測 點數	$H_s$ 平均值 (m)	$T_p$ 平均值 (s)	$H_s$ 最大值 (波高/週期/波向) (m/s/來向)	$H_s$ < 0.5m (%)	$H_s$ 0.5~1m (%)	$H_s$ 1~5m (%)	$H_s$ >5 m (%)	波向 N ~ E (%)	波向 E ~ S (%)	波向 S ~ W (%)	波向 W ~ N (%)	$T_p$ < 6s (%)	$T_p$ 6~8s (%)	$T_p$ 8~10s (%)	$T_p$ >10s (%)
臺北港域	33999( 84%)	.61	5.8	6.94/ 8.7/NNE	52.5	32.7	14.7	.1	23.8	5.4	24.5	46.3	62.5	27.8	7.7	2.0
基隆港域	31563( 93%)	.58	7.1	7.41/ 7.3/NNE	61.4	26.5	12.0	.2	87.7	4.0	4.4	3.9	32.4	40.6	17.5	9.6
蘇澳港域	31199( 90%)	1.08	7.8	16.02/ 14.6/ESE	12.7	50.1	36.4	.8	12.7	64.7	22.3	.3	20.4	38.7	24.8	16.2
花蓮港域	31894( 92%)	.98	7.9	9.26/ 11.9/NNE	17.3	50.7	31.6	.3	5.5	94.1	.2	.2	18.4	38.8	27.4	15.4
臺東港域	12464( 94%)	.97	5.9	12.08/ 9.7/SSE	23.7	42.3	33.6	.4	13.4	74.8	11.8	.1	61.1	31.4	5.6	1.9
布袋港域	9832( 70%)	.61	7.0	5.09/ 4.2/WSW	49.1	37.9	13.0	.0	8.1	3.2	75.6	13.1	23.4	42.5	28.7	4.9
高雄港域	27500( 87%)	1.05	7.0	7.95/ 7.8/WSW	19.4	39.7	40.6	.2	3.4	5.4	85.7	.5	28.0	46.3	21.4	4.3
安平港域	31975( 87%)	.97	6.3	7.66/ 12.0/SW	25.7	39.6	34.4	.3	.6	5.2	89.0	.5	43.4	41.6	13.2	1.7
臺中港域	29451( 93%)	.87	5.7	10.95/ 9.9/SSW	21.2	53.3	25.3	.2	24.7	2.8	19.3	53.2	54.6	37.4	6.6	1.2
澎湖港域	20158( 91%)	.53	4.6	6.49/ 8.3>NNW	62.0	28.1	9.9	.0	24.6	26.4	28.7	20.4	97.2	2.8	.0	.0
金門港域	32747( 91%)	.86	4.8	5.33/ 7.6/ESE	18.9	51.9	29.2	.0	6.2	43.2	50.3	.3	89.0	10.8	.1	.0
馬祖港域	13932(100%)	1.27	5.2	12.84/ 10.1/SE	6.8	39.0	53.6	.6	26.1	34.2	37.6	2.1	78.7	15.6	4.5	1.2

DISV4Z.BAT

港灣技術研究中心

資料來源：2016 年港灣海氣象觀測資料統計年報（運研所，2017）

表 2-10 臺灣環島 12 個主要港域測站概約自 2000 年起至 2016 年止歷年冬季示性波高週期及波向統計表

港區 名稱	觀測 點數	$H_s$	$T_p$	$H_s$ 最大值	$H_s$	$H_s$	$H_s$	$H_s$	波向	波向	波向	$T_p$	$T_p$	$T_p$	$T_p$	
		平均值 (m)	平均值 (s)	(波高/週期/波向) (m/s/來向)	< 0.5m (%)	0.5~1m (%)	1~5m (%)	>5 m (%)	N ~E (%)	E ~S (%)	S ~W (%)	W ~N (%)	< 6s (%)	6~8s (%)	8~10s (%)	>10s (%)
臺北港域	30109( 77%)	1.43	6.9	6.98/ 10.2/NNW	11.7	22.6	65.6	.1	68.3	2.6	3.0	26.1	25.2	52.1	21.5	1.1
基隆港域	27378( 90%)	1.75	7.6	8.14/ 10.1/WSW	4.4	20.6	74.6	.3	94.1	1.5	1.2	3.3	12.5	45.6	38.1	3.8
蘇澳港域	29039( 86%)	1.47	8.3	6.22/ 11.9/NE	.0	9.9	90.0	.0	50.4	48.8	.8	.0	5.0	34.0	50.2	10.8
花蓮港域	32537( 96%)	1.52	8.2	4.38/ 9.6/SE	.0	9.8	90.2	.0	24.3	74.4	1.0	.2	5.7	34.8	49.4	10.0
臺東港域	11694( 90%)	1.62	6.5	4.60/ 8.8/E	.0	8.1	91.9	.0	31.5	68.3	.2	.0	18.9	79.2	1.8	.1
布袋港域	7095( 76%)	.45	6.8	1.72/ 10.2/WNW	65.4	30.3	4.4	.0	6.4	26.9	9.7	57.0	28.5	29.2	36.2	3.6
高雄港域	24962( 91%)	.70	6.4	4.06/ 11.8/SSW	13.1	79.9	7.0	.0	1.7	5.9	41.7	50.7	46.6	35.3	14.2	3.9
安平港域	30015( 87%)	.53	5.8	3.52/ 12.6/SSW	47.8	50.3	1.9	.0	6.5	7.8	33.9	51.8	65.3	26.1	7.9	.7
臺中港域	22734( 85%)	2.15	6.9	8.44/ 11.1/N	3.0	9.3	87.4	.4	83.5	.4	6.4	9.7	22.0	57.4	20.1	.4
澎湖港域	19881( 92%)	1.79	5.3	5.96/ 7.8/NE	9.1	13.7	76.9	.2	84.9	2.0	1.0	12.1	78.0	21.9	.1	.0
金門港域	31843( 92%)	1.22	5.2	4.21/ 8.5/WSW	8.2	28.7	63.0	.0	28.8	68.4	2.5	.2	91.2	8.8	.0	.0
馬祖港域	10678( 92%)	2.12	5.8	6.26/ 8.5/NE	.6	11.4	87.6	.4	56.2	32.0	9.5	2.3	68.6	24.8	6.2	.4

DISV4Z.BAT

港灣技術研究中心

資料來源：2016 年港灣海氣象觀測資料統計年報（運研所，2017）

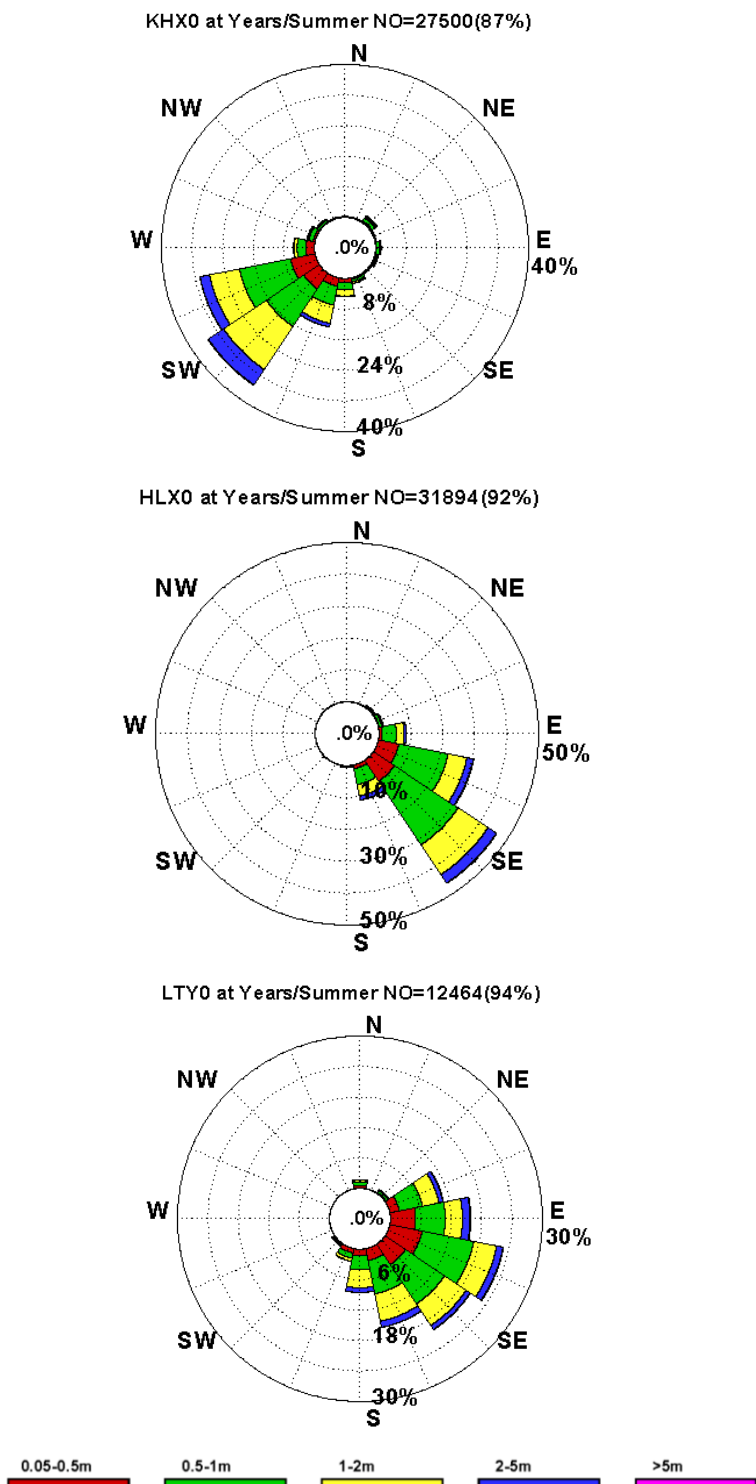
表 2-11 臺灣環島 12 個主要港域測站概約自 2000 年起至 2016 年止歷年全年示性波高週期及波向統計表

港區 名稱	觀測 點數	$H_s$	$T_p$	$H_s$ 最大值	$H_s$	$H_s$	$H_s$	$H_s$	波向	波向	波向	$T_p$	$T_p$	$T_p$	$T_p$	
		平均值 (m)	平均值 (s)	(波高/週期/波向) (m/s/來向)	< 0.5m (%)	0.5~1m (%)	1~5m (%)	>5 m (%)	N ~E (%)	E ~S (%)	S ~W (%)	W ~N (%)	< 6s (%)	6~8s (%)	8~10s (%)	>10s (%)
臺北港域	129288( 81%)	.99	6.4	8.75/ 10.3/	30.5	30.7	38.7	.1	52.2	4.1	10.6	33.1	43.6	40.2	14.3	1.9
基隆港域	121643( 93%)	1.20	7.4	11.35/ 5.5/N	24.6	28.9	46.3	.2	93.0	1.9	2.7	2.4	20.8	46.1	26.5	6.6
蘇澳港域	119374( 89%)	1.29	8.1	17.51/ 15.4/SE	4.8	30.4	64.4	.4	35.9	55.1	8.2	.8	11.0	38.5	36.0	14.5
花蓮港域	130457( 94%)	1.25	8.1	12.50/ 7.3/SW	6.1	32.6	61.2	.1	16.3	83.1	.4	.1	9.8	38.6	38.0	13.6
臺東港域	50366( 92%)	1.29	6.2	15.87/ 12.4/ESE	8.7	30.4	60.6	.4	27.4	67.9	4.6	.0	42.3	52.7	4.1	.9
布袋港域	38385( 80%)	.50	6.7	5.09/ 4.2/WSW	61.3	31.9	6.8	.0	6.2	11.4	37.2	45.2	29.8	37.7	27.1	4.1
高雄港域	109412( 88%)	.78	6.4	7.95/ 7.8/WSW	24.1	58.5	17.3	.1	3.1	5.9	60.2	30.8	46.1	37.0	13.1	3.8
安平港域	120257( 84%)	.65	5.8	7.93/ 8.6/SW	45.9	41.4	12.6	.1	3.7	6.7	59.5	30.1	62.1	29.2	7.6	1.2
臺中港域	101776( 88%)	1.47	6.3	10.95/ 9.9/SSW	12.7	28.8	58.3	.2	62.1	1.8	9.9	26.2	37.3	50.4	11.3	.9
澎湖港域	82106( 91%)	1.21	5.0	6.84/ 8.4/NE	30.6	21.2	48.1	.2	64.0	9.6	10.5	15.8	88.1	11.8	.1	.0
金門港域	128484( 91%)	1.03	5.0	11.86/ 9.4/SE	15.9	38.5	45.6	.0	20.9	59.7	19.1	.3	91.0	8.9	.1	.0
馬祖港域	51171( 97%)	1.67	5.6	12.84/ 10.1/SE	3.1	25.4	70.8	.7	45.6	35.4	16.6	2.4	72.7	21.3	4.7	1.3

DISV4Z.BAT

港灣技術研究中心

資料來源：2016 年港灣海氣象觀測資料統計年報（運研所，2017）



資料來源：2016 年港灣海氣象觀測資料統計年報（運研所，2017）

**圖 2-12 臺灣西南部高雄(上)及東部花蓮(中)、臺東(下)海域概約自 2000 年起至 2016 年止歷年夏季觀測波浪玫瑰圖**

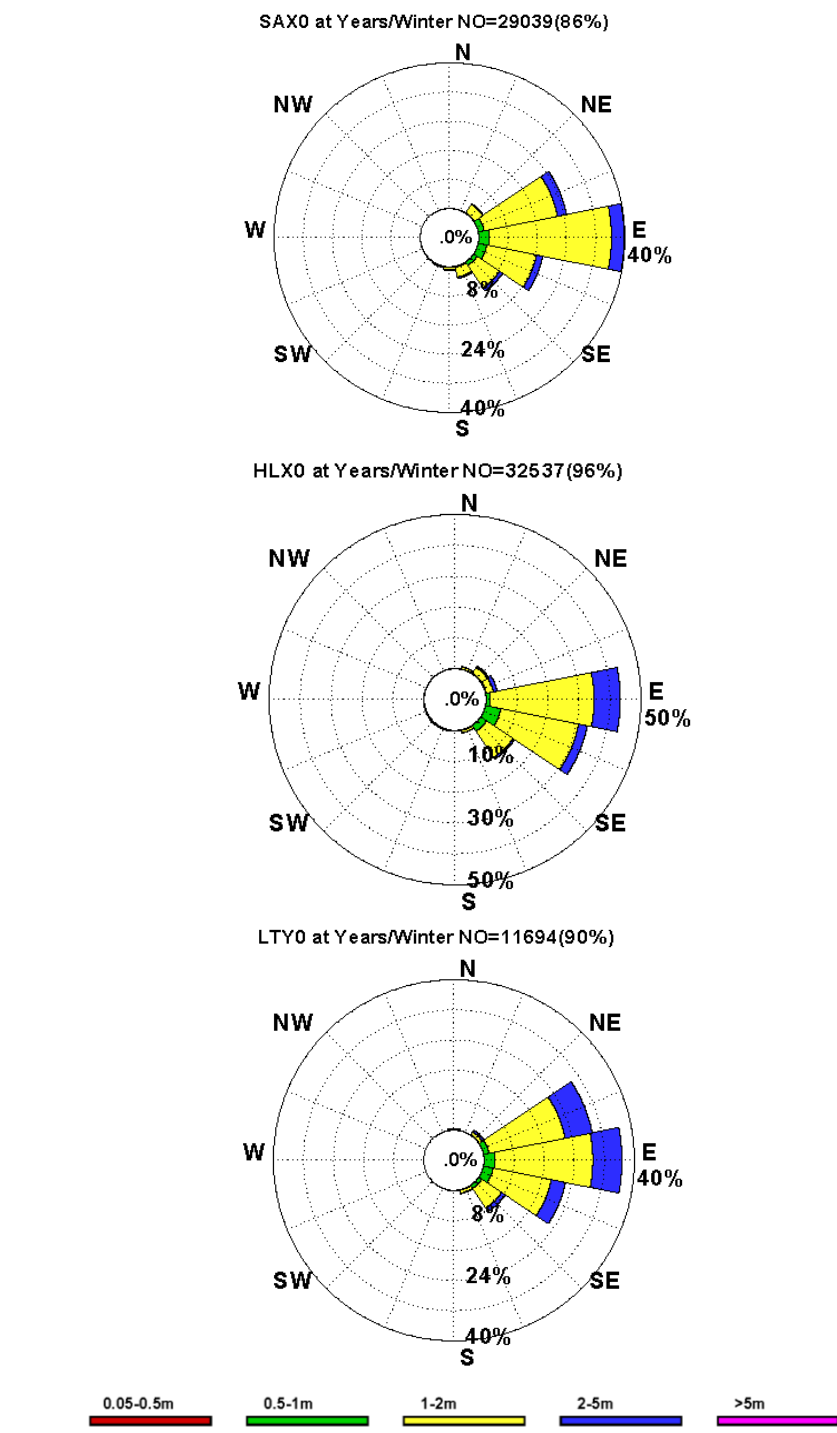
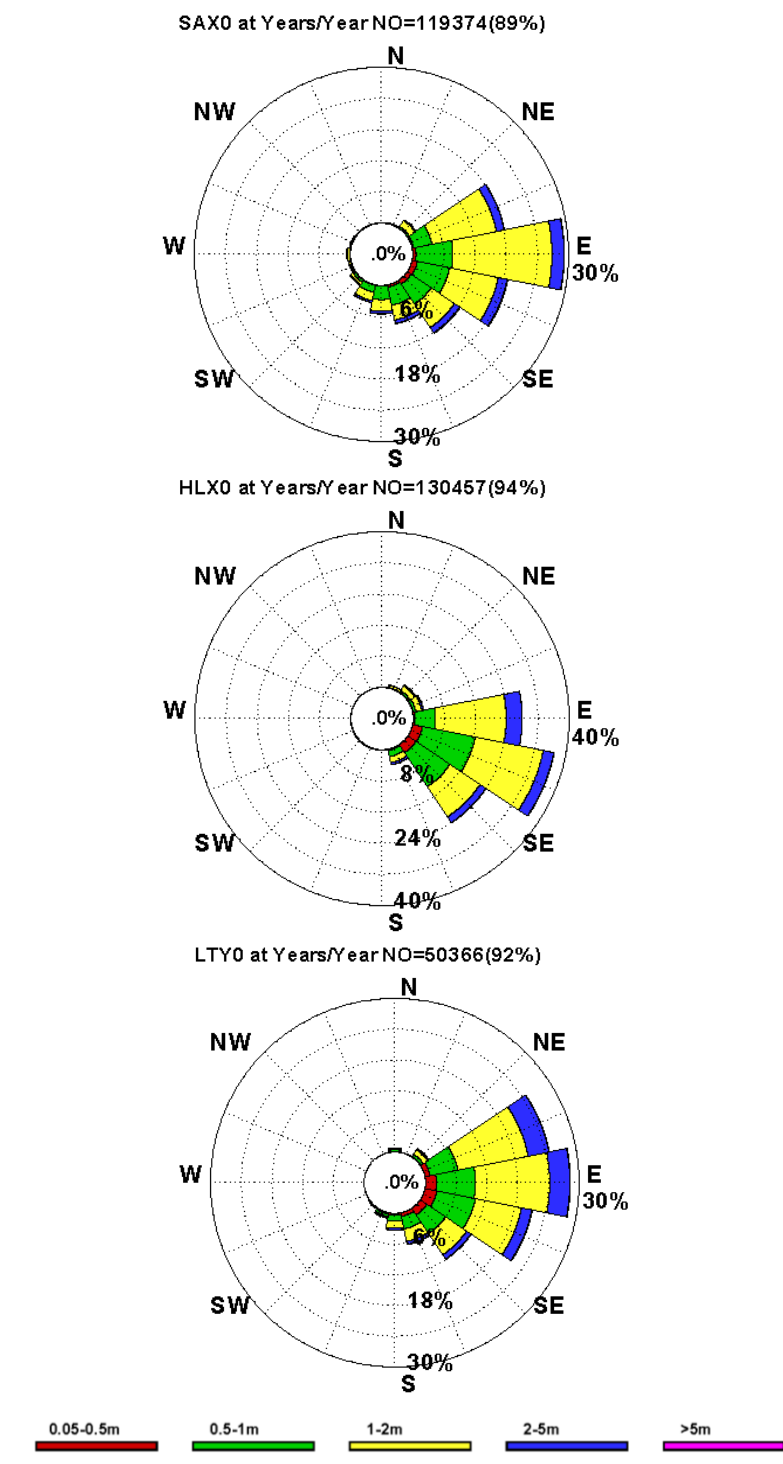


圖 2-13 臺灣東部蘇澳(上)、花蓮(中)、臺東(下)海域概約自 2000 年起至 2016 年止歷年冬季觀測波浪玫瑰圖



資料來源：2016 年港灣海氣象觀測資料統計年報（運研所，2017）

**圖 2-14 臺灣東部蘇澳(上)、花蓮(中)、臺東(下)海域概約自 2000 年起至 2016 年止歷年全年觀測波浪玫瑰圖**

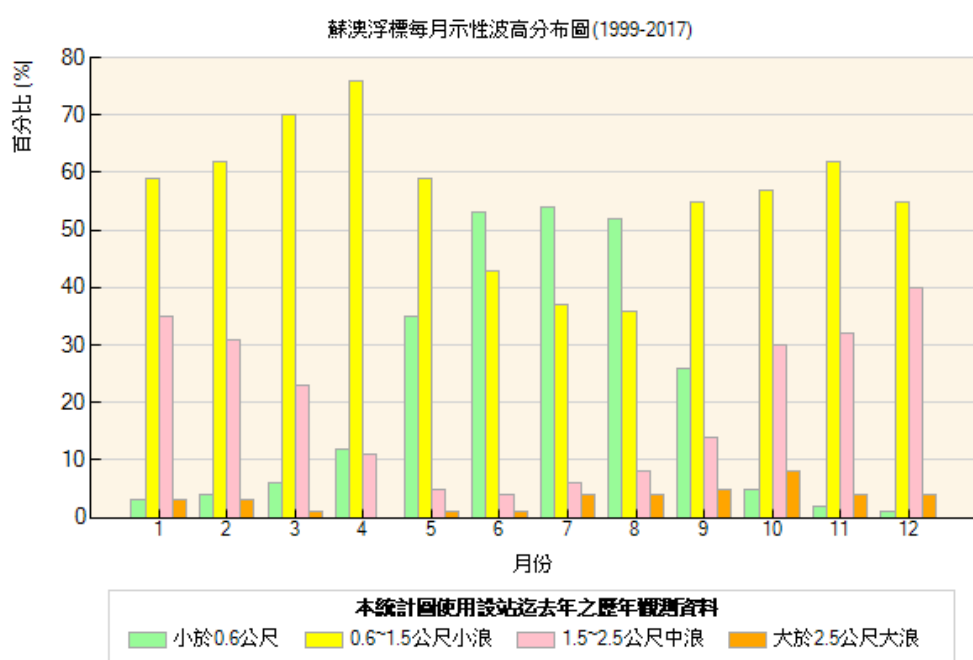
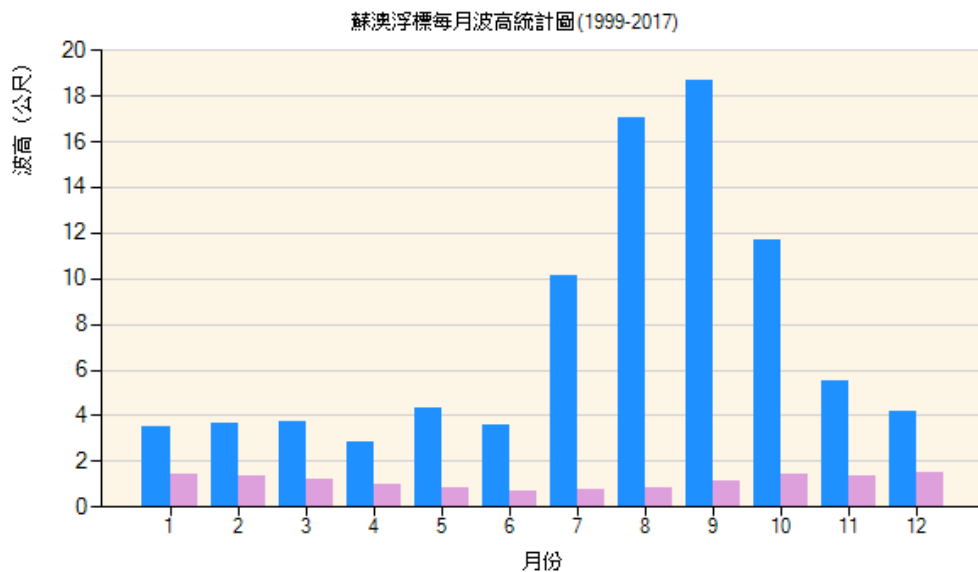
表 2-12 蘇澳資料浮標自 1999 年起至 2017 年止分月波高統計表

測站資訊：宜蘭縣蘇澳鎮 經度：121.880000 緯度：24.619444

月份	觀測 次數	最大示性波高				平均 示性 波高 (m)	平均 週期 (秒)	示性波高分佈百分比			
		波高 (m)	尖峰 週期 (秒)	波向 (度)	發生時間 (年月日)			小於 0.6 公尺	0.6~1.5 小浪	1.5~2.5 中浪	大於 2.5 大浪
1	8985	3.49	10.2	33	20130111	1.40	6.2	3.22	58.6	34.7	3.27
2	7701	3.67	8.3	0	20000225	1.34	6.1	3.77	62.3	31.1	2.72
3	9916	3.72	11.6	22	20100309	1.21	6.0	5.55	70.1	22.8	1.44
4	10330	2.85	11.6	45	20090402	1.01	5.8	12.2	76.2	11.3	0.16
5	10633	4.35	11.6	56	20110528	0.81	5.6	34.6	59.2	5.38	0.66
6	10827	3.59	13.1	78	20040629	0.69	5.3	52.8	42.9	3.61	0.66
7	10540	10.11	12.1	78	20170729	0.80	5.5	53.8	36.6	5.94	3.66
8	10487	17.03	15.1	67	20150808	0.85	5.8	52.1	36.3	7.77	3.83
9	9651	18.70	15.1	67	20160927	1.12	6.2	25.6	54.7	14.3	5.17
10	9001	11.66	11.6	0	20071006	1.46	6.4	4.70	57.2	29.7	8.23
11	9392	5.49	13.1	45	20071127	1.39	6.2	2.15	62.1	31.8	3.68
12	10168	4.20	10.0	45	20131215	1.48	6.3	1.35	55.4	39.5	3.58

註：請至「氣象開放資料平臺」下載各地潮位、平均海平面、浪高、海溫之逐月統計資料

資料來源：中央氣象局官網-氣候-波浪統計，<https://www.cwb.gov.tw/V7/marine/stat/cht/wave/46706A.html>



資料來源：中央氣象局官網-氣候-波浪統計，<https://www.cwb.gov.tw/V7/marine/stat/cbt/wave/46706A.html>

圖 2-15 蘇澳資料浮標自 1999 年起至 2017 年止分月波高統計圖

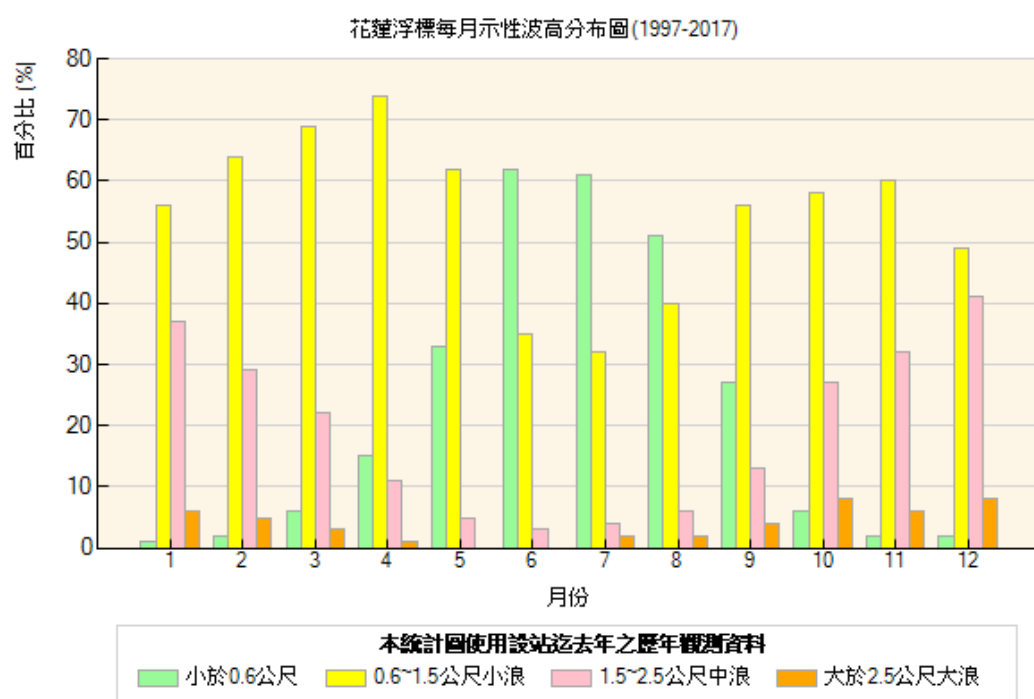
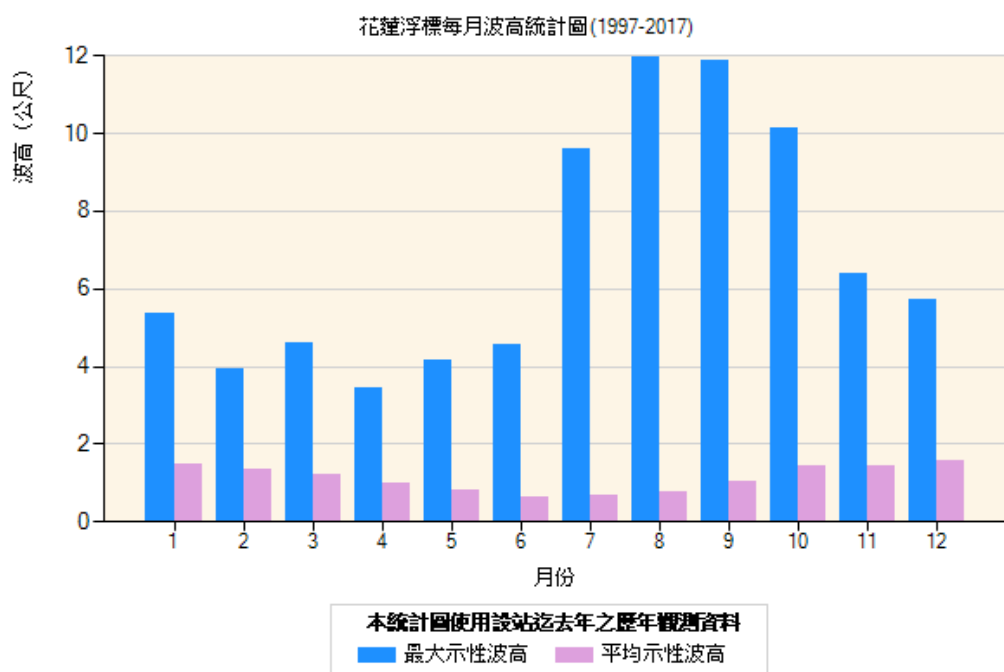
表 2-13 花蓮資料浮標自 1997 年起至 2017 年止分月波高統計表

測站資訊：花蓮縣新城鄉 經度：121.630833 緯度：24.035555

月份	觀測 次數	最大示性波高				平均 示性 波高 (m)	平均 週期 (秒)	示性波高分佈百分比			
		波高 (m)	尖峰 週期 (秒)	波向 (度)	發生時間 (年月日)			小於 0.6 公 尺	0.6~1.5 小浪	1.5~2.5 中浪	大於 2.5 大 浪
1	11452	5.35	13.1	33	20110115	1.49	6.2	1.4	55.7	37.1	5.9
2	10444	3.94	10.4	45	20060204	1.37	6.2	2.25	63.6	28.9	5.1
3	10858	4.59	13.1	0	20050304	1.22	6.1	6.36	68.7	21.6	3.26
4	10563	3.43	6.9	11	20130406	0.99	6.0	14.8	73.5	11	0.68
5	11519	4.16	15.1	56	20110529	0.81	5.7	32.7	61.8	5.09	0.38
6	11408	4.54	9.5	0	19990606	0.64	5.6	61.7	34.9	3.09	0.23
7	11469	9.58	13.1	101	20080728	0.68	5.8	61.2	32.2	4.42	1.95
8	11666	11.95	13.1	90	20150808	0.79	6.2	51.1	40.4	6.09	2.38
9	11511	11.89	15.1	56	20100919	1.04	6.2	27.0	56.1	12.9	3.9
10	11702	10.13	15.1	315	20071006	1.42	6.3	6.10	58.4	27	8.36
11	11160	6.39	13.1	56	20071127	1.43	6.3	2	60.1	32.2	5.63
12	12134	5.73	11.6	11	20121230	1.59	6.3	1.5	49.4	41.2	7.65

註：請至「氣象開放資料平臺」下載各地潮位、平均海平面、浪高、海溫之逐月統計資料

資料來源：中央氣象局官網-氣候-波浪統計，<https://www.cwb.gov.tw/V7/marine/stat/cht/wave/46699A.html>



資料來源：中央氣象局官網-氣候-波浪統計，<https://www.cwb.gov.tw/V7/marine/stat/cht/wave/46699A.html>

圖 2-16 花蓮資料浮標自 1997 年起至 2017 年止分月波高統計圖

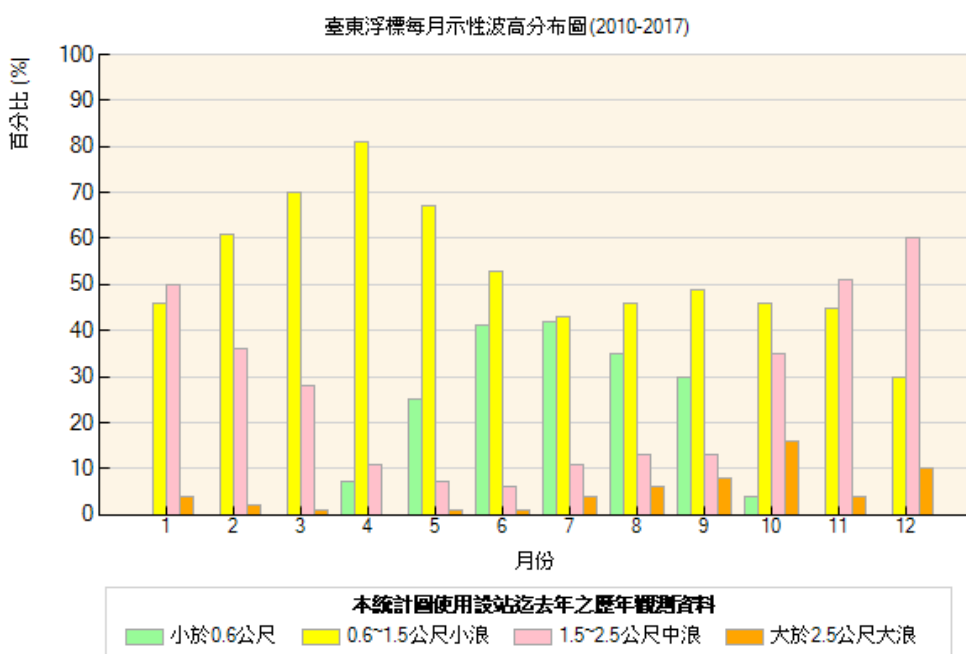
表 2-13 臺東資料浮標自 2010 年起至 2017 年止分月波高統計表

測站資訊：臺東縣臺東市 經度：121.140000 緯度：22.722000

月份	觀測 次數	最大示性波高				平均 示性 波高 (m)	平均 週期 (秒)	示性波高分佈百分比			
		波高 (m)	尖峰 週期 (秒)	波向 (度)	發生時間 (年月日)			小於 0.6 公尺	0.6~1.5 小浪	1.5~2.5 中浪	大於 2.5 大 浪
1	3801	4.60	11.3	101	20130114	1.60	6.4	0	46.1	49.6	3.83
2	3889	3.21	10.8	67	20130208	1.45	6.4	0	61.1	36.4	2.42
3	4416	3.27	10.4	78	20160310	1.31	6.2	0.28	70.4	28	1.42
4	4771	3.40	12.1	78	20130407	1.03	5.9	7.42	81.4	11.1	0.42
5	5026	4.10	15.1	123	20110528	0.86	5.6	25.1	67.4	7.28	0.57
6	4750	3.46	9.4	168	20120620	0.81	5.4	40.7	52.7	5.71	1
7	4788	12.08	11.6	168	20160708	0.94	5.9	42.1	43	10.7	4.28
8	5057	9.02	15.5	78	20150807	1.05	6.2	35.1	46.4	12.5	5.85
9	4861	15.87	13.1	112	20160914	1.21	6.3	29.5	49.2	13	7.57
10	5588	8.47	16.0	90	20141011	1.69	6.6	3.62	45.7	35	15.6
11	5260	3.88	11.6	146	20131101	1.60	6.5	0	45.3	50.6	4.25
12	5043	4.28	10.4	67	20131226	1.81	6.7	0	30.1	59.8	10.1

註：請至「氣象開放資料平臺」下載各地潮位、平均海平面、浪高、海溫之逐月統計資料

資料來源：中央氣象局官網-氣候-波浪統計，<https://www.cwb.gov.tw/V7/marine/stat/cht/wave/WRA007.html>



資料來源：中央氣象局官網-氣候-波浪統計，<https://www.cwb.gov.tw/V7/marine/stat/cht/wave/WRA007.html>

圖 2-17 臺東資料浮標自 2010 年起至 2017 年止分月波高統計圖

## 2.3 潮汐與潮流

### 2.3.1 潮汐

對於實際海域的潮波系統及其運動特徵，包括潮位的空間變化及潮波隨時間變化的傳播過程，一般可用同潮圖(cotidal chart)來充分加以描述。同潮圖主要係由兩種不同的等值線所組成：其中一種是潮位的等振幅線(co-amplitude lines)，其係在某一特定海域空間之特定期間內(針對單一頻率之分潮，則為其週期)，聯結具有相同滿潮位的不同地點連線所組成，又因振幅(單一頻率分潮之滿潮位)的兩倍通常相當於潮差，故有時也用等潮差線(co-range lines)來代替等振幅線；另一種則是同潮時線(co-phase lines)，其係在某一特定海域空間之特定期間內，由聯結同時發生滿潮位的不同地點連線所組成。在某些特定之海域，當同潮時線具有會合點時，由於在會合點處，滿潮與乾潮的發生時間是不確定的，也就是說不存在滿潮和乾潮，或潮波振幅是近似於零，故而一般稱同潮時線的會合點為無潮點(amphidromic point)。

在臺灣鄰近海域，基於海峽、海脊、海槽及東亞大陸棚架等水深地形之影響與面對深邃太平洋之環境因素，因此，潮波系統實際上具有極豐富的變化性與特殊性(Lin et al., 2001; Juang et al., 2001; Jan et al., 2002、2004)。又基於真實潮波實際上應係由多個分潮潮波所複合組成，莊、江(2005、2006)因而即針對臺灣四周海域，結合 Matsumoto et al. (2000)研發綜合包括共 16 個主要分潮之 NAO (National Astronomical Observatory)潮汐預報模式，應用水動力數值模式，據以建構真實旋轉潮波系統在月大潮期間之同潮圖，如圖 2-18 所示。圖中，紅色實線表示同潮時線，潮時以圖左上標示之計算起始時間為參考基準；而黑實線表示同振幅線，振幅並以公尺為單位。

檢視圖 2-18 所示之同潮圖，首先，由同潮時線觀察可知，潮波自太平洋海域入射後，會先抵達臺灣東部海岸，然後受地形影響，潮波分別會旋轉而繞行臺灣北部及南部海岸，其中，繞行臺灣北部海岸的潮波，主要旋轉方向為逆時鐘方向，並在宜蘭頭城至淡水麟山鼻間的

海岸，展現密集的同潮時線變化，而後即順沿臺灣海峽由北往西南行進；而繞行臺灣南部海岸的潮波，主要旋轉方向則為順時鐘方向，並在高雄至雲林東石間的西南部海岸，同樣亦展現密集的同潮時線變化，不過，其在繞行臺灣南部海岸後，總體上並未順沿臺灣海峽由南往北運行，反而在臺灣海峽的南端，即約在臺灣淺灘南側之東亞陸架陡變陸架坡上，即與繞行臺灣北部海岸而後向南行進的潮波相匯合，且在匯合海域的右側，即在澎湖與雲林東石以南至高雄之臺灣西南沿海，潮波的主要旋轉方向，與繞行臺灣北部海岸的潮波相同，依舊保持為逆時鐘方向。除此之外，真實潮波在臺灣南、北端海岸所具有的快速潮時變化的特性，亦可明確經由同潮時線而充分予以重現。其次，配合同潮時線，檢視同振幅線可知，在臺灣北部的基隆近海及在臺灣海峽南端的臺灣淺灘南側海域，明顯可見潮波振幅甚小的兩個近似無潮點。另外，在南、北兩無潮點連線之臺灣海峽縱剖面上，潮波振幅的分布不僅明顯具有駐波的特質，其振幅尚且呈現潮波系統主要由北往南行進的凱文波(Kelvin wave)特性，亦即順沿行進方向右側(海峽左側)的潮波振幅，將普遍大於左側(海峽右側)。

基於同潮圖對潮波系統、潮波傳播過程之時空變動特性與運動特徵的充分詳實描述。進一步以擬真全潮潮波月大、小潮期間之同潮圖為基礎，再參考臺灣環島 24 條主要河川之河口位置與國內各重要工商港口位置，直接自月大、小潮期間之同潮圖中，就河口與港口及離島海岸之對應位置，萃取同振幅值，並假設同振幅值的兩倍即為潮差，因此，可得月大潮潮差及月小潮潮差，分別如表 2-15 及表 2-16 所示，表中，月平均潮差，係為月大、小潮潮差之算術平均。以圖示重整表 2-15 及表 2-16，則臺灣離島及環島沿岸之月大潮潮差、月小潮潮差與月平均潮差之分布，分別如圖 2-19 及圖 2-20 所示(莊，2010)。

配合表 2-15，觀察圖 2-19 可知，從花蓮秀姑巒溪口分界，以順時針方向環繞臺灣環島沿岸，總體而言，可見潮差分布之型態，約陳現為寬緣之鐘型，且具較大潮差變化之鐘型本體，約分別位在鹽水溪口以北、淡水河口以南之臺灣西南與西北部海岸；而具最大潮差之鐘頂，

則約位在烏溪至大甲溪口間之台中港，其月大潮潮差約可達 5.12 公尺。另外，四重溪口至鹽水溪口間的臺灣西南部海岸，月大潮潮差約 1.7 公尺，潮差普遍比月大潮潮差約 1.9 公尺的東部海岸略小；而位在淡水河口至蘭陽溪口間之基隆港，月大潮潮差僅約 1.0 公尺，其為國內具有最小月大潮潮差的海岸。至於臺灣各大、小離島的潮差分布，配合表 2-16，觀察圖 2-20 可知，從台東蘭嶼起以順時針方向聯結離島再繞回台東綠島，亦可見離島的潮差，似乎仍具有鐘型之分布型態，其中，位在臺灣海峽西北側的馬祖烏坵，其月大潮潮差可高達約 6.03 公尺，為國內具有最大月大潮潮差之海岸。

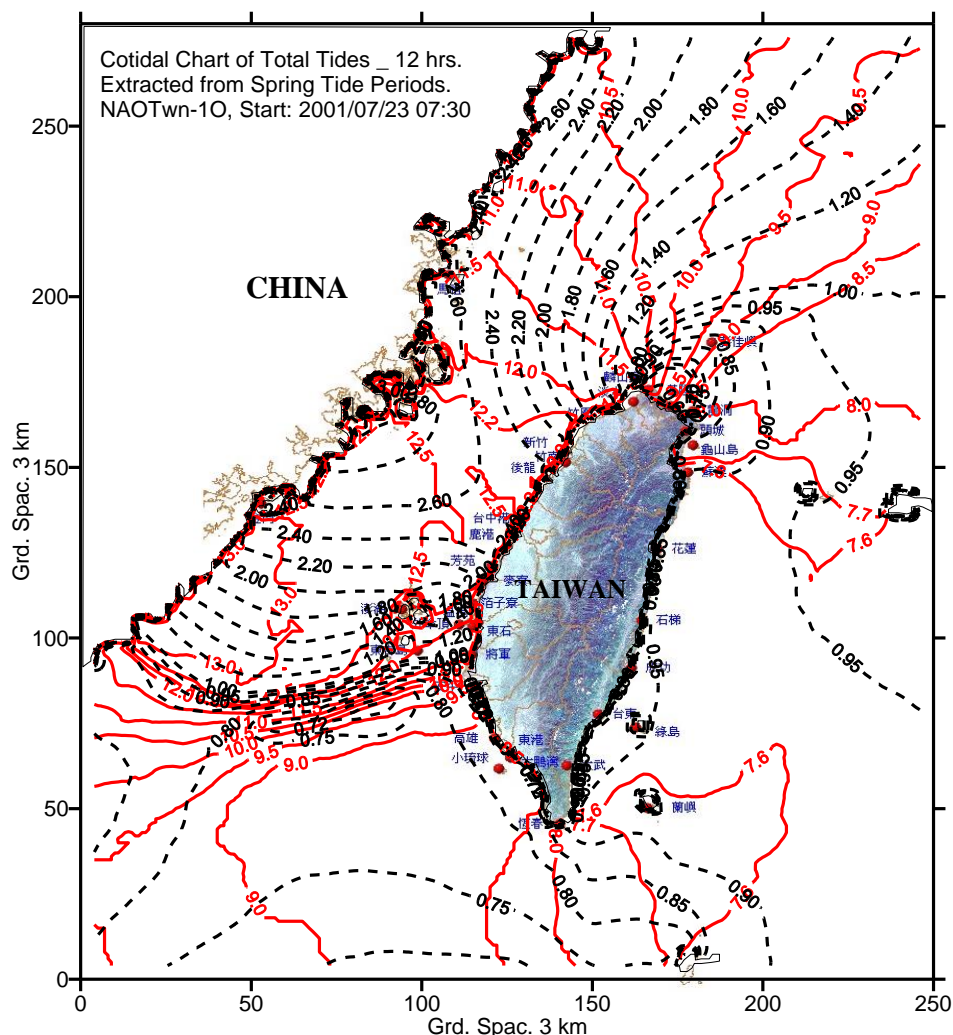


圖 2-18 臺灣海域月大潮期間擬真潮波之同潮圖(黑虛線：同振幅線；紅實線：同潮時線)

表 2-15 臺灣環島沿岸各主要河川河口與各重要工商港口位置之月大、小潮及月平均潮差

月大潮潮差 (公尺)	月小潮潮差 (公尺)	月平均潮差 (公尺)	河口及港口 參考位置	月大潮潮差 (公尺)	月小潮潮差 (公尺)	月平均潮差 (公尺)	河口及港口 參考位置
1.9182	0.7990	1.3586	秀姑巒溪口	4.5572	2.9874	3.7723	濁水溪口
1.9202	0.7988	1.3595	成功	5.0960	3.3882	4.2421	烏溪口
1.9542	0.7922	1.3732	卑南溪口	5.1226	3.4148	4.2687	台中港
1.9850	0.8042	1.3946	富岡	5.1242	3.4306	4.2774	大甲溪口
1.7526	0.5156	1.1341	四重溪口	5.1018	3.4172	4.2595	大安溪口
1.7072	0.5034	1.1053	東港溪口	4.9182	3.3350	4.1266	後龍溪口
1.7112	0.5164	1.1138	高屏溪口	4.8448	3.2958	4.0703	中港溪口
1.7124	0.5320	1.1222	高雄港	4.5740	3.1358	3.8549	頭前溪口
1.7332	0.5858	1.1595	阿公店溪口	4.5294	3.1058	3.8176	新竹南寮
1.7970	0.7118	1.2544	二仁溪口	4.4694	3.0564	3.7629	鳳山溪口
1.8330	0.7894	1.3112	安平港	3.4596	2.4566	2.9581	桃園竹圍
1.8458	0.8220	1.3339	鹽水溪口	3.0278	2.1448	2.5863	台北港
2.0558	1.2556	1.6557	曾文溪口	2.9496	2.0876	2.5186	淡水河口
2.6416	1.6706	2.1561	急水溪口	1.0562	0.6574	0.8568	基隆港
2.8644	1.8120	2.3382	東石	1.8190	0.7468	1.2829	蘭陽溪口
3.1200	1.9946	2.5573	八掌溪口	1.8522	0.7644	1.3083	蘇澳港
3.3788	2.1752	2.7770	布袋港	1.8994	0.7938	1.3466	和平溪口
3.8038	2.4644	3.1341	朴子溪口	1.9058	0.7962	1.3510	花蓮港
3.9336	2.5578	3.2457	箔子寮	1.9032	0.7946	1.3489	花蓮溪口
4.2122	2.7378	3.4750	北港溪口	1.9182	0.7990	1.3586	秀姑巒溪口
4.5018	2.9434	3.7226	麥寮港				

表 2-16 臺灣各離島海岸之月大、小潮及月平均潮差

月大潮潮差 (公尺)	月小潮潮差 (公尺)	月平均潮差 (公尺)	離岸島嶼 參考位置
1.8454	0.7018	1.2736	蘭嶼
2.8632	1.8444	2.3538	澎湖
5.0398	3.4242	4.2320	金門
6.0278	4.0508	5.0393	烏坵
5.7704	3.7330	4.7517	馬祖
5.4748	3.4844	4.4796	東引
1.9132	0.7712	1.3422	綠島

儘管應用同潮圖已可充分詳實的描述臺灣離島及環島沿岸各主要河川河口及各工商漁港港口之月大、小潮及月平均潮差分布特性，但因依據同振幅線所建購之潮差係為純天文潮之潮差，並未將特定年期之氣象潮效應含括考量，故月大潮潮差普遍會略低於實際觀測統計分析所得之最大潮差。

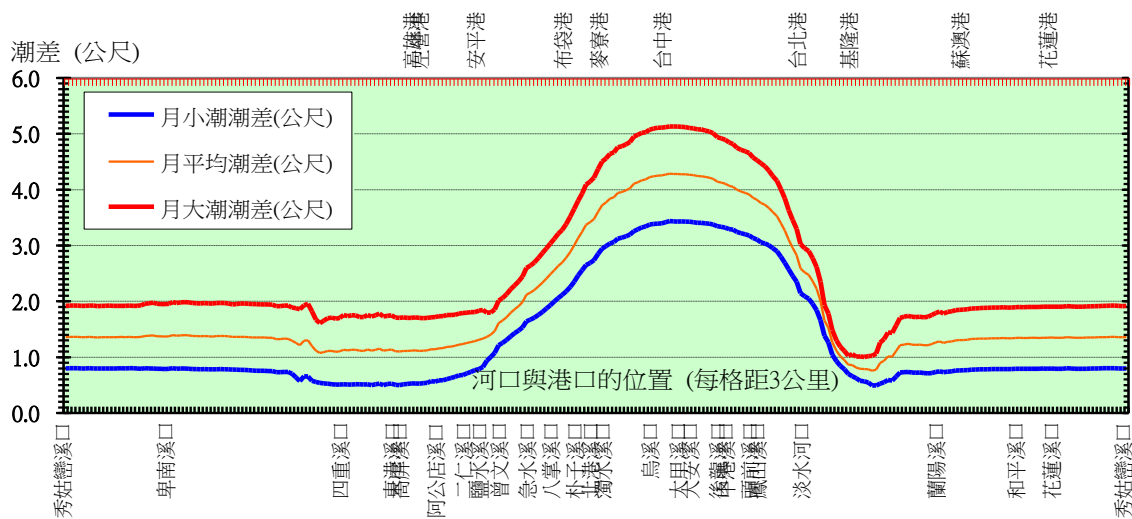


圖 2-19 臺灣環島沿岸各主要河川河口與各重要工商港口位置之月大、小潮及月平均潮差分布

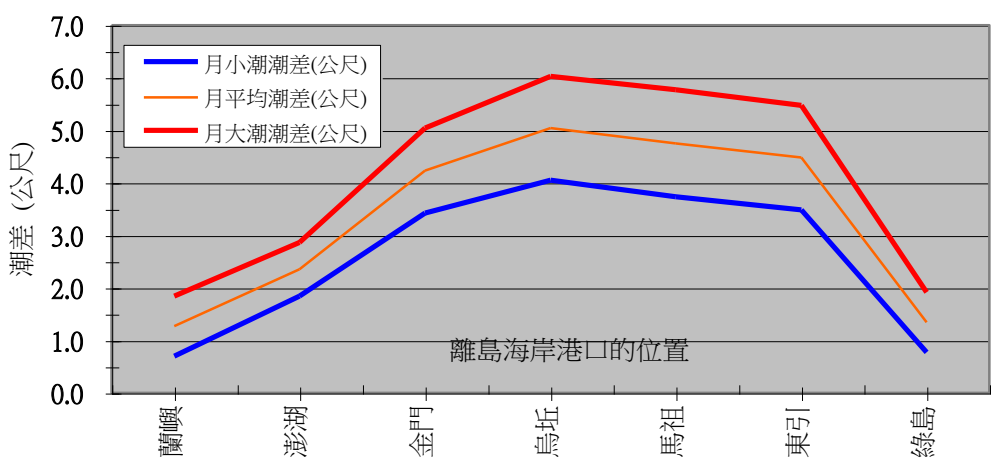


圖 2-20 臺灣離島各海岸之月大、小潮及月平均潮差分布

### 2.3.2 潮流

基於不同的海氣象物理因素與動力機制所造成的海水流動泛稱為海流。經實測所得的海流，一般可區分為非潮流及潮流二類，前者包括洋流、地形餘流、排放流、風趨流、及近岸流等具有恆常特性的海流；後者則單純指因海面潮位升降所伴生具有往復週期特性的天文潮流。潮流與潮汐，由於其原生之動力本質均來自於天體間相互引力與地球之自轉，所以，二者皆具有旋轉波動特性(Lin et al., 2000; Juang and Chiang, 2006)，有所不同的是，潮汐係為時變一維純量，而潮流則為時變二維向量。

在臺灣七大商港海域，自 2009 至 2010 年之二年期間，實測海流與天文潮流之強弱、主要流向、及相互關聯性，可藉散佈圖(scatter plot)展現並比較如圖 2-21 所示(莊 等, 2014)。配合圖 2-21 觀察可知，臺灣商港港口海域的海流，普遍具有潮流型態，主流向大多近乎平行於海岸線，流速偏弱，除臺中港因漲退潮流受北防波堤大幅延伸之束縮影響，致使流速約可達 1.5 m/s 外，在臺灣西部海岸之臺北港、安平港、高雄港，流速皆小於 1.0 m/s；而在北部及東部海岸之基隆港、蘇澳港、花蓮港，流速更弱，通常不及 0.75 m/s。

另外，再由圖 2-21 觀察可見，臺灣東、西部海岸七個主要商港之海流，尚普遍存在有恆向海流成分，其中，臺北港有約 3.22 cm/s 的西北向恆流、臺中港亦有約為 22.05 cm/s 的西北向恆流、安平港有約為 2.66 cm/s 的南南東向恆流；高雄港有約 7.50 cm/s 的南南西向恆流、花蓮港與蘇澳港，分別有約西南向 2.13 cm/s 及北北西向 2.22 cm/s 之恆流，基隆港則有約 4.81 cm/s 之東南東向恆流。較強勁之恆流，與 Sa 分潮流相似，均分別展現在台中港與高雄港。

潮流係指單純由潮波運動所引致的水體流動。針對臺灣海域，相對於圖 2-18 所示之同潮圖，莊、江(2006)應用水動力數值模式，經模擬計算所得隨潮位變化之潮流流場，如圖 2-22 所示。圖中，以臺中港驗潮站之計算逐時潮位為參考基準；流場內之流速大小及流向，係以

箭矢長短及指向表示；而海面水位變化，則以參考色階之深淺陳現。

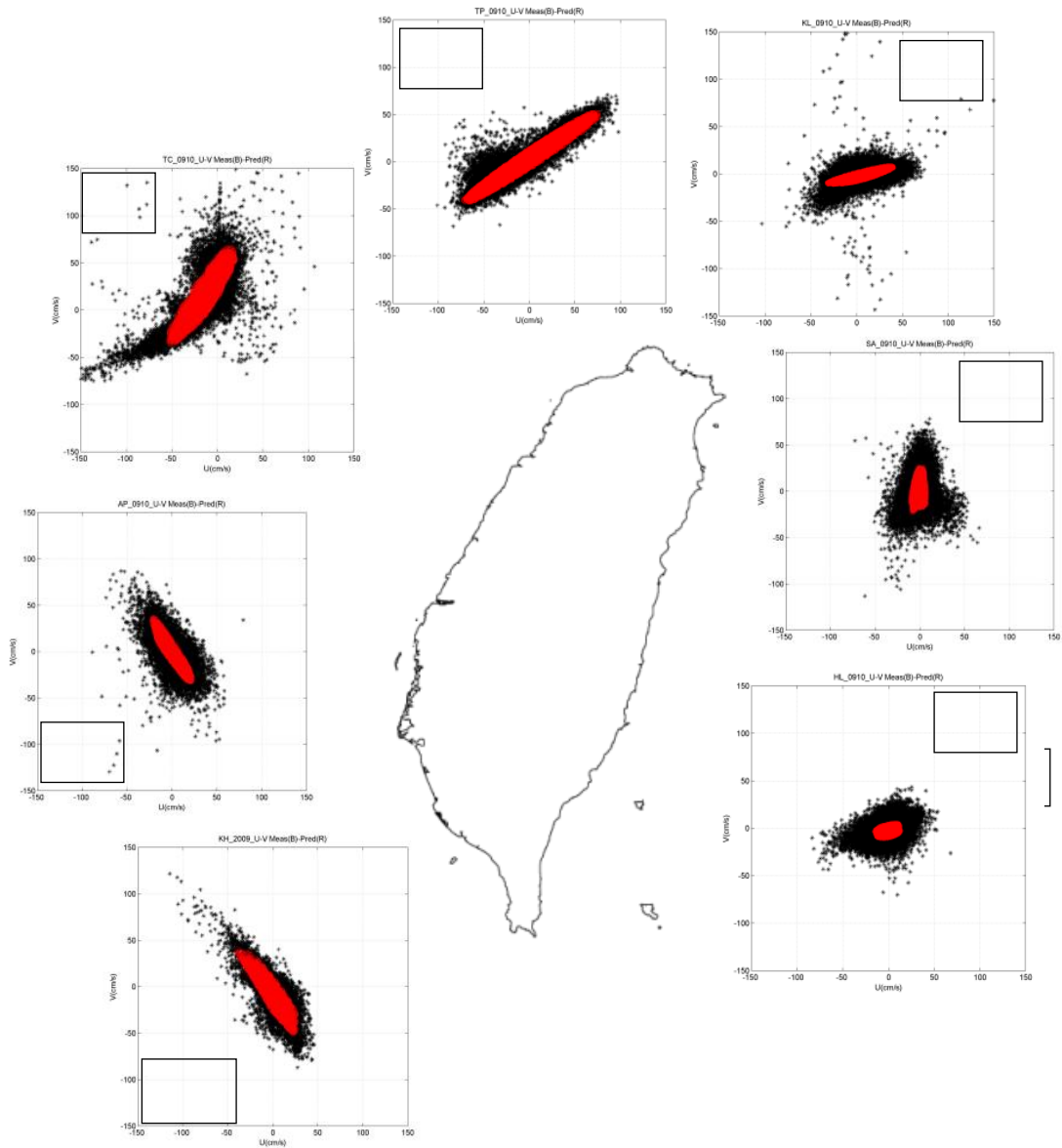


圖 2-21 臺灣七大商港港口外廓海域 2009 年至 2010 年實測海流(黑)與天文潮流(紅)之流速散佈圖比較

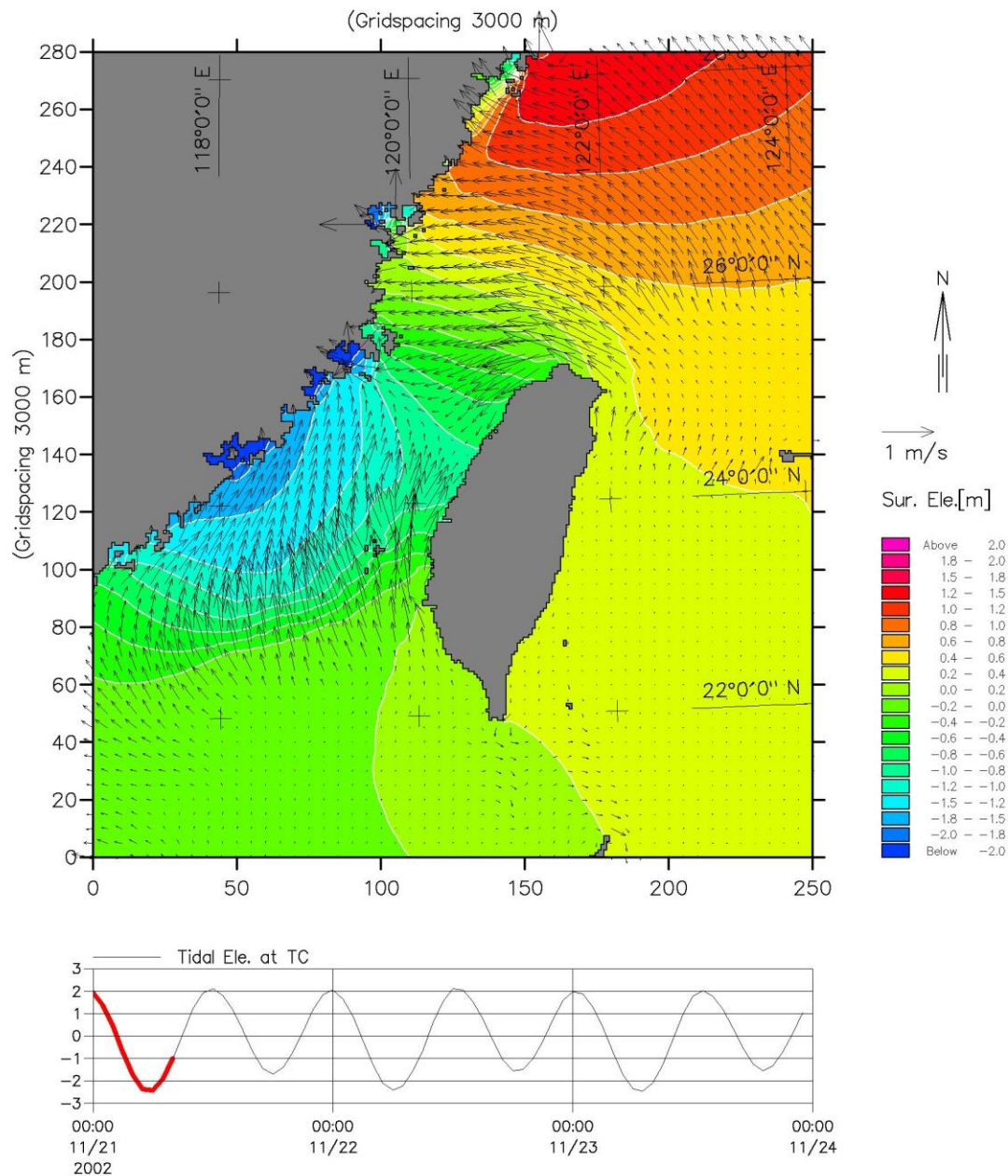


圖 2-22 臺灣海域之計算等潮位線(色階)與潮流(箭矢)流場(參考潮位：  
台中港乾潮後漲潮，2002/11/21 08:00)

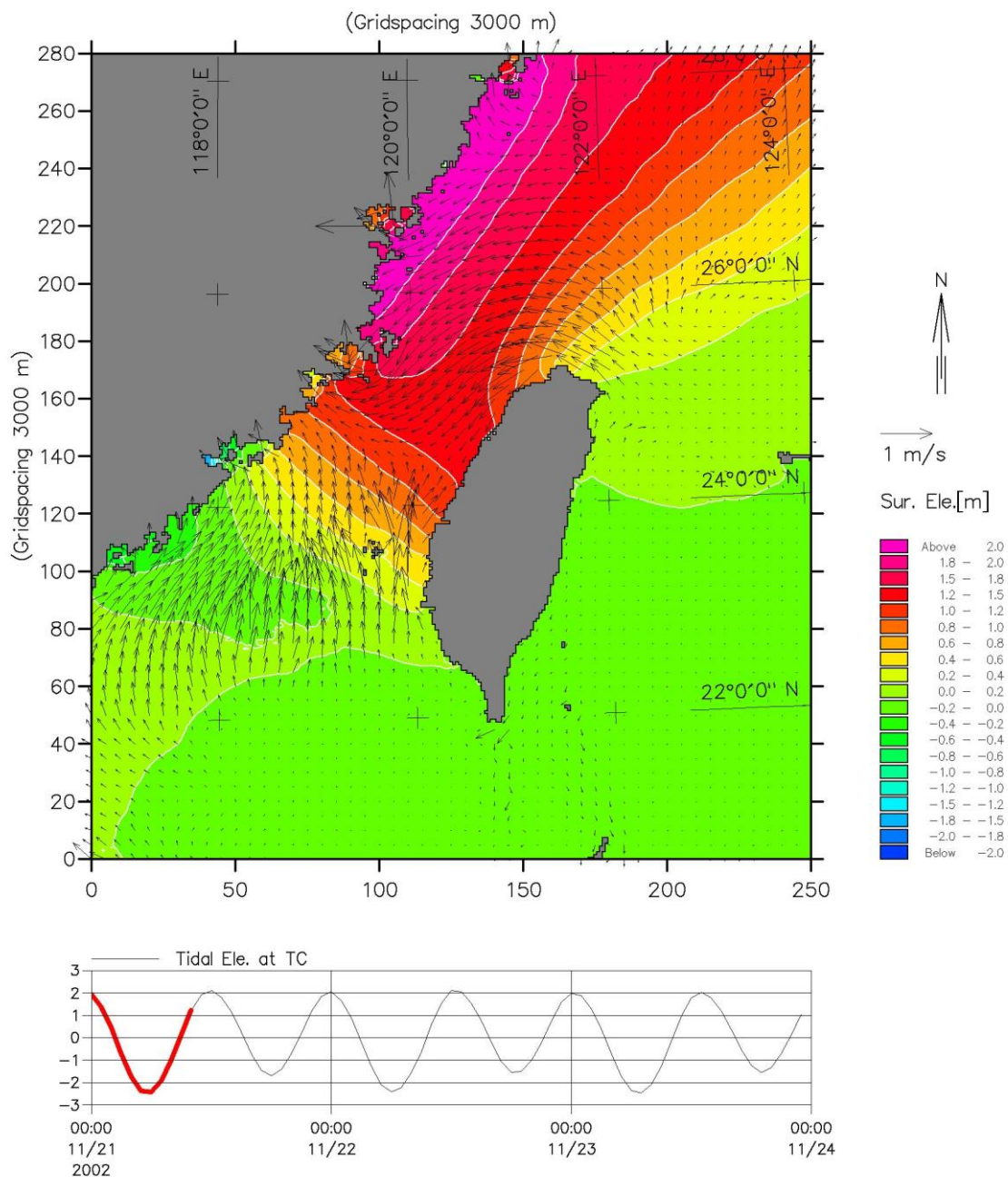


圖 2-22(續) 臺灣海域之計算等潮位線(色階)與潮流(箭矢)流場(參考潮位:台中港漲潮期近滿潮, 2002/11/21 10:00)

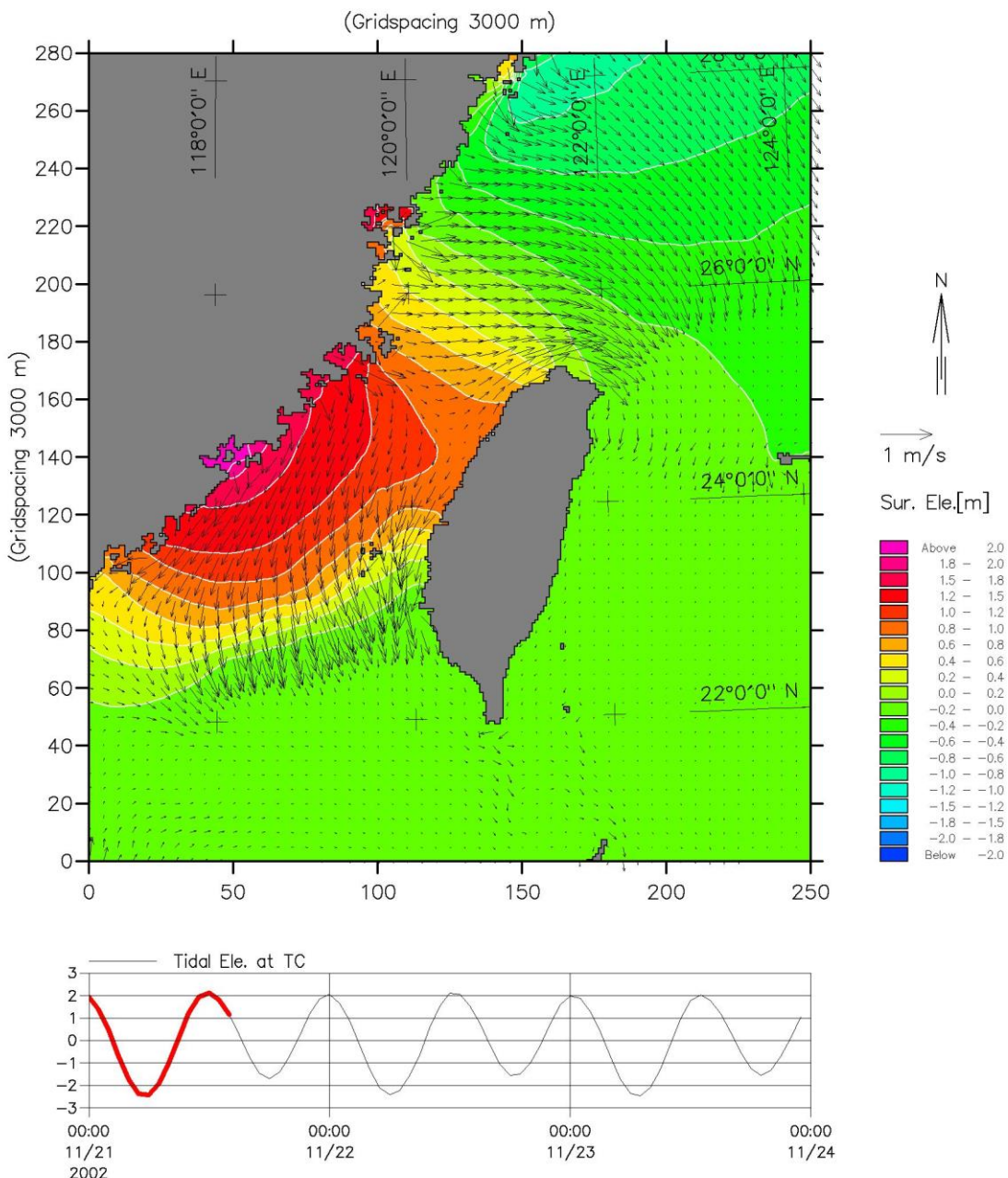


圖 2-22(續) 臺灣海域之計算等潮位線(色階)與潮流(箭矢)流場(參考潮位:台中港滿潮後退潮, 2002/11/21 14:00)

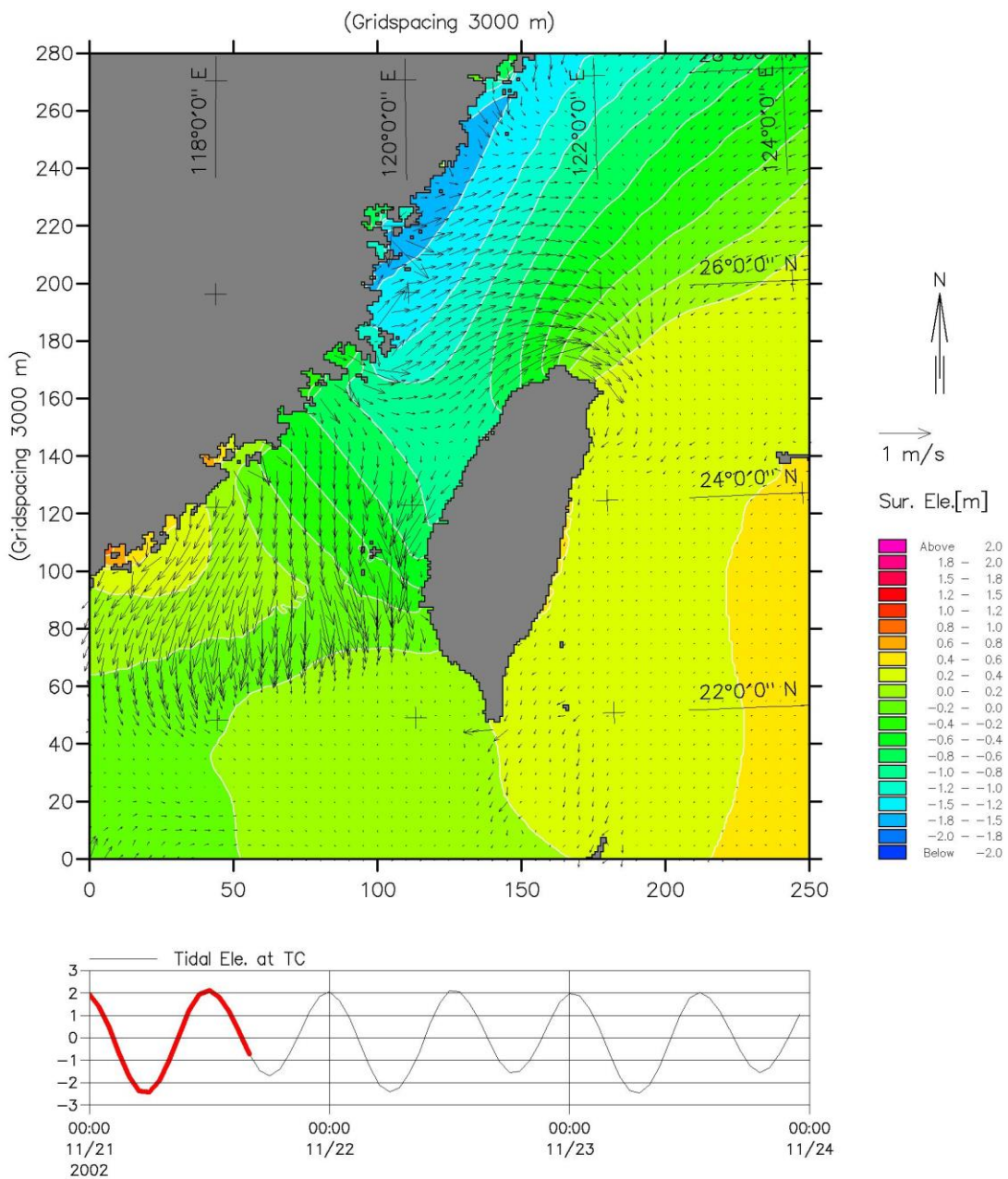


圖 2-22(續) 臺灣海域之計算等潮位線(色階)與潮流(箭矢)流場(參考潮位:台中港退潮期近乾潮, 2002/11/21 16:00)

隨潮位之時序變化，觀察圖 2-22 可知，臺灣海域內之潮流，由於潮波整體之波動，在臺灣海峽南、北兩端海域，分別陳現近似部分重複駐波節點(node)；而在中段海域，陳現近似部分重複駐波腹點(anti-node)之振盪波形，故而當臺中港驗潮站在漲潮期間，分別於臺灣東北部與西南部近海，潮流皆會陳現向臺灣海峽中段海域匯聚集中之較強流速；而當臺中港驗潮站在退潮期間，潮流相對亦會展現自臺灣海峽中段海域分別向臺灣東北部與西南部近海輻散流出之較強流速。漲、退潮期間之近岸較強潮流流速，最大可達約 0.5 m/s，而流向明顯皆有順沿臺灣環島海岸作往復流動之特性。此外，在臺灣海峽之中段海域內，不論臺中港驗潮站之潮位高、低或在任何漲、退潮期間，臺中港近海之潮流，其流速一般均甚微弱，流向順沿海岸作往復流動之特性不明顯，不過，當潮位在近滿潮之前、後期間，在臺灣海峽中段海域內的潮流，流向將會陳現均一向南之較大流速。

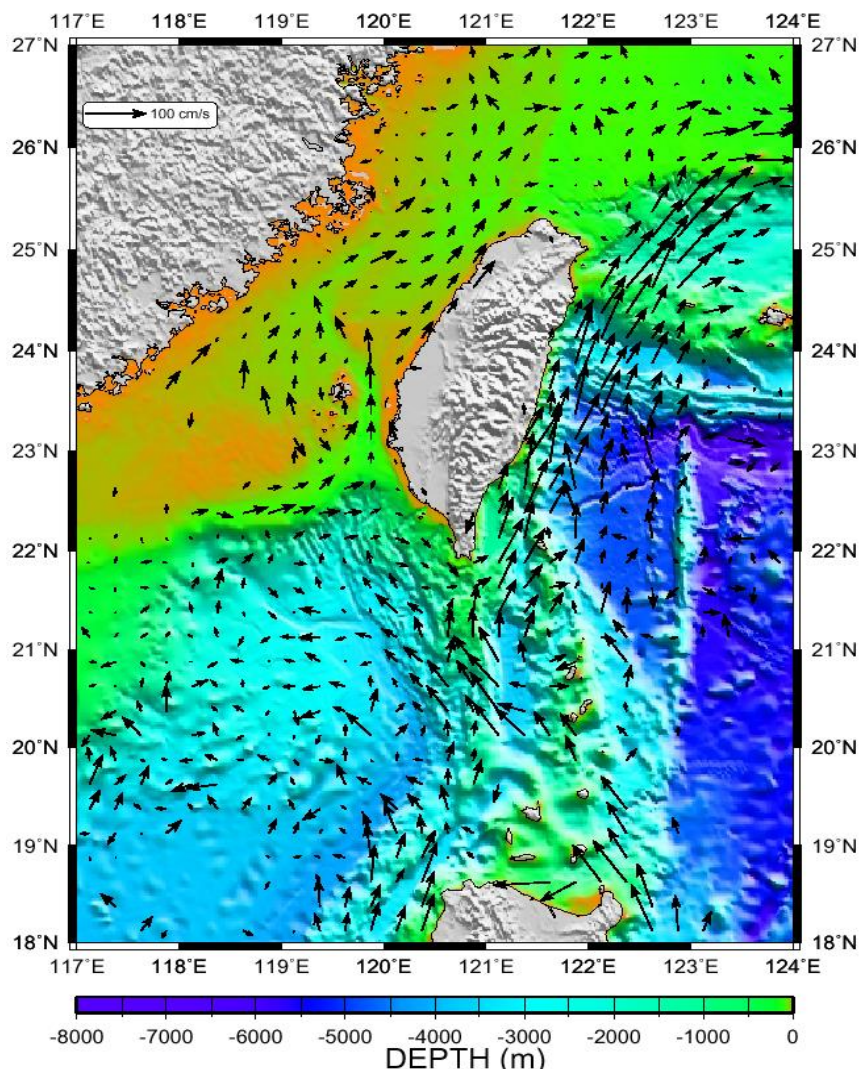
## 2.4 海流

海流是海洋的動脈，海洋中各種自然營養鹽、理化性質、天然泥沙質、或人為污染質等主要皆靠其循環交換及輸運傳播。因此，其不僅與海洋環境及海洋生態息息相關，甚且尚與海洋之各類型災害救濟關聯密切。

海流是具有時空變化特性的向量，主要含括隨季節海氣象特性變動的洋流、隨日-月潮波特性變化之潮流、隨區域性有效延時風力作用產生之風趨流、由局部區域波浪碎波效應引致之近岸流、由地形與結構物影響造成之地形餘流、及河川或管溝之排放流等分別具有長、短週期性之流速成分(Nagata et al., 1971)。

臺灣，位處北緯 21 度至 26 度間，為一海島，東臨太平洋，西隔臺灣海峽與中國大陸相望，南北長約 377 公里，東西寬約 142 公里。有關臺灣環島海域之年平均表層海流形態，經摘錄「國科會海洋學門海洋資料庫」彙整實測之成果，可得如圖 2-23 所示；莊、廖(2011)及

廖等(2011、2012)為探討臺灣鄰近海域洋流對近岸海流之影響，曾建置POM海洋數值模式，並應用巢狀格網之計算海域架構，模擬綜合洋流與潮流效應之擬真海流，經摘錄部分模擬結果，可得如圖2-24所示。此外，莊等(2013)為掌握臺灣海域長期性之海流輸沙特性，曾自圖2-24所示之擬真海流流場中，將具往復流動效應之潮流扣除，因而可得恆常海流流場，如圖2-25所示。由圖2-23、圖2-24及圖2-25綜合觀察可見，臺灣海域之海流特性，較重要的，當屬黑潮主流及其支流。



(國家海洋科學研究中心資料庫)

圖2-23 臺灣環島海域實測之年平均表層海流形態

TORI, POM Model, 1500UTC 07/11/2009

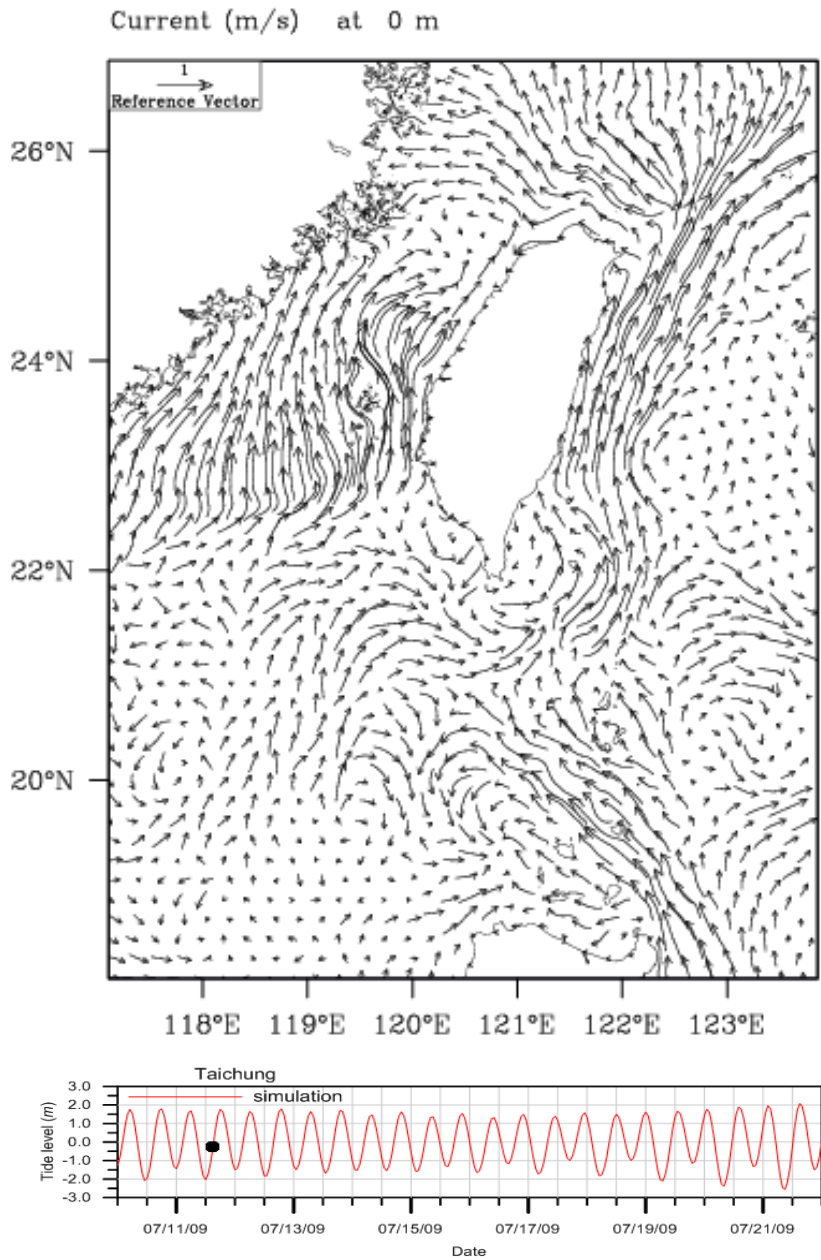


圖 2-24 臺灣海域綜合洋流與潮流效應之擬真海流流場(參考台中港漲潮期計算潮位 2009/07/11 15:00)

TORI, POM Model, 2100UTC 07/11/2009

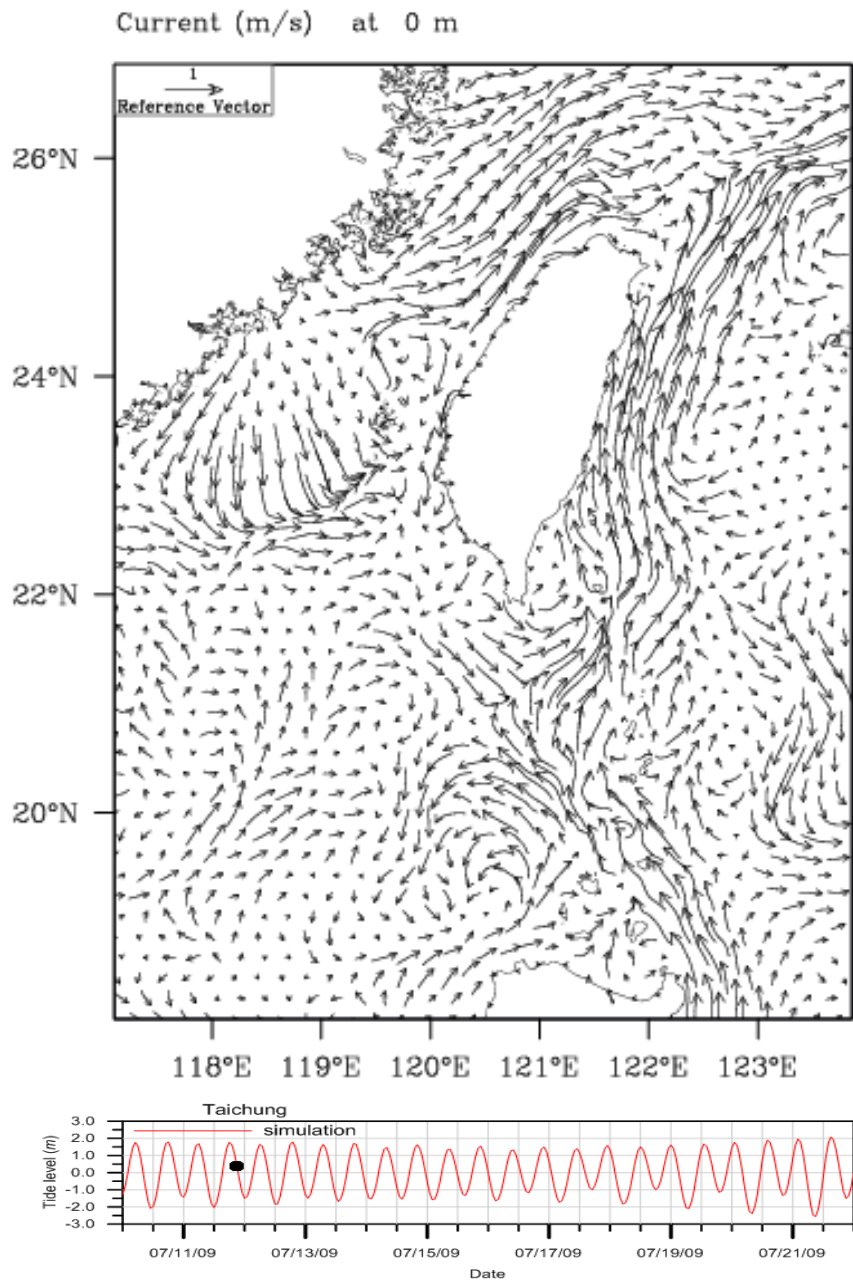


圖 2-24(續) 臺灣海域綜合洋流與潮流效應之擬真海流流場(參考台中港退潮期計算潮位 2009/07/11 21:00)

TORI, POM Model, 1500UTC 07/11/2009

Current Speed diff. at 0 m

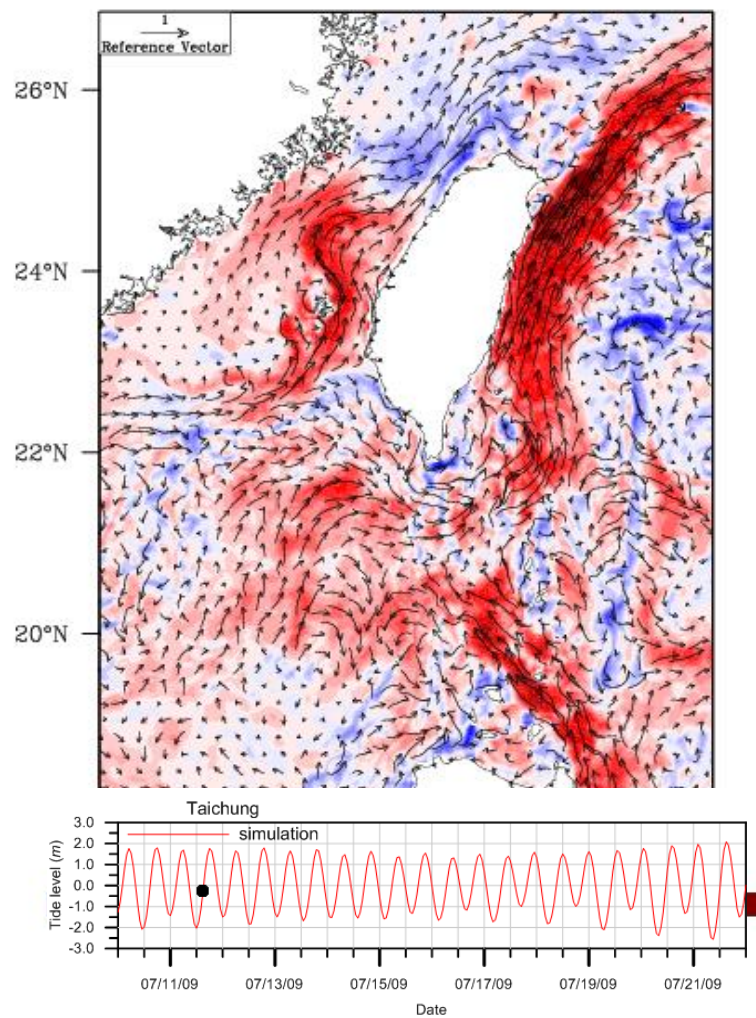


圖 2-25 臺灣海域自綜合洋流與潮流效應之擬真海流流場中扣除潮流效應所得之恆常海流流場(台中港漲潮期 2009/07/11 15:00)

TORI, POM Model, 2100UTC 07/11/2009

Current Speed diff. at 0 m

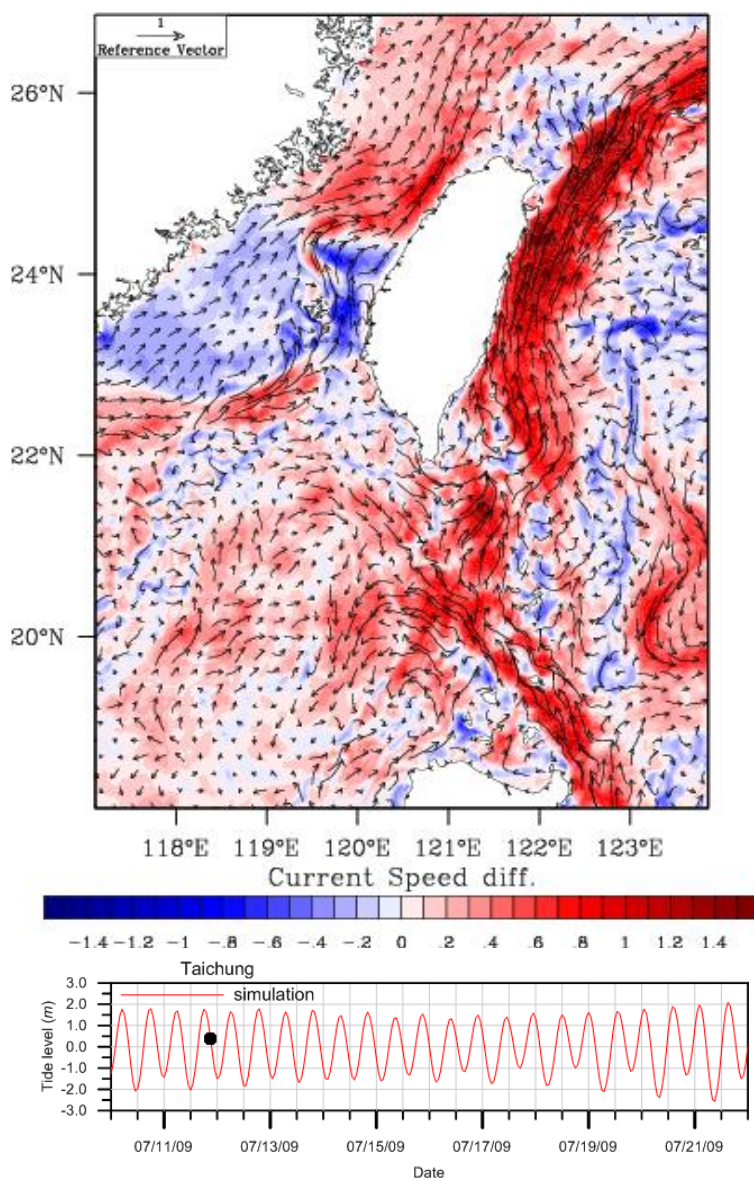


圖 2-25(續) 臺灣海域自綜合洋流與潮流效應之擬真海流流場中扣除潮流效應所得之恆常海流流場(台中港退潮期 2009/07/11 21:00)

黑潮(Kuroshio)又名臺灣海流，其係為來自赤道附近的暖流，亦是北太平洋中流速最強的海流。夏季表層水溫達 $30^{\circ}\text{C}$ ；冬季水溫不低於 $20^{\circ}\text{C}$ 。當其由赤道向北流至菲律賓之呂宋島海域後，受廣擴之巴士海峽海域及恒春海脊與海槽地形水深影響，主流將一分為二，其中之西側主流，將在臺灣西南部海域，形成套流(loop currents)流態，且當其轉進南海海域後，一部分會沿著澎湖水道，穿過臺灣海峽，往北流動，此即為黑潮支流(Kuroshio branch)；另一部分則會在臺灣西南海域，藉套流所形成之順時針環流，繞過臺灣南部海岸，並於墾丁附近海域，與東側主流會合，而後，受東亞大陸棚架地形水深之影響，主流將沿臺灣東部海岸北上，接著，受蘇澳海脊阻隔，於流經彭佳嶼後，再彎曲而順東海之陸架緣，並朝位在東北向的日本海域流去。

在臺灣東部海域，黑潮主流之寬度約為 100~150 公里，主流中軸線距臺灣東岸約 50~150 公里，主流流速隨區域與季節而有所不同，主要介在 0.6~1.0 m/sec 之間，夏季流速並較冬季為快，最強之流速出現在接近臺灣東部海岸處，表面流速較大可達 1.0 m/sec，有時可高達 2.0 m/sec，惟流速會向東緩慢降低，於主流右側，甚且會有一反時針方向旋轉之向南大型渦流存在，平均流量約為  $32.7 \pm 4.4 \text{ Sv}$  ( $\text{Sv}=10^6 \text{ m}^3/\text{s}$ )；另外，黑潮主流由海面可向下伸延至 600 米深，在此深度之流速仍約可達 0.1~0.2 m/sec；在臺灣東部近海，黑潮海流可延展深至 200 米，流速則仍約可達 0.3 m/sec。值得一提的是，黑潮流經臺灣海域時，由於受到東亞大陸棚架地形的影響，在臺灣東南部近海及東北部外海海域，會引起湧昇流現象(Hsin et al., 2008；王，2002；劉，2002；詹，2002；莊、廖，2011；廖 等，2011、2012)。

黑潮支流(Kuroshio branch)為流經臺灣海峽海域的黑潮洋流，部分學者主張其為西南風吹送流，其流動特性因受季風之影響，一般可按季節不同而區分為兩種形態：自春末至秋初，由於西南季風盛行，位於臺灣南方之南海洋流與黑潮支流等兩股暖流，皆會流經整個臺灣海峽海域；而在冬季時，因東北季風盛行，因此，由東北風吹起的冷流會流入臺灣海峽北部，並與來自海峽南部的溫暖黑潮支流相遇於澎湖

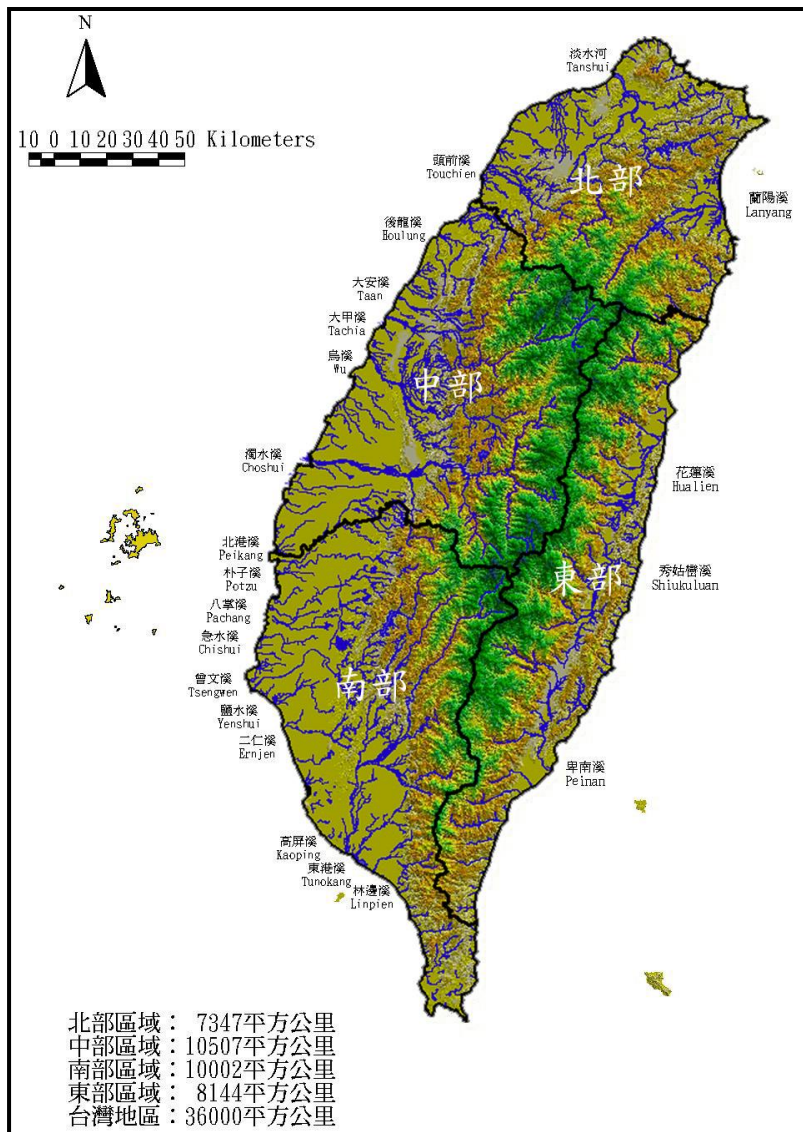
群島附近海域，然後再一起匯流進入中國南海。Wu et al. (2007)曾配合高解析度水深地形及風場與海面溫度資料，應用 POM 模式模擬臺灣海峽之海流變化，從而發現：夏季黑潮支流或西南風吹送流會直接越過彰雲隆起由南往北流動，而在冬季，由於東北季風及中國沿岸流的阻擋影響，海峽中原向南向北流動的黑潮支流或西南風吹送流，於彰雲隆起北側，將形成一逆時針方向的渦環流。台大海洋研究所唐存勇教授等曾測量黑潮洋流，並彙整分析得到臺灣環島海域冬、夏季之年平均海流流場(劉，2002)，由該平均流場圖綜合觀察可看出，除黑潮洋流以甚強的流速順著臺灣東部海域由南往北流外，臺灣海峽的年平均海流也確實是由南往北流動，流速在臺灣這一側明顯比靠大陸側強，在澎湖水道中，較強流速可達 40 cm/s，海流北上通過雲彰隆起處，會受淺灘阻擋而偏流，之後又貼回臺灣西北部海岸。又由平均流及水深計算，可得臺灣海峽全年的平均流量約為 1.8 Sv，其中約有一半是流經寬約 30 公里的澎湖水道，另一半則流經寬度超過 130 公里的臺灣淺灘，因此，前者水流湍急，而後者水流則較為和緩(王，2002)。

在臺灣鄰近海域，另一重要的洋流為親潮(Oyashio)，親潮又名中國沿岸流或千島寒流，其為起源於渤海與黃海北部之冷流。在冬季，因東北季風之吹拂，其會順沿中國大陸海岸南下，流入臺灣海峽後，將與黑潮支流相會於澎湖群島附近，而後會合流入南海；夏季時，因西南季風影響，黑潮支流較強勁，因此，親潮一般無法流向臺灣海峽海域。此外，流經臺灣海域的洋流尚有南海洋流。此洋流的特性，在冬季時，由於強盛東北季風之阻擋，無法流入臺灣海峽；但在夏季時，由於西南季風之吹送，促使其北上並與臺灣海峽的黑潮支流匯合同流。因此，南海洋流又稱為西南季風吹送流。

## 2.5 河川

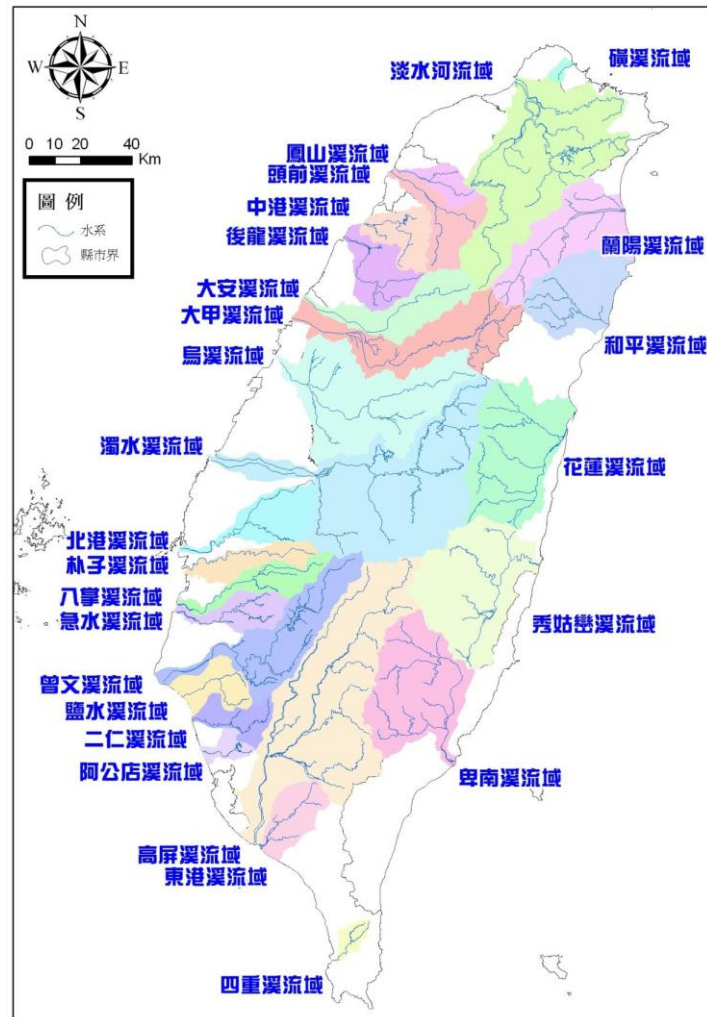
臺灣地形狹長，河川係由中央山脈或其他山區發源，河流大多為東西走向，向東入太平洋或向西注入臺灣海峽，中央管河川共有 24 個

水系、跨省市河川有 2 個水系及縣（市）管河川 92 個水系（中華民國 104 年臺灣水文年報總冊，經濟部水利署，2016），主要河川與水資源分區，如圖 2-26 及圖 2-27 所示。其中淡水河、大甲溪、濁水溪、高屏溪、曾文溪為 5 大流域。各河流均短且陡，河川坡降約在 1/8 至 1/500 間，洪枯流量非常懸殊。



資料來源：「中華民國 104 年臺灣水文年報總冊」，經濟部水利署，105 年。

圖 2-26 臺灣之主要河川與水資源分區圖



資料來源：經濟部水利署水利規劃試驗所，  
<https://www.wrap.gov.tw/pro12.aspx?type=0201000000>

圖 2-27 中央管河川及跨省市河川流域位置圖

臺灣各河川，夏季颱洪期間，流量常隨降雨迅速起落，集流時間甚短，洪峰量大，流速快，湍急水流不僅常導致集水區發生嚴重沖蝕現象，所挾帶之大量泥沙，更使河流輸砂量甚高，估計單位面積年平均輸砂量以南部區域 88 百萬公噸/平方公里最大；北部區域 22 百萬公噸/平方公里最小。主要河川之輸砂量，則以濁水溪及高屏溪為最大(經濟部水利署水利規劃試驗所，<https://www.wrap.gov.tw/pro12.aspx?type=0201000000>)。

濁水溪，因其溪水常帶大量泥沙而得名，是臺灣最長且輸沙量最大的河川，平均流量為 130 CMS，年輸沙量為全臺之冠，可達 25 百萬

立方公尺以上。據研究指出，濁水溪河口懸浮沉積物，受海流移運作用，可輸送至離岸 3 公里遠海域；暴雨時，水流湍急，自上游所攜運之大量泥沙，是臺灣中部海域漂沙之主要來源。

## 2.6 水下沙體與輸沙潛勢

依據實際調查及測量資料統計分析顯示，臺灣環島海岸，除部分礁岩海岸外，其餘大部分皆因颱洪期間河川輸沙減少或因近岸波浪作用而陳現沖蝕趨勢(張、黃，1997；歐 等，2001；郭、簡，2001)。惟從近岸海域之輸沙平衡觀點出發，卻難以發現具有淤積趨勢之海岸及海灘，或明顯陳現堆淤的近岸地形水深！因此，在以海流作為近岸海域漂沙之主要輸運動力認知下，究竟在各種組成海流之成份中，主要的輸運動力是什麼？它對漂沙的主要輸運路徑為何？近岸受沖蝕的大量海灘沙質或漂沙，究竟將會沉積至何處？這些關鍵課題，皆有待從臺灣環島海域大尺度海灘地形沖淤變遷之趨勢來著手面對。

### 2.6.1 水下沙體

為探討臺灣環島近岸海域的沖淤趨勢，配合臺灣環島近岸海域實測的平均流與模擬計算的潮流特性，參見圖 2-22、圖 2-23、圖 2-24 及圖 2-25，莊、江(2002)曾依據 1998 年我國聯合勤務總司令部測量署製繪五十萬分之一比例尺之「臺灣省全圖」，參見圖 2-28，從圖中由南而北以順時針方向圍繞臺灣環島近岸海域，分區觀察圖中由白色階所代表之 50 米內等深線水下地形型態可發現：

- (a) 在臺灣南部懸丁南灣海域，存在有一朝西之魚尾型水下沙體，此魚尾型之水下沙體，由於其存在之水深深達 50 米，於參酌臺灣海域之風、浪、潮及海流等海氣象環境特性後，推論其可能係受鵝鑾鼻地形遮蔽而由颱風波浪長期繞射衝擊或由臺灣南端海域因潮流衍生地形殘餘流之恒常運移作用所造成。



資料來源：聯合勤務總司令部測量，1998。

圖 2-28 存在於臺灣環島近岸海域之大尺度水下大型沈積沙體

- (b) 在臺灣南部高屏溪及東港溪河口，於聯結高雄港一港口、枋寮、及小琉球島之三角形海域內，存在有一寬敞之弧形水下沙體，由於本區海域潮流流速甚弱，故推測此弧形水下沙體應與高屏溪及東港溪河流之輸沙沉積直接相關，只是受高屏溪口外之高屏峽谷影響，致使陳現弧形之水下沙體，因此於小琉球島北側顯現一海溝形態之缺口，此外，沿著澎湖水道北上，自高雄港第一港口至嘉義濁水溪口間，水下沙體之寬度普遍甚大，且有由南向北遞增之趨勢，鑑於本區海域經常波浪之波高一般並不很大，因此，可研判自台南七股海岸以北海域，黑潮支流或西南風吹送流與潮流應為影響水下沙體沉積形態之主要因素，且因黑潮支流或西南風吹送流與潮流衍生地形殘餘流之優勢運移方向應是由南而北。
- (c) 在臺灣中西部海域，於彰化、台中海岸外，非常清晰地可見到一陳現三角形形狀的大型水下沙體，此即為「雲彰隆起」。就其地理位置而言，依據臺灣環島半日型潮波之共振理論(Lin et al., 2000)及共振潮波顯現之部分重複駐潮形態(莊、江, 2000; Juang et al., 2001)可知，雲彰隆起恰約位在部分重複駐潮之腹點(anti-node)海域，雖然本海域冬季風浪較大，但因季風與波浪所共同引起之近岸流與風趨流，勢皆甚難以影響水深及於 50 米之水下沙體沉積，因此，由臺灣海峽中段海域之駐潮腹點潮流應具弱流速且應充分展現輻散聚合特性，研判「雲彰隆起」水下沙體之形成，應係河川(濁水溪)輸沙受黑潮支流或西南風吹送流及駐潮腹點潮流之恒常輻散匯聚運移作用所直接造成，此外，「雲彰隆起」水下沙體之存在規模與其變化，應可作為臺灣西部海岸發生沖淤，而究竟「沙從那裡來」、「沙往那裡去」等相關海岸沖淤平衡疑問之闡釋輔助。
- (d) 在臺灣西北部淡水河口海域，甚至南達桃園以至新竹海域，50 米等深線以內之水下沙體，其寬度普遍較臺灣西南部海域狹窄，尤其是在颱洪期間具有高河川輸沙量的淡水河口海域外，

原應有發達之沙舌型(salient)水下沙體存在，不過，在本海域內卻未明顯陳現，海流對漂沙輸運之最主要的殘存遺蹟，僅可見於「觀音凹陷」與桃園之北部海域間。因此，可據以研判臺灣西北部海域之黑潮支流或西南風吹送流與潮流所共生之強勁海流，應為影響本區段海域水下沙體沉積及存在形態之重要因素，且該強勁海流之優勢運移方向，與臺灣西南部海域相同，也應是由南往北。

- (e) 在礁岩型之臺灣北部海域，50 米等深線以內之水下沙體，與臺灣東部海域類似，皆不發達，僅管如此，在鼻頭角北部海域，於 200 米等深線內，仍清楚可見大規模之沙舌型水下沙體沉積。綜合臺灣環島近岸海域經實測分析所得的平均海流流場特性，並將其與基隆海域恰約位處臺灣海峽北區段之部分重複駐潮近似結點或無潮點特性(莊、江，2005；2006)相對照，依據部分重複駐潮結點海域潮流所具有之強盛輻散流速之移運作用，外加黑潮洋流之牽引，因此可推測臺灣北部基隆海域外 200 米等深線之沙舌型水下沙體，應係臺灣西北部及北部海域近岸海灘漂沙，受黑潮洋流及潮流衍生地形殘餘流之優勢輸運作用所形成之總沉積，且該海域海流之優勢運移方向，與臺灣南部海域恰相反，主要應為由西向東。
- (f) 在臺灣東北部之宜蘭海域，雖然本海域經常受季風與颱風波浪之衝擊，但於正對蘭陽溪口外，即使從 200 米等深線觀察，仍明顯可見一形態發展完整之沙舌型水下沙體，可見本海域之黑潮洋流及潮流所衍生之地形殘餘流，其流速普遍應甚弱，對水下沙體之沉積形態影響勢必甚為有限，故而可研判漂沙之優勢運移方向，因此主要取決於蘭陽溪在颱洪期間之河口洪流作用。
- (g) 在臺灣東部的花蓮及東南部的臺東與綠島海域，僅管本海域經常面對東北季風與颱風波浪之衝擊下，但因潮流及其衍生之地形殘餘流影響皆甚微弱，故其 50 米~100 米等深線所陳現之水

下沙體沉積形態，並無明顯之優勢方向特徵；惟若仔細觀察 200 米~2000 米等深線之形態變化，仍隱約可見有偏南向之沙舌型水下沙體發展，這意謂本海域雖然與主流由南往北之黑潮流洋流毗鄰，但水下沙體之沉積形態，實際受黑潮流之影響甚為有限，故而可研判漂沙之優勢運移方向，主要應取決於東北季風與颱風及其衍生波浪之運動作用。

俗諺云：“凡人走過必留下足跡”。對海流與輸沙間的自然因果關係，同理應是：“凡水流過必留下沙痕”。所以，在臺灣環島近岸海域所陳現的大型淺灘或水下沙體，應皆是近岸漂沙長年被海流及潮流運動後，經長期性的沉積所遺留下來的自然痕跡。

## 2.6.2 輸沙潛勢

「輸沙潛勢」係泛指海流對漂沙輸運與沉積之潛在趨勢(potential trend)。主要內涵包括海流對漂沙的傳輸擴散能力、輸運方向、底床漂沙沉積量、及沉積範圍與形態等趨勢。計算海流輸沙潛勢，可透過數值模式，應用經由模擬計算所得之大尺度擬真海流(綜合洋流與潮流效應)，參見圖 2-24 與圖 2-25，配合來自於河川輸沙之沙源，再藉海域漂沙傳輸擴散之濃度高低變化分布與漂沙沉積趨勢，據以評估其對海岸所可能造成長期性之沖淤影響。

在臺灣環島海域，由近岸漂沙長年沉積所形成的大規模水下沙體，因其存在的水深係在 50 米等深線的範圍，部分甚至深達 200 米，所以，在近岸海域各種足以影響近岸輸沙的可能因素中，除了因颱風巨浪沖蝕海岸所引起短期性的近岸流輸送外，潮殘餘流不僅應是近岸漂沙甚為重要的輸運動力，潮殘餘流的大小及方向，更可用以研判海岸長期的變遷趨勢與輸沙運動的優勢方向。

為確認臺灣環島海域潮殘餘流對近岸輸沙的長期性影響，莊(2008)曾應用含括月大、小潮期間之潮流逐時計算流場，參見圖 2-22，配合 MIKE21\_ST 輸沙模式，使用 Engelund & Hansen(1976)之總輸沙(total

load)公式，經模擬計算後，可得臺灣環島近岸海域半月平均的長期輸沙潛勢(sediment transport capacity)，如圖 2-29 所示。圖中，輸沙潛勢的強弱大小，以色階深淡值表示，其單位為每公尺距離內每年以立方公尺計算的輸沙量( $m^3/yr/m$ )；箭矢長短與指向分別表示長期平均的優勢輸沙量之大小與方向。故而，在局部海域內，若有深藍色階的高輸沙潛勢呈現，將意謂該海域的潮殘餘流運動作用較強勁，並且具有沖蝕(erosion)趨勢；反之，若呈現淺藍色階的低輸沙潛勢，則意謂該海域潮殘餘流的運動作用較微弱，並且具有淤積(deposition)的趨勢。

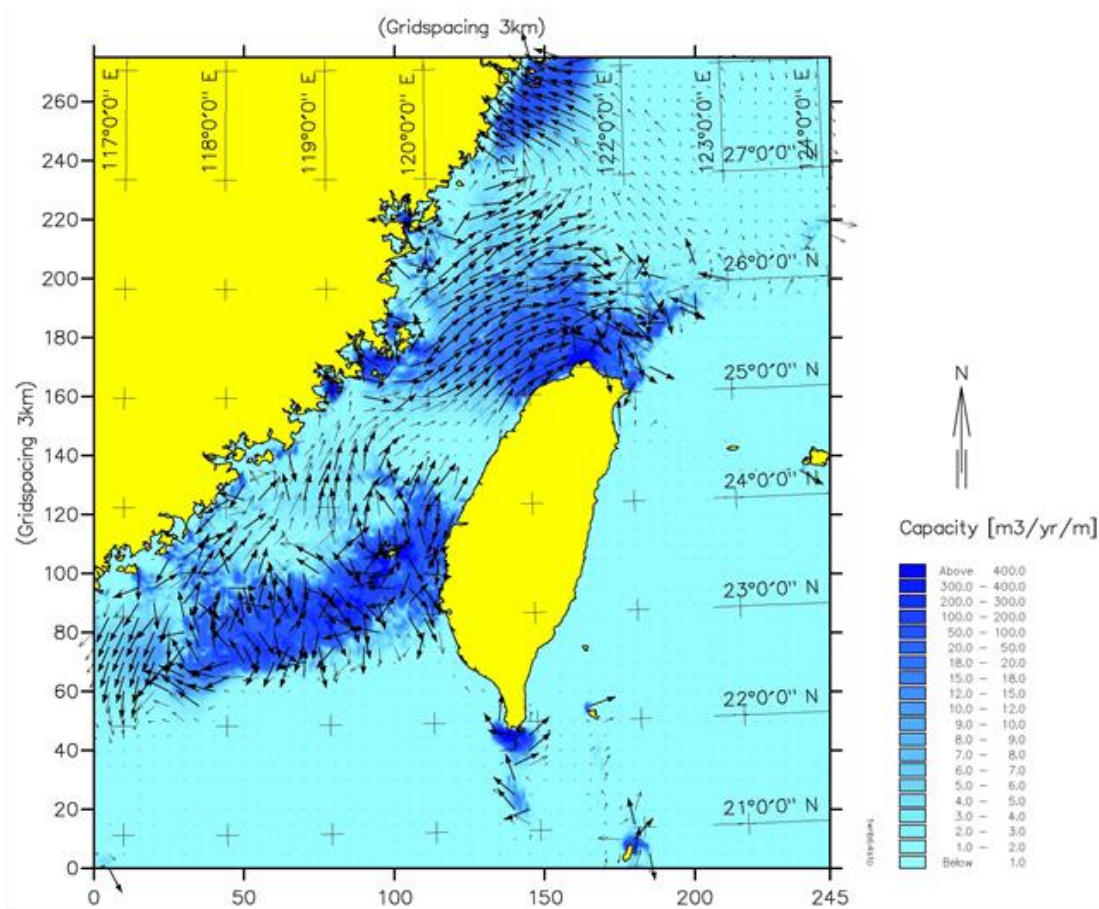


圖 2-29 臺灣鄰近海域於含括月大小潮期間連續 15 日逐時潮流作用下綜合以輸沙潛勢(色階)及輸沙運動方向(箭矢)所表示之潮殘餘流流場

依據輸沙潛勢與潮殘餘流的相關性，從圖 2-29 中，首先觀察臺灣環島近岸海域總體輸沙潛勢強弱的分布變化可知：在臺灣東部、中西部及西南部近岸海域，輸沙潛勢普遍甚小，可見潮殘餘流在該三部分海域的流速甚微弱，故漂沙皆應具有近岸淤積的趨勢，不過，在臺灣東部及西南部近岸海域，由於該二部分海域的水深甚深，故漂沙的沉積不易展現，但在水深較淺的中西部海域，由於近岸漂沙大量的沉積，因此，形成「雲彰隆起」海域的水下沙體；另外，在臺灣西北部及臺灣海峽南端陸架緣海域，輸沙潛勢一般甚大，潮殘餘流在該二部分海域的流速也甚強勁，故皆應具有海域沖蝕的趨勢，因此，在臺灣西北部海域有「觀音凹陷」及「烏坵凹陷」的形成，而在臺灣海峽南端陸架緣端海域，從地形水深南北縱剖面亦可見陸架緣端附近明顯存在的沖蝕斜坡。將以上臺灣環島近岸海域總體輸沙潛勢所顯示的海域沖淤特性，與臺灣環島近岸海域地形水深相對照，參見圖 2-1，可見彼此具有近似趨勢，且可預判潮殘餘流在其間確實扮演甚為重要的角色。

其次，在臺灣海峽海域，因潮殘餘流長期固定大小與方向的持續輸沙作用，導致臺灣海峽長期平均的輸沙優勢方向明顯地為由南往北，此輸沙優勢方向的導出，不僅與臺灣海峽的海流經年是由南往北流的特性一致，以輸沙潛勢大小及方向展現的潮殘餘流，更與實測平均海流的分布型態密切地吻合，參見圖 2-23。因此，推測在臺灣海峽的實測平均海流，實際上可能也包含潮殘餘流的展現。

最後，就局部沿岸海域觀察圖 2-29 中的輸沙潛勢變化可得：(a)在臺灣南部的懇丁南灣沿岸海域，可見輸沙潛勢甚大，潮殘餘流之沖蝕作用甚強，因此，該局部海域應具有海岸長期的侵蝕趨勢，且其輸沙的優勢方向主要為由東向西，再與圖 2-28 中所示存在於懇丁南灣海域的魚尾型水下沙體對照，可確認具由東向西優勢作用方向的強潮殘餘流，應是懇丁南灣海域魚尾型水下沙體形成的主要動力；(b)在臺灣西南部的屏東、高雄及安平港沿岸海域，輸沙潛勢甚小，潮殘餘流之沖蝕作用極弱，所以，該海域局部海岸的侵蝕趨勢，主要應取決於當地短期的波浪作用，不過，仔細觀察圖 2-29，在屏東小琉球島海域仍可

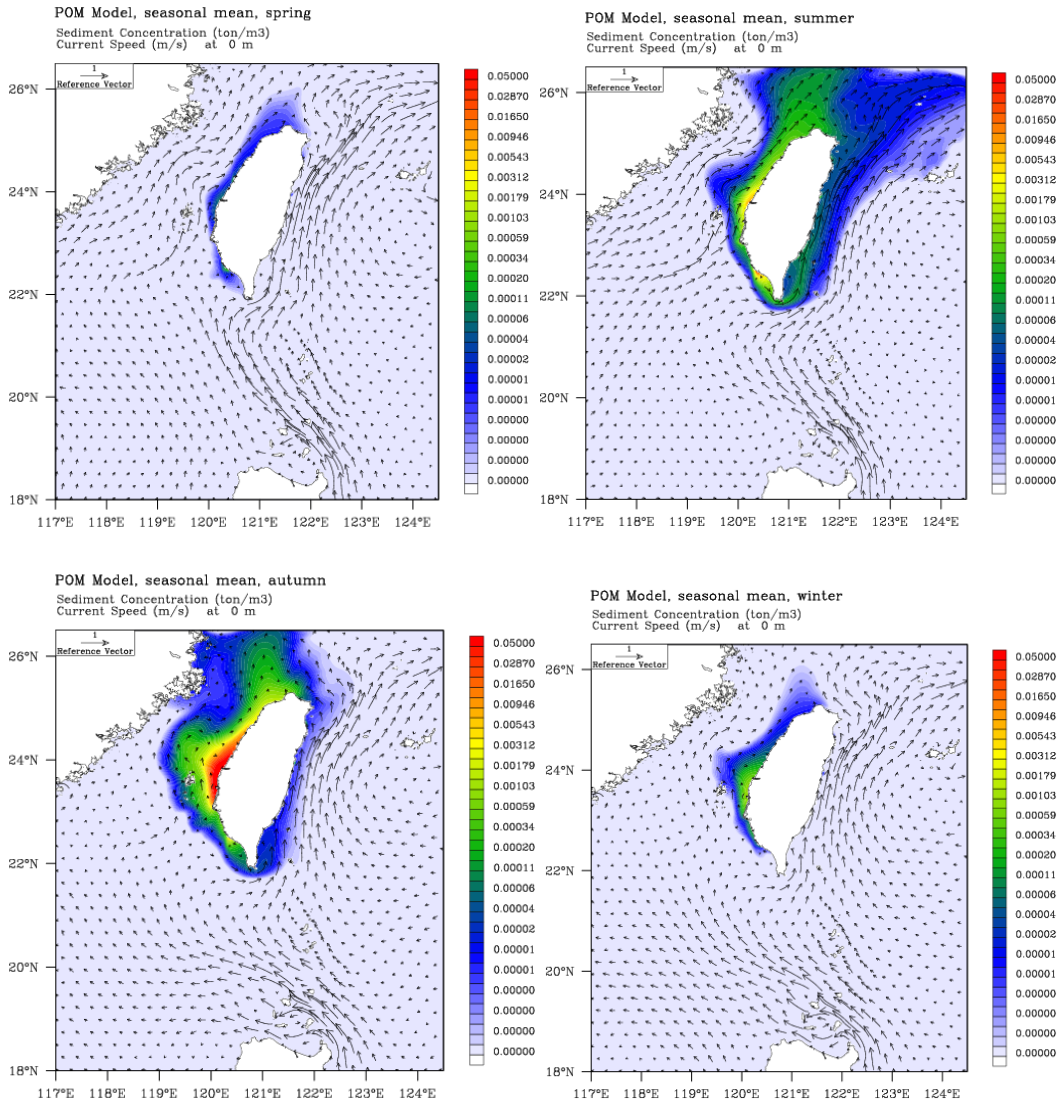
見潮殘餘流的方向為由南往北，而在安平港近岸海域，潮殘餘流的方向則轉為由北往南；(c)在澎湖南側及澎湖水道海域，相對於臺灣西南部具微小輸沙潛勢的其他海域，本海域普遍具有極高的輸沙潛勢，潮殘餘流之沖蝕作用也極強，最明顯的沖蝕海域大多位於鄰近臺灣海峽南端的大陸棚架緣，只是，在大陸棚架緣南側，潮殘餘流之優勢沖蝕作用方向主要為南向，而在大陸棚架緣北側，潮殘餘流之優勢沖蝕作用方向反轉為北向，因此，澎湖海域主要的輸沙優勢方向為由南往北，至於「臺灣灘」的形成，可能係因為潮殘餘流北向輸沙潛勢降低，因而導致漂沙的自然沉積；(d)在澎湖水道海域東側的台南與嘉義一帶近岸海域，仔細觀察圖 2-30 可得，近岸海域的輸沙潛勢有由北往南遞減的趨勢，可見，本段沿岸海域的輸沙優勢方向與澎湖水道西部海域正好相反，在強潮殘餘流的作用下，本段海岸除應具有長期自然的侵蝕特性外，尚可看出沿岸海域輸沙優勢方向主要為由北往南；(e)在臺灣中西部的彰化、台中及苗栗一帶近岸海域，由圖 2-29 明顯可見，本段海岸的輸沙潛勢甚微小，潮殘餘流的沖蝕作用也極微弱，所以，本段海岸原應具有自然的漂沙淤積趨勢，因此，可能造就「雲彰隆起」的形成，僅管如此，再仔細觀察「雲彰隆起」海域細部輸沙潛勢的變化可得，臺灣中西部海域因潮殘餘流作用所衍生的輸沙優勢方向，總體而言，仍為由南向北，故本段海岸局部發生的侵蝕，主要應係當地短期波浪的作用所導致；(f)在桃園觀音、淡水至基隆一帶的臺灣西北部及北部近岸海域，觀察圖 2-29 可得，本海域的輸沙潛勢與臺灣西南部的臺南至嘉義海域類似，普遍皆具有極高的輸沙潛勢，潮殘餘流之沖蝕作用也最強勁，因潮殘餘流所造成的整體輸沙優勢方向很明顯地為順臺灣北部海岸由南而北再向東，故本段海岸除具有長期的自然侵蝕趨勢外，「觀音凹陷」及「烏坵凹陷」可能也因強勁潮殘餘流的輸沙移運作用而在本海域內發展；(g)在臺灣北部海岸，從圖 2-29 所示的輸沙潛勢強弱變化觀察可發現，本段海岸的沖蝕以富貴角海域最明顯，不過，在鼻頭角及三貂角附近海域，漂沙仍具有局部淤積的趨勢，因此可能促成圖 2-28 中位在鼻頭角及三貂角北部，水深 200 米海域，沙舌型水下沉積沙體的形成；(h)在宜蘭沿岸海域，輸沙潛勢甚小，潮殘餘

流對輸沙的影響明顯降低，但仔細觀察圖 2-29，在頭城附近的海岸仍應具自然的淤積趨勢；(i)在臺灣東部的海岸，由圖 2-29 可明顯地看出，本段海岸整體的輸沙潛勢甚微小，潮殘餘流的運移作用應微不足道，故臺灣東部海岸的侵蝕與輸沙優勢方向，主要將取決於當地短期型態的波浪作用。

綜合而論，從近岸海域輸沙潛勢圖與水下沙體的存在型態觀點出發，不僅可準確地掌握臺灣環島海岸長期沖淤變遷的自然趨勢，透過輸沙潛勢運移方向的展現，更可充分提供近岸海域潮殘餘流的優勢輸沙方向資訊。

此外，為探討臺灣海域海流與河口颱洪流對近岸漂沙移運沉積型態特性，莊 等(2013)曾應用臺灣海域之恆常海流流場，參見圖 2-25，結合考量全臺 20 條河川之月平均流量與輸沙量，分季評估輸沙潛勢與漂沙沉積趨勢，結果如圖 2-30 所示。圖中，海流流速大小與流向以箭矢表示；漂沙濃度高低與底床漂沙沉積量多寡，則以藍紅色階表示，紅色色階越深，表示漂沙濃度與底床漂沙沉積量越高；藍色色階越淺，表示漂沙濃度與底床漂沙沉積量越低。

綜合觀察圖 2-30，首先，檢視分季之海流特性可見，臺灣海域之海流，其流速隨季節雖有強、弱之變化，但在臺灣海域，無論是東部的西太平洋海域或西部之臺灣海峽海域，總體季平均之流向，四季皆陳現為由南而北。因此可研判臺灣近岸或河口海域之大尺度海流，其流向明顯具有由南而北的優勢恆常特性。其次，檢視分季漂沙濃度累積分布可知，臺灣東、西部之近岸，受河川輸沙之影響，四季均有相對較高的漂沙濃度分布，而在臺灣西部海域，於夏、秋季之河川豐水期，具有高漂沙濃度之海域，甚至可擴及至臺灣海峽之中、北段整體海域。其中，從臺中至嘉義海域，尤其是在濁水溪河口，四季之漂沙濃度均較其他海域高；而在新竹至桃園海域，亦陳現有較高之漂沙濃度。因此可推測，臺灣總體海域，在流向由南而北的優勢恆常海流作用下，輸沙潛勢，亦應為由南往北。



註：春季：3~5月；夏季：6~8月；秋季：9~11月；冬季：12月~次年2月。

**圖 2-30 臺灣海域海表層春(上左)、夏(上右)、秋(下左)、冬(下右)四季之季平均海流(箭矢)與輸沙潛勢(色階)**



## 第三章 臺灣環島海岸與近岸港口

### 3.1 臺灣環島海岸概況

臺灣，位於東經  $120^{\circ}$  至  $122^{\circ}$ 、北緯  $22^{\circ}$  至  $25^{\circ}$  之間，東臨太平洋，西隔臺灣海峽與大陸相望，南北長約 377 公里，東西寬約 142 公里，四面環海，除本島外，另有 85 個離島。

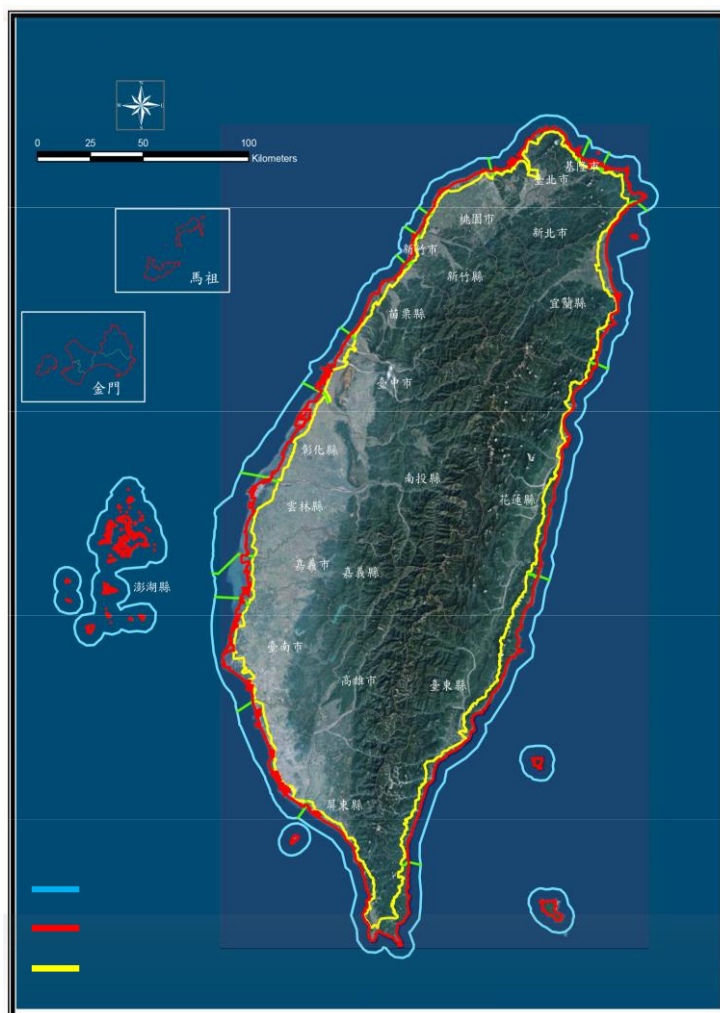
臺灣的海岸地區範圍，依據內政部(2015)公告，如圖 3-1 所示。臺灣環島，由於地質構造差異，臺灣東部及西部之海岸型態差異極大。東部海岸，面對太平洋，地形陡峭，海床與海溝深邃，離岸 6 浬，海深即達 3,000 公尺，近海坡度約達  $3/10$ ，沿岸多礫灘、岩礁、灣澳及海崖；西部海岸，面對平均深度約 60 公尺的臺灣海峽，為大陸棚地形，有豐富的沙灘、沙丘、潟湖、河口、紅樹林和寬廣的潮間帶(內政部，2017)。

#### 3.1.1 海岸自然度

臺灣環島海岸線全長約 1,338.517 公里(不含全長約 368.757 公里的澎湖海岸線；及總長約 278.041 公里的金門、連江及東沙等離島海岸線)。若依人為使用狀況，約略可以分成(1)自然海岸；(2)半自然海岸；(3)人工海岸等 3 類。其中，第一類之自然海岸，係指無人工構造物或人工構造物對潮間帶水文環境(主要指潮汐與波浪可到達範圍)無顯著影響，亦或興建於低潮位線外的離岸潛堤，其堤頂高度小於平均低潮位線者；第二類之半自然海岸，係指存在有海岸道路、高地護岸等人工構造物的海岸，潮間帶仍保持自然狀態，其水文環境受人工構造物影響輕微，亦或興建於低潮位線外的離岸堤，其堤頂高度低於平均潮位面，漲潮期間會被淹沒者；第三類之人工海岸，係指潮間帶內存在有港灣、航道、海岸圍墾區，與海岸防護設施等人工構造物，且對潮

間帶水文環境有顯著影響者。

臺灣環島海岸自然度分布概況，如圖 3-2 所示。各縣市所屬海岸線長度及其自然與人工海岸線之比例，如表 3-1 所示(內政部營建署，2017)，由表觀察可見，臺灣環島的自然海岸線，約僅佔 43.7%，其餘高達 56.3% 皆為具有港灣、航道、海岸圍墾區或海岸防護設施等人工構造之人工海岸。詳細相關的臺灣海岸地區特性，如表 3-2 所示(內政部，2017)。整體海岸各類型自然度分類準則說明，則詳如表 3-3 所示。



資料來源：「海岸地區範圍」，內政部，104 年 8 月 4 日公告。

圖 3-1 臺灣海岸地區範圍示意圖



資料來源：[海岸概況\\_經濟部水利署水利規劃試驗所](#)

圖 3-2 臺灣海岸自然度分布概況

### 3.1.2 海岸型態

臺灣海岸型態，若依據地質與底質粒徑進行區分，大致可以分成：(1)泥灘海岸(muddy beach)、(2)砂質海岸(sandy beach)、(3)礫石海岸(gravelly coast)、(4)岩石海岸(rocky coast)、(5)生物海岸(biological coast，主要包含珊瑚礁與藻礁)等 5 種類別，分類原則如表 3-4，海岸環境概況，如表 3-5 所示，各類海岸型態整體分布，如圖 3-3 所示。

資料來源：[海岸概況\\_經濟部水利署水利規劃試驗所](#)



圖 3-3 臺灣海岸型態分布概況

觀察圖 3-3 可知，臺灣北部由新北市金山、野柳開始向東北，繞至宜蘭縣頭城以北，均為岩石海岸；再至宜蘭縣以蘭陽溪口三角洲，則屬於砂質海岸；自蘇澳往南的東部海岸，大部分為岩石海岸，其間，在花蓮溪、卑南溪、太麻里溪、利嘉溪、知本溪等河口，雖然具有較大面積之河口三角洲，但是海灘底質皆以大小礫石為主，致為礫石海岸。

在臺灣西部，自淡水河口以南至屏東枋山以北之海岸，大多為砂質海岸；其間，臺中至雲林海岸，是臺灣西部海岸潮差最大且潮間帶相對較寬廣之海岸段，其底質成分以細沙至粗砂為主，特別是在彰化海岸，因有利細顆粒泥質沉降堆積，以致形成寬廣的泥灘海岸；而自枋屏東山以南，則為岩石海岸；又在恆春半島，係屬珊瑚礁海岸。

### 3.1.3 海岸沖淤概況

海岸為陸地與海洋的銜接地區，環境景觀具多元性，生物生態具多樣性。惟受自然海洋波浪、潮汐、風力、河川輸沙及人工設施等海灘營造力之影響，海岸因而會產生規模不等、尺度大小不一的淤積或侵蝕動態變化。

依據內政部(2017)公告之「整體海岸管理計畫」整理，現況臺灣海岸的侵淤概況，經摘錄如表 3-6 所示，由表觀察可見，環島海岸及海灘，大多皆存在侵蝕現象。行政院 103 年 12 月 15 日召開國土保育專案小組第 9 次會議，討論「永續海岸整體發展辦理情形」案之決議，內政部營建署當時曾以經濟部水利署提供之海岸侵淤資料為基礎，總計彙整了 13 組侵淤熱點，且標註了其附近關聯侵淤之重大設施，經摘錄如表 3-7 所示，由表觀察可見，造成侵淤之主要設施，大多為大型商港或近岸港口。至於臺灣海岸往昔發生侵淤之較顯著地區，參見圖 3-4，依據監察院(2000)之「國土保全總體檢」調查報告，經摘錄整理可分述如后。

表 3-1 臺灣各縣市 105 年度第 2 期自然及人工海岸線比例一覽表

資料來源：「整體海岸管理計畫」，內政部營建署，2017。

項目 縣市 名稱	105年度第2期				105年第1期 自然海岸線 長度(m)	97年第1期(基準年)自然海岸線長度(m)	自然海岸線變化(m)	損失比率(%)
	總海岸線 長度(m)	自然海岸線 長度(m)	人工海岸線 長度(m)	自然海岸占 海岸長度 比例(%)				
	(A)+(B)	(A)	(B)	(A)/[(A)+(B)]				
基隆市	18,641	2,593	16,048	13.91%	2,593	2,593		0
臺北市	0	0	0	0%	0	0	0	0
新北市	145,091	54,461	90,630	37.54%	54,461	56,849	0	0
桃園市	46,292	21,089	25,203	45.56%	21,089	20,840	0	0
新竹市	24,307	1,297	23,010	5.34%	1,297	1,283	0	0
新竹縣	12,449	1,169	11,280	9.39%	1,169	1,170	0	0
苗栗縣	51,997	12,727	39,270	24.48%	12,727	13,107	0	0
臺中市	49,383	3,986	45,397	8.07%	3,986	3,986	0	0
彰化縣	75,860	3,863	71,997	5.09%	3,863	3,862	0	0
南投縣	0	0	0	0%	0	0	0	0
雲林縣	64,309	3,302	61,007	5.13%	3,302	3,304	0	0
嘉義市	0	0	0	0%	0	0	0	0
嘉義縣	41,563	2,176	39,387	5.24%	2,176	2,176	0	0
臺南市	69,264	25,158	44,106	36.32%	25,158	25,158	0	0
高雄市	94,732	11,830	82,902	12.49%	11,830	13,186	0	0
屏東縣	171,086	126,712	44,374	74.06%	126,712	126,611	0	0
宜蘭縣	111,007	67,981	43,026	61.24%	67,981	67,981	0	0
花蓮縣	119,539	78,013	41,526	65.26%	78,013	78,013	0	0
臺東縣	242,997	168,698	74,299	69.42%	168,698	168,699	0	0
小計(1)	1,338,517	585,055	753,462	43.71%	585,055	588,818	0	0
澎湖縣	368,757	267,958	100,799	72.67%	267,958	268,422	0	0
小計(2)	1,707,274	853,013	854,261	49.96%	853,013	857,240	0	0
金門	133,789	114,632	19,157	85.68%	114,632	115,514	0	0
連江	137,052	123,567	13,485	90.16%	123,567	123,567	0	0
東沙	7,200	6,405	795	88.96%	6,405	6,405	0	0
總計	1,985,315	1,097,617	887,698	55.29%	1,097,617	1,102,726	0	0

註：1.由於數化影像品質不同、潮汐變化影響及數化方式的修正，海岸線數化資料結果有些許的誤差，但誤差應在2%範圍內。

2.本表數據小數點後之數值皆採四捨五入計算。

表 3-1(續) 臺灣各縣市 100 年度第 2 期自然及人工海岸線比例一覽表

資料來源：「永續海岸整體發展方案(第二期)」，內政部營建署，2013。

	總海岸線 長度(m)	自然海岸線 長度(m)	人工海岸線 長度(m)	自然海岸占海 岸長度 比例(%)	人工海岸占海 岸長度 比例(%)	97年第1期(基準 年)自然海岸線 長度(m)
	(A)+(B)	(A)	(B)	(A)/[(A)+(B)]	(B)/[(A)+(B)]	(D)
基隆市	18,638	2,593	16,045	13.91%	86.09%	2,593
臺北市	0	0	0	0%	0%	0
新北市	140,092	54,820	85,272	39.13%	60.87%	56,849
桃園市	46,419	20,840	25,579	44.90%	55.10%	20,840
新竹市	24,246	1,283	22,963	5.29%	94.71%	1,283
新竹縣	12,451	1,170	11,281	9.40%	90.64%	1,170
苗栗縣	51,287	13,107	38,180	25.56%	74.44%	13,107
臺中市	47,961	3,986	43,975	8.31%	91.69%	3,986
彰化縣	76,081	3,862	72,219	5.08%	94.92%	3,862
南投縣	0	0	0	0%	0%	0
雲林縣	64,347	3,304	61,043	5.13%	94.87%	3,304
嘉義市	0	0	0	0%	0%	0
嘉義縣	41,519	2,176	39,343	5.24%	94.76%	2,176
臺南市	69,264	25,158	44,106	36.32%	63.68%	25,158
高雄市	81,368	11,829	69,539	14.54%	85.46%	13,186
屏東縣	169,588	126,611	42,977	74.66%	25.34%	126,611
宜蘭縣	111,007	67,981	43,026	61.24%	38.76%	67,981
花蓮縣	118,475	78,013	40,462	65.85%	34.15%	78,013
臺東縣	242,727	168,698	74,028	69.50%	30.50%	168,699
小計(1)	1,315,470	585,432	730,038	44.50%	55.50%	588,818
澎湖縣	368,559	268,271	100,288	72.79%	27.21%	268,422
小計(2)	1,684,029	853,703	830,326	50.69%	49.341%	857,240
金門	130,306	115,285	15,021	88.47%	11.53%	115,514
連江	136,936	123,567	13,369	90.24%	9.76%	123,567
東沙	7,200	6,405	795	88.96%	11.04%	6,405
總計	1,958,471	1,098,960	859,511	56.11%	43.89%	1,102,726

註 1：由於數化影像品質不同及潮汐變化之影響，以及數化方式部份的修正，海岸線數化資料結果有些許的誤差，但誤差應在高低潮位所造成誤差的範圍內，數化各年度在不同潮高之海岸線長度，其長度變化受潮汐影響在 2%。

註 2：海岸線數化原則：

- 1.以福衛 2 號及 SPOT-5 2.5 公尺解析度衛星影像為底圖進行海岸線數化。
- 2.海岸線數化分成自然與人工海岸線二類。
  - (1)人工海岸：已施設人工設施者，如堤防、港口、消坡塊、海埔地、排水道等
  - (2)自然海岸：扣除人工海岸部分
- 3.螢幕比例尺定為 1:5000。
- 4.河口與海港以從海上看陸地為原則。
- 5.缺口處以直線接合。

註 3：「永續海岸整體發展方案」係於 96 年核定，俟後本部營建署每年辦理「國土利用監測計畫」之海岸線監測工作，皆以 97 年（第 1 期）為基準年，統計分析自然海岸線長度變化。

資料來源：本署 100 年度委託中央大學太空及遙測中心辦理「國土利用監測計畫」研究案

表 3-2 海岸地區特性現況彙整表

資料來源：「修正全國區域計畫」，內政部，2017。

地區	特性與現況	
北部海岸	1.宜蘭海岸地區	1.線長度約 106 公里。除外澳至蘇澳間為沙質的海岸外，多屬岩石海岸。部分地區呈現侵蝕現象。 2.蘭陽溪口為河口三角洲，多為農漁使用。
	2.基隆新北海岸地區	1.海岸線長度約 140 公里。其中石城至南雅為東北角國家風景區，萬里至三芝屬北觀國家風景區，以保育及觀光遊憩發展為主。 2.基隆港至八斗子、深澳灣一帶，岬灣地形豐富，沿岸有基隆港、八斗子漁港、海洋科技博物館、深澳輸油站、深澳電廠、協和電廠等重要經建設施設。金山、萬里及貢寮則有核1廠、核 2 廠及核4廠等。 3.淡水河以南在西濱與八里新店線快速道路之通車、臺北港闢建完成後，結合八里污水處理廠、廢棄物掩埋及林口電廠等重要經建設施，已成為臺北都會區對外聯繫的重要門戶。
	3.桃園海岸地區	1.海岸線長度約 39 公里，沙質海岸。白玉、下埔一帶有連續性沙丘與茂密之防風林，不易為浪潮侵襲。觀音以北侵淤現象大致平衡；觀音以南除下埔附近為侵蝕外，大致呈淤積形。 2.沿岸地區以都市發展及工業發展為主；交通部及桃園市政府並極力推動桃園航空城計畫。 3.桃園觀音海岸具有全臺面積最大藻礁地形，引發各界重視。
	4.新竹海岸地區	1.海岸線長度約 28 公里，有廣大的潮間帶，香山地區擁有北部較大的海岸濕地。 2.除漁港建設外，直轄市、縣(市)政府近年來推動紅樹林保育、養殖專區、野生動物保護區及海岸自行車道建設等，並規劃垃圾掩埋場及污水處理廠，使用漸趨多元。
中部海岸	1.苗栗海岸地區	1.海岸線長度約 50 公里，鹽港溪及大安溪之間，輸砂來源豐富，通霄、苑裡飛沙形成低沙丘，植有防風林定沙，但有侵蝕現象。中港溪口有紅樹林，溪北有林相完整之海岸林，是 紫斑蝶棲息地。 2.除沙丘及丘陵外，農田較多，次為林地。有多處漁港，另有竹南工業區、通霄精鹽場、通霄火力發電廠；中油在後龍、通霄有石油礦、天然氣礦區；中港溪口有焚化爐。
	2.臺中海岸地區	1.海岸線長度約 41 公里。北段為大安溪與大甲溪河口的沖積平原，潮差大、海埔地發達，南段為烏溪河口，已公告劃設大肚溪口野生動物保護區及高美野生動物重要棲息環境。 2.因地形的影響，本地區潮差最大，同時因沿岸漂沙活動，以致海岸建港航道維持困難。 3.除臺中港特定區外，以農業區面積最大，林地主要為海岸防風林，工業用地主要是臺中港關連工業區，臺中港以南有火力發電廠。
	3.彰化海岸地區	1.海岸線長度約 61 公里。受烏溪、濁水溪的漂沙影響，形成沖積平原。退潮時泥溼灘地寬達 5 公里。漂沙移動僅使灘地增高，未再向外海延伸，有內侵情形。彰化海岸素以鷺科水鳥及螃蟹等濱海生物聞名。 2.區內有彰濱工業區填海造地計畫，還有電廠、漁港、西濱快速道路等。大城、芳苑鄉地層下陷嚴重，濁水溪口之開發利用與白海豚棲地保育議題，引發各界重視。
	4.雲林海岸地區	1.海岸線長度約55公里。濁水溪口以南灘地呈現侵蝕，近80年間已退後約100公尺。離岸沙洲島漸消退，愈往南後退量愈大。 2.離島基礎工業區係填海造地方式開闢，包括麥寮、臺西鄉西側海岸。工業區內包括臺塑六輕、麥寮港、發電廠等。 3.養殖漁業發達，但嚴重地層下陷面積甚大，除沿海之麥寮、臺西、四湖、口湖等 4 鄉鎮外，近年來已逐漸往內陸延伸。

表 3-2(續) 臺灣海岸地區特性現況彙整表

資料來源：「修正全國區域計畫」，內政部，2017。

南部海岸	1.嘉義海岸地區	1.海岸線長度約41 公里，位於北港溪及八掌溪之間，多為沙洲，其中以外傘頂洲最具代表性，為嘉義沿海最重要之自然防護。沿岸均屬雲嘉南濱海國家風景區。 2.東石、布袋一帶地層下陷問題嚴重。 3.早期為要西南部重要鹽場，近年來則有布袋商港與遊艇港之開發。 4.鰲鼓濕地森林園區除為西南沿海候鳥遷移及棲息的重要地點，其規劃兼顧海岸、濕地、草澤、農田、森林等景觀。
	2.臺南海岸地區	1.海岸線長度約 77 公里。沿海積地形明顯，外海沙洲發達，有廣大潟湖與海埔地。沿岸均屬雲嘉南濱海國家風景區，七股區與安南區並已納入台江國家公園範圍。 2.北門、將軍、七股及安南一帶海岸多開發為鹽田及魚塭，目前鹽田部分已不再從事生產，並配合轉型為觀光遊憩發展。安平港及臺南工業區附近則屬開發密度較高之地區。
	3.高雄海岸地區	1.為全省沿海地區侵蝕最嚴重海岸之一，如茄萣、永安、彌陀等，部分地區居民鄰海岸而居，浪潮對民眾生命財產造成嚴重威脅。 2.工業發展興盛，如與達火力發電廠、興達遠洋漁港、永安天然氣接收站、左營海軍基地、高雄港及林園石化工業區等。壽山附近則納入國家自然公園範圍。
	4.屏東海岸地區	1.楓港以北海岸線平直單調，以南則屬珊瑚礁海岸。 2.海岸地區養殖漁業發達，但長期超抽地下水致使地層下陷，且使內陸高程低於海平面，如東港鎮、林邊鄉、佳冬鄉、枋寮鄉等。 3.大鵬灣及小琉球屬大鵬灣國家風景區範圍，車城以南海岸大部分規劃為墾丁國家公園，海洋生物博物館及核三廠為區內重要設施。
東部海岸	1.臺東海岸地區	1.海岸線長度約 170 公里，海岸臨太平洋。卑南溪口以北極富海階地形及海蝕平臺，海岸山脈逼近海岸，屬東海岸國家風景區範圍。 2.卑南溪口以南，臺東市為主要核心，愈往南山陵漸逼近海岸。近年來因國民旅遊興起，太麻里、金崙等地觀光發展活絡。再往南位處臺灣最東南隅，交通聯絡困難，但也保持海岸原始風貌。
	2.花蓮海岸地區	1.多為峭壁，海岸線呈現全面性後退。美崙溪口及花蓮溪口之砂礫質海岸，地形有巨大變化。南濱、化仁一帶海岸侵蝕嚴重。 2.蘇澳至太魯閣口沿線因清水斷崖地形限制，沿線有零星聚落。和平水泥專業工業區為最大開發案，另有民間業者開發海洋深層水。花蓮溪口以南，屬東海岸國家風景區範圍，最大開發為花蓮海洋公園，帶動觀光發展及沿線私有土地開發。

表 3-2(續) 臺灣海岸地區特性現況彙整表

資料來源：「修正全國區域計畫」，內政部，2017。

離島地區	1.金門海岸地區	1.海岸曲折，以砂礫、沙丘為重要海岸景觀。除坑道之開發外，部分海岸尚未完成排雷，因而保留自然海岸原貌。 2.金門及烈嶼之海岸地區，多已納入金門國家公園範圍。
	2.馬祖海岸地區	1.屬丘陵地形，以花崗岩岸為主。因過去戰地政務之限制，得以保留自然風貌，目前已納入馬祖國家風景區範圍。 2.近年因解除戰地政務，南竿、北竿有較多聚落與開發。
	3.澎湖海岸地區	1.澎湖群島地勢平坦，但海岸線曲折，漁港及船澳等共 60 餘處，為全臺之冠。 2.除部分沙質海岸，其他大部分為咾咕石、沉泥及玄武岩所組成。 3.漁業及觀光產業發達，目前已納入澎湖國家風景區範圍。
	4.蘭嶼、綠島、小琉球、龜山島等離島	1.蘭嶼海岸線地形多樣、珊瑚礁發達，為火山島，尚保留達悟族文化。蘭嶼島有核廢料儲存場。 2.綠島為火山島，海岸景觀多變化。生態資源豐富為國際知名潛水點，屬東海岸國家風景區範圍。 3.小琉球為人口密度最高的離島，以漁業及觀光為主要產業。 4.龜山島為火山島，屬東北角國家風景區範圍，除駐軍外島上無居民。

表 3-3 臺灣海岸自然度分類準則

資料來源：[海岸概況\\_經濟部水利署水利規劃試驗所](https://www.wrap.gov.tw/pro12.aspx?type=0301000000)，  
<https://www.wrap.gov.tw/pro12.aspx?type=0301000000>

類型名稱	分類準則說明說明
自然海岸	無人工構造物，或人工構造物對潮間帶水文環境(主要指潮汐與波浪可到達範圍)無顯著影響，興建於低潮位線外的離岸潛堤，其堤頂高度小於平均低潮位線即屬於此類型。
半自然海岸	海岸道路、高地護岸等人工構造物的海岸，潮間帶仍保持自然狀態，其水文環境受人工構造物影響輕微，此類型海岸屬於半自然海岸。此外，興建於低潮位線外的離岸堤，其堤頂高度低於平均潮位面，漲潮期間會被淹沒者，亦屬於半自然海岸。
人工海岸	港灣、航道、海岸圍墾區，與海岸防護設施等人工構造物位於潮間帶內，對潮間帶水文環境有顯著影響者即屬於人工海岸。

表 3-4 臺灣海岸型態分類原則

資料來源：[海岸概況\\_經濟部水利署水利規劃試驗所](https://www.wrap.gov.tw/pro12.aspx?type=0301000000)；  
<https://www.wrap.gov.tw/pro12.aspx?type=0301000000>

類型		辨識準則與環境描述
代碼	名稱	
M	泥灘海岸	地表所覆蓋底質粒徑小於 62.5 μm 之淤泥狀沉積物，以潮汐作用為主動力之海岸類型
S	砂質海岸	由砂灘組成，地表覆蓋鬆散之砂狀沉積物，底質粒徑介於 62.5 μm ~ 2 mm 之間，以波浪作用為主動力之海岸類型。
G	礫石海岸	海灘表面覆蓋底質粒徑介於 2mm ~ 256 mm 的礫石沉積物之海岸類型。
R	岩石海岸	山地或丘陵地與海岸平行或相鄰，堅硬的岩層出露在海平面之海岸類型，最常見到的岩岸地形是海崖與海蝕平台。底質粒徑大於 256 mm 亦屬之。
B	生物海岸	指珊瑚礁與藻礁海岸。

表 3-5 臺灣本島海岸環境概況一覽表

資料來源：[海岸概況\\_經濟部水利署水利規劃試驗所](https://www.wrap.gov.tw/pro12.aspx?type=0301000000)

段	河川局	海岸環境概況				海岸防護設施概況	
		海岸型態		自然度		一般性海堤	
		類型	長度	類型	長度	處	長度
宜蘭海岸	第一河川局	泥灘海岸	0	自然海岸	60,153	14	7,722
		砂質海岸	29,465	河口	6,953		
		礫石海岸	15,881	半自然	6,209		
		岩石海岸	36,160	人工	15,144		
		生物海岸	0	其他	10,368		
		其他	17,320	小計	98,827		
		小計	98,827				
桃園海岸	第二河川局	泥灘海岸	0	自然海岸	23,440	11	12,125
		砂質海岸	31,841	河口	4,611		
		礫石海岸	0	半自然	1,092		

		岩石海岸	0	人工	10,833		
		生物海岸	3,524	其他	1,017		
		其他	5,628	小計	40,993		
		小計	40,993				
新竹海岸	第二河川局	泥灘海岸	0	自然海岸	0	10	15,590
		砂質海岸	24,897	河口	1799		
		礫石海岸	0	半自然	15,089		
		岩石海岸	0	人工	9,808		
		生物海岸	0	其他	2,072		
		其他	3,871	小計	28,768		
		小計	28,768				
苗栗海岸	第二河川局	泥灘海岸	1,369	自然海岸	12,330	11	16,270
		砂質海岸	35,120	河口	7,348		
		礫石海岸	0	半自然	0		
		岩石海岸	0	人工	24,158		
		生物海岸	0	其他	1,097		
		其他	8,445	小計	44,933		
		小計	44,933				
台中海岸	第三河川局	泥灘海岸	7,727	自然海岸	7,385	25	18,825
		砂質海岸	3,403	河口	6,076		
		礫石海岸	0	半自然	2,222		
		岩石海岸	0	人工	1,523		
		生物海岸	0	其他	13,204		
		其他	19,280	小計	30,410		
		小計	30,410				
彰化海岸	第三河川局/ 第四河川局	泥灘海岸	51,984	自然海岸	1,597	22	62,355
		砂質海岸	0	河口	4,932		
		礫石海岸	0	半自然	6,194		
		岩石海岸	0	人工	44,193		
		生物海岸	0	其他	10,572		
		其他	15,505	小計	67,488		
		小計	67,488				
雲林海岸	第五河川局	泥灘海岸	26,118	自然海岸	0	13	36,680
		砂質海岸	0	河口	2,457		
		礫石海岸	0	半自然	0		

		岩石海岸	0	人工	26,118		
		生物海岸	0	其他	4,508		
		其他	6,965	小計	33,083		
		小計	33,083				
嘉義海岸	第五河川局	泥灘海岸	30,916	自然海岸	1,283	10	17,454
		砂質海岸	0	河口	1,010		
		礫石海岸	0	半自然	0		
		岩石海岸	0	人工	29,633		
		生物海岸	0	其他	6,044		
		其他	7,053	小計	37,969		
		小計	37,969				
台南海岸	第五河川局/ 第六河川局	泥灘海岸	30,925	自然海岸	14,501	15	45,005
		砂質海岸	19,249	河口	7,664		
		礫石海岸	0	半自然	0		
		岩石海岸	0	人工	35,672		
		生物海岸	0	其他	3,896		
		其他	11,560	小計	61,734		
		小計	61,734				
高雄海岸	第六河川局	泥灘海岸	0	自然海岸	5,628	15	21,677
		砂質海岸	36,789	河口	2,222		
		礫石海岸	0	半自然	6,736		
		岩石海岸	0	人工	27,853		
		生物海岸	3,427	其他	15,673		
		其他	17,895	小計	58,111		
		小計	58,111				
屏東海岸	第七河川局	泥灘海岸	0	自然海岸	112233	19	23,463
		砂質海岸	20,576	河口	15419		
		礫石海岸	26,384	半自然	0		
		岩石海岸	4,463	人工	18,687		
		生物海岸	79,497	其他	6,993		
		其他	22,411	小計	153,331		
		小計	153,331				
台東海岸	第八河川局	泥灘海岸	0	自然海岸	107,908	8	4,075
		砂質海岸	9,726	河口	19,872		
		礫石海岸	117,960	半自然	12,380		

		岩石海岸	12,313	人工	25,078		
		生物海岸	5,367	其他	5,996		
		其他	25,868	小計	171,234		
		小計	171,234				
花蓮海岸	第九河川局	泥灘海岸	0	自然海岸	71,812	10	6,090
		砂質海岸	9,369	河口	11,805		
		礫石海岸	37,617	半自然	5,486		
		岩石海岸	44,596	人工	14,285		
		生物海岸	0	其他	5,167		
		其他	16,971	小計	108,553		
		小計	108,553				
新北海岸	第十河川局	泥灘海岸	0	自然海岸	71,628	18	6,305
		砂質海岸	20,484	河口	17,387		
		礫石海岸	5,136	半自然	2,992		
		岩石海岸	45,347	人工	10,255		
		生物海岸	13,909	其他	15,989		
		其他	33,377	小計	118,252		
		小計	118,252				
基隆海岸	第十河川局	泥灘海岸	0	自然海岸	6,426	2	1,025
		砂質海岸	0	河口	0		
		礫石海岸	0	半自然	0		
		岩石海岸	10,710	人工	4,284		
		生物海岸	0	其他	4,328		
		其他	4,328	小計	15,038		
		小計	15,038				
合計			1,068,725			203	294,661

資料來源：海岸概況\_經濟部水利署水利規劃試驗所：

<https://www.wrap.gov.tw/pro12.aspx?type=030100000>

表 3-6 臺灣海岸之侵淤概況

資料來源：「整體海岸管理計畫」，內政部，2017。

海岸別	直轄市、縣 (市)	海岸長度 (公里)	海岸類型	侵淤情況
宜蘭海岸	宜蘭縣	106	石城以北：岩岸 石城以南至蘇澳：沙岸 蘇澳以南：岩岸	侵淤互現
臺北海岸	基隆市	18	淡水河口以東：岩岸	變化不明顯
	新北市	122	淡水河口以南：沙岸	略侵蝕
桃園海岸	桃園市	39	沙岸	侵淤互現
新竹海岸	新竹縣	12	沙岸	侵淤互現
	新竹市	17		
苗栗海岸	苗栗縣	50	沙岸	侵淤互現
臺中海岸	臺中市	41	沙岸	淤積
彰化海岸	彰化縣	61	沙岸	大部分淤積，小部分地盤 下陷
雲林海岸	雲林縣	55	沙岸	由淤積轉為侵蝕
嘉義海岸	嘉義縣	41	沙岸	由淤積轉為侵蝕
臺南海岸	臺南市	77	沙岸	略侵蝕
高雄海岸	高雄市	63	沙岸	侵蝕
屏東海岸	屏東縣	152	鵝鑾鼻段：珊瑚礁 其餘各段：沙岸	枋山以南：變化不明顯； 其餘各段：侵蝕
臺東海岸	臺東縣	172	成功以北：岩岸 成功以南：沙岸	侵蝕
花蓮海岸	花蓮縣	175	新城至花蓮溪口：沙岸 其餘各段：岩岸	侵蝕

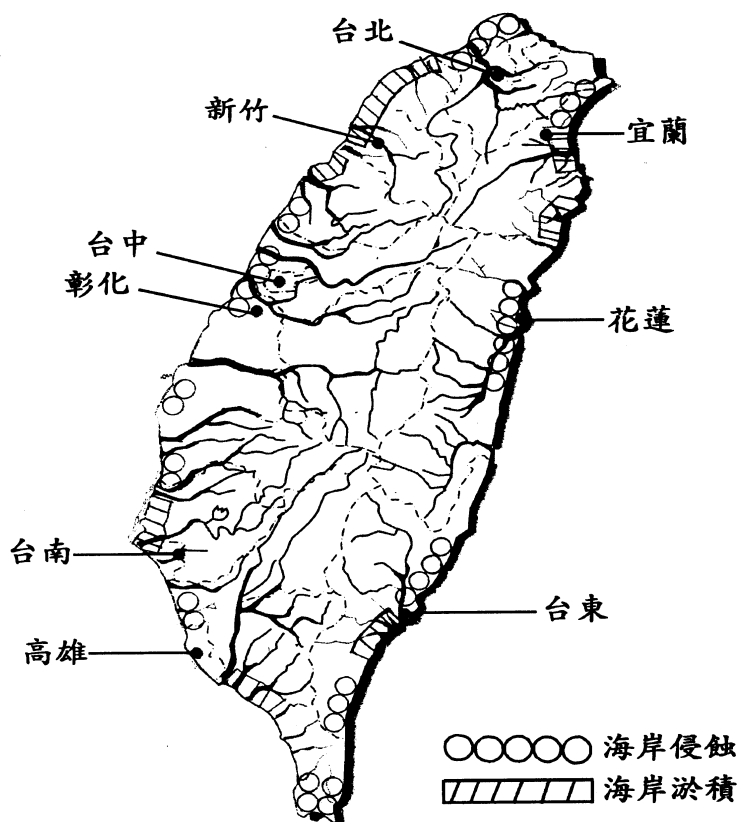
資料依據：經濟部水利署網站 (<http://www.wra.gov.tw/>)；內政部 (2017)。

註：臺灣海岸長度總計 1,201 公里。

表 3-7 臺灣海岸之侵淤熱點與其附近之重大設施與起迄點參考座標

資料來源：「整體海岸管理計畫」，內政部，2017。

編號	海岸段 侵淤熱點	主要人工構造物 (目的事業主管機關)	起點參考座標 (TWD97)	迄點參考座標 (TWD97)
1	烏石港周邊海岸段	烏石港(農委會漁業署)	外澳海岸 335500, 2753000	得子口溪 333700, 2748500
2	臺北港周邊海岸段	臺北港(交通部) 林口電廠(經濟部國營會)	淡水河口 292000, 2784800	瑞樹溪口 284300, 2780000 林口區界 278600, 2778800
3	桃園觀音、新屋周邊海岸段	觀塘工業港(經濟部工業局) 大潭電廠(經濟部國營會) 永安漁港(桃園市政府)	大堀溪口 259700, 2772500	大坡溪口 251400, 2762750
4	新竹新豐及頭前溪周邊海岸段	新竹漁港(農委會漁業署)	竹北海岸 245060, 2752650	港南海岸 240500, 2745650
5	臺中港及彰濱周邊海岸段	臺中港(交通部) 彰濱工業區(經濟部工業局) 永興海埔地(彰化縣政府)	大甲溪口 204000, 2692000	永興海埔地 180600, 2648000 181900, 2654000
6	濁水溪口周邊海岸段	雲林離島式基礎工業區(經濟部工業局)	濁水溪口 173000, 2637000	雲林縣口湖鄉台子村海堤段 162000, 2606800 外傘頂洲 149000, 2593400
7	嘉義布袋周邊海岸段	布袋商港(交通部) 布袋遊艇港(嘉義縣政府)	朴子溪口 163570, 2594050	八掌溪口 159675, 2580670
8	臺南七股周邊海岸段	將軍漁港(臺南市政府)	將軍溪口 156500, 2571000	曾文溪口 153000, 2550500
9	臺南黃金海岸段	安平商港(交通部)	鹽水溪口 161600, 2544100	二仁溪口 165500, 2534900
10	高雄興達港周邊海岸段	興達港(高雄市政府) 永安液化天然氣廠(經濟部國營會)	二仁溪口 165500, 2534900	彌陀南寮漁港 171200, 2518200
11	高雄左營及旗津海岸段	蚵仔寮漁港(高雄市政府) 左營軍港(國防部) 高雄港(交通部) 南星計畫(高雄市政府)	彌陀南寮漁港 171200, 2518200	林園區中芸漁港 187900, 2487000
12	臺東縣南迴公路海岸段	大武漁港(臺東縣政府)	大武溪口 240600, 2473300	南興溪口 238800, 2467550
13	花蓮溪口周邊海岸段	花蓮港(交通部)	花蓮港 315830, 2656000	花蓮溪口 312160, 2648200



資料來源：「國土保全總體檢」調查報告，監察院，2000。

圖 3-4 臺灣海岸發生較顯著侵淤之地區示意圖

### (一) 東北部海岸及北部海岸

1. 台北縣及基隆市海岸：起自臺灣西北側下寮經臺灣最北端之富貴角至東北角三貂角，其中除下寮至淡水河南岸間屬於沙質海岸外，大部份屬於岩石海岸，包括一般所稱之東北角海岸及北部海岸。此段岩石海岸有突出之岬角如三貂角、鼻頭角、野柳、富貴角等，也有深入之小灣如卯澳、澳底、龍洞、深澳等。海岸有珊瑚礁散佈，存在於海岸上之海蝕洞則因公路開闢或拓寬，已不復多見，而在岬角間零星散佈一些小型沙灘海灣即所謂袋形海灘(pocket beach)，如淺水灣、白沙灣、金沙灣、翡翠

灣及福隆等，這些小灣多因溪流注入之輸沙堆積所形成，例如：此段海岸中最大之二沙灘，即員潭溪之金沙灣及雙溪川之福隆海灘；而若干小型袋形海灘，則屬於崩潰之岩石風化堆積而成。在礳港漁港及雙溪川口之沙灘，因有兩側岬角阻擋，大致安定而無侵蝕現象，惟因河川輸沙而有淤塞問題。本段海岸雖有海堤之建設，但多興建於海水浴場或漁港之鄰近地點，多用為防潮浪而非防侵蝕。雖地勢較高亢，但颱風浪潮洶湧時有越波，且多依賴消波混凝土塊以為保護。沙崙北側目前正闢建淡海新市鎮並興建圍堤中。三芝淡水間海岸段丘向海緩傾而平直單調，礁與狹窄沙灘交互出現，海岸尚稱安定。淡水河左岸至桃園縣境交界處之林口鄉下寮以東屬於沙質海岸。淡水河右岸因有沙崙突出於北岸河口，阻擋河川輸沙向北擴散，再加冬季北浪能較夏季能量強勁約四倍，故淡水河之輸沙均偏南堆積，等深線在南岸較北岸寬鬆，河口北岸坡度約在  $1/50$ ，而河口南側則為  $1/200$  至  $1/100$ 。1904 年至 1919 年間海岸線雖有前進，但 1958 年起即陸續後退，至 1993 年嚴重處已後退 200 至 300 公尺，海岸後退以至需建防沙突堤保護海岸，於石門水庫及翡翠水庫完成後即逐漸明顯，而在 1986 年淡水河口經大量採沙時，尤其嚴重，即使在八里污水處理場興建時，八里海水浴場以北仍然侵蝕不止，迫使撤遷戶再向內陸遷移。往西離淡水河愈遠，海岸線後退量逐漸減緩，寶斗溪附近已趨平衡。台北縣海岸於 1994 年在淡水鎮北方開發淡海新市鎮特定區計畫，填海造地工程正在施工中，於南岸則有八里污水處理廠、八仙遊樂區、林口電廠等海岸開發利用工程，目前淡水港第一期工程（1993 至 1997）已完成施工，由於北防波堤之興建，其北側之海岸侵蝕已減緩，但港址南側之海岸勢必引起局部侵蝕。自民國 82 年 5 月淡水商港開始興建，到民國 85 年 5 月之 3 年期間，若以 -20 m 水深計算，則淡水、八里海域沖淤積量分別為 +244.7 萬方以及 -823.3 萬方等，惟第三年侵蝕量含淡水工程處在北防波堤南側在第三標區域浚挖數量約 160 萬立方公尺，故實際平

均每年侵蝕量約為一五〇萬立方公尺。

2. 桃園縣海岸：包括蘆竹鄉、大園鄉、觀音鄉及新屋鄉等四鄉，約有 40 公里長之海岸線，大致由東西向漸轉西南西向，海岸坡度約 **1/100**，平均潮差 240 公分，有南崁溪、埔心溪、新街溪、老街溪、大堀溪及社子溪等次要河川及普通河川流注於海。日據時期沿岸沙丘植有防風林以定沙並保護海岸，而海灘亦有寬近百米之沙灘消浪，故海岸尚稱安定。由於本縣所有溪口均向西南向偏，顯示漂沙方向係由東北向西南向，除永安港南側因防波堤阻擋而有局部性侵蝕，以及白玉附近海灘呈現侵蝕，露出部分礫石外，桃園縣海岸尚稱穩定。竹圍漁港及永安漁港曾因漂沙而淤塞，經擴建延長防波堤而克服。此段海岸有觀音海水浴場及竹圍海水浴場，其中竹圍海水浴場因漁港擴建而納入漁港南堤內，漁港西側海灘則經大量採沙。
3. 新竹縣市海岸：北起於新豐鄉羊寮溪口南至鹽水港間的 30 公里海岸，海岸線走向大約為東北-西南，平均潮差有 3.25 公尺。由於鳳山溪及頭前溪年約 260 萬立方公尺之豐富沙源及大潮差，乃形成極為平緩之海灘，漲退潮露出水面之海埔地(潮間帶)有 1.5 公里遠，往南海埔地寬度漸減。於 1904 至 1957 年間此一帶海灘約生長 0.7 公里。一九五九年行政院退輔會於客雅溪北側至新竹市北側 6 公里間開發海埔新生地 314 公頃，此後海岸尚稱穩定，但於 1970 年，頭前溪口南岸經興建新竹漁港後，由於防波堤伸長達 **1.6** 公里(含港區)，阻擋沿岸漂沙，以致新竹垃圾掩埋場附近之海堤日漸侵蝕，需以消波塊保護堤腳。其南濱海水浴場前方之沙灘亦逐漸後退，唯香山一帶海岸尚稱穩定。1985 年臺灣省政府提出香山區海埔造地開發計畫，擬沿 -1.0 至 ±0.0m 築堤 9.6 公里，開發 990 公頃海埔地分三期施工。
4. 苗栗縣海岸：包括竹南鎮、後龍鎮、通霄鎮及苑裡鎮等，介於

鹽水港至房裡溪之海岸，共約 50 公里長。海岸線走向約成北北東至西南向，計有中港溪、西湖溪、通霄溪、南勢溪、苑裡溪等。其中中港溪屬於次要河川，提供年約 200 萬立方公尺之沙源外，餘均屬集水面積甚小之普通河川，所提供之沙源有限。除崎頂及海尾至出口間有若干侵蝕現象外，其餘海岸相當安定。依地形圖，通霄一帶海岸線雖於 1926 至 1983 年間有相當之淤積，但至 1994 年已呈顯後退。通霄電廠取水管曾因颱風來襲被全部破壞而重新修建，可知暴風期此地海底地形變化之激烈。賀伯颱風通過時，秋茂園至通霄精鹽廠間之海堤曾被波浪嚴重損毀或越波，造成相當之災害。

## (二) 中部海岸

1. 台中縣海岸：北起自房裡溪口南至烏溪口間，包括大甲鎮、大安鄉、清水鎮、梧棲鎮及龍井鄉等五鄉鎮之海岸，海岸線長 41 公里。由於得自大安溪、大甲溪及烏溪之豐富輸沙沖積，以及平均 3.7 公尺大潮差，產生水平方向之潮流與強烈之波浪作用，乃形成寬大之海埔地。台中港未經興建之前，梧棲海岸之海埔地亦如鹿港一帶遠達 2.3 公里之遙。大甲溪口以北，沙灘混有卵石；而以南則屬沙灘；在 1958 年以前，平均海岸線以每年 3.8 公尺速度成長，此後大甲溪開發計畫實施，完成水庫興建，輸沙量大為減少，至 1994 年海岸增長遲緩，高美一帶反需建堤保護。而台中港完成後，北防波堤阻斷沿岸漂沙，其北側形成明顯之堆積；而南防波堤以南之南海堤原建在±0m 者，因失去南下沙源之補充，以及烏溪流出向北之輸沙被台中火力電廠切斷而無法補充，竟被沖刷至-5m，幸賴堅固之海堤保護，得予遏止。
2. 彰化縣海岸：北起烏溪南迄濁水溪，涵蓋伸港鄉、線西鄉、鹿港鎮、福興鄉、芳苑鄉及大城鄉，海岸線長 61 公里，平均潮差 3.21 公尺。在濁水溪未整治前，舊濁水溪自鹿港南側排入

海中，此一支流及現濁水溪之西螺溪以及烏溪等三大河川沖積成今日之平原與海岸。全縣海灘坡度約  $1/1500$ ，極為平緩，再加潮差大，海埔地廣達四公里，底質屬於粉土與黏土極細顆粒之成份，除於潮溝略有小變動外，海灘平坦，極為安定，彰化縣海岸原屬於豐富沙源區，17世紀之地形圖即顯示有寬闊之海灘，海岸成長迅速，昔日海灘已成陸地。未開發海埔地之前，海岸約以每年 40~50 公尺速度成長，年淤積量約為六百萬立方公尺。但據最近幾年之水深測量，淤積速度已大為減緩，以致寓埔區外海出現明顯之侵蝕現象，而漢寶、芳苑間外海亦有輕微侵蝕發生。

3. 雲林縣海岸：自濁水溪口至北港溪口，涵蓋麥寮鄉、台西鄉、四湖鄉及口湖鄉之海岸線，長約 58 公里。由於濁水溪未經整治前，分歧之西螺溪、虎尾溪及北港溪等支流供應豐富之輸沙源，其沖積乃形成平緩之海灘。海岸線曲折，富於變化，許多河口形成之潮溝分隔沙灘，並有離岸沙洲露出或潛沒，斷斷續續分佈於離岸約 3~4 公里處。最北之離岸沙洲為海豐島，自新虎尾溪口外 4 公里處，南西南向延伸約 8 公里長，漲潮時島寬約 500 公尺，退潮時則約 1,000 公尺。海豐島於 1970 年代成為潛沒沙洲並逐漸東移，最近又成沙嘴(spit)復現於海面上，與陸地相連，但規模已大為縮小。另外自 1926 年起，下崙外海亦有潛沒沙洲向西南延伸，然後發展成統汕洲、外傘頂洲長約 15 公里之離岸沙洲群。雲林縣海岸除麥寮區及台西區海埔地分別由縣政府等機關圍堤開發外，其餘海岸線亦經水利局整建拉直，但部份海堤仍屬簡陋，以致賀伯颱風來襲損毀，海灘亦因地層下陷而降低內移，碉堡陷於水中。沙州內之潮溝或內海亦遭刷深，而統汕洲、箔子寮洲及外傘頂洲之萎縮，將使此一天然屏障失去功能，所幸該海岸已全被規劃為雲林離島工業區，一旦開發完成，則海岸線外移，內陸將無直接被波浪侵蝕之慮，但如規劃不當則侵蝕將所難免。雲林縣之海岸保護重點

應不在海岸線，而應在如何確保沙洲及沙嘴不再萎縮。相關單位於民國 79 年至 82 年間，曾在外傘頂洲連續監測海岸線變化，根據連續四年觀測分析結果顯示，該區海岸灘線向陸側內移 300 公尺，即平均每年向陸側侵蝕大約 100 公尺。

### (三) 南部海岸

1. 嘉義縣海岸：北起自北港溪口南至八掌溪口間長約 40 公里，涵蓋東石鄉、布袋鄉及義竹鄉之海岸。因北港溪、朴子溪及八掌溪豐富之輸沙沖積，又外海有外傘頂洲遮擋波浪，使得本縣海岸線曲折迂迴，沙洲斷續散佈於兩溪口間。嘉義縣沿海本屬低窪地區，被人為開發利用為鹽地或養殖池。目前因超量抽取地下水，致地層下陷頗為嚴重，溢淹潛能加重。所幸因外傘頂洲南移遮蔽北來波浪，形成穩定之水域而無漂沙能力，但好美寮已不在外傘頂洲遮蔽區內，故波浪仍可直襲該處海岸，以致沙洲及海灘流失，防風林及海堤受損。為遏止海灘侵蝕，於該處海岸建有八座離岸堤以保護之。外傘頂洲為嘉義縣最重要之海岸防災屏障，但該沙洲目前不僅面積逐漸萎縮，高程亦降低，沙洲上防風林已不復見，大潮來時波浪已可刷過沙洲頂，如何確保該沙洲乃嘉義縣海岸保護之關鍵。
2. 台南縣海岸：北起自八掌溪口南至曾文溪口，包括北門鄉、將軍鄉及七股鄉海岸，全長約 56 公里。本島外緣有王爺洲、青山洲、網子寮洲、頂頭額洲及新浮崙洲等形成屏障，其內側則為數百至數公里寬之潟湖。青山洲自開發鹽場時建築海堤保護新生地後，即逐漸發生侵蝕現象，於 1994 年中心漁港興建後侵蝕加速，目前南防波堤以南約 2 公里間之沙灘已不復見，而需以突堤群保護。自開闢北門海埔地後，航道即趨穩定，而突堤南側則飛沙淤積，青山洲北端外穩定，南端網子寮沙洲及頂頭額沙洲漸受侵蝕，沙洲幅度不斷萎縮並向內陸移動。自曾文溪上游經興建曾文水庫後，河川供應之輸沙量已幾被切斷，因

此溪口附近之濕地稍有擴大外，海岸有漸被侵蝕之勢。七股海岸近年侵蝕嚴重，海岸線最大後退距離為 200 公尺，原有海堤已被掏空，海水已達路面，水利處目前以拋擲消波塊搶救。

3. 台南市海岸：北起曾文溪口南至二仁溪口海岸，全長約 22 公里。依 17 世紀之地圖觀之，荷蘭人佔領時代，臺灣內海南起自二仁溪口北至北門，而東側陸地則在今日鹽行、西港、佳里一帶；海岸外側則有北線尾汕及今日安平之鯤鯓至今日喜樹之七鯤鯓等沙洲群。近年來喜樹海岸之沙灘已逐漸萎縮，寬度僅剩約 50 公尺。安平新港防波堤北南兩側淤積量有限，海岸線僅伸長約 150~200 公尺，南側較北側者長，可見由南向北之沿岸漂沙稍多於由北向南者。因曾文溪口起海岸走向轉向東南，與夏季之西南向波浪約成垂直方向，故夏季漂沙以向離岸方向為主，而冬季則因波浪方向擴散而波高不大，約與夏季相同。
4. 高雄縣市海岸：北起自二仁溪口南迄高屏溪口海岸，長約 65 公里，涵蓋高雄縣茄萣鄉、永安鄉、彌陀鄉、梓官鄉及高雄市之援中、左營、旗津、中洲及高雄縣林園鄉等。以往二仁溪、阿公店溪及高屏溪豐富之排沙而形成新打、左營及高雄等潟湖。本段海岸因係由二仁溪及阿公店溪上游泥岩流下之輸沙堆積而成，故粒徑極細，屬於細沙及粉土，再加波浪與海岸略成垂直，大浪來襲時，易將土沙移向外海。自 1940 年代起，蚵子寮海岸始頻傳海岸侵蝕，1947 年始經築堤保護。蚵子寮昔日百餘公尺海灘已消失，及經興建直立式海堤，惟屢建屢毀，迨以拋置消波塊始不再受損，但堤趾沖刷日深。之後赤崁海岸亦逐漸被侵蝕，並逐漸擴大到蚵子寮以南之海岸，援中港沙灘亦已盡失。又原來彌陀以北至茄萣間亦即新打潟湖外之沙洲，相當發達，且有防風林植生其上，然自 1980 年代興建興達電廠、永安 LNG 接收站及濫墾漁塭後，乃逐漸消失；同時海岸侵蝕亦由蚵子寮向北逐漸擴大至南寮、新港、螺底以南，致使該等海岸幾乎已無沙灘，而完全依賴海堤及離岸堤以為保護。

自興建興達漁港導流堤以後，先則崎漏海岸發生侵蝕，而在 1992 年後茄萣海岸亦漸難維持，侵蝕由南向北擴大至喜樹海岸。1996 年賀伯颱風來襲時，茄萣沙灘流失，波浪直襲涼亭岸壁。

5. 高雄市海岸：紅毛港(高雄港二港口)附近之海岸在 1950 年代即有侵蝕現象，乃經興建簡陋之海堤保護之。鳳鼻頭北側亦於 1970 年代發生侵蝕，這些侵蝕現象於中鋼興建及中船疏浚高雄港南側港地時，將大量土沙排放於海岸後，即因此停止。而中洲一帶亦由高雄市政府興建突堤群以為保護，林園-中芸海岸於 1970 年代即需以突堤防治侵蝕，而汕尾海灘亦有減少之勢，中芸以北海灘亦然，1995 年曾因西南氣流之暴浪而潰堤。高雄西子灣沿海，海床坡度大略以水深 7m 為界，近岸海床坡度較陡，而離岸坡度較緩，西子灣沿海之沙灘，早期因高雄二港口的闢建及因中山大學設址所進行的填海造陸工程，致使部分天然海岸逐漸消失，目前西子灣之海灘長度，較中山大學建校前減少了約 500m，亟需進行復育計畫(吳 等，2006)。
6. 屏東縣海岸：包括東、西海岸，於西岸起自高屏溪口至鵝鸞鼻，東岸起自觀音鼻至鵝鸞鼻，海岸線全長約 152 公里，為唯一同時面臨臺灣海峽、巴士海峽與太平洋，且包含沙灘、卵石灘、岩石及珊瑚礁等四種性質特性迥異之海岸。主要河川有高屏溪、東港溪、林邊溪，次要河川有草山溪、南勢湖溪、枋山溪、楓港溪、四重溪、保力溪、石牛溪及東岸之港口溪、旭海溪等。高屏溪雖流長而輸沙量多，但因河口有海溝，輸沙大部分流入海溝中，以至無法補充兩岸，故無發達之三角洲。東港海岸尚維持平衡狀態，而大鵬灣湖外之沙洲昔日尚有相當寬度，但目前已大為萎縮，往南水利村附近海岸已嚴重退縮，需賴離岸堤保護。林邊溪以南，佳冬鄉海岸因地層下陷，使沙灘日漸減少，亦賴離岸堤保護。枋寮海岸由沙質轉變為卵石，民立廣播電台一帶曾發生嚴重侵蝕，漁港北側亦然，該處於民國 60 年代曾

賴反波式護岸保護，但因侵蝕依然進行而加拋菱型塊消波，猶難遏止，然在漁港興建後趨於安定。楓港海岸因侵蝕，碉堡乃陷入海中，目前亦賴護岸保護。南灣、八瑤灣等袋形海灘大致保持平衡，變化甚小。

#### (四) 東部海岸

1. 台東縣海岸：北起於長濱鄉大峰，南迄於達仁鄉南田，涵蓋大武鄉、太麻里鄉、台東市、卑南鄉、東河鄉、成功鎮及長濱鄉，海岸計約 175 公里長，面臨太平洋，接受強勁之風浪，除卑南溪形成之台東三角洲，太麻里溪堆積形成之太麻里三角洲，及大武溪堆積形成之小型大武三角洲外，幾乎或多或少發生侵蝕，唯大武、台東間之斷層崖海岸平直，因岩層堅硬並於崖下有數十公尺沙混礫石灘可消減部分波能，故後退速度轉慢，但金崙至大武間之沿海公路每於颱風來襲時，坡崁即被破壞，交通受阻，碉堡滾落海灘。大港口至台東間除於加路蘭附近有珊瑚礁外，其餘屬於東部海岸山脈東麓之海岸沙岩段丘，地質較鬆軟，於颱風暴浪作用下，侵蝕速度相當快，尤以新港至都蘭間為甚，沿海公路亦因海岸侵蝕影響路基而向西遷移，亟待加強保護。位於台東海岸南端的大武漁港，因漁港擴建之配置型態不良，每年東北季風和颱風季節，港嘴就陷入嚴重淤沙，船隻無法正常出海捕魚，漁民生計大受影響；歷經漁民歷年多次抗爭，以及台東縣政府之持續努力爭取，終於 2012 年獲漁業署核准 4 千萬元漁港整建經費(含港口淤沙疏浚工程)及交通部公路總局核准 3 千萬元的北擋砂堤延伸 70 公尺的工程經費，但「治標不治本」，長期飽受淤沙之苦的大武鄉大武漁港，縣府迄今每年仍需編列約 800 萬元預算進行清淤工程，不僅使得縣庫如流水般不斷支出，淤沙改善也未見成效，引發漁民怨聲載道(尤聰光，2012/10/16 聯合報台東報導 <http://udn.com/NEWS/DOMESTIC/DOM7/7432204.shtml#ixzz29RU2Qq00>)。在南迴公路臺東臨海 3 公里的南興路段海岸線，受自然波浪衝擊與近岸港口建置之影

響，路基逐漸被掏空，曾經辦理一次性防護工程就耗資 9.2 億元，平均每公里的代價是 3.06 億元，堪稱是人工的「黃金海岸」(彭杏珠，2017/3/31 遠見雜誌)。

2. 花蓮縣海岸：北起和平溪溪口南至靜浦，涵蓋秀林鄉、新城鄉、花蓮市、壽豐鄉及豐濱鄉海岸，海岸線長約 175 公里，約成北北東走向，平直陡急，屬於蘇花大斷層崖之一部分，清水斷崖直逼海岸，幾無海灘，花蓮溪口至靜浦間亦因海岸山脈逼近海岸，此段海岸線間雖有和平溪、立霧溪及花蓮溪輸出大量土沙，但因受地形阻隔及海岸坡度陡急之限制，僅於河口形成三角洲，無法提供附近海岸沙源。大部分海岸，不是沒有沙灘，就是沙灘寬度狹窄，以致台 11 號公路沿海路段，飽受颱風波浪侵蝕之威脅。花蓮溪口至水連之海灘僅 1~20 公尺，大浪來襲，直撲海岸公路，坡崁常被摧毀。花蓮市南濱海岸，因闢建公園，將護岸外移致沙灘減小，並因花蓮港擴建東防波堤，波浪因而繞射而發生極為嚴重之侵蝕。
3. 宜蘭縣海岸：起自東北角海岸石刀鼻至東海岸和平溪(大濁水溪)口，包括頭城鎮、壯圍鄉、五結鄉、蘇澳鎮及南澳鄉，海岸全長約 105 公里。萊萊鼻至外澳海岸屬於礁溪海涯海岸，長約 22 公里。海岸呈北東、南西向，略成小弧形灣，沿海海蝕台發達，沙岩、頁岩、黏板岩等呈緩傾斜，海蝕順岩石節理、斷層面之裂縫進行，被削成岩灘，並由於隆起而形成海蝕段丘 (wave cut；terrace)，殊少沙灘存在，僅於梗枋及大溪附近溪流排出土沙，形成局部沙灘。外澳以南至蘇澳北方為蘭陽溪排出之土沙所形成之宜蘭三角洲，長約 40 公里，稍向西凹入，約成北南走向，沿岸沙丘發達約有 14~19 公里，成為防護鹽害之天然屏障。沙丘內原為濕地，今都已經開發為養殖魚塭。海岸北南兩端有三貂角及北方澳岬角突出，於此二岬角間形成安定之弧灣弓形海岸，弓形海岸中間之蘭陽溪(舊稱濁水溪)口形成向東凸出之尖三角洲(cuspate delta)。冬山河口形成向北延伸

之沙嘴，顯示蘭陽溪豐富之輸沙構成宜蘭海岸地形，海灘寬度約有 100 公尺，足可抵浪，但頭城金面溪以北海岸因無沙源供給而有侵蝕現象，港口附近海岸亦可能因北方澳岬使東南向波浪產生之繞射而有局部侵蝕。其他部分之海岸於 1985 年以前均有堆積現象，然最近數年來，河口以南沙灘逐漸消失，沙丘部分後退，顯然因過量之河床採沙致沙源短少使然。蘭陽溪正式核定之採沙量為每年六百萬立方公尺，但實際採沙量恐遠超過於此。蘇澳以南屬於蘇花斷層崖海涯聳立之海岸，除於南埠漁港外有局部沙灘，東澳、南澳、漢本等處因東澳溪、南澳溪及和平溪輸沙堆積之三角洲以外，幾無沙灘可言。

### 3.1.4 海岸侵蝕原因

臺灣為一海島，海岸的維護及永續利用，與國計民生關係密切。惟其常因自然的風浪、暴潮侵襲，更因不當的人為開發利用，致使海灘輸沙失去均衡，進而衍生海岸侵蝕。導致海灘輸沙失去均衡的原因(監察院，2000；郭，1988；郭，2001)，一般可綜合歸類並說明如后。

(一) **波浪之時空變異性侵襲：**波浪的衝擊是海岸輸沙與海灘變遷之原動力。特別是受具時空變動性之強大波浪衝擊，再加上近岸波浪碎波及沖刷帶內衍生強勁上沖下刷衝擊流之直接作用，因而常會導致沙質海灘之輸沙失衡，並促使毗鄰海岸崩陷而沖蝕流失。例如：高雄縣梓官鄉的赤崁海岸，其海崖高度約 6~10 公尺，未構築離岸堤保護海岸前，本段海岸由於波浪、潮汐之侵襲而有明顯的侵蝕現象；在宜蘭清水海岸，沙丘遭受一次暴潮巨浪之侵襲，即造成沙灘崩落 3 公尺高，斷面侵蝕幅度約為 40 公尺，海岸侵蝕長度約達 200 公尺。

(二) **海灘坡度與碎波型態改變：**在海洋中因不同規模與尺度之風暴作用所生成的波浪，其特性亦是變化無常的。當其由深海傳播

進入淺海及近岸海灘，其淺化、折射、繞射等變形特性，特別是波浪尖銳度與碎波型態的轉變，皆與海灘坡度的緩陡程度息息相關。當波浪行進至近岸，會因波峯面之水粒子速度超越波能傳播速度，而於海灘上產生不同類型之碎波，同時，伴隨衍生強弱不一之波降(setdown)與波揚 setup)，並於沖刷帶(swash zone)上促使波浪沿海灘形成上沖(runup)及下刷(rundown)之強勁衝擊流，進而帶動海床質之懸浮運移及海灘沙質之漂流沉積。當波浪尖銳度較大或前灘坡度較陡，則波浪下刷流速會隨之增加，因而容易促使海灘發生侵蝕，稱為暴風海灘(storm beach)或冬季海灘(winter beach)；反之，即當波浪尖銳度較小或前灘坡度較和緩，則下刷回流速度減緩而使海灘容易發生淤積，稱為正常海灘(normal beach)或夏季海灘(summer beach)。例如：在臺灣東部海岸，海灘坡度陡峭，且常受颱風巨浪侵襲，因此，海岸及海灘經常必須面對波浪之強盛侵蝕作用。

(三)河川輸沙減少：就大部分海岸而言，河川輸出之泥沙為海岸漂沙之最主要來源。河川輸沙量自上游山岳地帶匯集大量土石流，隨滾滾洪水攜帶到河口，因水流速度及輸沙能力急速降低而沉積於出海口及近岸，因潮流、沿岸流及波浪等搬運形成沿岸漂沙。若河川供應之輸沙甚為充沛，輸沙量遠勝過波浪作用之輸沙量，則於出海口將會形成河口三角洲並形成堆積海岸。近年來，由於(1)經濟成長穩定，從早期拓荒步入穩定之生產期，平原農地均已成熟，土壤流失較少；(2)工程建設成長迅速，大量採取河川沙石，致挾帶至下游的泥沙減少；(3)水庫與攔沙壩興建，攔截沙石、山坡地水土保持，減少土石流失；(4)河川整治，減少河岸沖刷等因素，致使河川輸沙量逐漸減少，河口沙源大量減少，波浪侵蝕作用超越河川堆積作用，最終導致發生海岸侵蝕。例如：位於淡水河口的台北縣八里海岸，民國 47 年以後至民國 76 年間，由於淡水河抽沙及水庫興建等因素影響，呈現迅速侵蝕；民國 76 年以後，淡水河管制抽沙，隨即

減緩八里海岸之侵蝕速度；在宜蘭海岸，其原為蘭陽溪沙源供給所形成之獨立弧形海岸，過去因河口排沙豐富，故造成沙丘堆積海岸，但近年來，由於蘭陽溪沙石超採，河口排沙減少，海岸沙灘在風力和浪潮作用下，灘線於是不斷向內陸退縮，明顯的侵蝕區域，包括澳仔角、港邊里、利澤、過嶺、大福、竹安河口南側等海灘；在雲林縣口湖鄉近海的外傘頂沙洲，其原長約 20 公里，寬度在 1~3 公里間，呈東北-西南走向，北有統仙洲和箔仔寮汕，西北方向有海豐島，沙洲係由濁水溪和北港溪出海時所帶出的大量泥沙推積所形成，濁水溪整治計畫實施後，北港溪輸沙量減少，而濁水溪南移漂沙僅達箔仔寮漁港，致使沙洲因沙源短缺而大幅內移縮減。統山洲與箔仔寮汕兩者的縮減相當明顯且大幅南移斷離，並有部分與外傘頂洲合併。

(四)海岸結構物之影響：防波堤、突堤與離岸堤等海岸防護結構物，不僅會阻擋、干擾波浪之傳播特性，造成近岸海灘坡度與波浪碎波型態改變，更會影響波浪在海灘沖刷帶上因上沖下刷衍生衝擊流之作用力強度。以致在防波堤及離岸堤受波浪衝擊之反射區內，波浪變大，漂沙之懸浮運移增強；在繞射區，由於波向被迫向堤後彎曲，因而會於堤後沖刷帶上改變上沖下刷衝擊流之流向與流速，進而形成堤後環流；而在遮蔽區內，由於波浪上沖下刷之衝擊力大幅減小或完全被阻絕，致使漂沙易沈降堆積；不過在堤端外後側之灘岸，仍會因波浪之強烈衝擊與堤後強勁環流之作用而導致沖蝕。所以，突堤及離岸堤等海岸防護設施，均會因改變近岸波浪衝擊流作用及漂沙運移型態，從而促使結構物毗鄰海灘陳現沖蝕或淤積，特別是面對波浪主要衝擊方向之上、下游海灘之沖淤影響。例如：在花蓮海岸，由於花蓮港東防波堤於民國 75 年延長，其南濱海岸地形因而飽受侵蝕困擾；在臺灣東北角位於三貂角北側小灣內之台北縣和美漁港，海岸線呈南北走向，小灣長約 700 公尺，南北均為突出之礁盤，和美漁港即位於小灣北邊礁盤南側之凹地，

而小灣南方為金沙灣，小灣海岸中段部份為向海稍微突出之淺礁區，在漁港興建前，小灣內沿岸均有金黃色沙灘，而以南邊金沙灣之沙灘較為寬廣，因此被規劃為海水浴場預定地，漁港完工後，於民國 79 年發現位於其南側金沙灣之海沙大量流失，而海岸中段淺礁之露出更為明顯，而新建之漁港，則因大量漂沙流入港內泊地而使漁港淤塞；另外，早期臺灣海堤之興建，主要係為防潮、禦浪，但由於堤線太近外灘區，致颱風期間衝擊之大浪，不僅無法有效消散波能，反而促使波浪反射，衝擊力累加，進而引致海灘破壞及海岸侵蝕。例如：在高雄縣蚵仔寮海岸，早期有一片寬廣美麗之沙灘，民國 53 年海岸略遭侵蝕，水利局乃興建拋物線斷面之陡坡海堤，藉期阻擋浪潮侵襲，但因反射波能量之重疊，加速波浪沖蝕之能力，日久後，海灘即消失，海堤亦被侵蝕而倒塌；在臺南市之黃金海岸，原有約為 150 公尺寬廣之黃色沙灘，觀海樓興建時所設計之觀海台階為直立斷面，大潮大浪造成波浪於堤前反射，致使海灘迅速消失。

(五)地盤下陷：結構物重量之沈壓、土壤性質之變化及地下水位之降低等均會造成地盤之下陷，其中又以地下水位降低影響最為嚴重。依經濟部水資源局實測資料分析結果顯示，臺灣地區約有 1,057 平方公里之土地受地盤下陷之影響。地盤下陷，非但會造成地下水鹽化、感潮河段延長、海水倒灌及越波等災害，更會因為地盤下陷而使海岸地帶之水深變大，波浪入侵之深入度增加，波能變大，碎波帶內移，淘蝕能力增強，進而加劇岸灘之沖蝕。例如：在屏東縣的塭豐海岸，自民國 60 年後，因養殖業發達而超抽地下水，繼而引起嚴重之地盤下陷，以致衍生區域性甚大規模之海岸侵蝕。

(六)地形阻隔：海底深谷常延伸至淺水區河口附近，致使河川帶來之泥沙流入海溝而無法輸送至鄰近海岸。此種地形阻隔將使河口輸沙被沿岸流帶往下游海岸之機會變小，因沿岸漂沙量減少

而導致海岸侵蝕。例如：高屏溪雖流長而輸沙量大，但因河口有海溝，大部分輸沙流入海溝中，以至無法補充海岸。

(七)海平面上升：由於季風、氣溫、海溫、氣候暖化等影響，平均海平面因而會有長年之升降變動。當平均海平面上升時，相對地即迫使海岸線位置向內陸逼進，並激化暴潮巨浪對海岸之衝擊作用，因此，平均海平面上升，不僅會迫使離岸沙洲或平緩海灘被淹沒，更會降低海岸保護設施之機能，並導致海岸之沖蝕(黃 等，2010；莊 等，2014；郭 等，2017)。

### 3.1.5 既有海岸防護設施

面對海岸之沖蝕，一般之保護工法，總體上可區分成剛性工法及柔性工法二大類。主要的防護設施(郭，1988；郭，2001)，包括：(1)海堤或護岸(seawall, revetment)；(2)突堤或防沙突堤(groins)；(3)離岸堤(detached breakwater)、人工潛礁(artificial reef)；(4)魚尾型防波堤(fishtailed breakwater)；(5)岬頭控制(headland control)及(6)人工養灘(artificial beach nourishment)等。部分設施之既有配置狀況，參見圖 3-5 及圖 3-6 所示。

海岸防護設施的選用及配置，在施設前應詳實調查並掌握造成海岸侵蝕之原因；規劃設計中應審慎考量其單一或混和應用之功能性、安全性、耐久性、經濟性、施工性，並慎重評估其對環境景觀與生態所可能帶來的短、長期性衝擊與影響；施設後，特別應再就其防護效能作定期之檢視，俾能調適海域暴潮巨浪環境的變遷(郭，1988)。

在臺灣環島海岸，為有效降低暴潮致災之風險，目前經濟部水利署管轄的一般性海堤約有 203 處，長度約 295 公里(不含防潮堤、護岸及保護工等防護設施)，海堤分布概況如圖 3-7 所示，各縣市海岸既有保護工、突堤、海堤及護岸等防護設施之長度，如表 3-8 所示。而為降低人工海岸線在海岸總長度之佔比，藉以確保自然海岸線之零損失，

近年來，海堤除確有緊要防護區段外，水利署原則上均已不再新建，且對既有海岸防護設施，以維持現有海岸防護功能性及安全性為主，間或輔以柔性工法或生態工法，降低硬式結構物量體，當面對超過往昔防護標準或氣候變遷引致之相關威脅狀況，則以非工程措施予以因應(水利署，2017)。



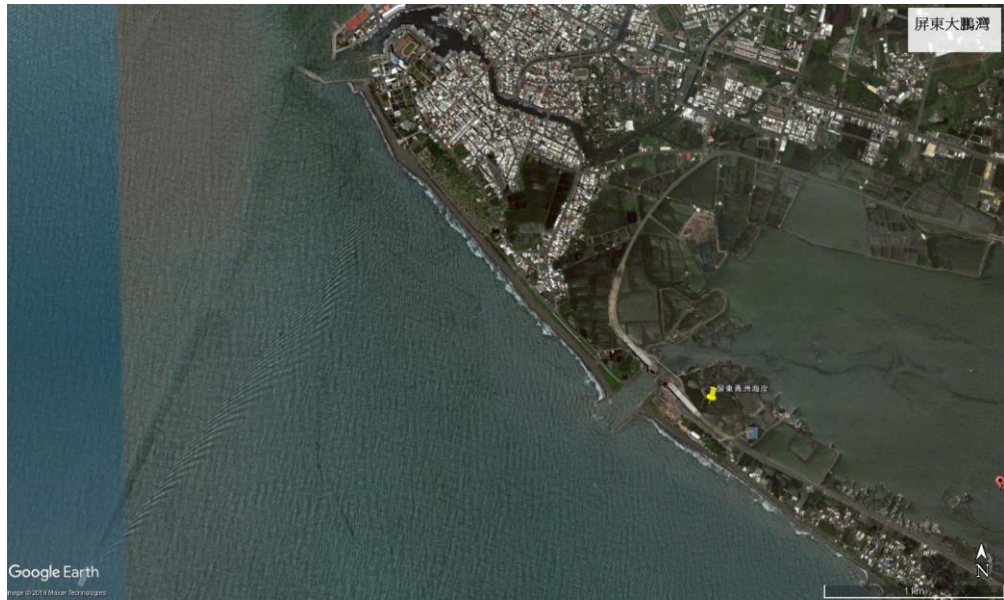
蘇澳內埠海灘\_google201403\_地圖中.jpg

圖 3-5 臺灣東北部宜蘭海岸蘇澳內埠之自然海灘



安平漁港\_google 地圖 2014\_人工岬灣.jpg

圖 3-6 臺灣西南部臺南海岸安平港北側之人工岬灣



屏東大鵬灣海岸\_google 大\_20100619.jpg

圖 3-6(續) 臺灣西南部屏東東港大鵬灣海岸在 2010 年於潮口束流堤兩側之原始海灘



屏東大鵬灣海岸\_google 大\_20130128.jpg

圖 3-6(續) 臺灣西南部屏東東港大鵬灣海岸在 2013 年於潮口束流堤北側初始設置離岸堤群之海灘防護設施



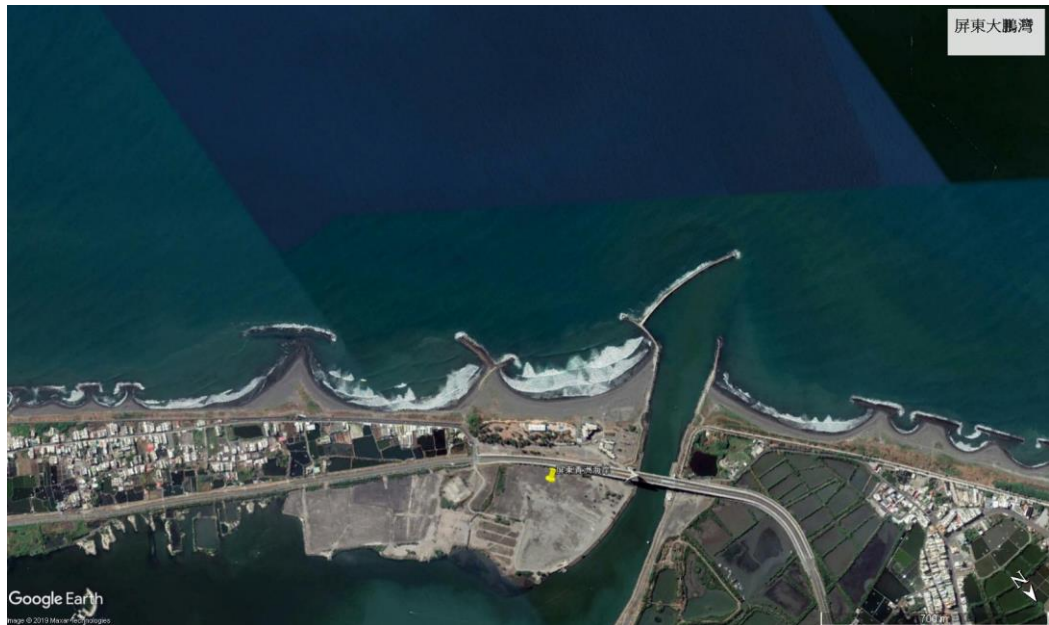
屏東大鵬灣海岸\_google 大\_20141222.jpg

圖 3-6(續) 臺灣西南部屏東東港大鵬灣海岸在 2014 年後於潮口南北兩側設置海堤、突堤、離岸堤群及魚尾突堤岬灣等海岸防護設施



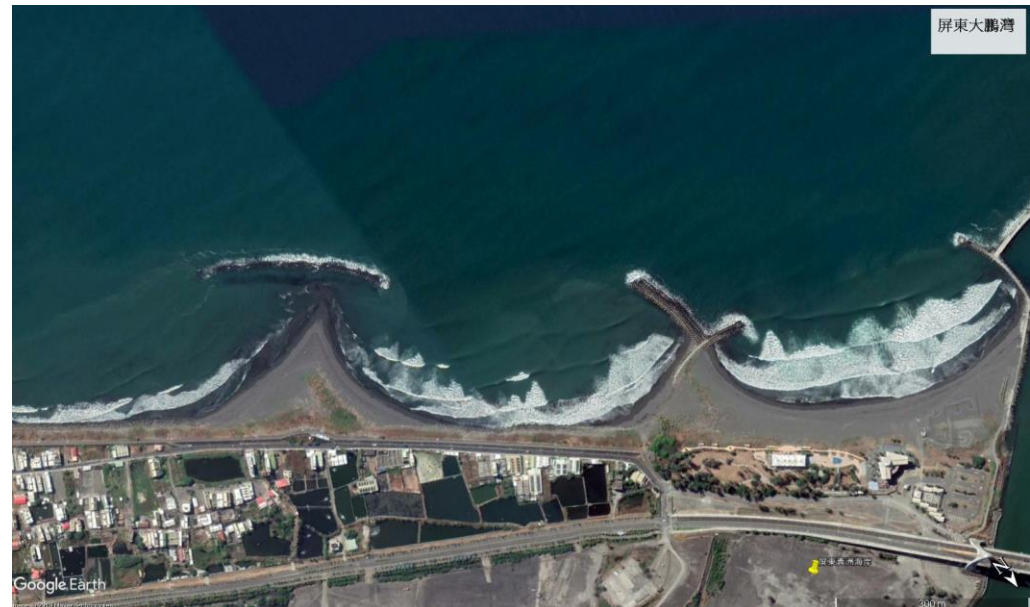
屏東大鵬灣海岸\_google 細平\_港口\_20190105.jpg

圖 3-6(續) 臺灣西南部屏東東港大鵬灣海岸在 2019 年現況潮口南北兩側設置離岸堤群及魚尾突堤岬灣等海岸防護設施



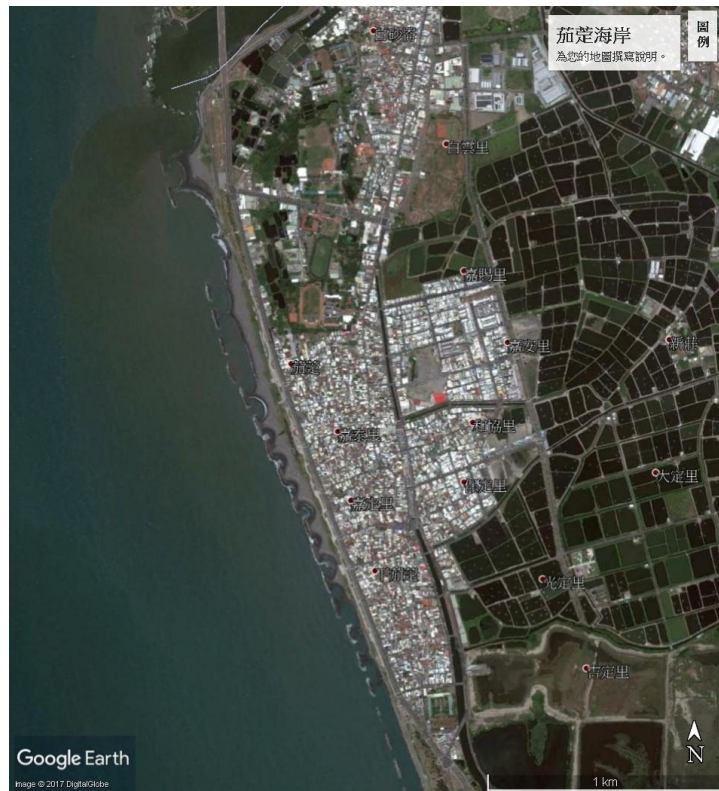
屏東大鵬灣海岸\_google 中平\_20190105. jpg

圖 3-6(續) 臺灣西南部屏東東港大鵬灣海岸 2019 現況之潮口突堤、離岸堤群及魚尾突堤岬灣等海岸防護設施

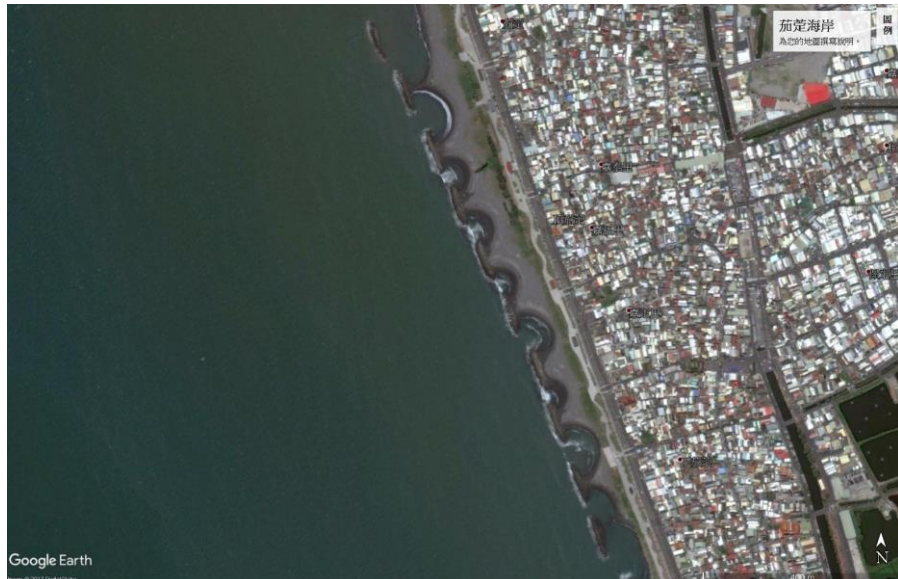


屏東大鵬灣海岸\_google 細平\_20190105. jpg

圖 3-6(續) 臺灣西南部屏東東港大鵬灣海岸 2019 現況潮口南側之離岸堤與魚尾突堤岬灣之海岸防護設施

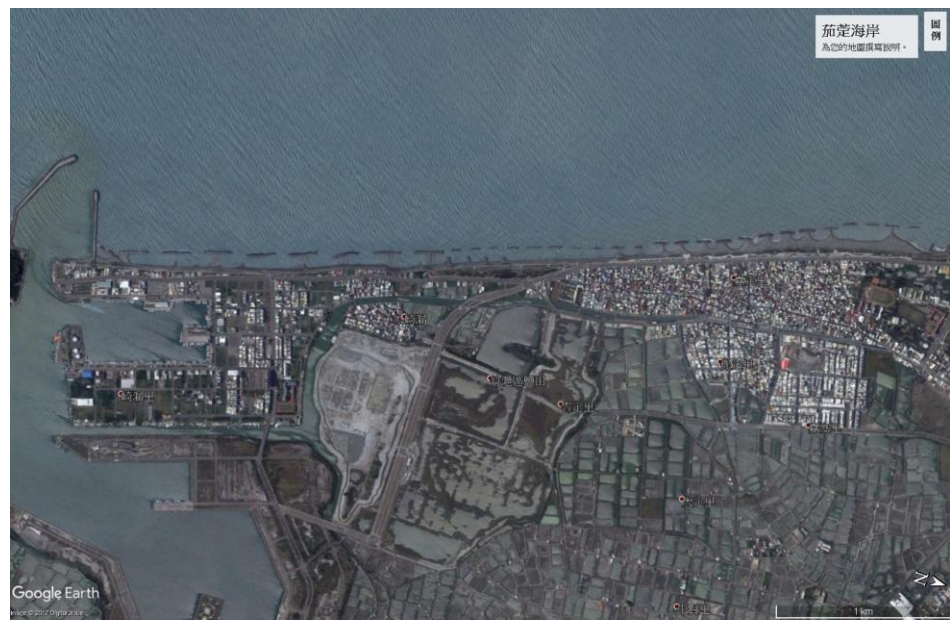


茄萣海岸\_google 地圖 2016 大\_離岸堤群(全).jpg

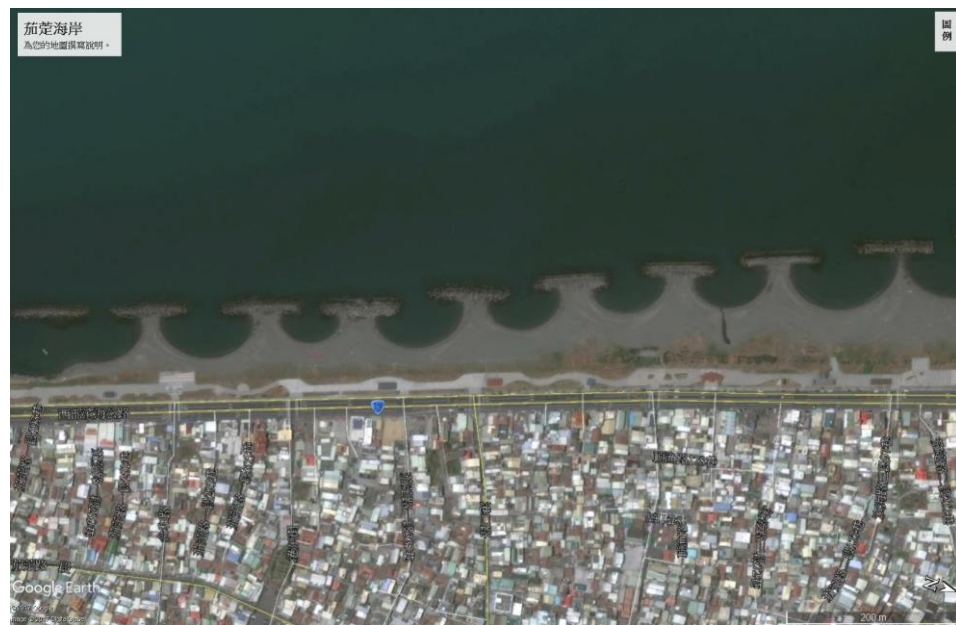


茄萣海岸\_google 地圖 2016 大\_離岸堤群中. jpg

圖 3-6(續) 臺灣西南部高雄茄萣海岸之離岸堤群防護設施

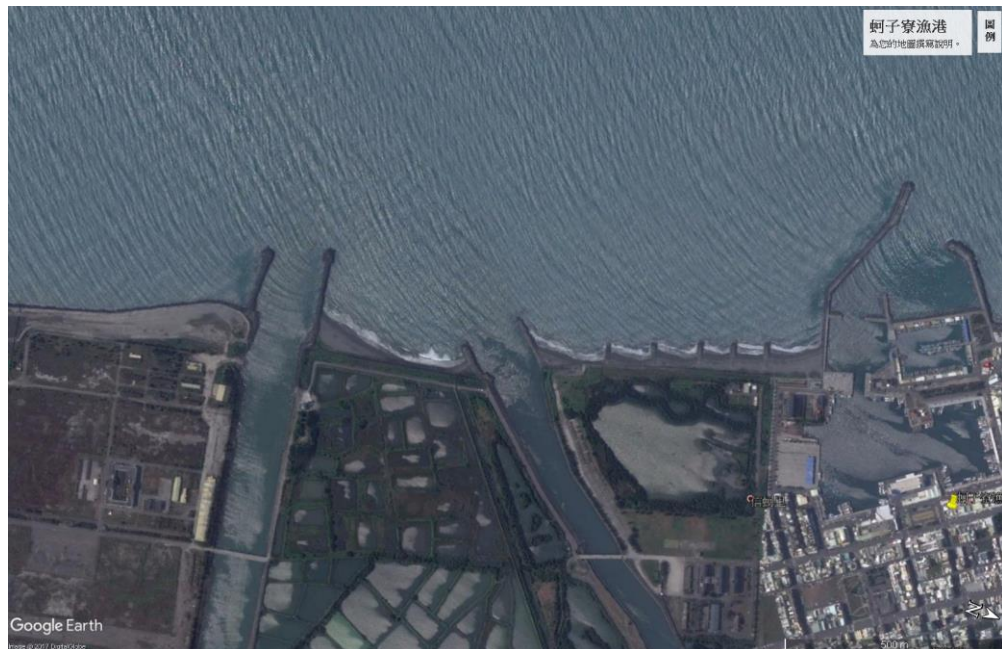


茄萣海岸\_google 地圖 201602 平\_離岸堤群全. jpg



茄萣海岸\_google 地圖離岸堤群. jpg

圖 3-6(續) 臺灣西南部高雄茄萣海岸之離岸堤群防護設施



蚵子寮漁港\_google 地圖 201602 平全\_突堤. jpg

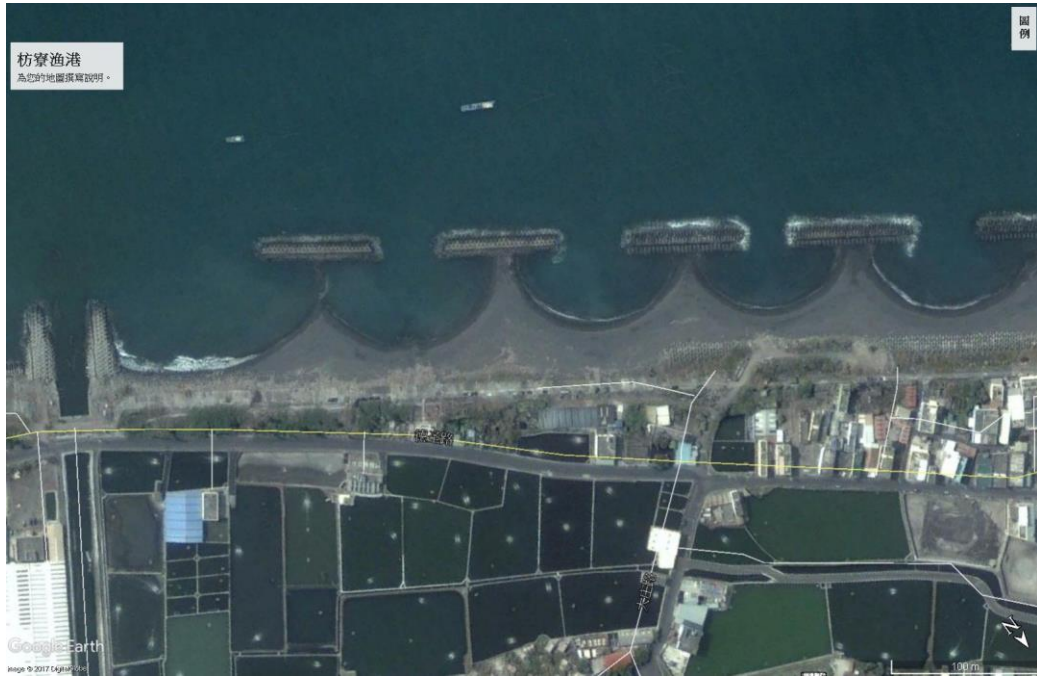


蚵子寮漁港\_google 地圖 201602 平全\_離岸堤\_突堤. jpg

圖 3-6(續) 臺灣西南部高雄蚵子寮海岸之突堤及離岸堤群防護設施



塭豐海堤\_google 地圖中多.jpg

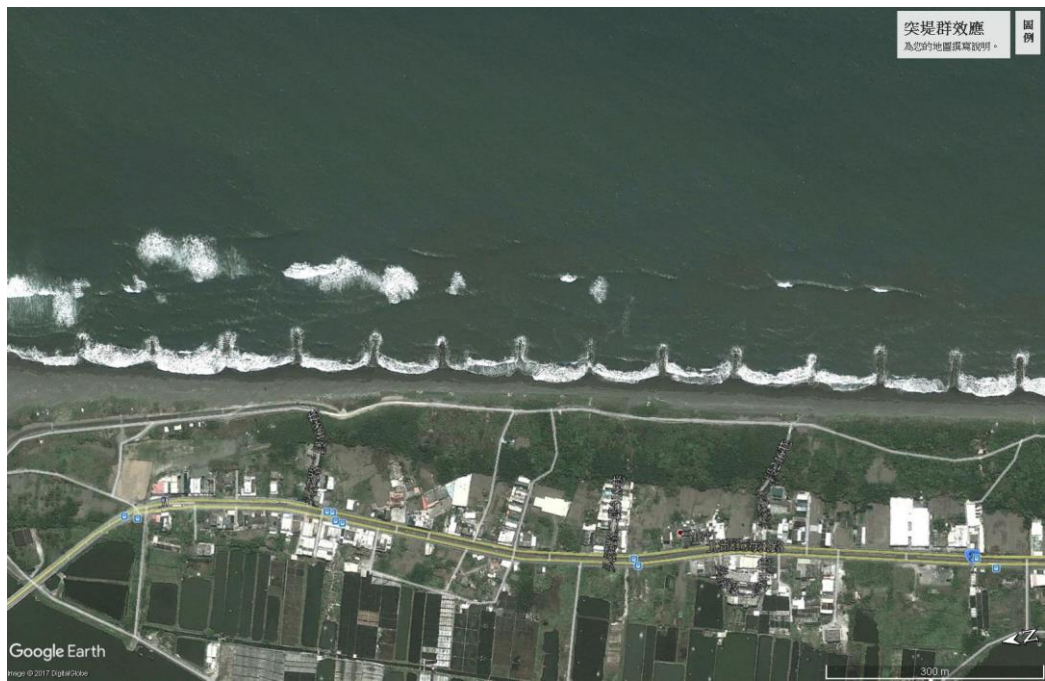


塭豐海堤\_google 地圖離岸堤群 2005 平小.jpg

圖 3-6(續) 臺灣西南部屏東佳冬塭豐海岸之離岸堤群防護設施

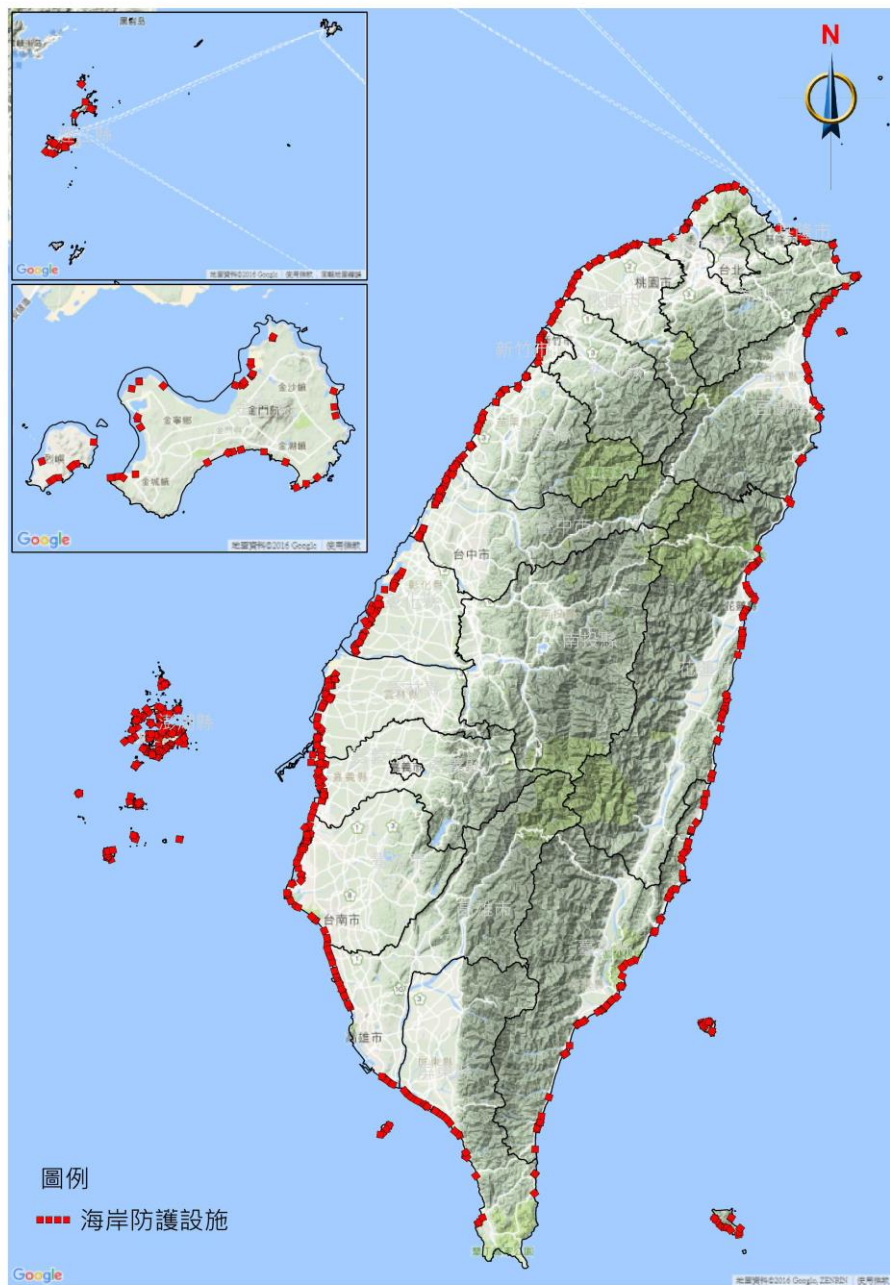


青山港  
google 地圖 2016\_突堤效應



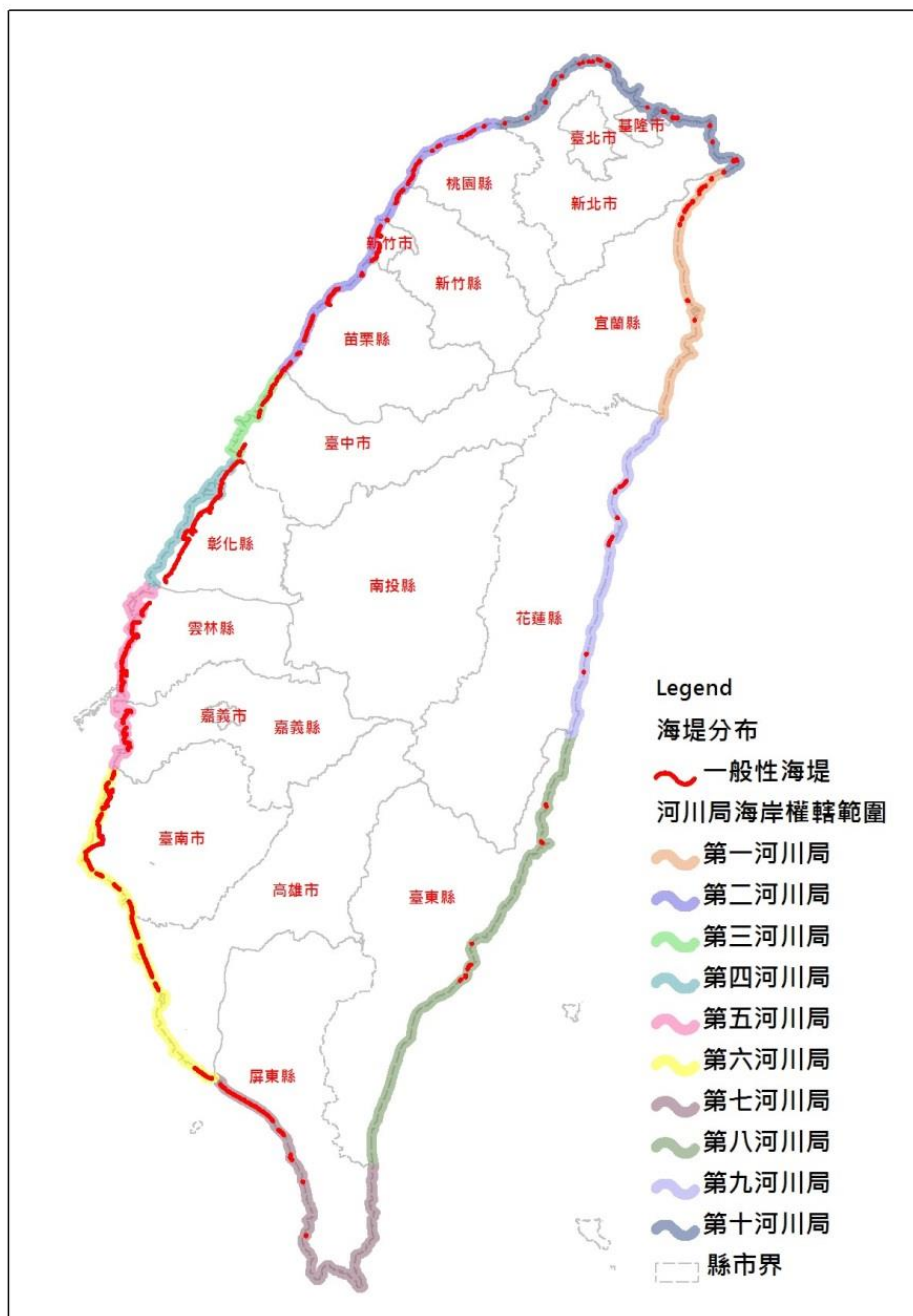
頭城海岸突堤群  
google 地圖\_碎波帶內突堤群 20110901 大平

圖 3-6(續) 臺灣西南部臺南海岸青山港之單突堤與將軍漁港防波堤  
防護設施(上)及臺灣東北部宜蘭頭城海岸之突堤群防護設施(下)



資料來源：「整體海岸管理計畫」，經濟部水利署地理資訊倉儲中心(<http://gic.wra.gov.tw/>)，105 年。

圖 3-7 臺灣海岸海岸一般性海堤防護設施之分布圖



資料來源：[海岸概況\\_經濟部水利署水利規劃試驗所](https://www.wrap.gov.tw/pro12.aspx?type=0301000000)，<https://www.wrap.gov.tw/pro12.aspx?type=0301000000>

圖 3-7(續) 臺灣海岸一般性海堤之分布概況與權轄單位及範圍

表 3-8 臺灣海岸既有防護設施分析表

資料來源：「整體海岸管理計畫」，內政部(2017)。

地區	地區直轄市、縣(市)	保護工長度 (m)	突堤長度 (m)	海堤長度 (m)	護岸長度 (m)
臺灣本島	基隆市	408.60	-	708.40	-
	新北市	1,356.10	-	6,874.80	-
	桃園市	-	-	11,227.50	-
	新竹市	-	-	11,094.00	-
	新竹縣	2,554.80	-	3,254.50	-
	苗栗縣	-	-	19,032.50	-
	臺中市	-	-	23,844.50	-
	彰化縣	-	-	30,775.90	-
	雲林縣	-	-	28,976.50	-
	嘉義縣	-	-	13,831.50	-
	臺南市	-	-	42,040.50	-
	高雄市	-	-	20,284.20	-
	屏東縣	777.40	31.00	22,865.70	-
	宜蘭縣	-	-	8,904.20	-
離島	花蓮縣	6,383.60	-	9,601.60	-
	臺東縣	19,460.30	-	3,423.70	-
	金門縣	9,391.00	58.00	5,945.00	448.00
	連江縣	1,992.00	29.00	845.00	1,872.00
	澎湖縣	20,748.00	1,437.00	33,563.00	707.00

### 3.2 臺灣環島之近岸港口

臺灣環島現有之港口或港埠設施類型，包含商港、工業專用港、遊艇港、漁港及軍港等 5 類。其中，國際商港共計有 7 個，分別是：基隆港、高雄港、花蓮港、臺中港、蘇澳港、安平港、臺北港。於民國 101 年起，7 個國際商港整合交由臺灣港務股份有限公司負責營運 (<http://www.motc.gov.tw>)。國內商港共有 4 處，分別是由臺灣港務公司

高雄港務分公司經營之布袋港與澎湖港（包含馬公及龍門尖山）及地方政府經營之金門港（包含水頭、料羅及九宮）與馬祖港（包含福澳、白沙、青帆、猛澳及中柱）；工業專用港目前有 4 座，分別為由台塑公司所設立之麥寮工業港、由臺灣水泥公司興建營運之和平工業港及由臺灣中油公司經營之深澳港與永安液化天然氣接收港（能源專用港）；遊艇專用港則有龍洞、大鵬灣、後壁湖及布袋等 4 處。

至於近岸之漁港，政府為照顧漁民生活，發展遠洋與沿近海漁業，自民國 69 年度起，由前臺灣省政府農林廳漁業局辦理各市縣之漁港建設，並訂定計畫執行漁港建設方案，歷經「第一期臺灣地區漁港建設方案」（69 至 76 年度）、「第二期臺灣地區漁港建設方案」（77 至 85 年度）、「第三期臺灣地區漁港建設方案」（86 至 89 年度）；至民國 88 年精省後，行政院農業委員會承繼前省漁業局執行漁業建設方案，且自 88 至 97 年度繼續執行「第一期四年中長程公共建設-漁港建設計畫」（90 至 93 年度）、「第二期四年漁業多元化經營建設計畫」（94 至 97 年度）等多年建設。其間，為提升漁港整體環境品質，促進港區土地開發利用及維護設施正常機能等目標，據漁業署統計，截至 97 年底止，歷年投入各市縣漁港建設經費總計 608 億 5,958 萬餘元。又至 98 年底止，農委會漁業署依『漁港法』公告之漁港分為二類，第一類漁港計有南方澳、烏石、正濱、八斗子、新竹、梧棲、安平、前鎮及東港鹽埔等 9 處，第二類漁港計有 216 處，合計有漁港共 225 處，如表 3-9 所示，分布於臺灣本島的有 139 處，如圖 3-8 所示，而分布於綠島、蘭嶼、小琉球、澎湖及金馬等離島地區有 86 處，且以澎湖 67 處漁港最多。

依據臺灣環島海岸線全長約 1,338.517 公里估算，臺灣本島平均約每 8.9 公里即有一處漁港。惟並非所有位處臺灣本島之 139 處漁港皆係直接在海岸上建港，其中，實際有 13 處漁港係位處在國際商港及其輔助港內，另有 20 處漁港，則位於河道或潟湖內，故實際位處臺灣環島海岸線上之漁港，應僅有 106 處（所占海岸線長度共計約 46.95 公里），即平均約 12.6 公里有一處漁港（內政部，2017；審計部，2017）。又基於漁港運轉功能之維護，因而在與漁港毗鄰之海岸，無可避免地必須

施設防波堤及防沙堤等人工設施，以致擴大臺灣人工海岸線之佔比約達環島海岸線總長之 56.3%。在『海岸管理法』立法完成之前，內政部為推動海岸地區各項經理及管理計畫，曾於民國 96 年 7 月 30 日奉行政院核定「永續海岸整體發展方案」，且揭示未來海岸地區之利用管理，應以「減量、復育」為原則。自此而後，對於漁港外廓設施即儘量予以減量，解決漁港淤沙之對策，也以疏浚取代擴建，且融入多功能漁港規劃，更配合漁港多元化利用，引用生態工法佈設消波設施，降低防波堤高度以改善景觀，回復海岸風貌(農委會，2009)。

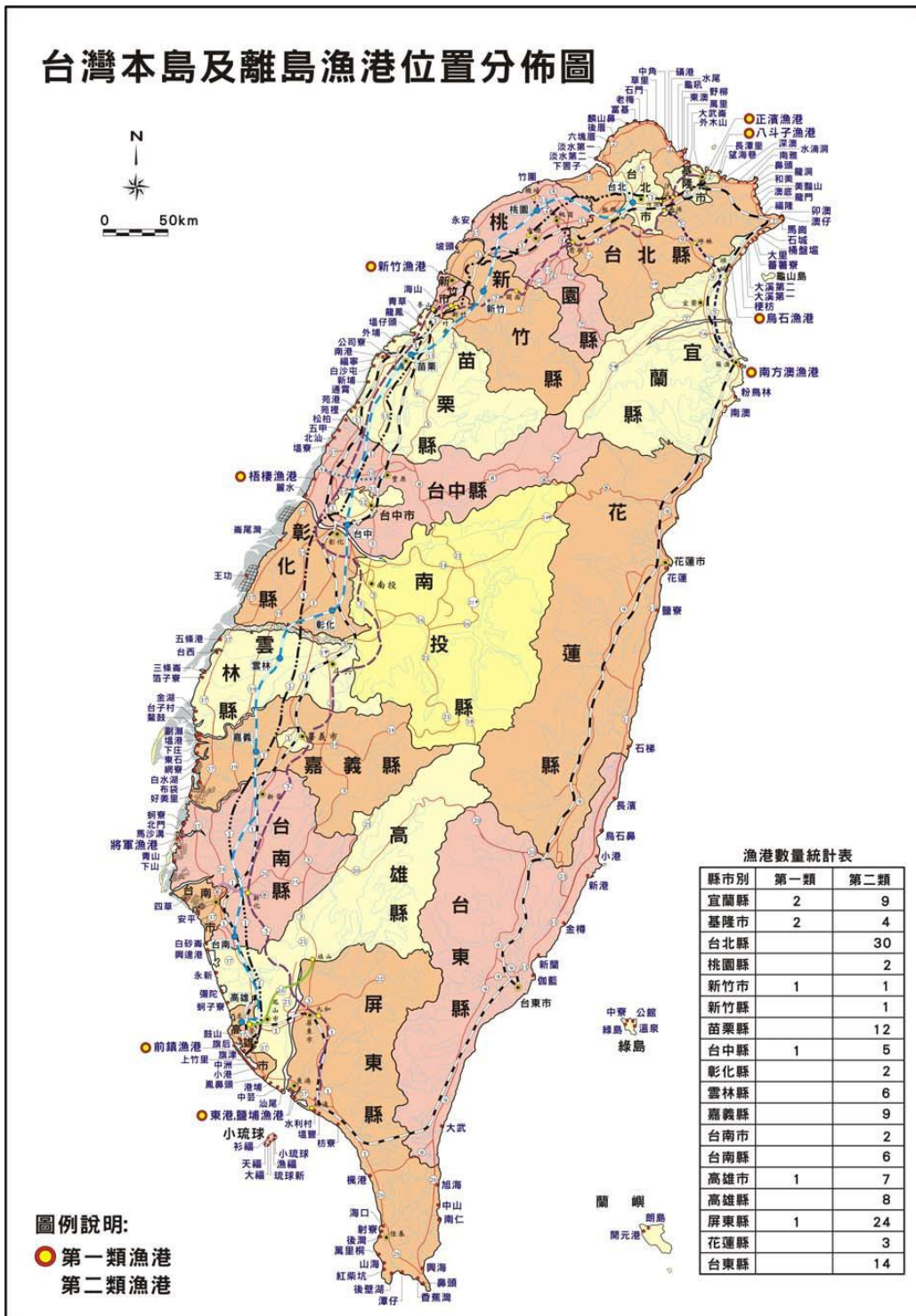
表 3-9 臺灣各直轄市、縣(市)漁港類別及名稱一覽表

資料來源：行政院農業委員會公告；民國 103 年 2 月 18 日農漁字第 1031313239A 號。

直轄市、縣 (市)別	漁港類別、名稱、主管機關與所屬漁會					
	第一類漁港			第二類漁港		
	漁港 名稱	主管 機關	所屬 漁會	漁港 名稱	主管 機關	所屬 漁會
宜蘭縣 (11處)	烏石	行政院農業委員會	頭城區漁會	石城、桶盤堀、大里、蕃薯寮、大溪 <b>第二、大溪第一、梗枋</b>	宜蘭縣政府	頭城區漁會
	南方澳		蘇澳區漁會	粉鳥林、南澳		蘇澳區漁會
基隆市 (6處)	八斗子、正濱	行政院農業委員會	基隆區漁會	大武崙、外木山、長潭里、望海巷	基隆市政府	基隆區漁會
新北市 (30處)				下罟子、淡水第一、淡水第二、六塊厝、後厝 <b>、麟山鼻、富基、老梅、石門、草里、中角、礦港、水尾</b>	新北市政府	淡水區漁會
				野柳、東澳、龜吼、萬里		金山區漁會
				深澳、水湳洞、南雅、鼻頭		萬里區漁會
				龍洞、和美、美豔山、澳底、澳仔、龍門、福隆、卯澳、馬崗		瑞芳區漁會
				竹圍	桃園縣政府	貢寮區漁會
桃園縣 (2處)				永安		桃園區漁會
新竹縣 (1處)				坡頭	新竹縣政府	中壢區漁會
新竹市 (2處)	新竹	行政院農業委員會	新竹區漁會	海山	新竹市政府	新竹區漁會
苗栗縣 (12處)				青草、龍鳳、塭仔頭、外埔、公司寮、福寧、南港	苗栗縣政府	南龍區漁會
				白沙屯、新埔、通霄、苑港、苑裡		通苑區漁會
臺中市 (6處)	梧棲	行政院農業委員會	臺中區漁會	松柏、五甲、北汕、塭寮、麗水	臺中市政府	臺中區漁會

彰化縣 (2處)				嵩尾灣、王功	彰化縣政府	彰化區漁會
雲林縣 (6處)				五條港、台西、三條嵩、箔子寮、金湖、台子村	雲林縣政府	雲林區漁會
嘉義縣 (9處)				鰲鼓、副瀨、塭港、下庄、東石、網寮、白水湖、布袋、好美里	嘉義縣政府	嘉義區漁會
臺南市 (8處)	安平	行政院農業委員會	南市區漁會	四草	臺南市政府	南市區漁會
				蚵寮、北門、馬沙溝、青山、下山、將軍		南縣區漁會
高雄市 (16處)	前鎮	行政院農業委員會	高雄區漁會	鼓山、旗后、旗津、上竹里、中洲	高雄市政府	高雄區漁會
				小港臨海新村、鳳鼻頭		小港區漁會
				白砂嵩、興達		興達港區漁會
				永新		永安區漁會
				彌陀		彌陀區漁會
				蚵子寮		梓官區漁會
				港埔、中芸、汕尾		林園區漁會
屏東縣 (22處)	東港 鹽埔	行政院農業委員會	東港區漁會	水利村、塭豐	屏東縣政府	林邊區漁會
				枋寮、楓港		枋寮區漁會
				海口、後灣、山海、紅柴坑、後壁湖、潭仔、香蕉灣、鼻頭、興海、南仁、中山、旭海		恆春區漁會
				小琉球、漁福、琉球新、天福、杉福		琉球區漁會
花蓮縣 (3處)				花蓮、鹽寮、石梯	花蓮縣政府	花蓮區漁會
臺東縣 (14處)				長濱、烏石鼻、小港、新港、金樽、新蘭、開元、朗島	臺東縣政府	新港區漁會
				伽藍、大武		臺東區漁會
				綠島、溫泉、公館、中寮		綠島區漁會
澎湖縣 (67處)				安宅、西衛、重光、馬公、案山、前寮、石泉、菜園、鐵線、五德、井垵、時裡、風櫃東、風櫃西、山水、鎖港、烏崁、桶盤、虎井、尖山、龍門、菓葉、南北寮、白坑、青螺、紅羅、西溪、成功、沙港東、沙港中、沙港西、中西、講美、鎮海、港子、岐頭、赤崁、後寮、通樑、瓦硐、城前、大倉、員貝、鳥嶼、吉貝、合界、小門、大池、池西、內垵北、外垵、內垵南、赤馬、大菓葉、二崁、竹灣、橫礁、潭門、水垵、中社、將軍南、將軍北、花嶼、東嶼坪、東吉、七美、潭子	澎湖縣政府	澎湖區漁會
金門縣(3)				新湖、羅厝、復國墩	金門縣政府	金門區漁會
連江縣(5)				福澳、白沙、青蕃、猛澳、中柱	連江縣政府	馬祖區漁會
合計	9處			216處		
總計				225處		

## 台灣本島及離島漁港位置分佈圖



資料來源：「海岸新生之漁港疏浚及多功能漁港開發規劃」，行政院農業委員會漁業署，2009。

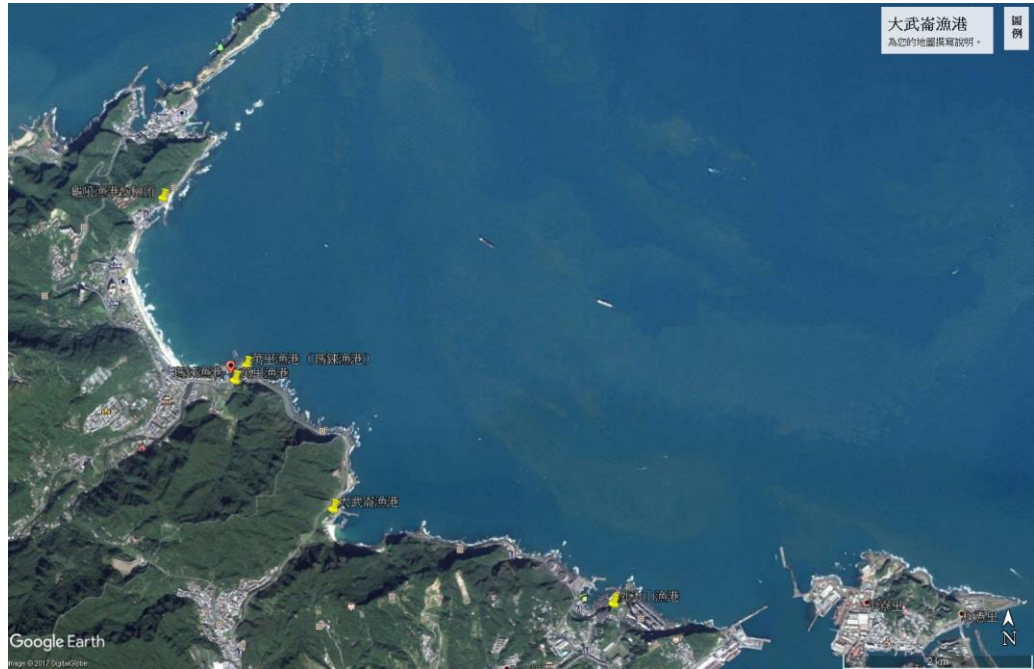
圖 3-8 臺灣本島之漁港分佈圖

### 3.2.1 近岸港口之現況配置

依據『漁港法』(1992)，臺灣的漁港分成二類；第一類漁港係指使用目的屬於全國性或配合漁業發展特殊需要者，主管機關為行政院農業委員會，其配置設施應符合《漁港法施行細則》規定后列各款條件：(1)港內泊地面積達十萬平方公尺以上，可停泊一百噸級漁船一百艘以上者；(2)陸上有魚市場、起卸碼頭，且漁船補給(加油、加水、加冰)、魚貨加工、冷凍、船機修理、保養設備齊全，交通方便，魚貨運輸銷售便利者；(3)漁港全年作業漁產量合計達二萬公噸以上者；(4)本籍五十噸以上之漁船數達一百艘以上者。其他不符合第一類漁港條件之漁港，則歸於第二類漁港，主管機關為當地縣、市政府。

臺灣的漁港，第一類漁港合計有 9 處，第二類漁港有 216 處，共計有 225 處，參見圖 3-8 及表 3-9 所示。其中，不論分類，僅就臺灣各直轄市、縣(市)之近岸港口，各檢擇一、二處作代表(參見表 3-9 中以粗黑體標註者)，再應用 Google Earth 之歷史圖像，檢視港口現況配置及毗鄰之海岸概況，可得如圖 3-9 至圖 3-44 所示。其中，位在臺灣北部的漁港，如圖 3-9 至圖 3-12 所示；在西北部的，如圖 3-13 至圖 3-16 所示；在中西部的，如圖 3-17 至圖 3-22 所示；在西南部的，如圖 3-23 至圖 3-29 所示；在南部的，如圖 3-30 至圖 3-32 所示；而在臺灣東北部的漁港，如圖 3-33 至圖 3-36 所示；在東部的，如圖 3-37 至圖 3-43 所示；在東南部的，如圖 3-44 所示。

綜合觀察圖 3-9 至圖 3-44 可見，臺灣環島之近岸港口(漁港)，基於經濟規模，港口航道之水深均淺，且普遍位於碎波帶內，又為增強港域泊地的靜穩度，防護東北季風、西南季風及颱風波浪之侵襲，在西北部、中西部及西南部海岸之港口，外廓防波堤配置，大多具有雙突堤(II、リ、ソ)型態，如圖 3-16 所示；而在南部、北部、東北部、東部及東南部海岸之港口，外廓防波堤配置則大多具有側 L 形(凸、凹、匚、凸)之突堤及離岸堤複合型態，如圖 3-42 所示。



大武崙漁港\_google 地圖 20161218 大. jpg



大武崙漁港\_google 地圖 2016 小. jpg

圖 3-9 臺灣北部基隆海岸大武崙漁港毗鄰海岸(上)及港口配置(下)概況



草里漁港\_google 地圖 2016 大.jpg



草里漁港\_google 地圖 2016 中.jpg

圖 3-10 臺灣北部海岸草里漁港之毗鄰海岸(上)及港口配置(下)概況



礮港漁港\_google 地圖中. jpg

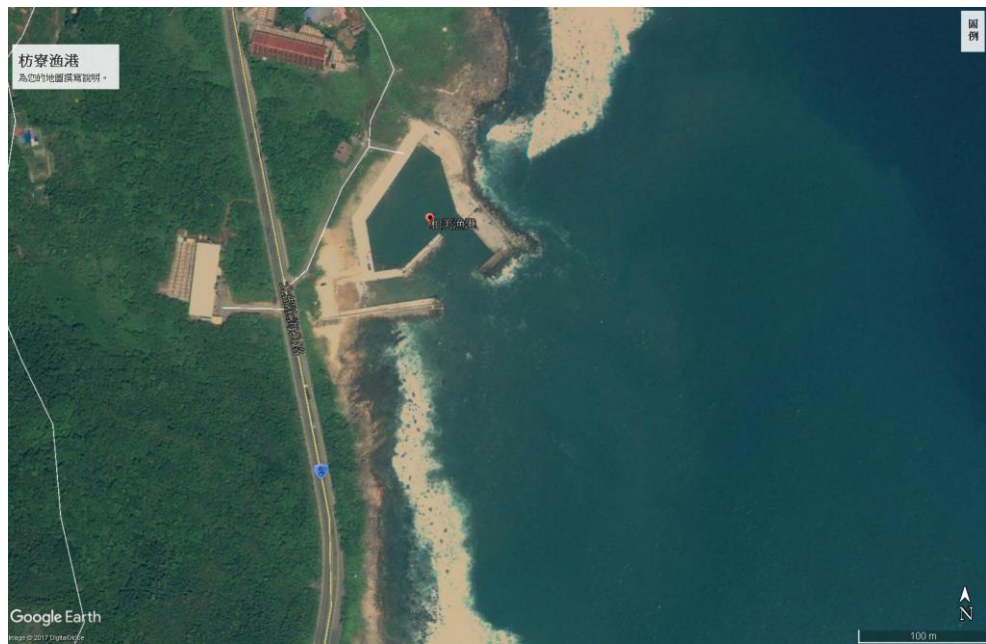


礮港漁港\_漁技社(臺灣漁業及海洋技術顧問社). jpg

圖 3-11 臺灣北部海岸礮港漁港之毗鄰海岸(上)及港口配置(下)概況



和美漁港\_google 地圖 2016 大.jpg



和美漁港\_google 地圖 2009 小.jpg

圖 3-12 臺灣北部海岸和美漁港之毗鄰海岸(上)及港口配置(下)概況

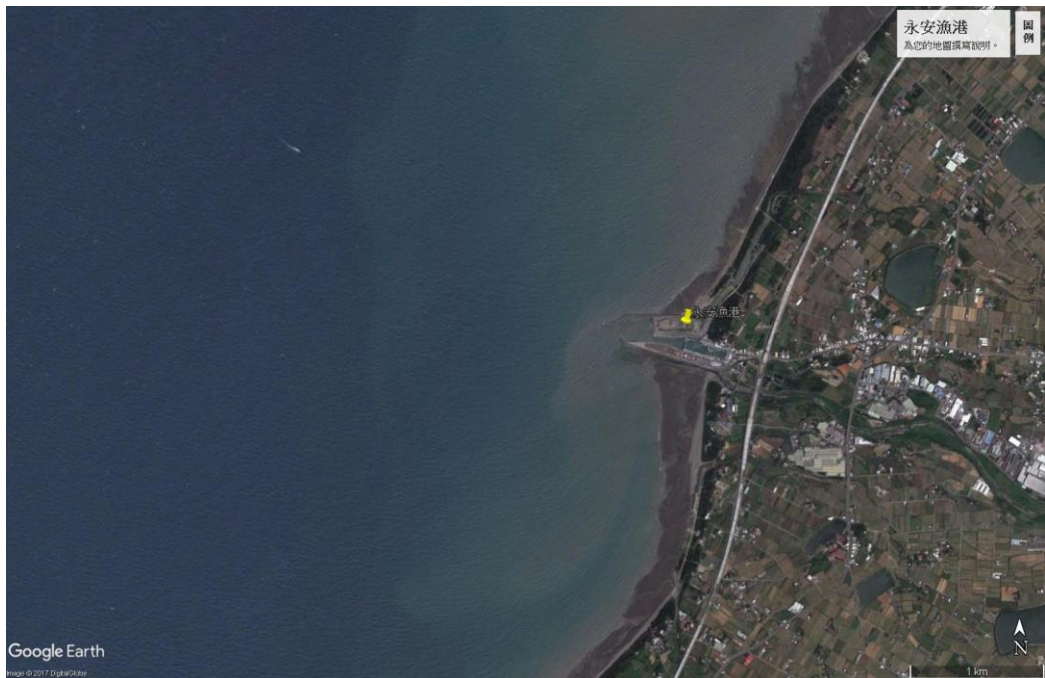


竹圍漁港\_google 地圖大.jpg

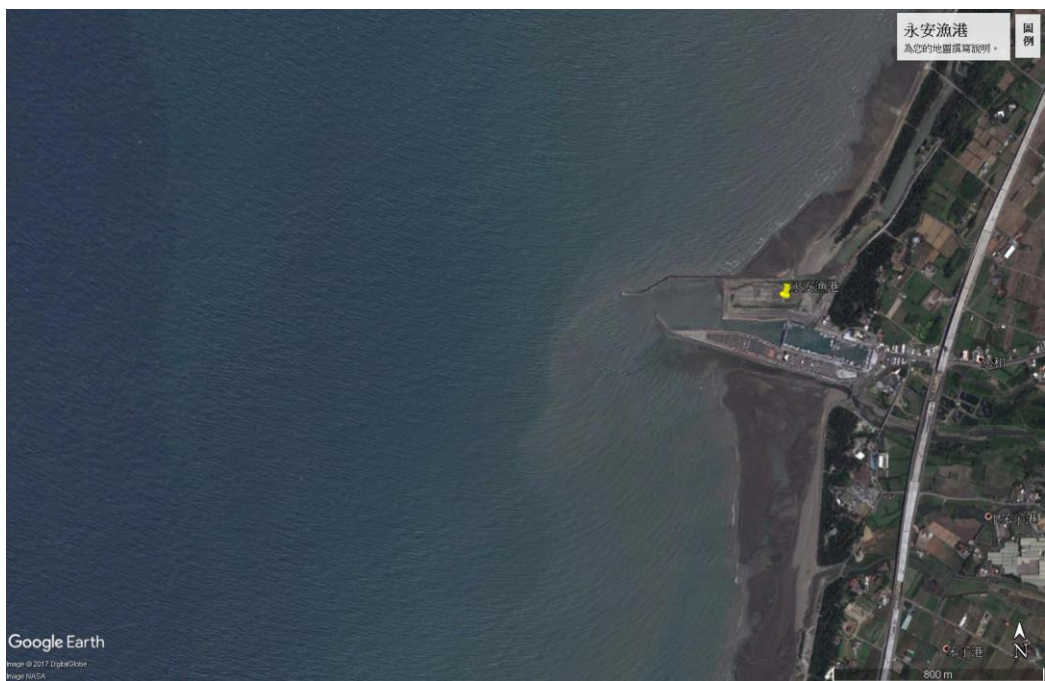


竹圍漁港\_2015.jpg

圖 3-13 臺灣西北部桃園海岸竹圍漁港之毗鄰海岸(上)及港口配置(下)  
概況



永安漁港\_google2017\_地圖大.jpg



永安漁港\_google2017\_地圖中.jpg

圖 3-14 臺灣西北部桃園海岸永安漁港之毗鄰海岸(上)及港口配置(下)  
概況

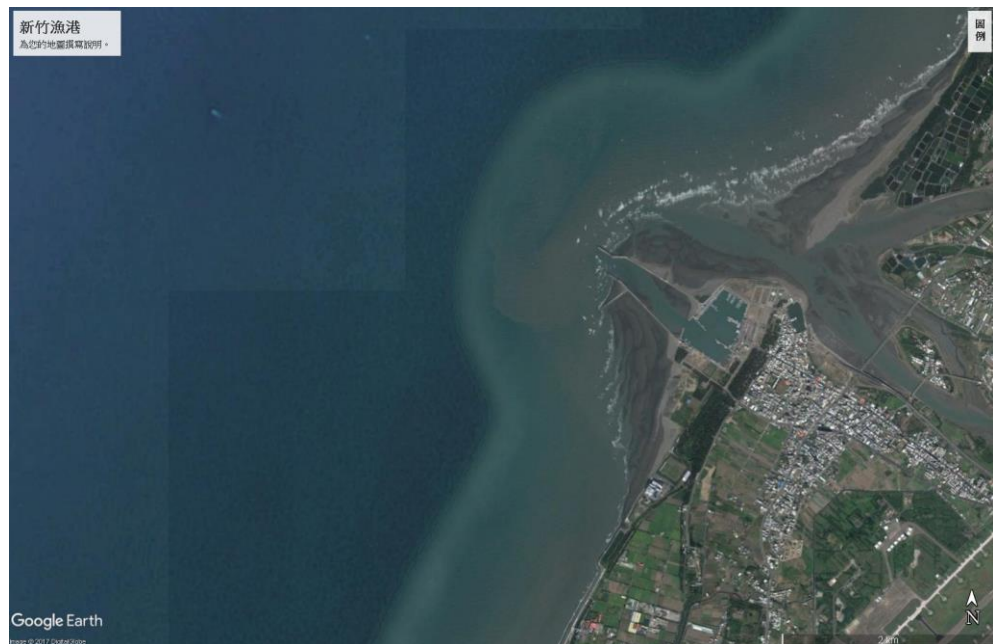


坡頭漁港\_google 地圖大. jpg



坡頭漁港\_google2016\_地圖中. jpg

圖 3-15 臺灣西北部新竹海岸坡頭漁港之毗鄰海岸(上)及港口配置(下)  
概況

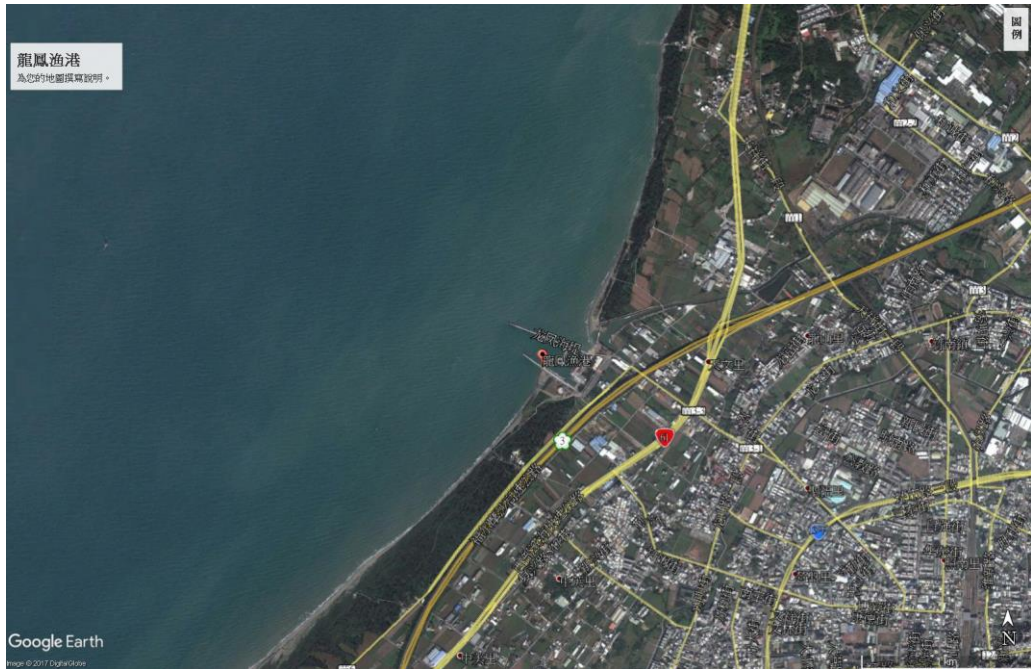


新竹漁港\_google 地圖中. jpg



新竹漁港\_google 地圖小. jpg

圖 3-16 臺灣西北部新竹海岸新竹漁港之毗鄰海岸(上)及港口配置(下)  
概況

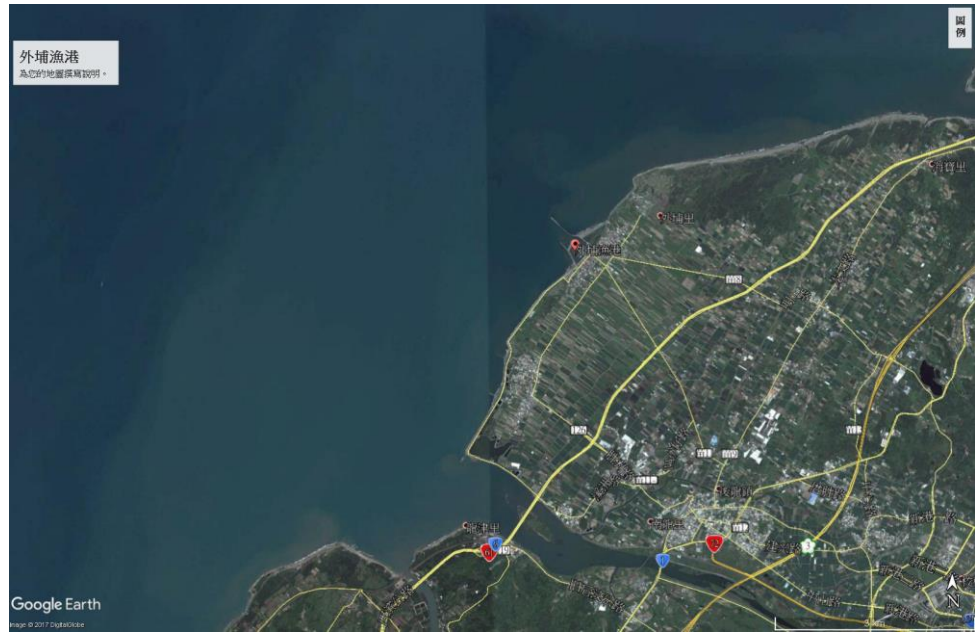


龍鳳漁港\_google 地圖 2016 大. jpg

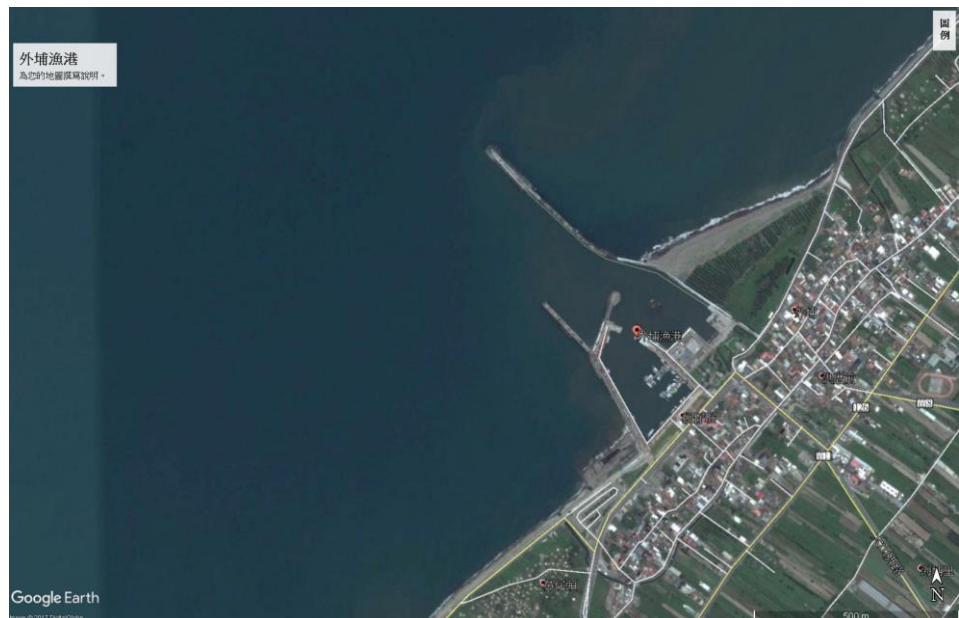


龍鳳漁港\_google 地圖 2004 小. jpg

圖 3-17 臺灣中西部苗栗海岸龍鳳漁港之毗鄰海岸(上)及港口配置(下)  
概況

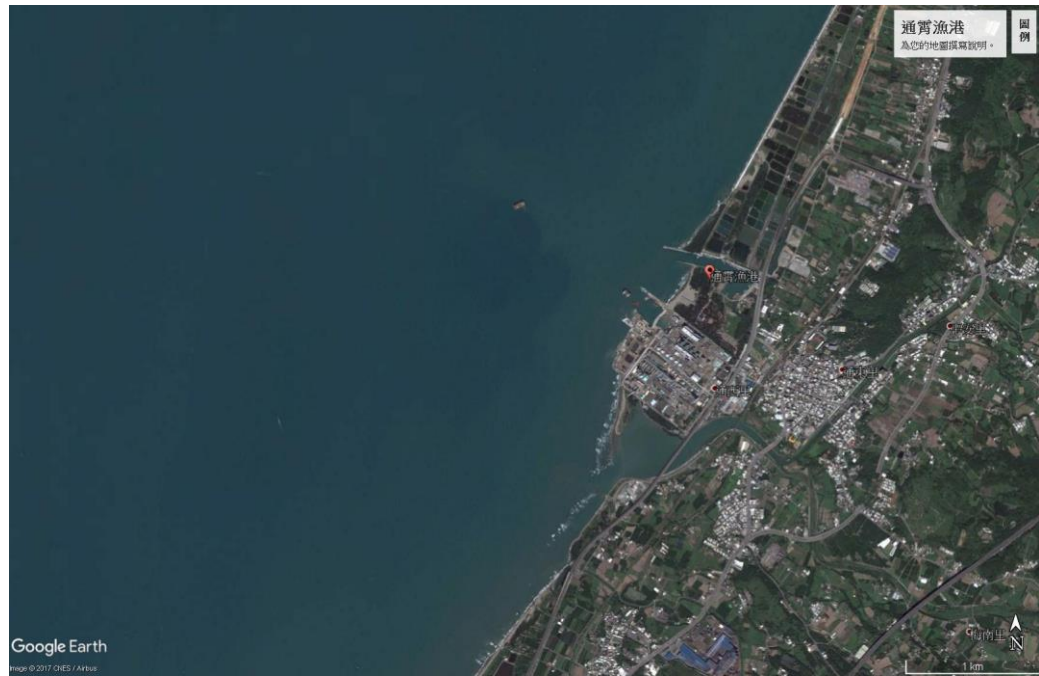


外埔漁港\_google 地圖 2016 全. jpg

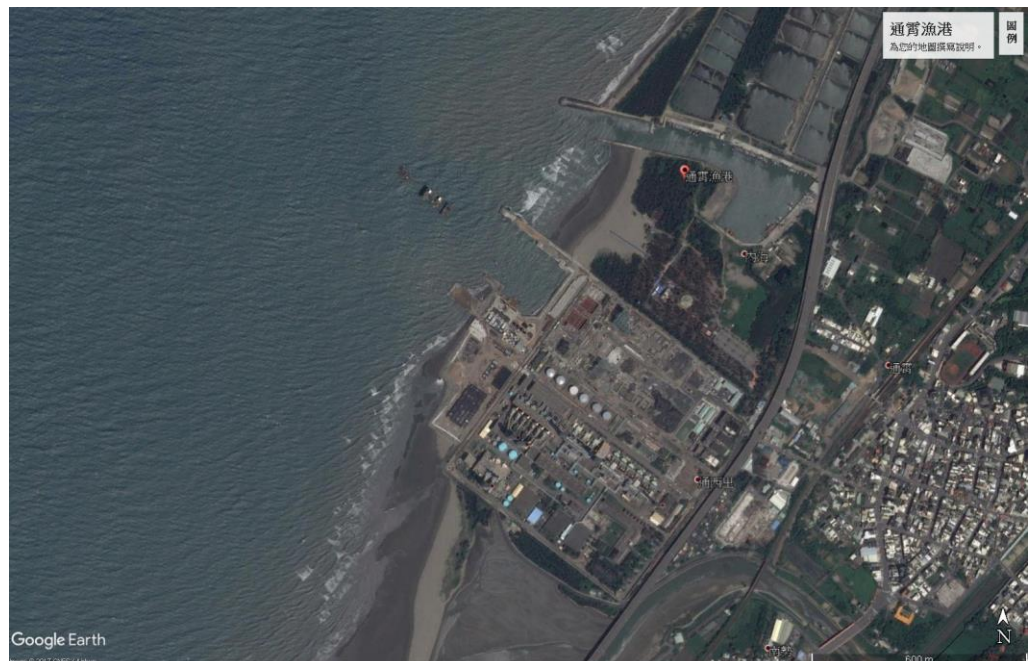


外埔漁港\_google 地圖 2016 小. jpg

圖 3-18 臺灣中西部苗栗海岸外埔漁港之毗鄰海岸(上)及港口配置(下)  
概況

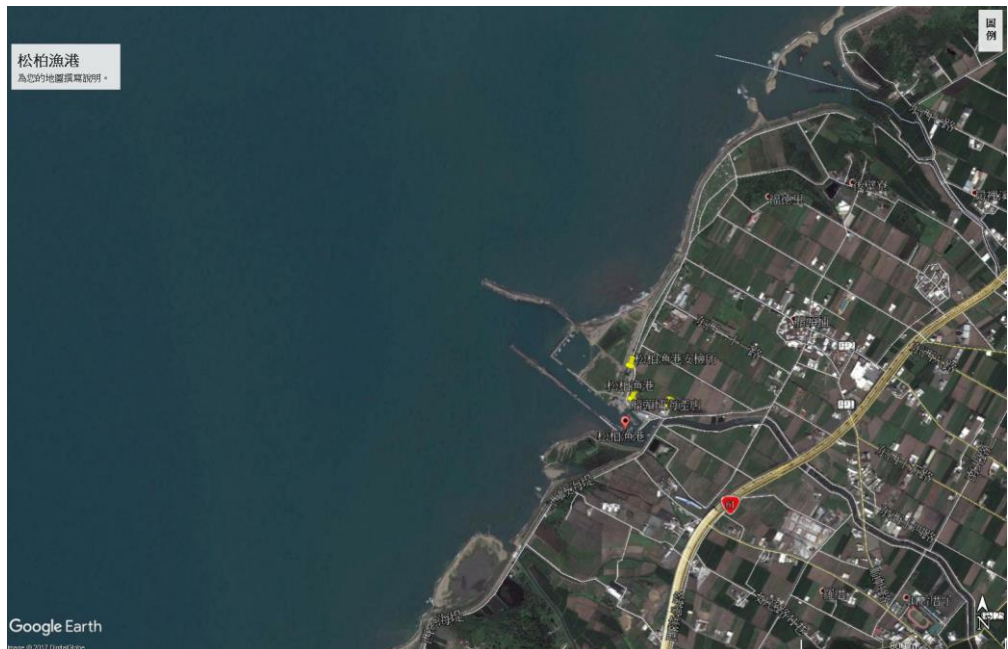


通霄漁港\_google 地圖 201610 大. jpg

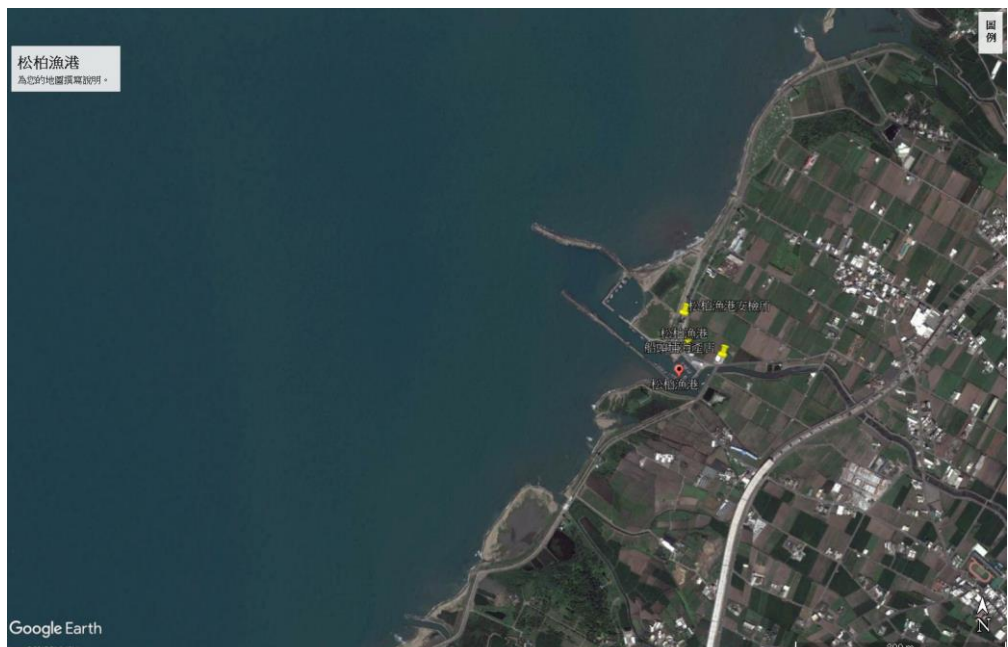


通霄漁港\_google 地圖 201509 細. jpg

圖 3-19 臺灣中西部苗栗海岸通霄漁港之毗鄰海岸(上)及港口配置(下)  
概況

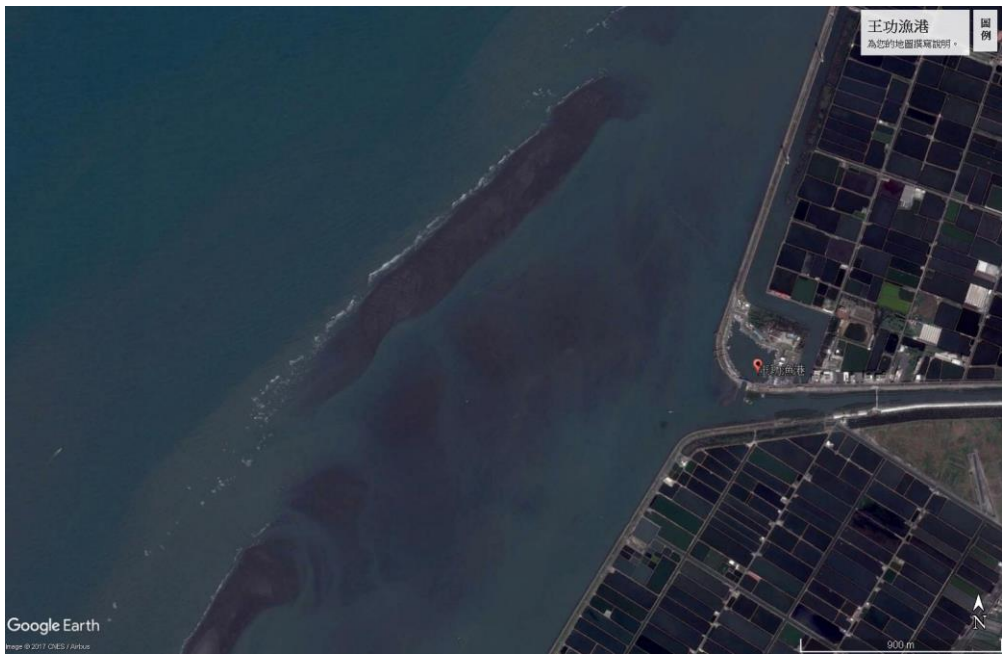


松柏漁港\_google 地圖 2016 大. jpg

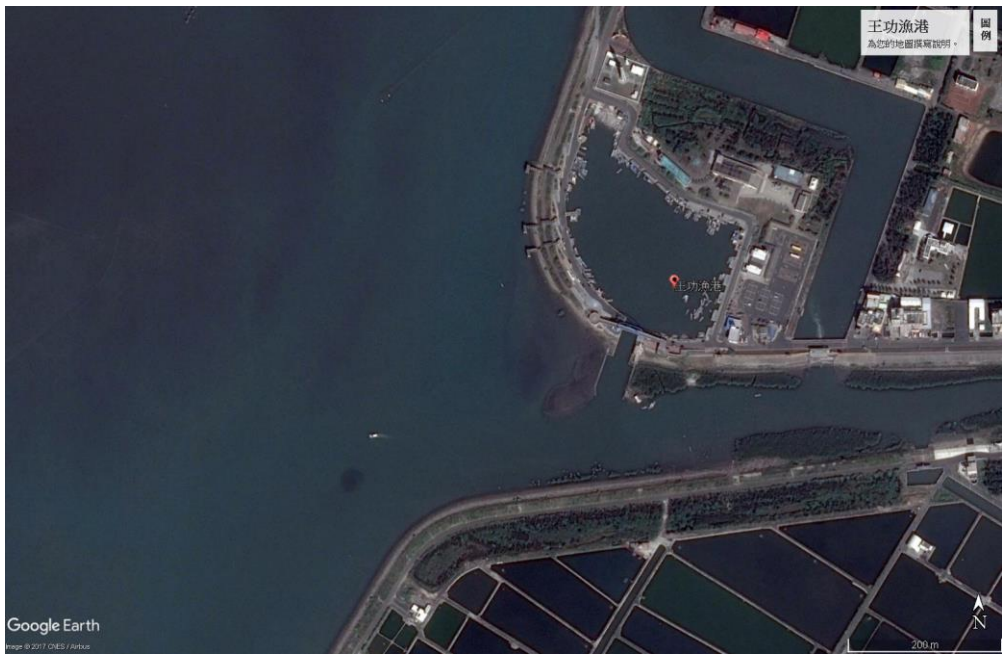


松柏漁港\_google 地圖 2016 小. jpg

圖 3-20 臺灣中西部臺中海岸松柏漁港之毗鄰海岸(上)及港口配置(下)  
概況

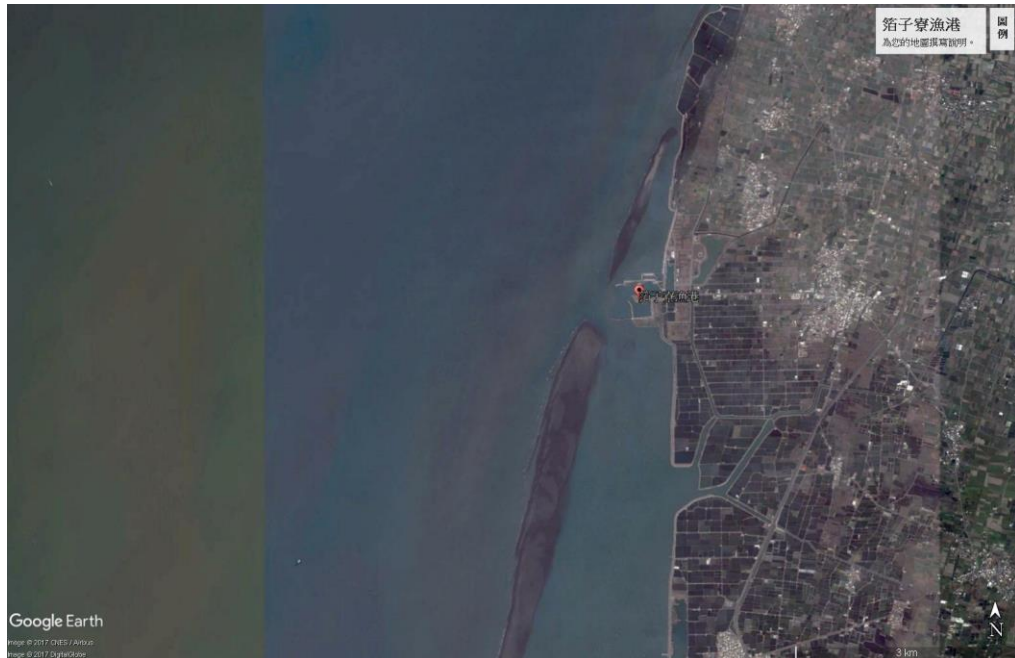


彰化王功漁港\_google 地圖 2015 大. jpg

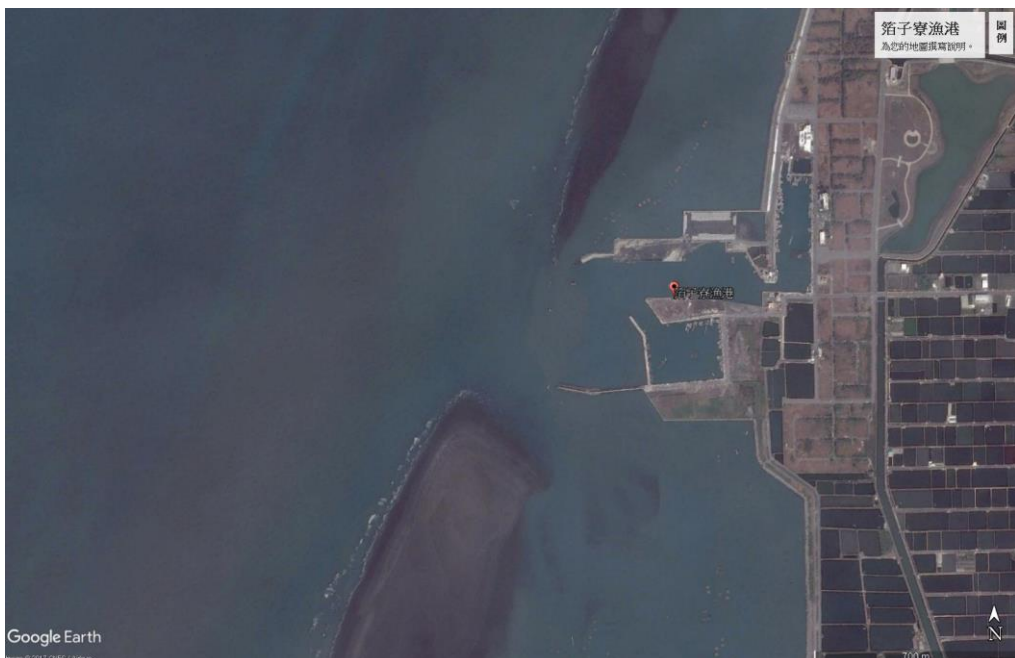


彰化王功漁港\_google 地圖 2015 中. jpg

圖 3-21 臺灣中西部彰化海岸王功漁港之毗鄰海岸(上)及港口配置(下)  
概況



箔子寮漁港\_google 地圖 2016 大. jpg

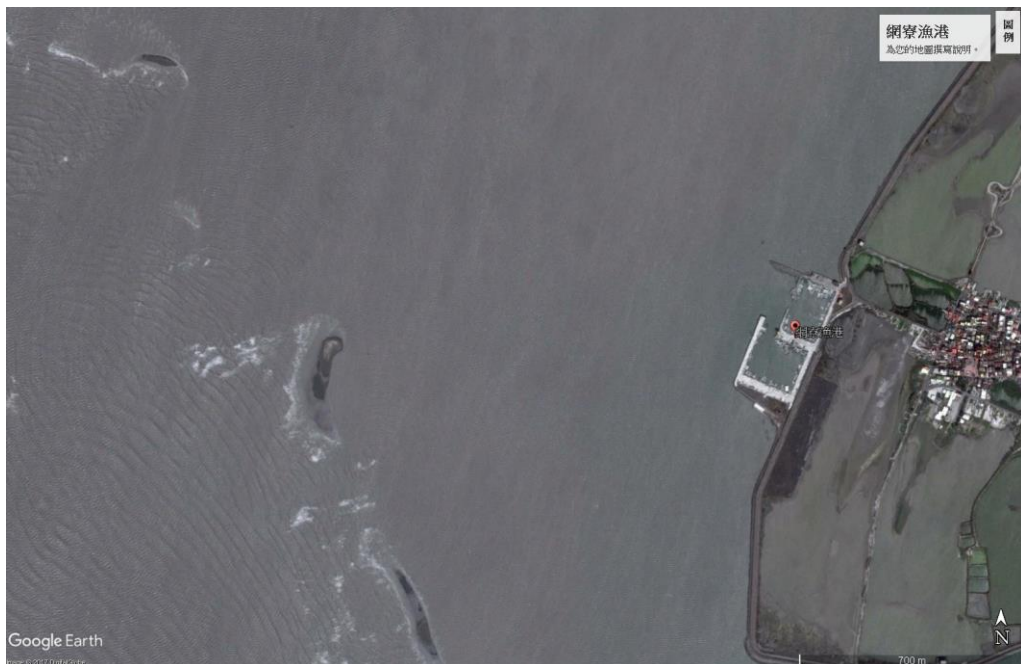


箔子寮漁港\_google 地圖 2016 中. jpg

圖 3-22 臺灣中西部雲林海岸箔子寮漁港之毗鄰海岸(上)及港口配置  
(下)概況



網寮漁港\_google 地圖 2016 大. jpg

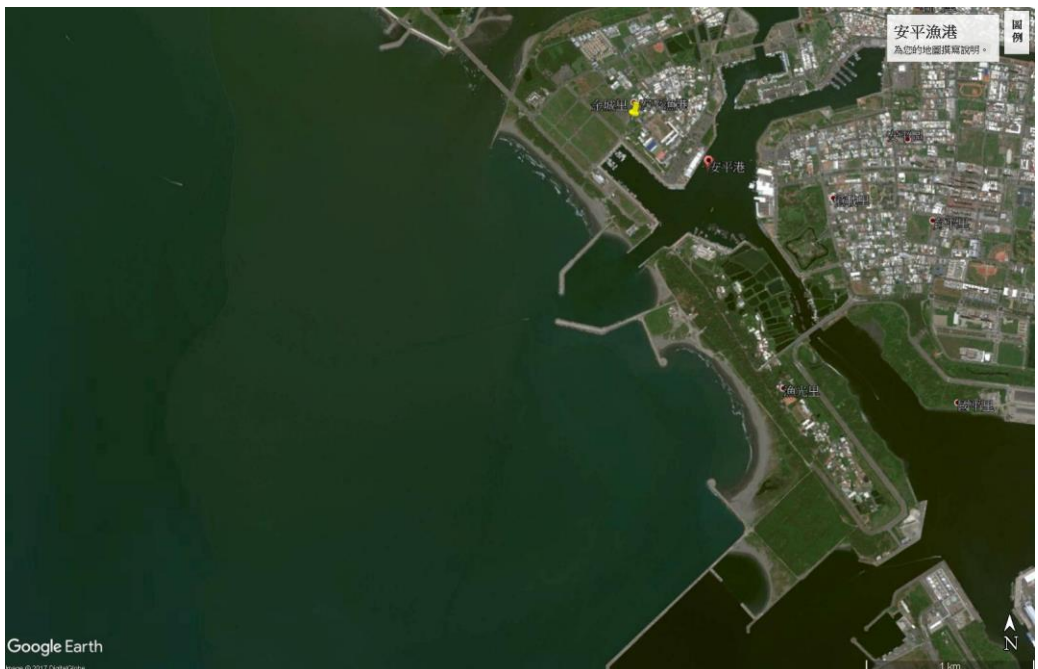


網寮漁港\_google 地圖 2016 中. jpg

圖 3-23 臺灣西南部嘉義海岸網寮漁港之毗鄰海岸(上)及港口配置(下)  
概況

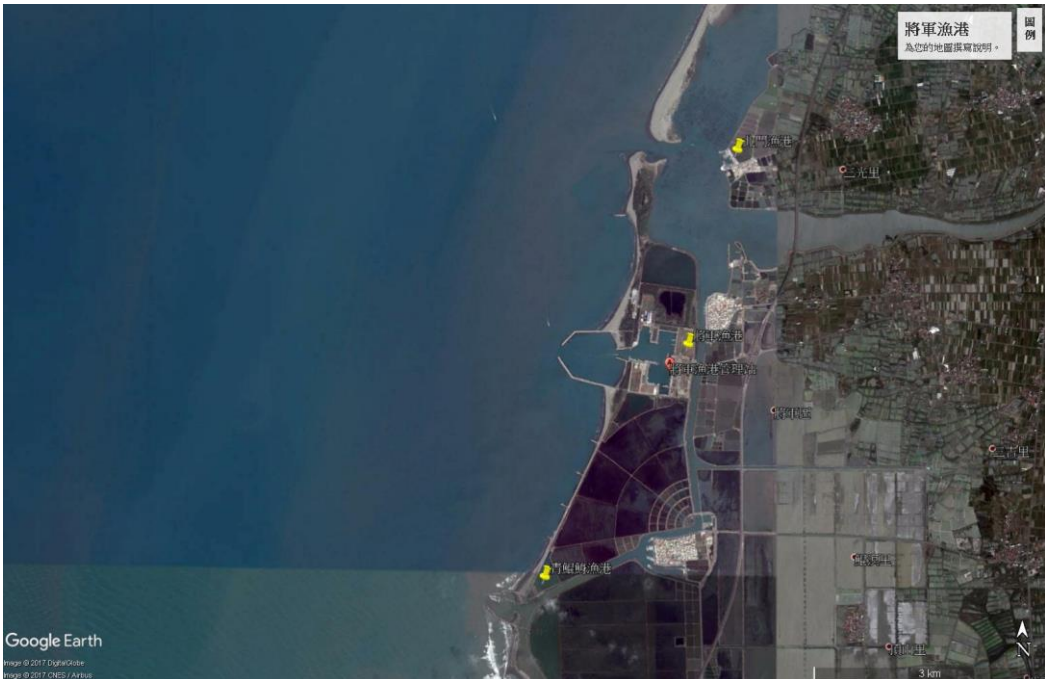


安平漁港\_google 地圖 中. jpg

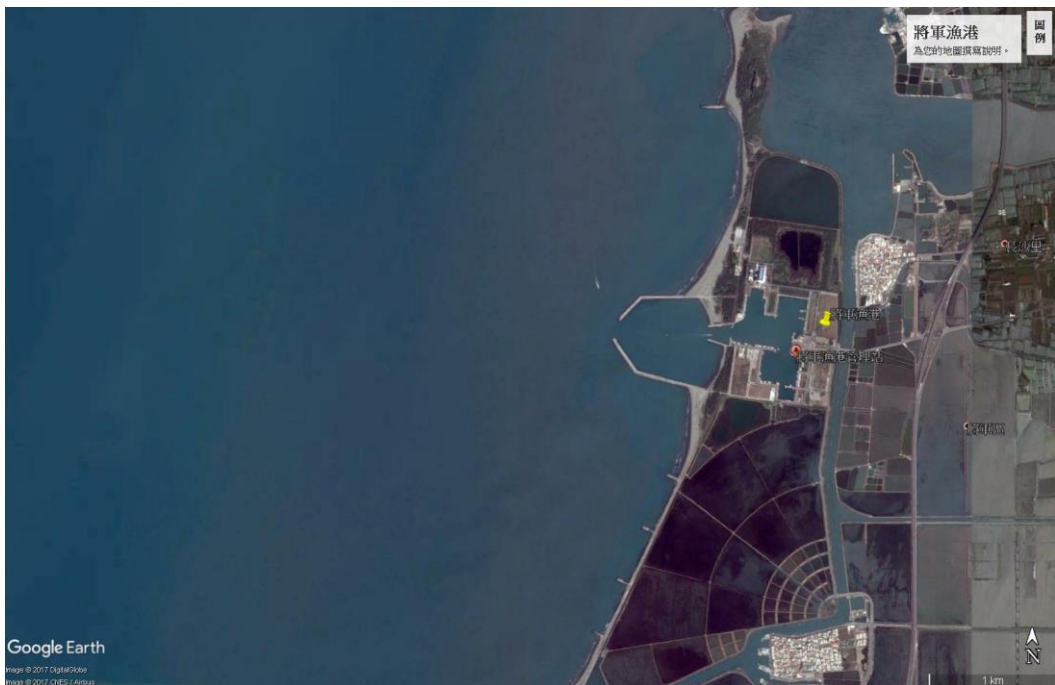


安平漁港\_google 地圖 2016 小. jpg

圖 3-24 臺灣西南部臺南海岸安平漁港之毗鄰海岸(上)及港口配置(下)  
概況

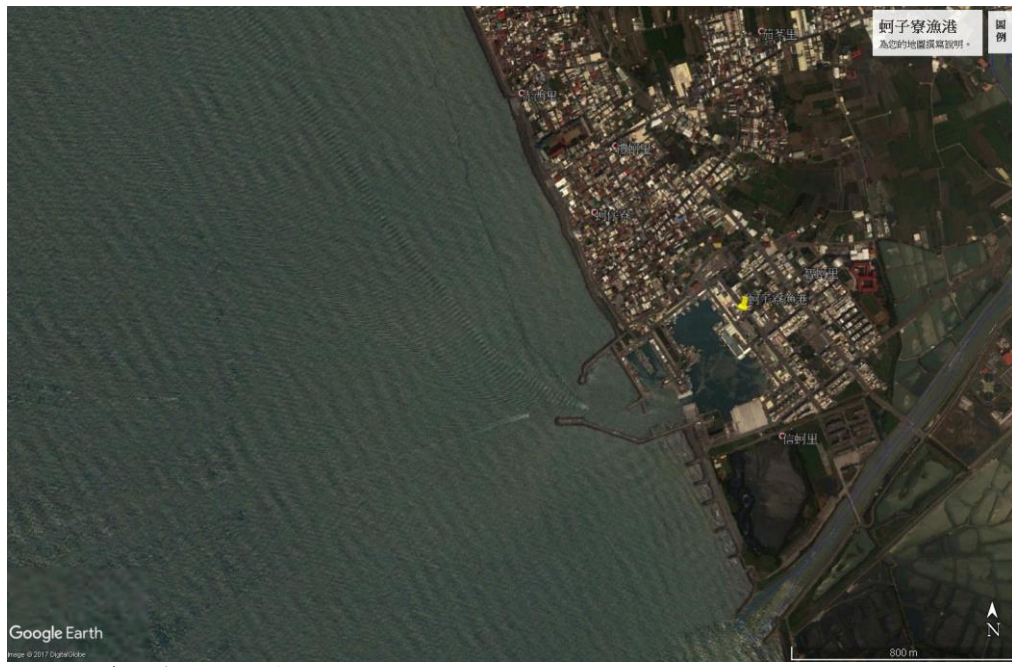


將軍漁港\_google 地圖 2016 大.jpg

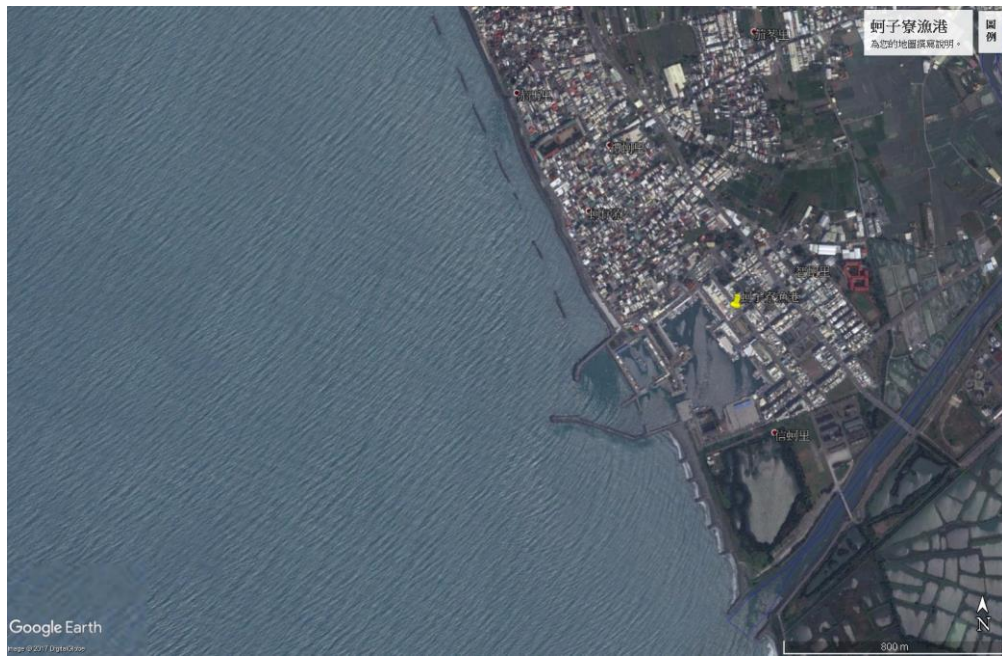


將軍漁港\_google 地圖 2016 中.jpg

圖 3-25 臺灣西南部臺南海岸將軍漁港之毗鄰海岸(上)及港口配置(下)  
概況

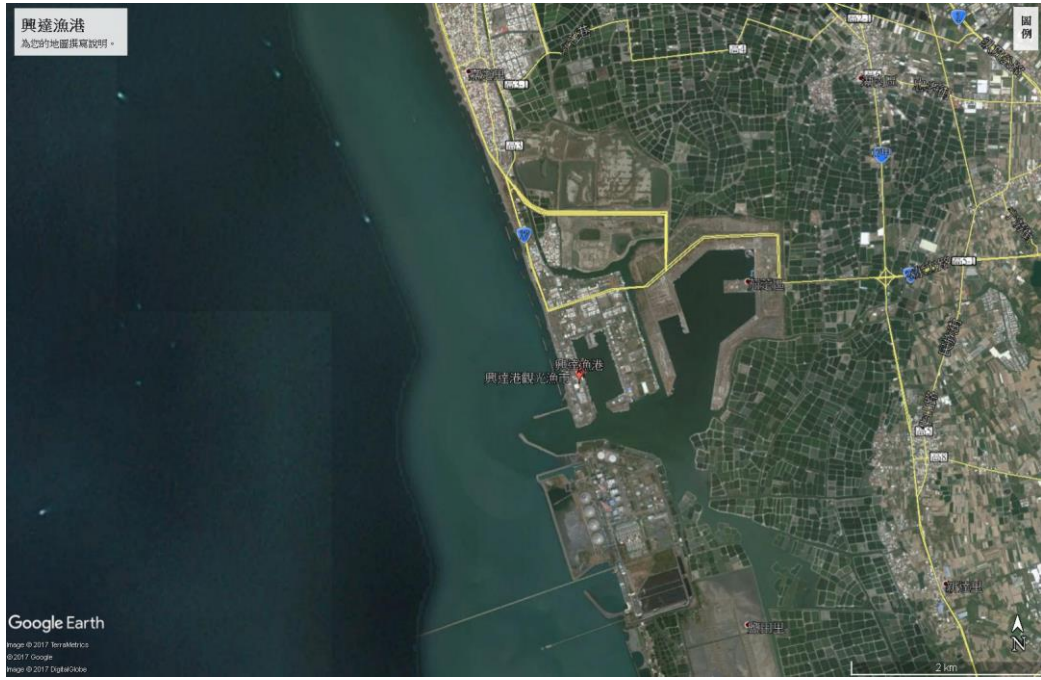


蚵子寮漁港\_google 地圖 2010 大. jpg

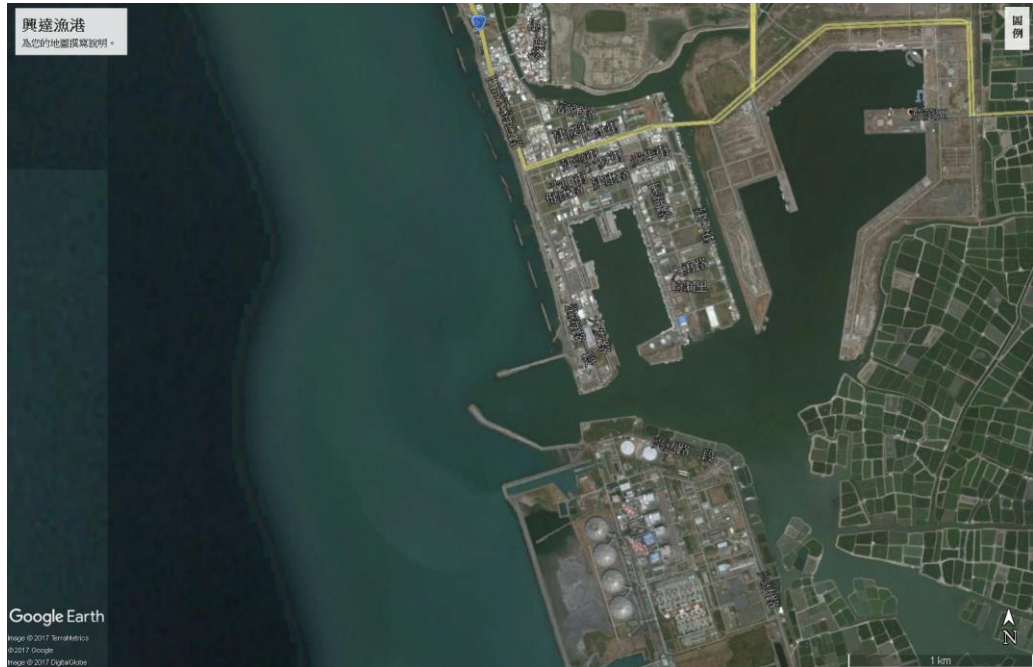


蚵子寮漁港\_google 地圖 201602 大. jpg

圖 3-26 臺灣西南部高雄海岸蚵子寮漁港之毗鄰海岸(上)及港口配置  
(下)概況



興達漁港\_google 地圖大. jpg

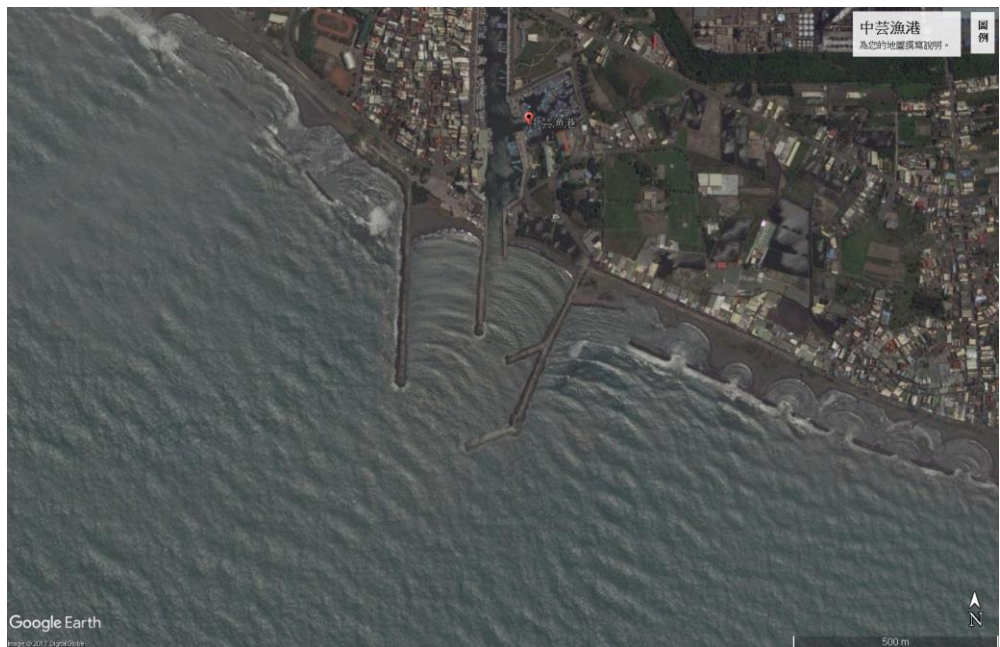


興達漁港\_google 地圖小. jpg

圖 3-27 臺灣西南部高雄海岸興達漁港之毗鄰海岸(上)及港口配置(下)  
概況

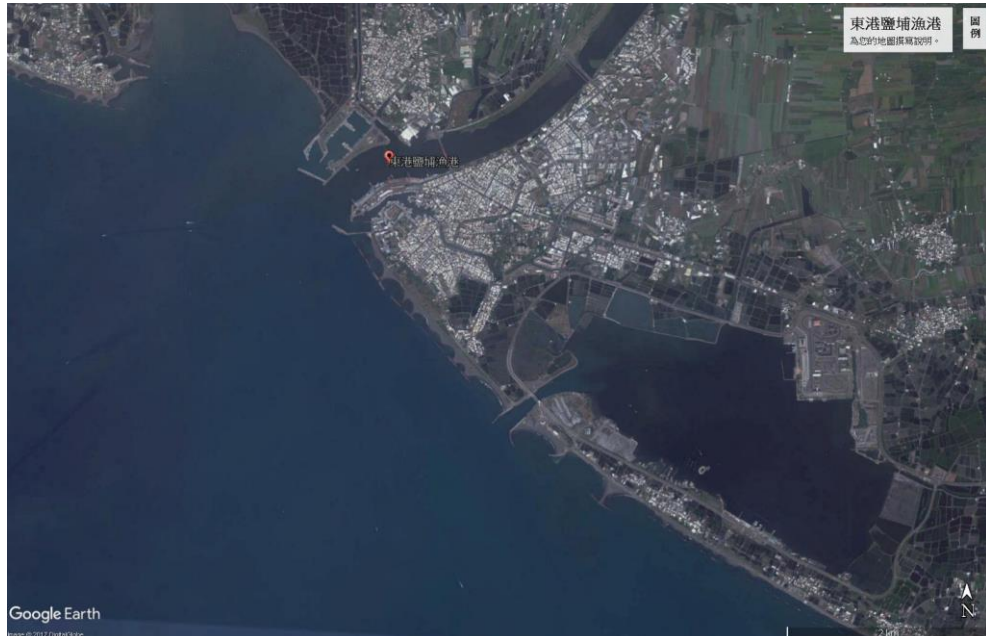


中芸漁港\_google 地圖 201506 大. jpg

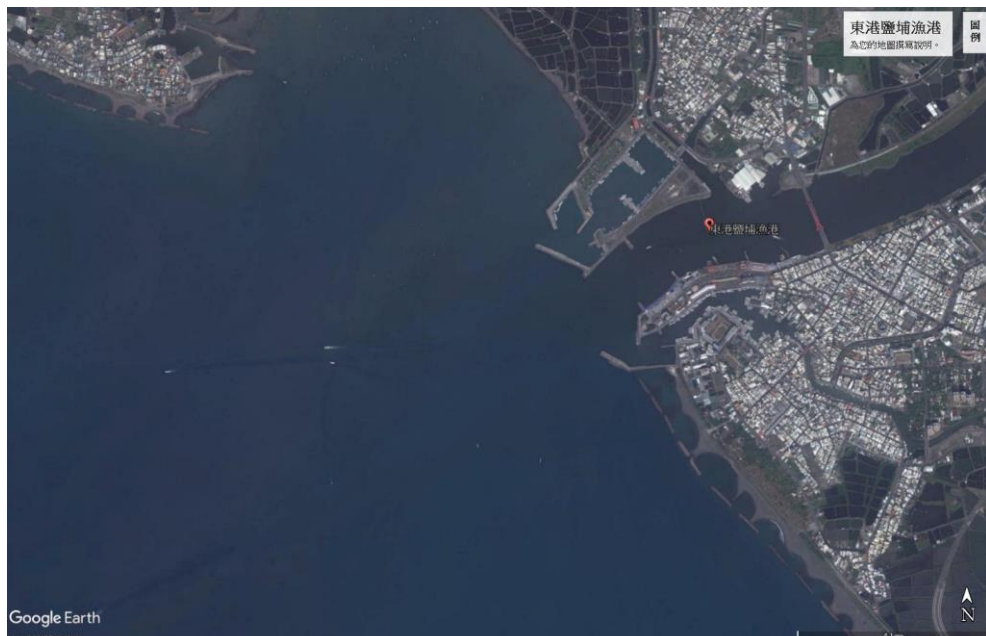


中芸漁港\_google 地圖 201506 小. jpg

圖 3-28 臺灣西南部高雄海岸中芸漁港之毗鄰海岸(上)及港口配置(下)  
概況



東港鹽埔漁港\_google 地圖 201512 大. jpg

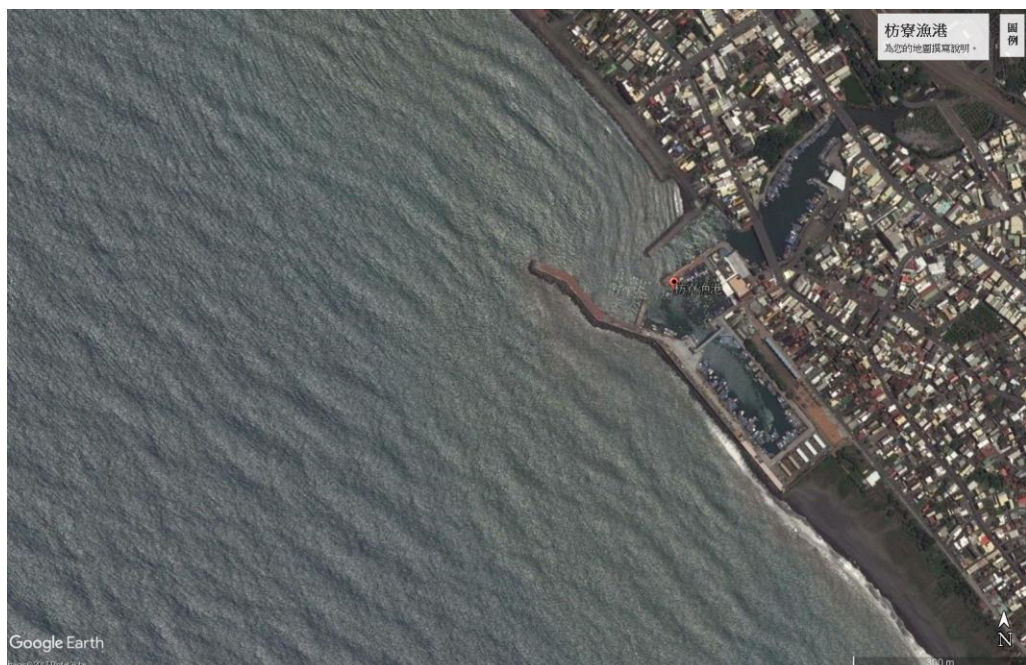


東港鹽埔漁港\_google 地圖 201512 中. jpg

圖 3-29 臺灣西南部屏東海岸東港鹽埔漁港之毗鄰海岸(上)及港口配置  
(下)概況

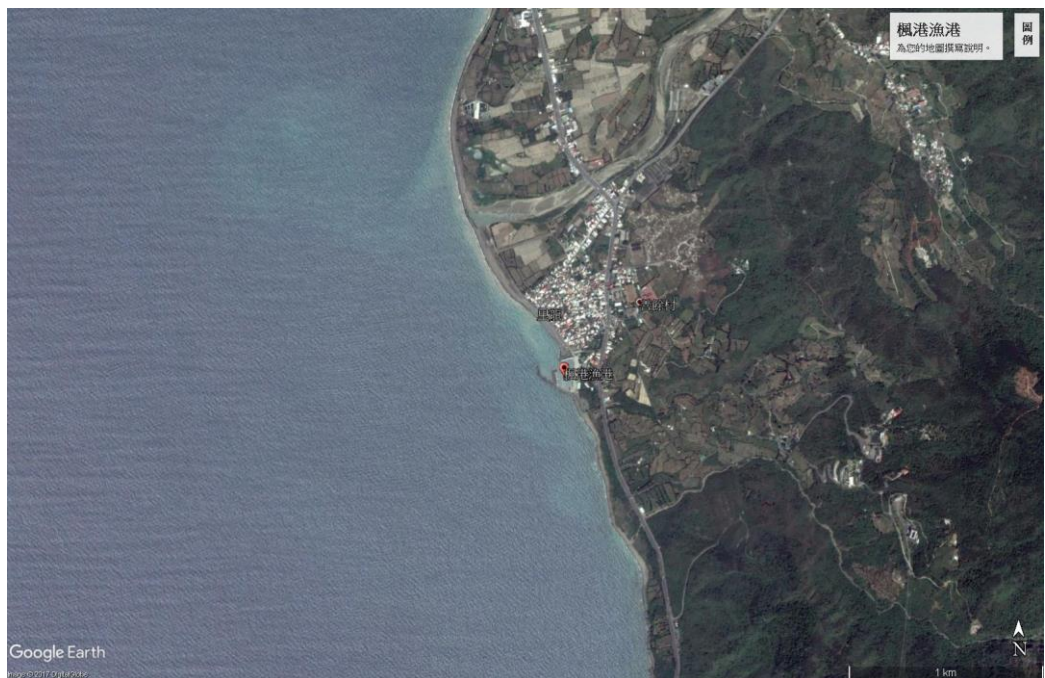


枋寮漁港\_google 地圖 201701 大. jpg



枋寮漁港\_google 地圖 201407 小. jpg

圖 3-30 臺灣南部屏東海岸枋寮漁港之毗鄰海岸(上)及港口配置(下)概況

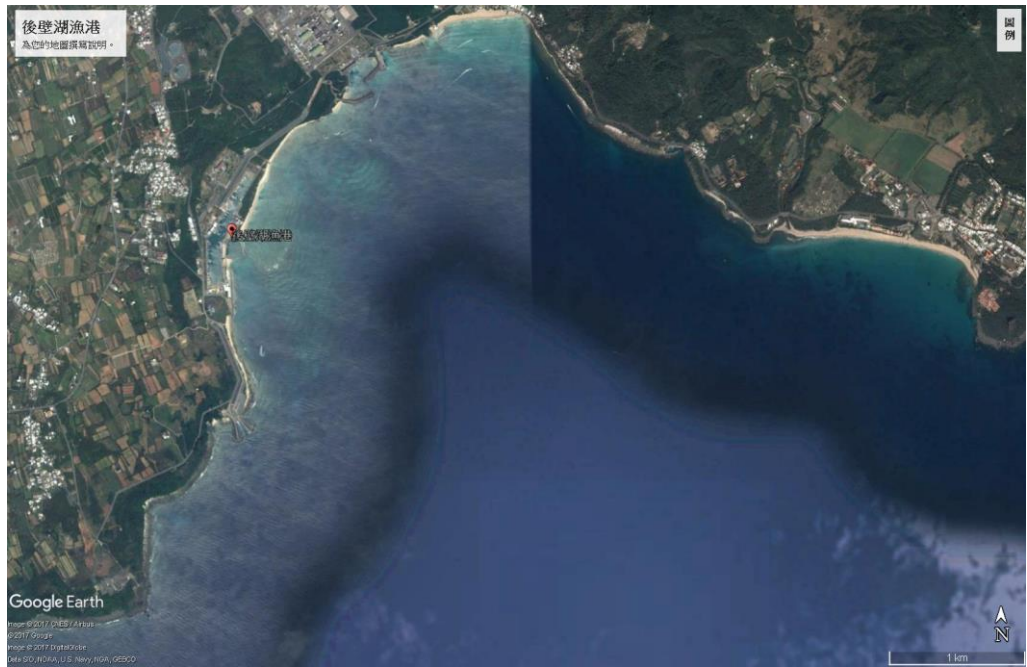


楓港漁港\_google 地圖 201702 大. jpg



楓港漁港\_google 地圖 201702 小\_弧形防波堤. jpg

圖 3-31 臺灣南部屏東海岸楓港漁港之毗鄰海岸(上)及港口配置(下)概況

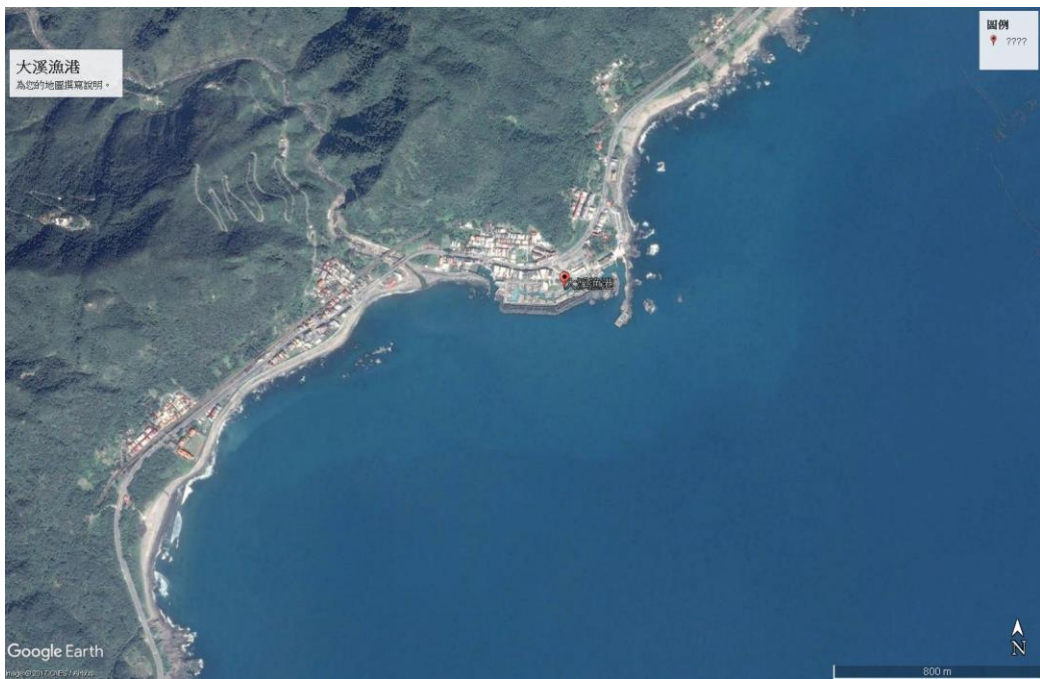


後壁湖漁港\_google 地圖大. jpg

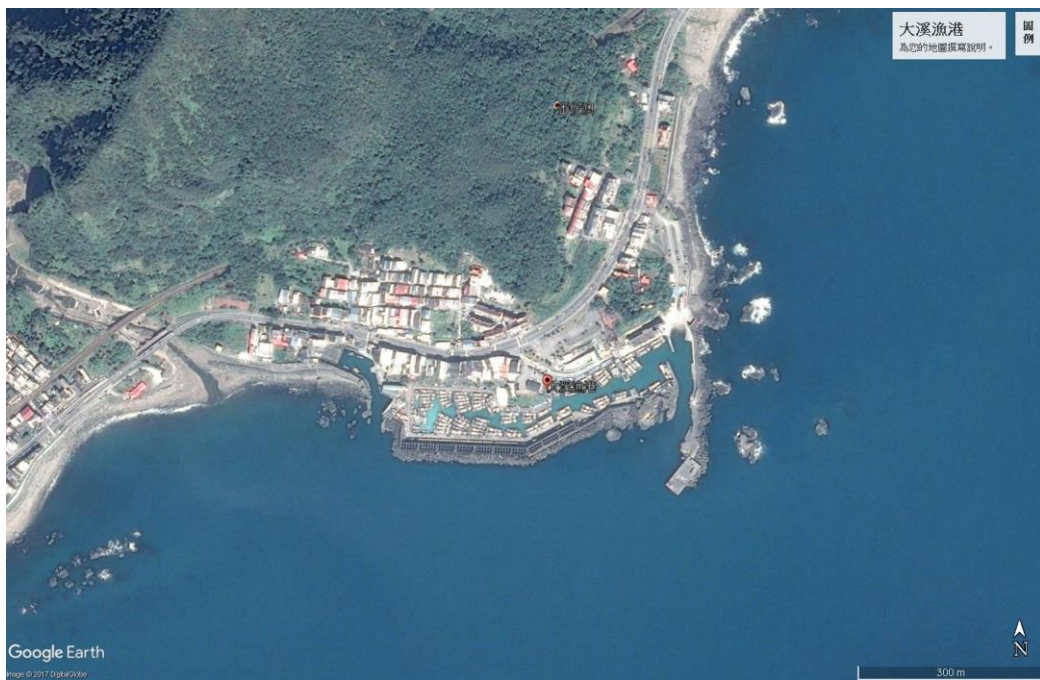


後壁湖漁港\_google 地圖小. jpg

圖 3-32 臺灣南部屏東海岸後壁湖漁港之毗鄰海岸(上)及港口配置(下)  
概況

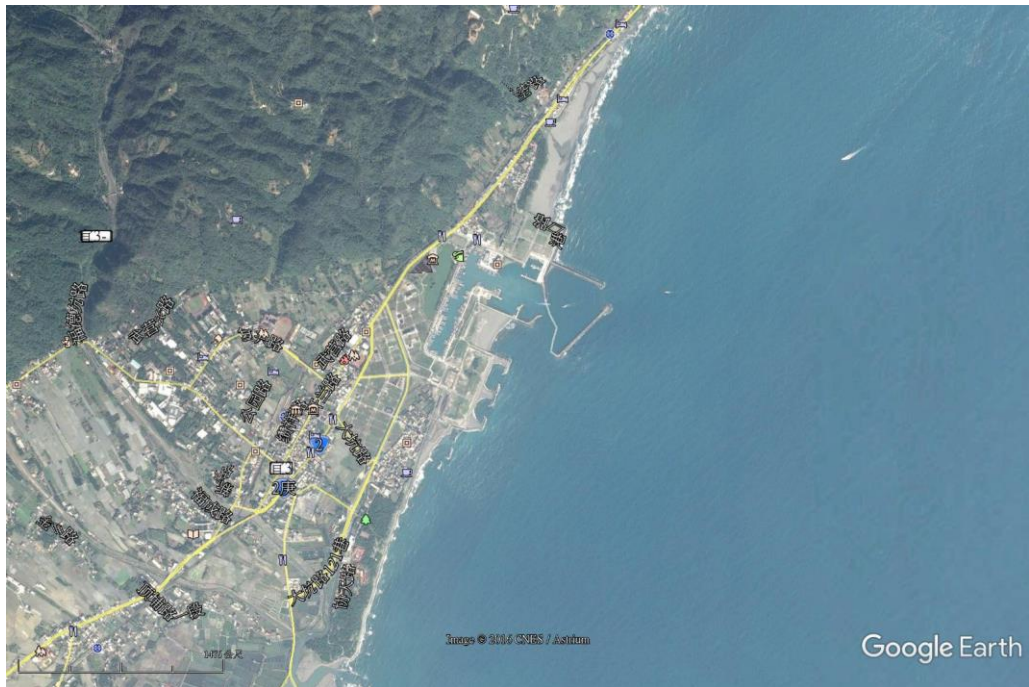


大溪漁港\_google 地圖 2016 大. jpg



大溪漁港\_google 地圖 20160208 中. jpg

圖 3-33 臺灣東北部宜蘭海岸大溪漁港之毗鄰海岸(上)及港口配置(下)  
概況



宜蘭烏石漁港 20140107\_大.jpg



宜蘭烏石漁港 20140107\_中.jpg

圖 3-34 臺灣東北部宜蘭海岸烏石漁港之毗鄰海岸(上)及港口配置(下)  
概況

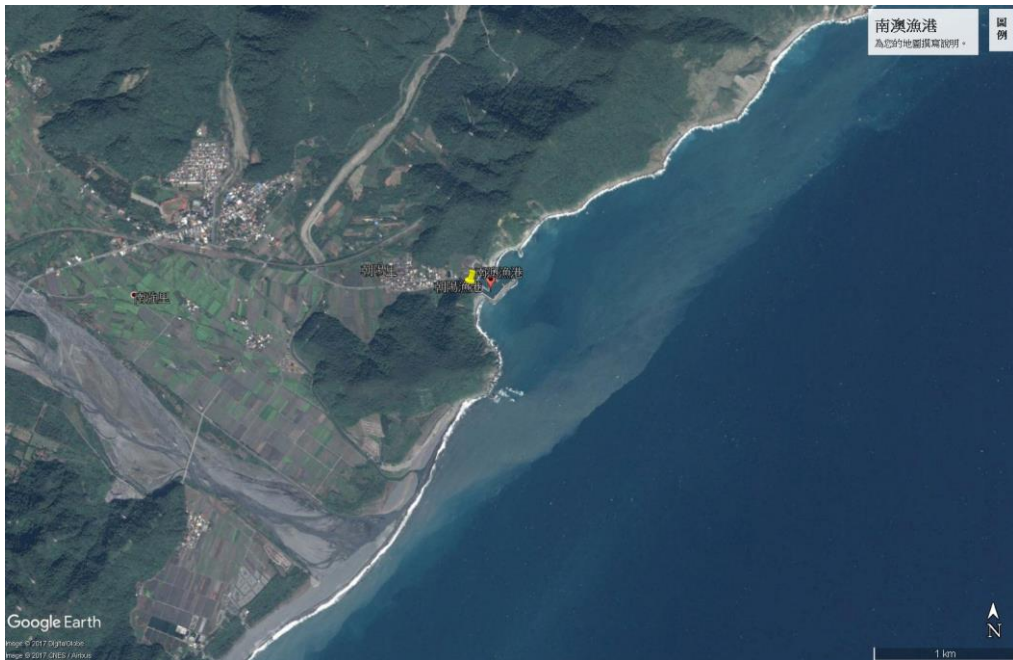


梗枋漁港\_google 地圖 20160208 大. jpg



梗枋漁港\_google 地圖 20160208 中. jpg

圖 3-35 臺灣東北部宜蘭海岸梗枋漁港之毗鄰海岸(上)及港口配置(下)  
概況

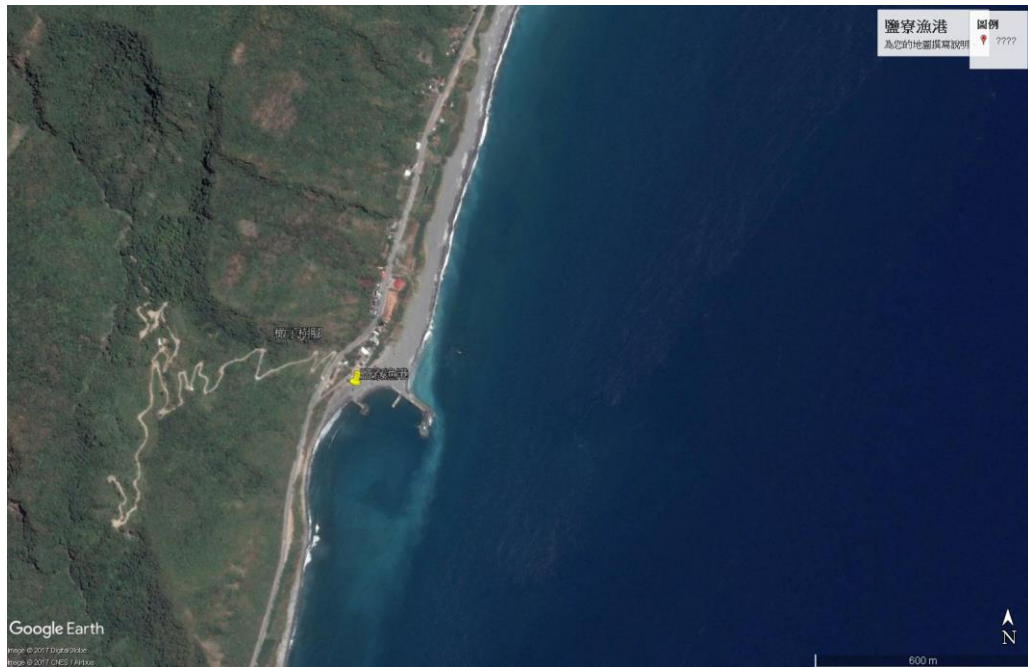


南澳漁港\_google 地圖 20131124 大. jpg



南澳漁港\_google 地圖 20150714 中. jpg

圖 3-36 臺灣東北部宜蘭海岸南澳漁港之毗鄰海岸(上)及港口配置(下)  
概況

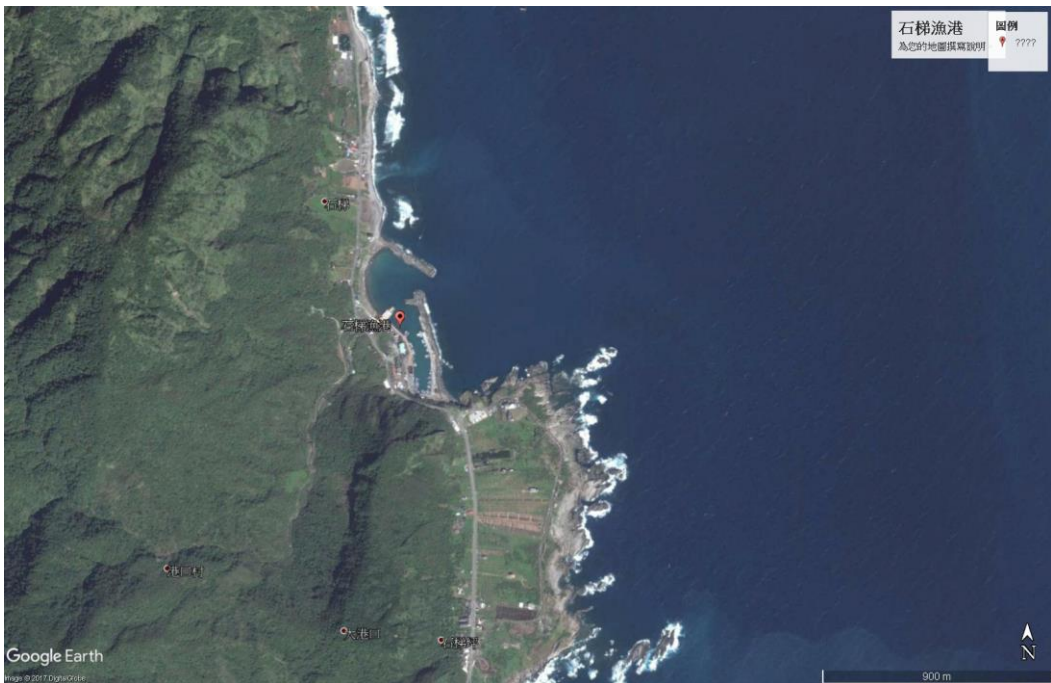


鹽寮漁港\_google 地圖 201405 大. jpg



鹽寮漁港\_google 地圖 201602 小. jpg

圖 3-37 臺灣東部花蓮海岸鹽寮漁港之毗鄰海岸(上)及港口配置(下)概況



石梯漁港\_google 地圖 201602 大. jpg



石梯漁港\_google 地圖 201012 小. jpg

圖 3-38 臺灣東部花蓮海岸石梯漁港之毗鄰海岸(上)及港口配置(下)概況



長濱漁港\_google2017\_地圖大.jpg



長濱漁港\_google201506\_地圖細.jpg

圖 3-39 臺灣東部臺東海岸長濱漁港之毗鄰海岸(上)及港口配置(下)概況

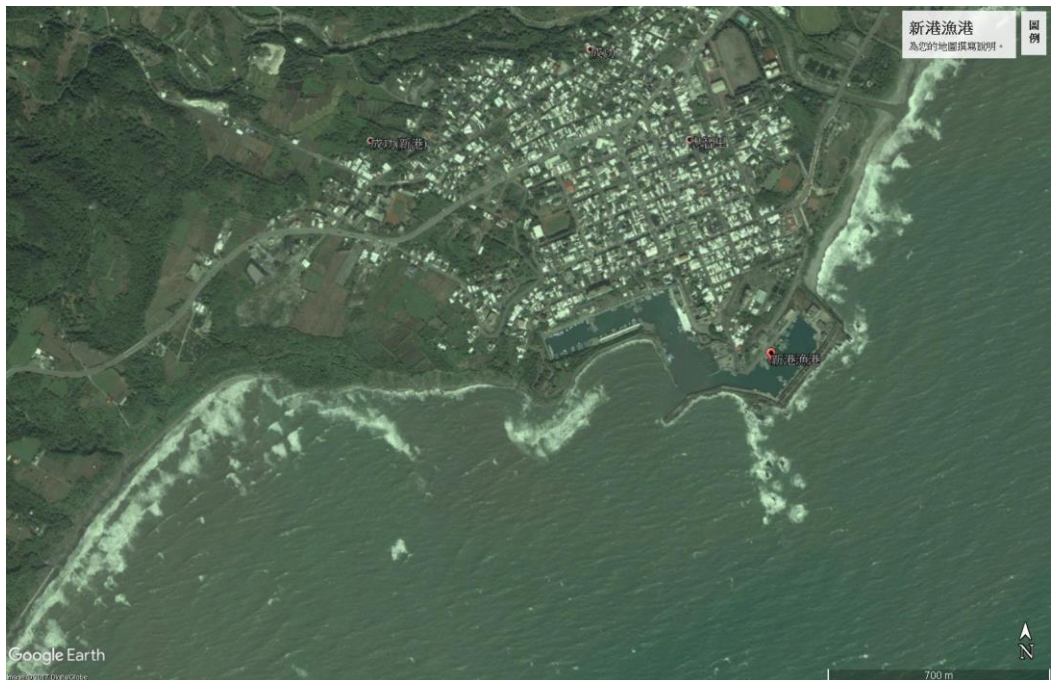


小港漁港\_google2017\_地圖大.jpg

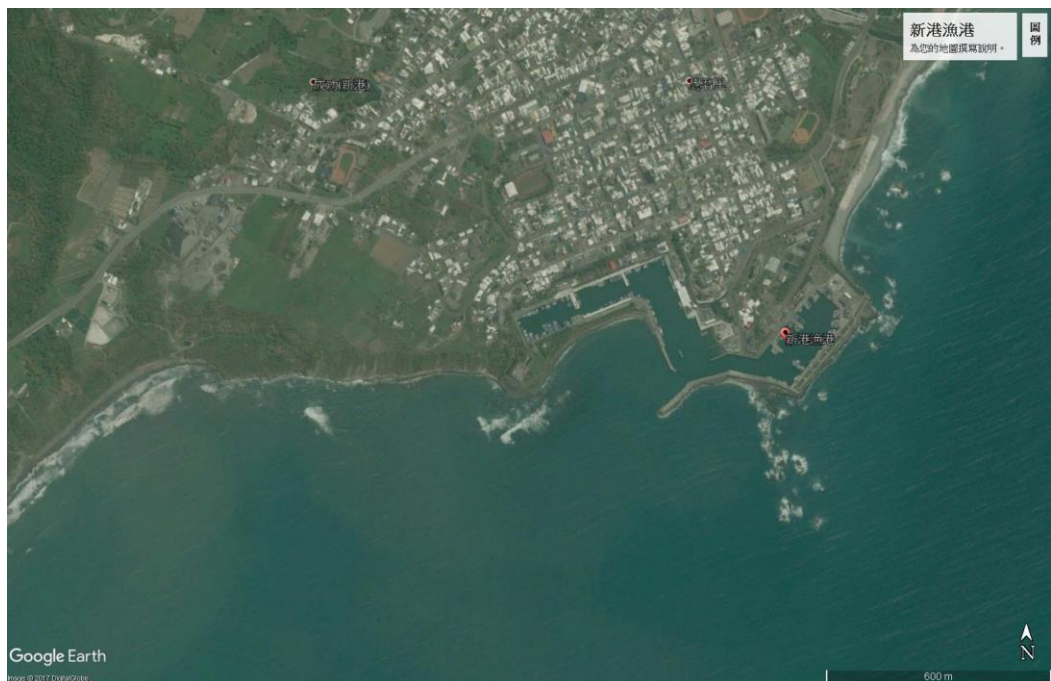


小港漁港\_google2017\_地圖中.jpg

圖 3-40 臺灣東部臺東海岸小港漁港之毗鄰海岸(上)及港口配置(下)概況



新港漁港\_google2011\_地圖大.jpg



新港漁港\_google2014\_地圖中.jpg

圖 3-41 臺灣東部臺東海岸新港漁港之毗鄰海岸(上)及港口配置(下)概況

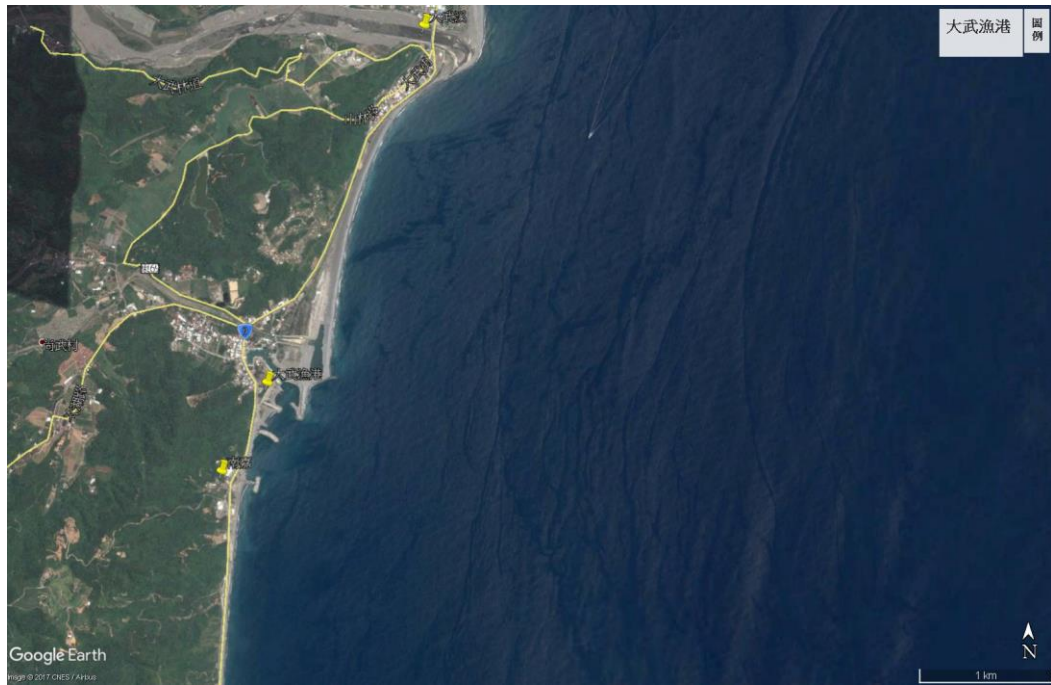


金樽漁港\_google20140707\_地圖大.jpg

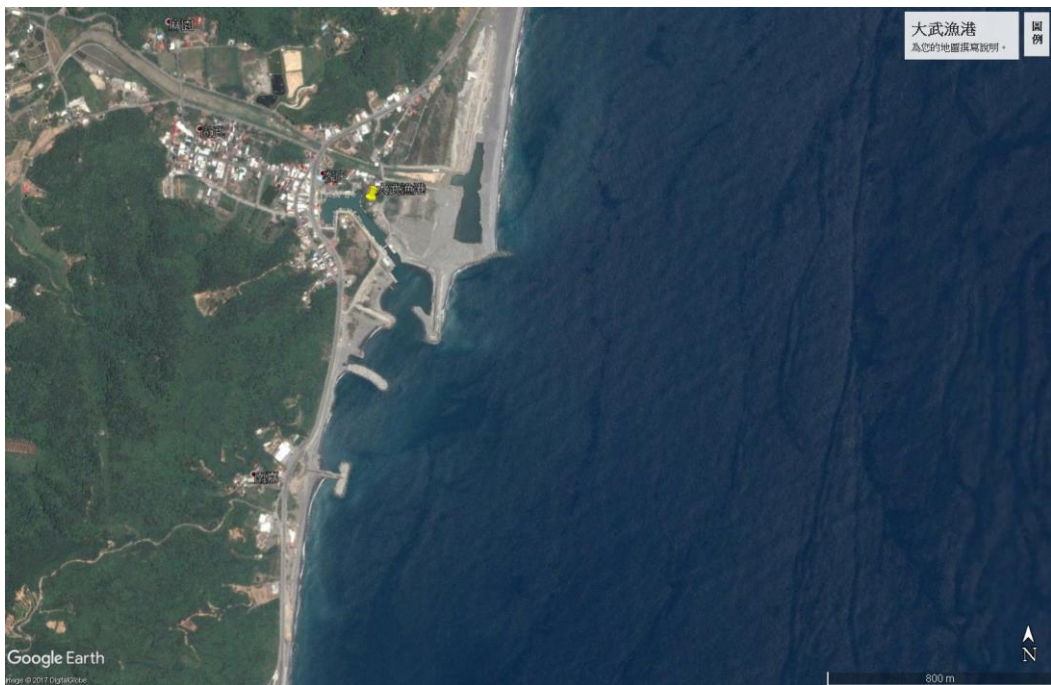


金樽漁港\_google20130819\_地圖中.jpg

圖 3-42 臺灣東部臺東海岸金樽漁港之毗鄰海岸(上)及港口配置(下)概況

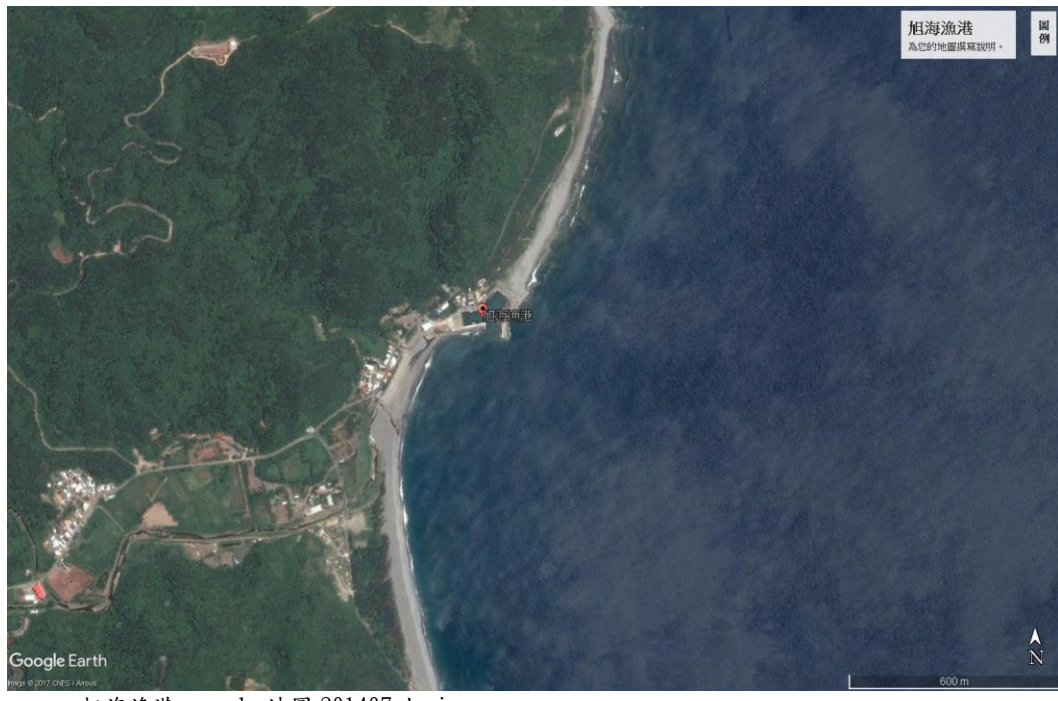


大武漁港\_突堤\_離岸堤效應 google 地圖 20160715 大. jpg

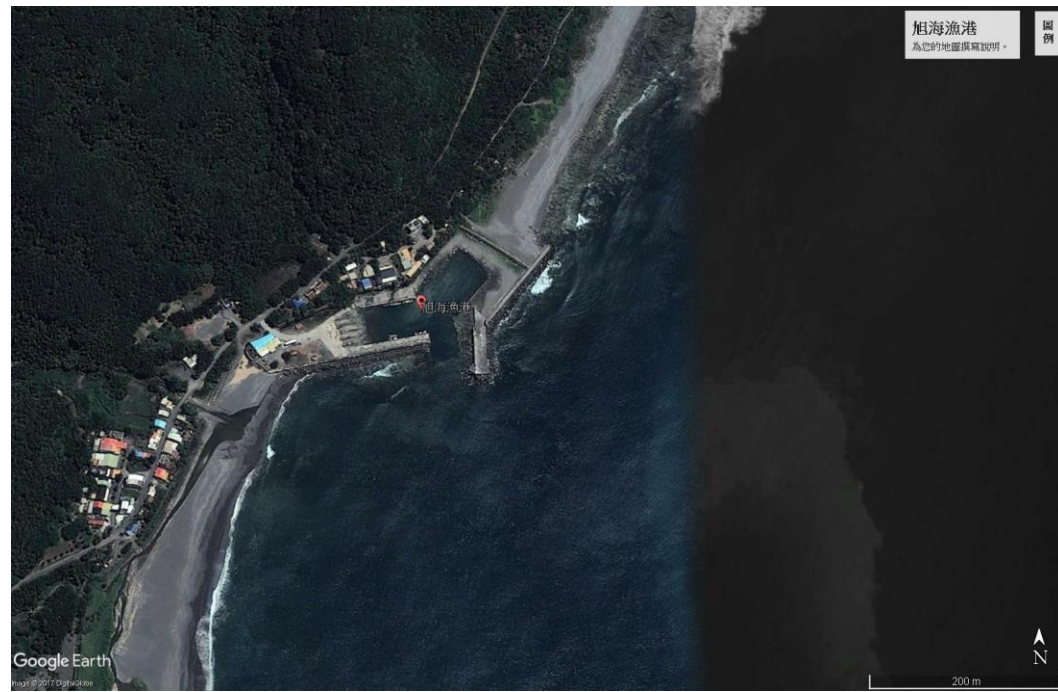


大武漁港\_google201407\_地圖細. jpg

圖 3-43 臺灣東部臺東海岸大武漁港之毗鄰海岸(上)及港口配置(下)概況



旭海漁港\_google 地圖 201407 大. jpg



旭海漁港\_google 地圖 201401 小. jpg

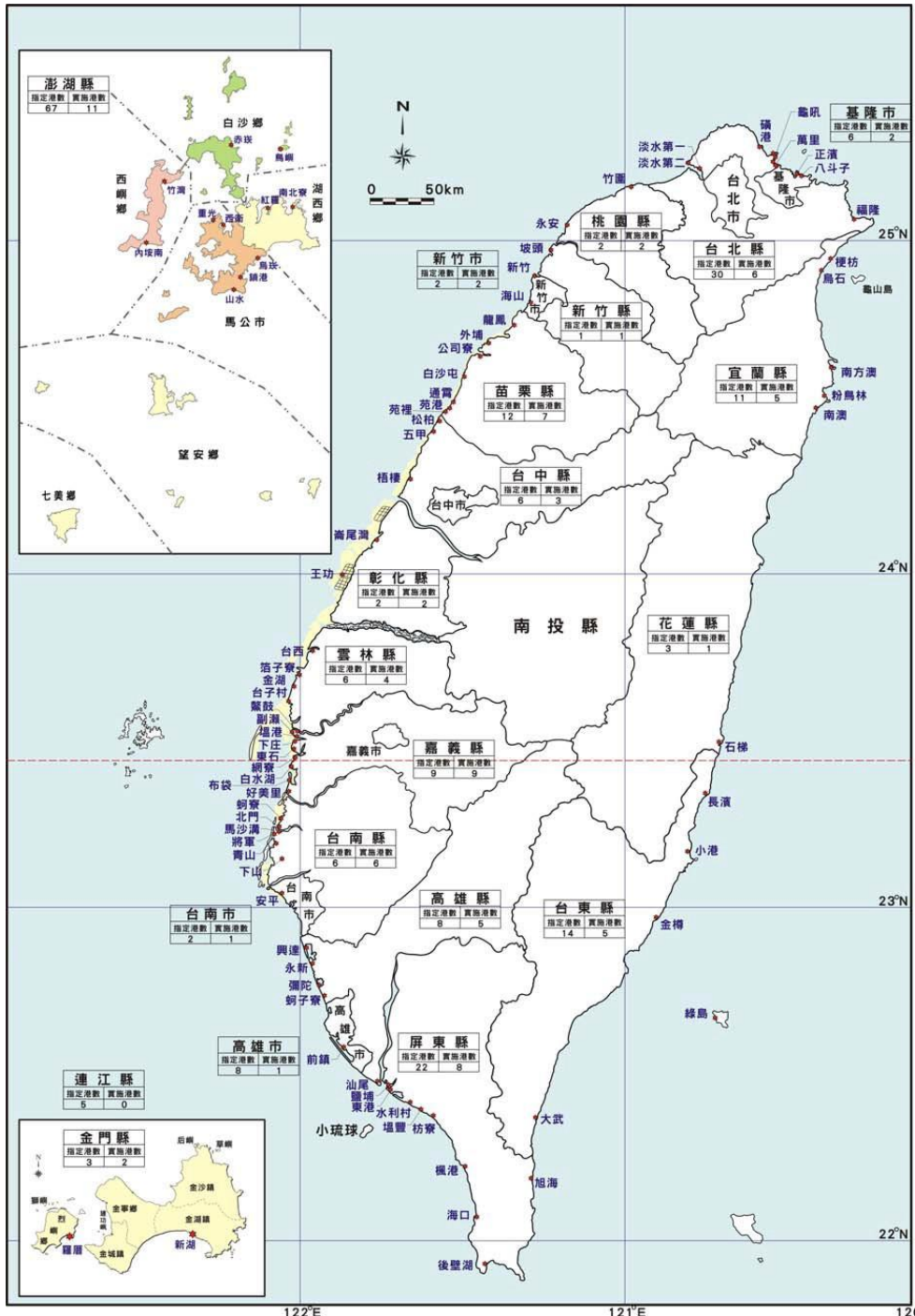
圖 3-44 臺灣東南部屏東海岸旭海漁港之毗鄰海岸(上)及港口配置(下)  
概況

### 3.2.2 近岸港口之沖淤調查

近岸港口(漁港)，其毗鄰海岸之沖蝕及港口與航道之淤積，常與港址條件、港域規模、當地海氣象環境等息息相關。臺灣環島的近岸港口(漁港)，自1980年起歷經各期漁港建設計畫，迄今相關之港口防護設施(含防波堤、離岸堤、防沙堤、導流堤、防潮堤、護岸、海堤等)、碼頭設施(含碼頭、棧橋、浮橋、繫船柱等)及水域設施(含航道、泊地、浮標、繫船浮筒等)均有所改善與提昇。惟因近岸港口規模普遍偏小，約有80%之漁港，外廓防波堤最大水深在-6公尺以內，亦即大部分皆位於碎波帶內，故極易受季風與颱風波浪及河川輸沙影響而造成港口與航道之淤塞。所以近年來，為整體落實國土保育理念，維持漁港正常作業及功能，漁業署乃逐年編列經費，加強辦理漁港清淤工程，藉以避免採行興建或延建防波堤之因應措施(農委會，2009)。

臺灣漁港航道及港口泊地之淤塞情況，隨港址條件、港域規模、及區域海氣象環境之不同而互有差異，淤塞輕微者，2~3年需辦理疏浚工程一次；而淤塞情況較為嚴重者，例如：臺灣東部臺東海岸之長濱漁港、金樽漁港與大武漁港及臺灣西北部新竹海岸之新竹漁港與西南部高雄海岸之汕尾漁港等，由於會嚴重影響漁船筏漁汛期之作業及操船安全，因此，甚至一年需疏浚2~3次。依據漁業署之統計資料，在民國94~97年間，曾辦理疏浚之漁港共69處，清淤共計97次，總疏浚經費為4億4,528萬元，平均每年約1億1,132萬元。

另外，漁業署亦曾於民國97年4月特別函請各縣市政府調查各漁港疏浚之需求，當時，經各縣市政府提報共有76處漁港，約占全國漁港數之33.3%，個別漁港之需求經費，概約在99萬元~2億2,500萬元間，疏浚經費龐大，估計共需9億1,326.5萬元。另外，統計民國98~101年應辦理疏浚之漁港，共計84處，如圖3-45所示。其中需每年疏浚漁港包括汕尾、大武及長濱等漁港，而四年中累計需疏浚二次之漁港共有南方澳、烏石、竹圍、永安、新竹...等25處。



資料來源：「海岸新生之漁港疏浚及多功能漁港開發規劃」，行政院農業委員會漁業署，2009。

圖 3-45 民國 98 至 101 年港口航道應辦理疏浚之 84 處漁港位置圖

## 第四章 近岸港口淤塞機制與毗鄰海灘沖蝕防治對策

### 4.1 近岸港口之沖淤系統與機制分析

造成海岸及港口沖淤變遷的主要機制，皆係長、短期間內近岸海域之漂沙運移沉積不平衡所導致。依據時空尺度大小之差異，一般可區分為三類：(1)大尺度變遷，如全球氣候暖化導致平均海水面上昇、地下水超抽導致地層下陷、及潮餘流長期攜運等所引起之長期性大規模海岸與近岸海域地形變化；(二)中尺度變遷，如海岸或海埔地過度開發或過當保護、港灣超限擴建利用、港灣大規模防波堤等結構物興建、與河川流域經理與砂石開採盜挖導致河流輸沙量供給增減變動等，由於區域性近岸海域漂沙之輸送平衡被阻隔破壞，以致引起近岸海域地形水深產生變化；(三)小尺度變遷，如海岸受強烈季風及颱風所引起暴潮巨浪之衝襲，以致短期內即造成海岸前灘之沖蝕(歐 等，2001)。

從控制體積與系統的觀點出發，並就臺灣東部近岸海域而論，造成近岸港口沖淤的主要影響因素，應屬中、小尺度混合的課題，且與導致海岸侵淤之原因類同(參見第3章)，主要的關鍵機制，經檢討海象環境條件(參見第2章)及近岸港口配置(參見第3章)後，綜合應包括下列三項：(1)時空變動性之暴潮巨浪作用，含季風及颱風波浪；(2)海灘坡度與碎波型態的改變，含碎波、碎波帶、平衡海灘斷面；(3)海岸防護設施及港口外廓配置型態之影響，含「突堤效應」及「離岸堤效應」等。各別詳細的機制，評估、分述如后。

#### 4.1.1 時空變動性之暴潮巨浪作用

在臺灣環島及東部海域的海氣象環境，參見第2章及由表2-7~表2-13與圖2-12~圖2-17觀察可見，季風波浪以冬季風浪較強勁。隨著氣象條件的變異，其尖峰週期，普遍約介在5~10秒間，且即使在高達10級或24.5~28.4 m/s之強烈季風作用下，最長仍不及12秒；而較大之示性波高，在臺灣北部及中西部海岸，可超過3.0公尺，最高甚至可

達 6.0 公尺，且大多發生在基隆港(參見圖 2-6 至)；在臺灣東部海岸，較大之示性波高，約介在 2.5~3.5 公尺間，且在花蓮海岸略大於蘇澳海岸(參見圖 2-8)，另外，由圖 2-12 至圖 2-14 綜合觀察可見，在冬季東北季風影響期間，由於臺灣東部之蘇澳、花蓮及臺東海域，地理條件類同，以致近海波浪特性彼此亦相近似，以臺東海域為例，冬季示性波高以 1~2 公尺為主，較大波高可達 2~5 公尺，主要波向集中在東北東(ENE)至東南東(ESE)間；而在夏季西南季風影響期間，臺灣東部花蓮與臺東海域的波浪，仍約略具有與冬季波浪相近似之波高特性，示性波高仍以 1~2 公尺為主，較大波高亦可達 2~5 公尺，惟主要波向集中於東(E)至南南東(SSE)間。至於颱風波浪，若以 10 年重現期訂為較經常遭遇之嚴峻海況，則在臺灣東部海岸，經常嚴峻之海況，示性波高將可達 8.6 公尺以上；在北部及中西部海岸，示性波高可達 7.25 公尺以上；在西南部海岸，則示性波高可達 5.81 公尺以上，而對應之尖峰週期，在波高較大時，皆約介在 12~16 秒間。此外，近岸海流之流速偏弱，參見圖 2-3，一般不及 1.0 m/s。

臺灣之近岸港口，規模普遍偏小，約有 80% 漁港之外廓防波堤最大水深在 -6 公尺以內，外加每日潮汐漲落及颱風期間暴潮位之影響，所以，在強烈季風及颱風波浪之高大波高侵襲下，大部分之近岸港口，皆位於碎波帶內，如圖 4-1 所示，致使具有時間非定常性及空間不均性之強烈季風與颱風波浪之衝擊，實際為造成海灘沖淤的主因。

#### 4.1.2 海灘坡度與碎波型態的改變

波浪自海洋生成後會因頻散(dispersion)特性而向海岸傳播行進，當其抵達近岸海域，受水深逐漸變淺之淺化效應(shoaling effects)影響，波高會逐漸增大，若波高( $H$ )相對於波長( $L$ )或水深( $h$ )達到某一極限時，波浪會因水粒子速度( $u_b$ )超越波浪能量傳播速度( $\sqrt{gh}$ ， $g$  為重力加速度)而發生碎波現象。波浪開始碎波的位置稱為碎波點(breaking point)，該點的水深稱為碎波水深(breaker depth， $h_b$ )，碎波時的波高稱

為碎波波高(breaker height,  $H_b$ )；而不同波高、週期波浪之碎波點至海岸灘線的綜合區域，稱為碎波帶(surf zone)，參見圖 1-1 及圖 1-2 所示。

近岸海域，當波浪因淺化而使水粒子速度( $u_b$ )超越波浪能量傳播速度( $\sqrt{gh_b}$ )而發生碎波後，即會逸出大量能量，致使當下之水粒子速度(流速)甚高，衝擊力極強。在一般之海灘上，若以碎波水深 $=$ 碎波波高 $=2.0$ 公尺估計，則水粒子之衝擊速度，約可達 4.43 m/s，流速遠非最強勁之海流或近岸流所可比擬，又以如此高速的流速，其不僅會對海灘產生極大的衝擊，亦會激烈擾動近岸海床，並對漂沙輸運造成極大的影響，因此，在漂沙最活躍的碎波帶內海域，波浪碎波及因而衍生之強勁衝擊速度，即應是促使近岸港口與航道淤塞及造成毗鄰海灘變遷的關鍵機制，也因此，在臺灣東部之近岸港口，由於冬、夏季較大之季風波浪均可達 2 公尺以上，參見圖 2-13，所以，在季風波浪及颱風波浪經常衝擊下，近岸港口與航道會長期性發生淤塞且需頻繁進行清淤疏浚。



圖 4-1 臺灣東部臺東海岸位於碎波帶內之近岸港口\_ 長濱漁港(左)與  
大武漁港(右)

近岸波浪是否發生碎波，一般可應用碎波指標(breaking criteria)加以判別，而指標的表示方式，通常有兩種，其一為以碎波水深( $h_b$ )、波高( $H_b$ )及波長( $L_b$ )為參數的表示式；其二為以深海波高( $H_o$ )、波長( $L_o$ )為參數的表示式。其中，對於不考慮底床坡度狀況之碎波指標，以 Miche (1944)及 McCowan (1894)所提之碎波極限公式最為常用，分別為

$$\frac{H_b}{L_p} = 0.142 \tanh \frac{2\pi h_b}{L_b} \quad \dots \dots \dots \quad (4-1)$$

但許多研究證實，碎波指標與海灘底床坡度( $\tan \beta$ )密切關聯，引用 Goda (1975) 提出之碎波指標式為

$$\frac{H_b}{L_0} = 0.17 \left\{ 1 - \exp \left[ -1.5 \frac{\pi h_b}{L_0} \left( 1 + 15 (\tan \beta)^{\frac{4}{3}} \right) \right] \right\} \dots \dots \dots \quad (4-3)$$

另外，關於碎波型態，其亦會因深海波高、週期及底床坡度不同而有所差異，通常可分成三種型態(Wiegell, 1964; Iversen, 1952)：

- (1) 溢出型碎波 (spilling breaker)：當底床坡度相當平緩，而入射波浪之尖銳度較大時，碎波之型態為溢出型。溢出型碎波係因波峰較為尖銳，水分子自波峰溢出而沿波前表面滾落；其波形幾乎仍維持如永久型波浪之對稱性。

(2) 捲浪型碎波 (plunging breaker)：此型態之碎波發生於較陡之底床，而入射波浪之尖銳度較小時。在將要碎波時，波峰之前緣先成直立面，波峰隨即向前呈捲舌狀，最後沒入波谷。捲浪型碎波，由於捲入大量空氣，捲舌過程中形成氣袋，作用於結構物時因而形成衝擊波，產生極大之作用力；此型態之碎波會產生顯著的迴流(return flow)現象，故在捲入點處之底床容易形成沙洲(bar)。

(3) 洄湧型碎波 (surging breaker)：此型態之碎波發生於入射波浪之

尖銳度較小，且底床很陡時，洶湧型碎波在接近海岸線時才會發生，與捲浪型碎波類似，在將要碎波時波峰之前緣先成直立面，但碎波是自直立面之跟部崩潰而起。

Galvin (1968)則提出第四種碎波型態，稱為崩潰型碎波(collapsing breaker)，其波峰前緣較低之部分呈捲曲狀，但波峰來不及呈捲舌狀即行崩潰，此型態介於捲浪型及洶湧型之間。

至於，碎波型態之判別，Battjes (1974) 曾提出以深海波高( $H_o$ )或碎波波高( $H_b$ )及海灘底床坡度( $\tan \beta$ )定義之碎波相似參數 $\xi_o$ 與 $\xi_b$  (surf similarity parameter)：

碎波型態與碎波相似參數之關聯，如表 4-1 所示。

表 4-1 碎波型態之判別

資料來源：「海岸工程學」，郭一羽，2001。

碎波型態	碎波相似參數 $\xi_o$	碎波相似參數 $\xi_b$
溢出型碎波	$\xi_o < 0.46$	$\xi_b < 0.4$
捲浪型碎波	$0.46 < \xi_o < 3.3$	$0.4 < \xi_b < 2.0$
洶湧型碎波	$\xi_o > 3.3$	$\xi_b > 2.0$

以冬、夏季較強勁季風期間之深海示性波高  $H_o=3.0$  公尺；尖峰週期  $T_o=10$  秒為例，為綜合評估碎波型態及碎波帶內波浪驚人的流速與衝擊力(一波浪週期之最大值!)，在臺灣東部海岸，若海灘坡度  $\tan \beta=1/10$ ；則估算碎波相似參數  $\xi_o=0.721$ ，碎波型態歸屬為捲浪型，可推動沿斜坡海灘移動之卵石(比重  $\gamma_s=2.65$  ton/m<sup>3</sup>；面積  $A_s=4\pi R^2$ )，依據衝擊流之拖曳力公式： $F_D=C_D A_s \rho V^2$ ，取  $C_D=0.0016$ ， $V \approx \sqrt{gH_b}$  進行估算，可得直徑( $D=\frac{C_D \times 6 \times H_b}{(\frac{\gamma_s}{\gamma_w}-1) \times \tan \beta}$ )約可達 17.4 公分，重量約 7.1 公斤，這與造成臺灣東

部大武漁港及長濱漁港港口淤塞之大粒徑卵石，如圖 4-2 所示，甚符合！再以  $\tan \beta = 1/40$  為例，若採用與上列相同之深海波浪條件，則估算碎波相似參數  $\xi_0 = 0.180$ ，碎波型態歸屬為溢出型，儘管如此，波浪可推動沿海灘底床移動之圓卵石，最大直徑約 69.8 公分，重量可約達 472 公斤。



圖 4-2 臺灣東部大武漁港北灘(左)及港口淤塞(右)之灘面大粒徑卵石

另外，倘若深海波浪具有定常性，則海灘斷面在波浪衝擊下，將呈現平衡之狀態，稱為平衡海灘斷面(equilibrium beach profile)。圖 4-3 為 Sunamura & Horikawa (1974)根據試驗結果將一般平衡海灘斷面形狀，依其性質分為三種型式：型一或 type A 為暴風海灘 (storm beach) 或冬季海灘(winter beach)；型二或 type B 為中間型海灘；型三或 type C 為正常海灘 (normal beach)或夏季海灘 (summer beach)。其中，正常海灘之漂沙以向岸為優勢方向，沙粒被推移至前灘成平台；而暴風海灘則呈現侵蝕狀，灘線向內陸退縮，而漂沙向海側移動，且於遠灘區形成沿岸沙洲。有關平衡海灘斷面幾何形狀之研究，Sunamura (1984) 曾提出如下應用前灘坡度預測之經驗模式：

式中， $\tan \beta_f$  為前灘坡度， $g$  為動力加速度， $T$  為波浪週期， $H_b$  為碎波波高， $D$  則為底質之粒徑，一般以中值粒徑( $D_{50}$ )為代表。

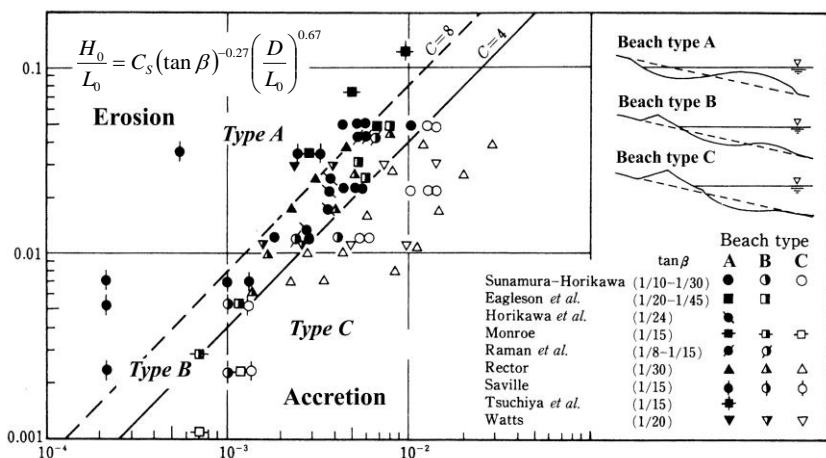
觀察式(4-6)可知，前灘坡度與底質粒徑成正比，亦即底質粒徑愈粗，則海灘之前灘坡度愈陡；反之則海灘坡度較緩。據此可推論臺灣東部海岸底質粒徑較西部海岸為粗，故一般東部海岸前灘坡度較西部坡度海岸為陡。再依據美國東西部海岸之實測平衡海灘斷面數據可見，海灘坡度與中值粒徑(median diameter)亦具有如下之正比關係。

$$\left. \begin{array}{l} \text{型一 : } \frac{H_0}{L_0} \geq 8(\tan \beta)^{-0.27} \left( \frac{D}{L_0} \right)^{0.27} \\ \text{型二 : } 4(\tan \beta)^{-0.27} \left( \frac{D}{L_0} \right)^{0.67} \leq \frac{H_0}{L_0} \leq 8(\tan \beta)^{-0.27} \left( \frac{D}{L_0} \right)^{0.67} \\ \text{型三 : } \frac{H_0}{L_0} \leq 4(\tan \beta)^{-0.27} \left( \frac{D}{L_0} \right)^{0.67} \end{array} \right\} \quad (4-7)$$

綜合觀察式(4-1)至式(4-7)之碎波指標、式(4-4)與式(4-5)之碎波型態判別式、以及式(4-6)與式(4-7)之平衡海灘斷面類型判別式可知，近岸海域之地形水深及近岸港口之沖淤變化，實際與碎波帶內由波浪強勁衝擊流(近岸流)所引致之輸沙特性息息相關，尤其會受時空具非定常性且非均勻性波浪及海灘坡度之交互作用影響而變動，如圖 4-1 及圖 4-4 所示。只是在探討臺灣近岸港口之沖淤特性與變化機制及從事近岸港口配置新造、擴建及防護措施改善時，變動的海灘坡度及碎波資訊，由於調查不易，以致經常被忽略。

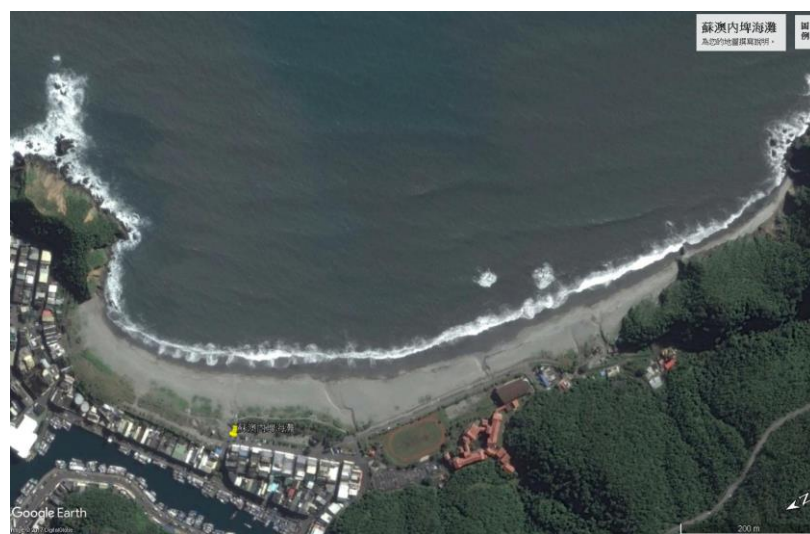
海灘地形變遷及海灘坡度的變化，與近岸波浪碎波及伴隨衍生強勁衝擊流(近岸流)對漂沙礫石之輸送移運息息相關(Environment Agency, 2010；郭，1988)。而因波浪碎波所伴隨衍生衝擊流之強弱，不僅與碎波時波峯水粒子所直接造成之強大衝擊流相關，尚與碎波在近岸海灘上保持波動持續前進之剩餘動量(excess moment flux)或輻射應力(radiation stress)具有密切的關聯(Longuet-Higgins & Stewart, 1964；Longuet-Higgins, 1970)。惟因近岸碎波帶內具有最險峻的波況與最複雜的流況，欲準確量測及掌握波、流特性極具困難度，因此，在漂沙最活躍的近岸灘區，通常缺少強勁之波浪衝擊流資訊。

現況，臺灣近岸海域的海流，由於量測點位大多位在碎波帶外，故實測流速普遍偏弱，參見圖 2-21，一般不及 1.0 m/s，最強不過 1.5 m/s，相較於碎波波高僅約 2m 所衍生之強勁波浪衝擊流速( $\sqrt{g H_b} \approx 4.4$  m/s)甚微弱，因此，探討臺灣近岸港口之淤塞機制與毗鄰海灘之沖淤特性，最主要的趨動力，仍應著重於具時、空非定常性與不均勻性之強季風與颱風波浪的直接衝擊，特別是波高大於 2m 之海況(參見圖 2-12 至圖 2-14)。



資料依據：Sunamura & Horikawa, 1974；資料來源：「海岸工程學」，郭一羽，2001。

圖 4-3 近岸波浪、海灘坡度、底床質及平衡海灘斷面型態分類



蘇澳內埠海灘\_google20161226\_地圖中.jpg

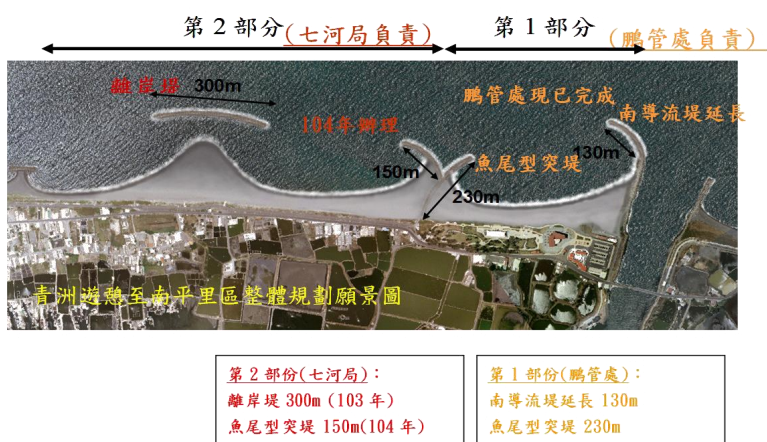
圖 4-4 受時空變動性海灘坡度及波浪衝擊交互作用影響下的海灘

#### 4.1.3 海岸防護設施及近岸港口外廓配置型態之影響

臺灣環島海岸，通常包括有防波堤、離岸堤、防沙堤、導流堤、防潮堤、海堤、護岸及人工岬灣等人工防護設施，如圖 4-5 所示。而座落在近岸之港口(漁港)，基於經濟規模，港口航道之水深皆甚淺，80% 外廓防波堤之最大水深不及 -6 公尺，港口普遍居處在漂沙最活躍的碎波帶內，又為防護冬、夏季季風及颱風波浪之侵襲，增進港域泊地的靜穩度，在臺灣西部海岸之近岸港口，外廓防波堤配置，大多具有單突堤或雙突堤(II、リ、ソ)型態，如圖 4-6 所示；而在臺灣南部、北部及東部海岸之近岸港口，外廓防波堤配置則大多具有側 L 形(凸、凹、匚、コ)之離岸堤及突堤複合型態，如圖 4-7 所示。

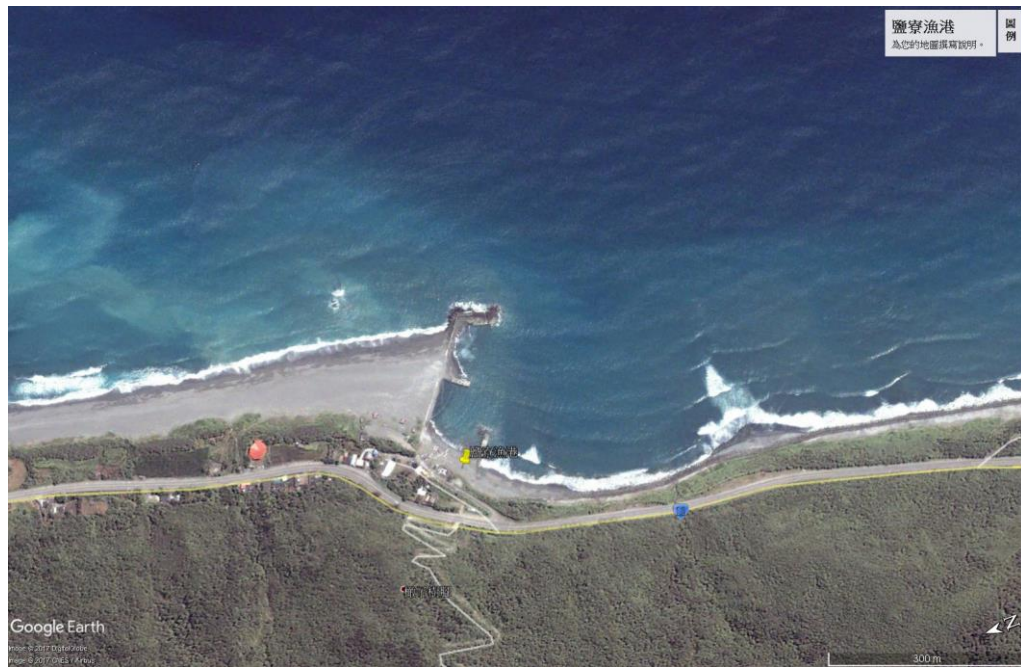


屏東大鵬灣海岸\_google 細平\_港口\_20190105.jpg



規劃建置：第七河川局（2011），「大鵬灣至南平里海堤人工養灘及環境營造」

圖 4-5 臺灣環島海岸通常構建配置之人工防護設施

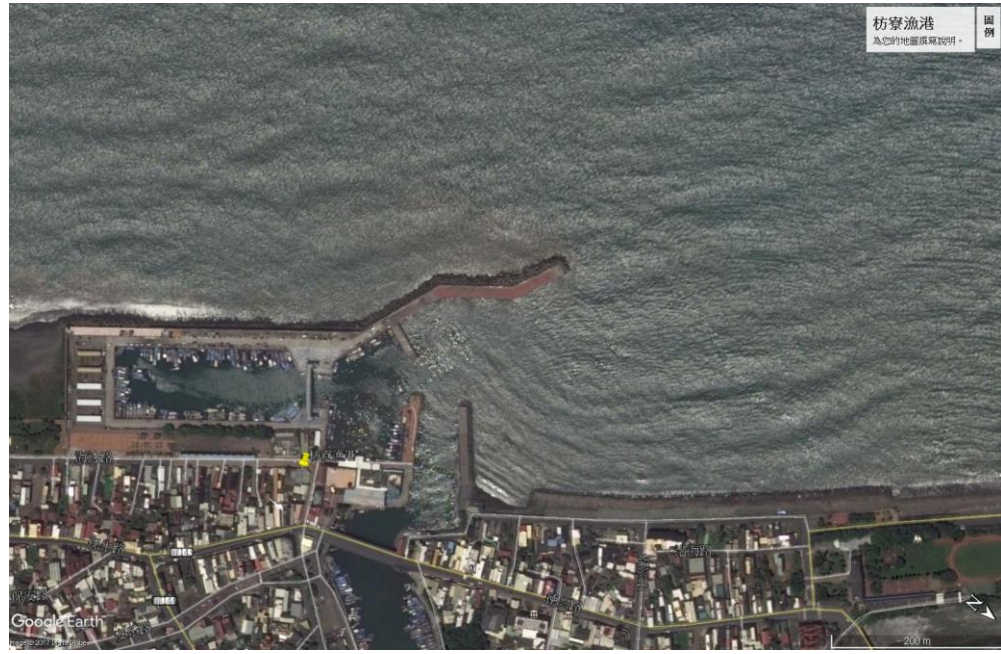


鹽寮漁港\_google 地圖 20130423 平小.jpg



苗栗外埔後龍漁港\_google 地圖 20151107 平小\_突堤效應.jpg

圖 4-6 臺灣東部海岸花蓮鹽寮漁港(上)及中部海岸苗栗外埔後龍漁港  
(下)之單突堤及雙突堤型態外廓防波堤配置

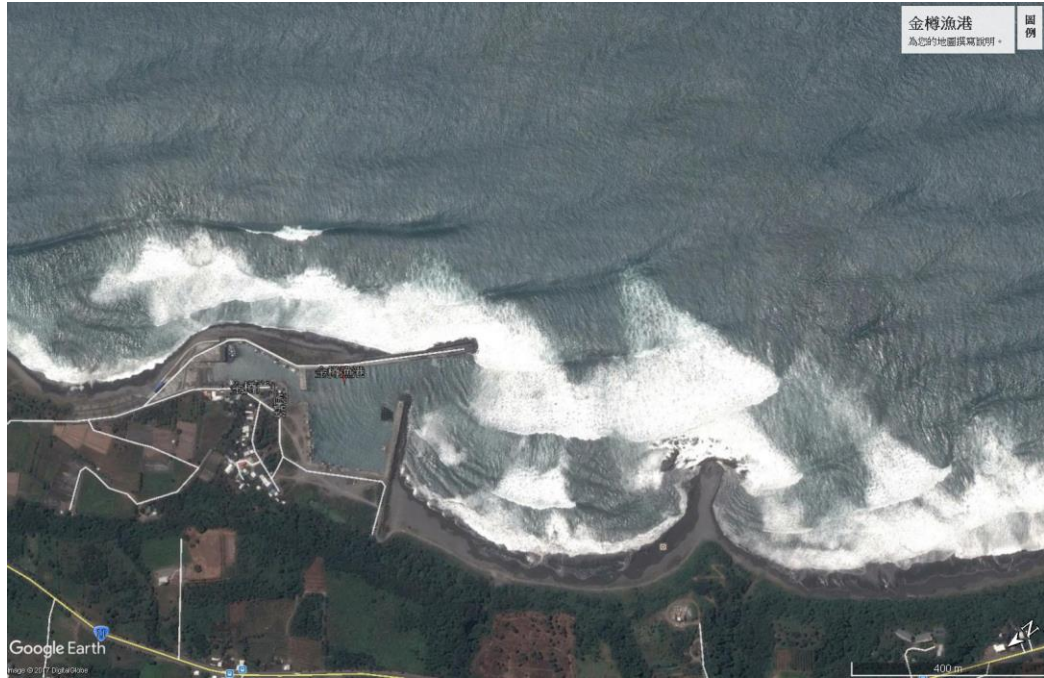


枋寮漁港\_google 地圖\_平小\_突堤效應. jpg



臺東長濱漁港\_離岸堤效應 google 地圖 20150618 平小. jpg

圖 4-7 臺灣南部屏東海岸枋寮漁港(上)及東部臺東海岸長濱漁港(下)港口複合兼具離岸堤與突堤效能之側 L 型態外廓防波堤配置



金樽漁港\_google20140707\_地圖平.jpg



大武漁港\_突堤\_離岸堤效應 google 地圖 20111020 平小.jpg

圖 4-7(續) 臺灣東部臺東海岸金樽漁港(上)及大武漁港(下)港口複合兼具突堤與離岸堤效能之側L型態外廓防波堤配置

突堤(groins)，係為突出於海岸灘線之防浪或阻沙結構物，常用於海岸地形變遷控制及海灘侵蝕防護。依其機能之不同，一般可分為(1)不透過堤與透過堤；(2)高堤與低堤；及(3)固定式與調節式等三類。其中，透過堤或低堤具有反射波小、堤趾沖刷小、及漂沙可補注輸送至下游側以減少侵蝕等優點。使用材料有拋石、消波塊、板樁等。

突堤的平面型式包括：I型、T型、倒L型與側Z型等，如圖 4-8 所示，圖中，T型突堤為在突堤型突堤之前端加一橫堤，此種功能類似離岸堤，可藉橫堤後的中央位置發揮堆沙效果；倒L型與側Z型突堤之橫堤作用，則與T型突堤相同。

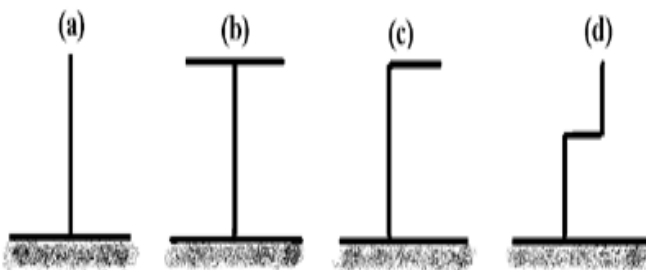
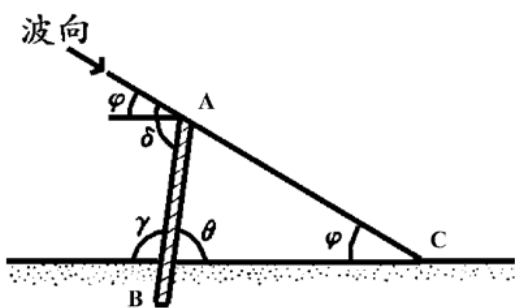


圖 4-8 突堤的平面型式(a)突堤型(b)T型(c)倒L型(d)側Z型

突堤配置一般與灘線垂直，但若主要波向固定，則應依波向選擇具最佳防浪阻沙效果之方向。據永井(1955)之試驗，為減小突堤受波浪之直接衝擊力，並降低突堤對下游側海灘沖蝕之影響範圍，入射波向與防沙堤之交角 $\delta$ ，參見圖 4-9，以 $100^\circ \sim 110^\circ$ 時較適當； $120^\circ$ 以上則不佳。以臺灣東部海岸設置突堤為例，若東北季風波浪與灘線之交角 $\varphi$ ，最小可達 $30^\circ$ ，則突堤與灘線之交角 $\theta$ ，最大約為 $80^\circ$ 度，即不應與灘線相互垂直。至於突堤之長度，係以其水中之長度作衡量，並以灘線至碎波點距離之 $40\% \sim 60\%$ 為最佳，主要目的，在促成沿岸輸沙可適度跨越(bypass)突堤之攔阻，藉以有效降低突堤對下游側海灘沖蝕之影響範圍。至於由多突堤組成之突堤群，參見圖 3-6 所示宜蘭頭城海岸之防護設施，其長度與間隔必須視預期蓄沙量而相互配合，一般倒L型與側T型突堤之間隔，約為堤長之 $2.5 \sim 3.5$ 倍(郭，1988；郭，2001)。

在近岸海灘設置突堤後，由於其防浪阻沙效能之發揮，因此，會自然伴隨產生所謂的「突堤效應」，亦即在迎向波浪之上游側，漂沙通常會淤積，灘線會外移；而在下游側，則常會發生沖蝕，灘線會內縮，示意如圖 4-10 所示。鑑此，在近岸海灘佈建突堤或突堤群後，皆可應用「突堤效應」，據以研判近岸波浪侵襲之卓越波向及優勢之沿岸輸沙方向！

在臺灣環島海岸，實際單突堤與突堤群的配置，如圖 4-11 及圖 4-12 所示；而在近岸港口(漁港)中，諸多港口之外廓防波堤配置，實際皆具有單突堤或雙突堤之型態，參見圖 3-9~圖 3-44 及圖 4-5、圖 4-6，因此，在具變動性波向之卓越波浪作用下，基於「突堤效應」，常會導致港口航道之淤塞及毗鄰海灘之侵蝕，參見圖 4-6 及圖 4-12 所示。



資料來源：「海岸工程學」，郭一羽，2001。

圖 4-9 灘線及突堤配置與主要波向之相關性

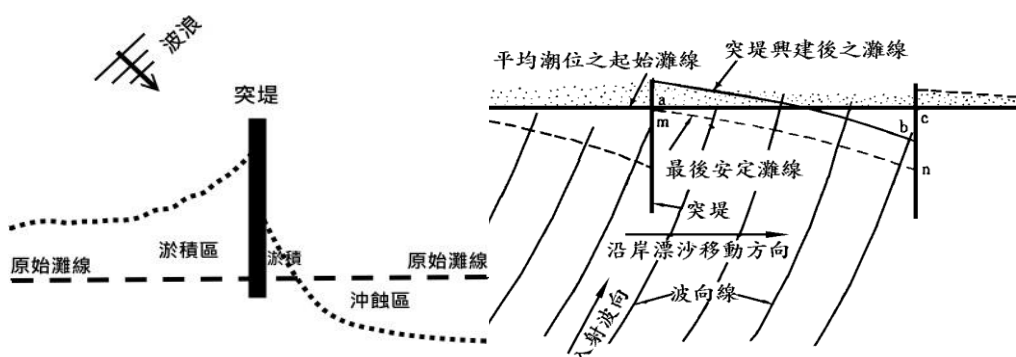
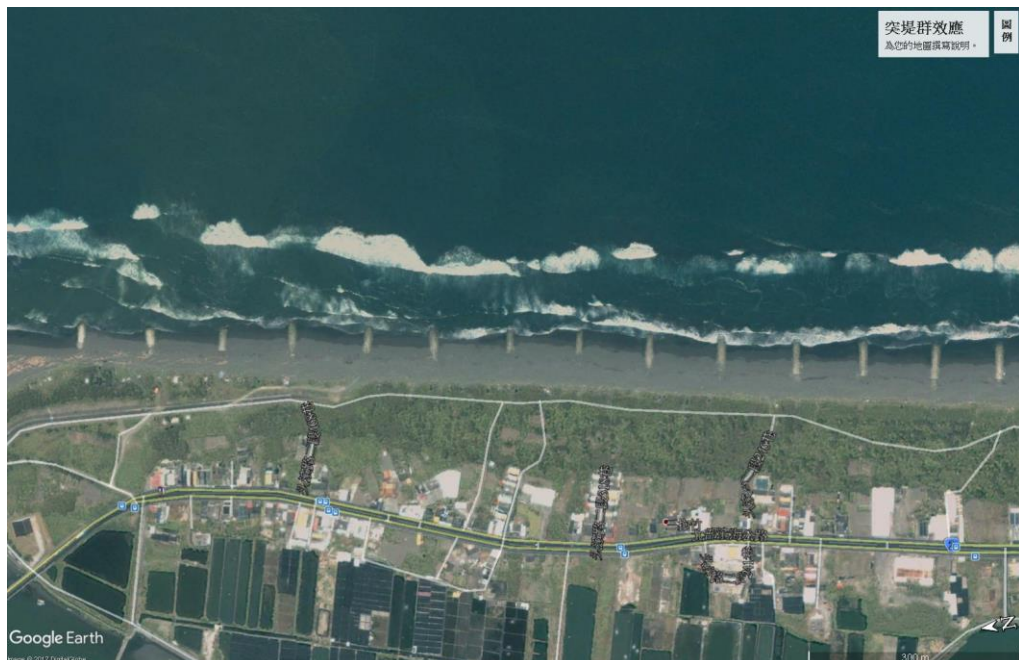
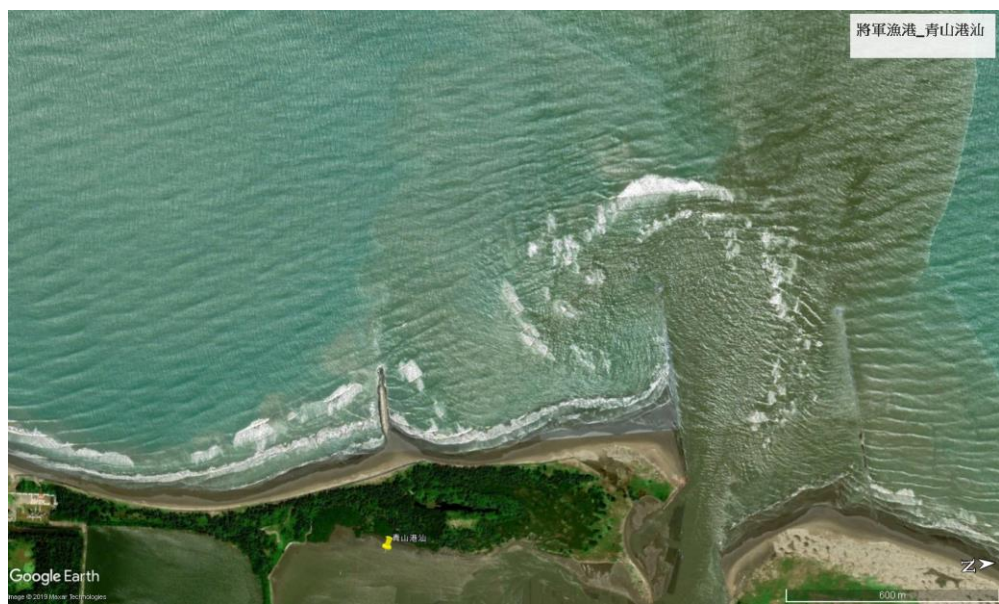


圖 4-10 在近岸海灘設置突堤後之「突堤效應」(左)及其所引致迎向波浪上游側之漂沙沉降淤積與下游側之沖蝕(右)

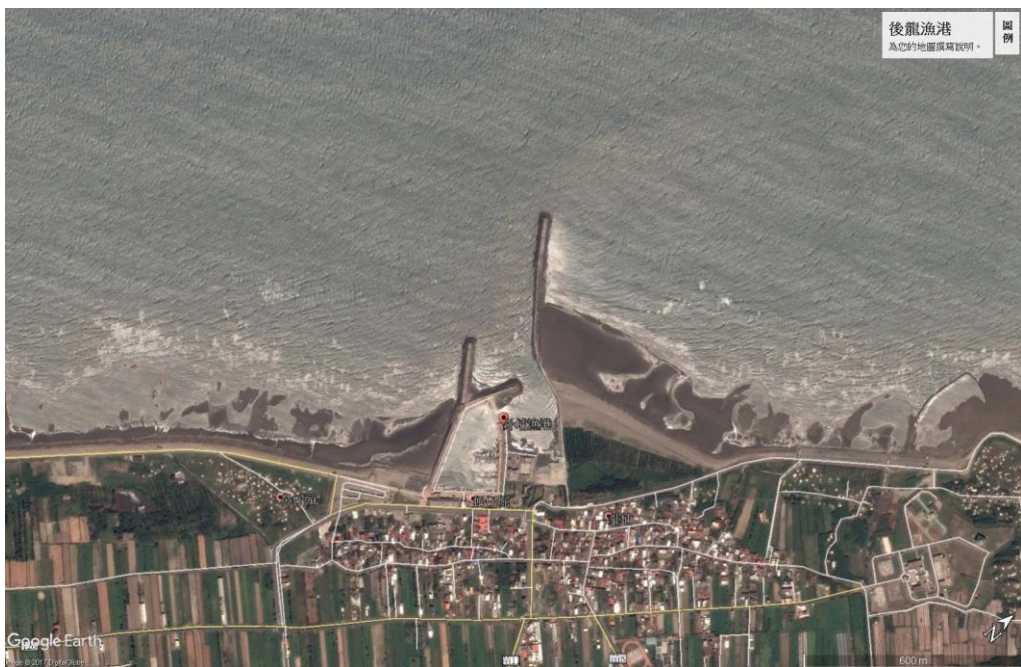


頭城海岸突堤群\_google 地圖\_碎波帶內突堤群 20020818 大平.jpg



青山港汕\_google 地圖 20141018\_突堤效應.jpg

圖 4-11 臺灣東北部宜蘭頭城海岸位在碎帶內之突堤群配置(上)及臺灣西南部臺南海岸將軍漁港青山港汕(下)在碎帶內之雙突堤及單突堤配置實況



新竹南寮漁港之港口淤塞\_2015\_1104.jpg



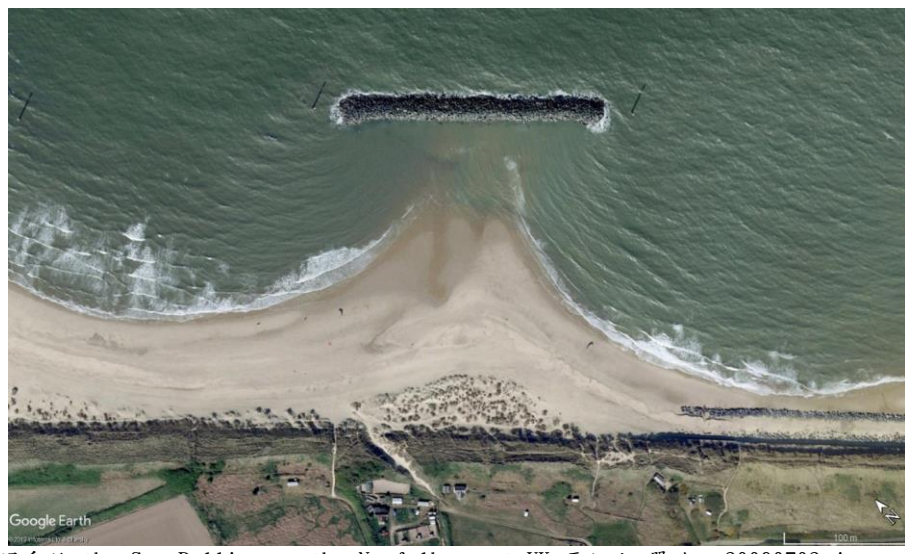
後龍漁港\_google地圖 20150725 平小\_突堤效應.jpg

圖 4-12 臺灣中西部新竹海岸南寮漁港(上)及苗栗海岸後龍漁港(下)在  
碎帶內之雙突堤配置實況

離岸堤(detached breakwater)，係為座落在內灘中的離岸防波堤，如圖 4-13 所示。主要功能在消減波浪對海灘之直接衝擊，促使漂沙在堤後堆積，藉以發揮安定海灘之功能，常應用於海灘侵蝕防護及海岸地形變遷控制。主要結構型式可分為(1)透水式及(2)不透水式二種。國內現況之建置，普遍採用透水式，設置水深，一般在 -5 m 以內；惟為海岸開發利用及景觀環境之維護，亦多有設置於水深介在 -8 至 -20 m 的案例。使用材料有拋石、消波塊、板樁、鋼筋混凝土及橡皮等。



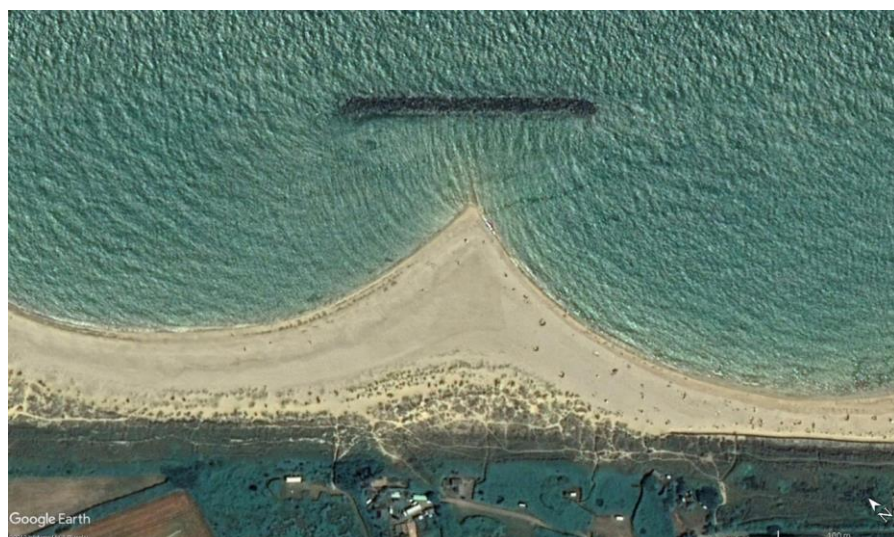
金樽漁港\_google\_20181202\_細平\_離岸堤.jpg



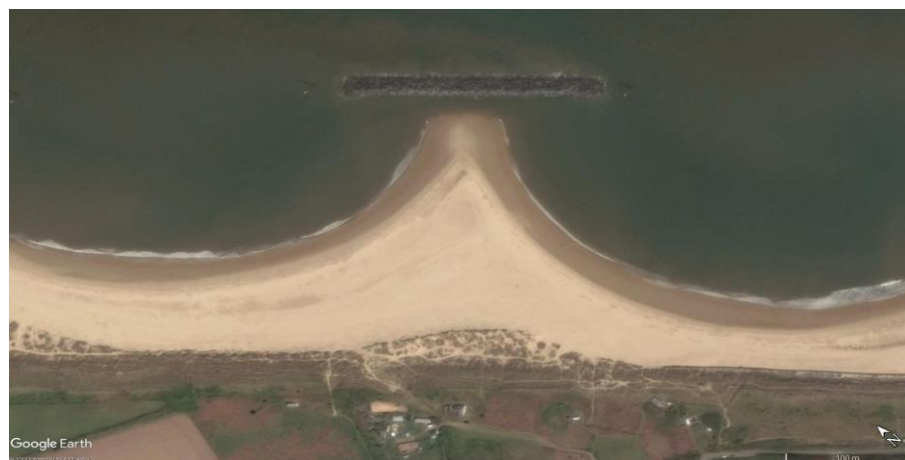
離岸堤系統\_the Sea Palling on the Norfolk coast, UK\_平細小\_單沙舌 20090702.jpg

圖 4-13 臺灣東部臺東海岸金樽陸連島及英國東部 Norfolk 郡 Sea Palling 海灘上之透水式單離岸堤配置

在內灘區建置離岸堤後，由於入射波浪受堤體遮蔽而於堤背後(下游區)形成透射區及繞射區，致使堤端兩側外與堤後的波高，具有強弱差異與高低落差，進而導致堤端外後側之下游側海灘，因波浪在沖刷帶(swash zone)上所衍生強勁上沖(runup)、下刷(rundown)衝擊流的作用而陳現沖蝕，同時，迫使被沖蝕的漂沙，向衝擊流速較弱小之堤後區集中並堆積，終至形成突出於原海灘線的沙舌(salient)，甚或是繫岸沙洲(tombolo)，如圖 4-14 所示。



離岸堤系統\_the Sea Palling on the Norfolk coast, UK\_平細小\_單沙舌 20190725.jpg



離岸堤系統\_the Sea Palling on the Norfolk coast, UK\_平細小\_單沙舌 20150504.jpg

圖 4-14 英國東部 Norfolk 縣 Sea Palling 海灘上透水式單離岸堤後之沙舌(上)及繫岸沙洲(下)

單一離岸堤建置後，參見圖 4-13 與圖 4-14，不論波浪係正向或斜向入射堤體，其堤後沙舌或繫岸沙洲堆積之幾何形狀，可定義如圖 4-15 所示。對於堤後之平衡灘線形狀，Hsu & Silvester (1990) 曾應用拋物線型岬灣經驗式(Hsu & Evans, 1989)進行預測；McCormick (1993)曾提出經驗式加以推估，且說明其與碎波相似參數( $\xi_o$ )，參見式(4-4)與式(4-5)，及與離岸堤距(X)及堤長(B)之比值  $B/X$  具密切關聯性；郭(2001)則提示其可利用人工岬灣原理或以橢圓函數予以描述。

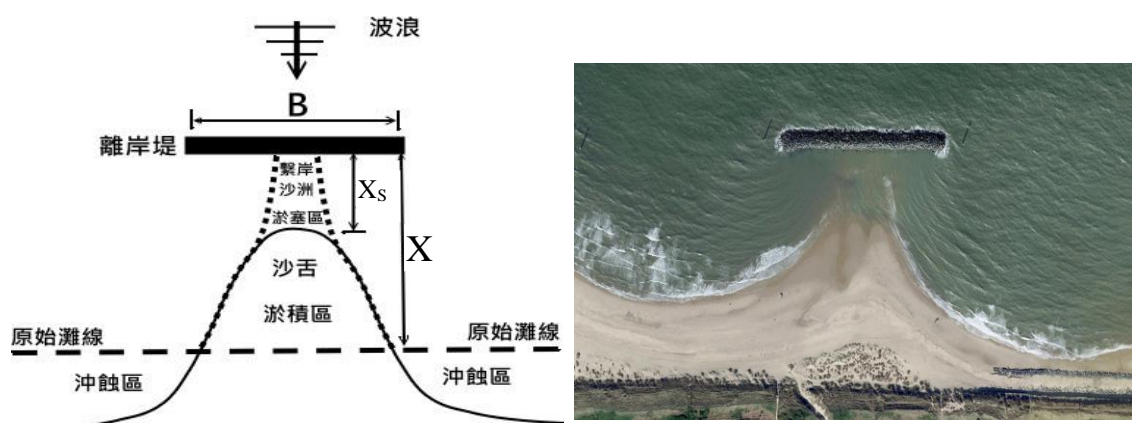
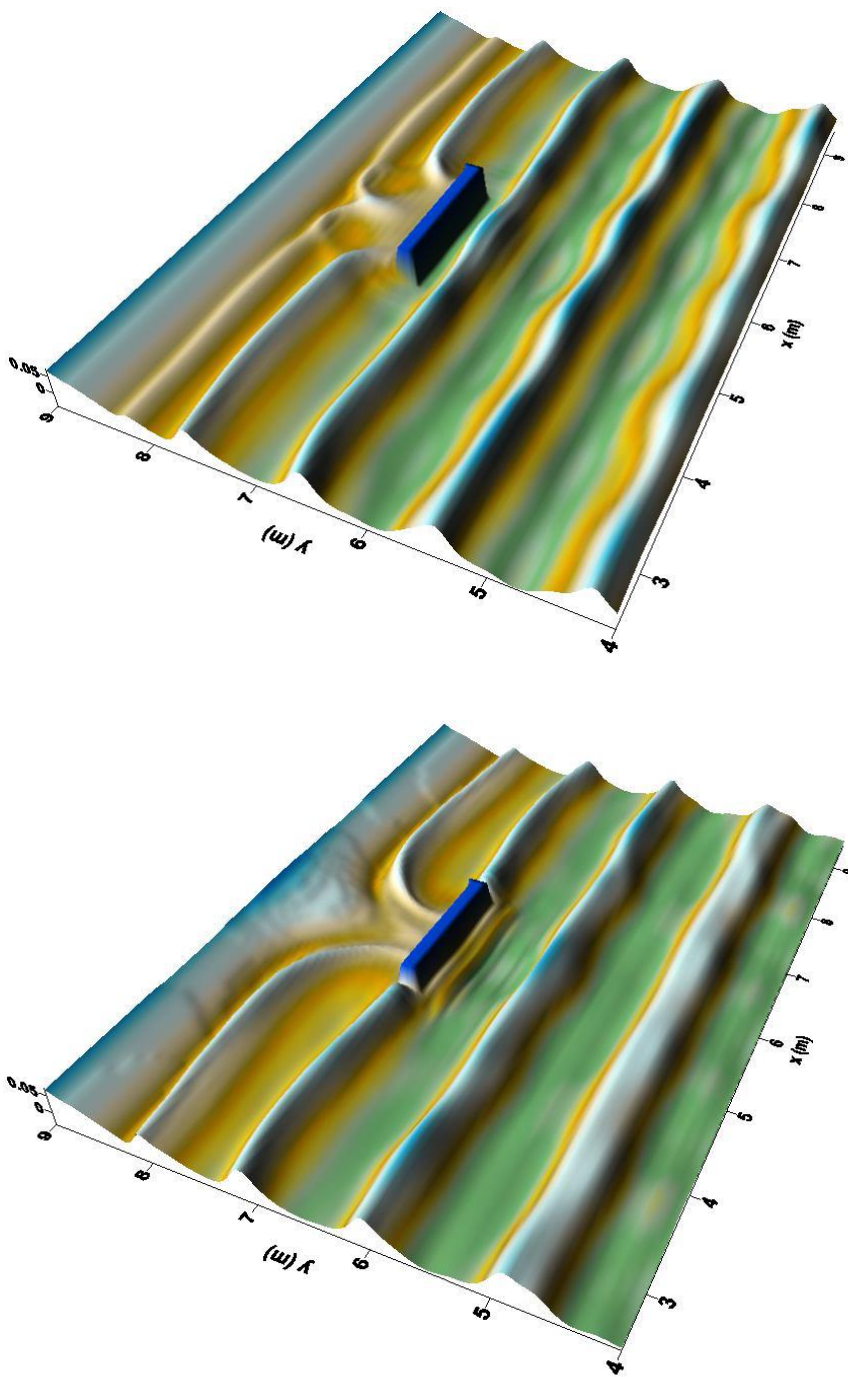


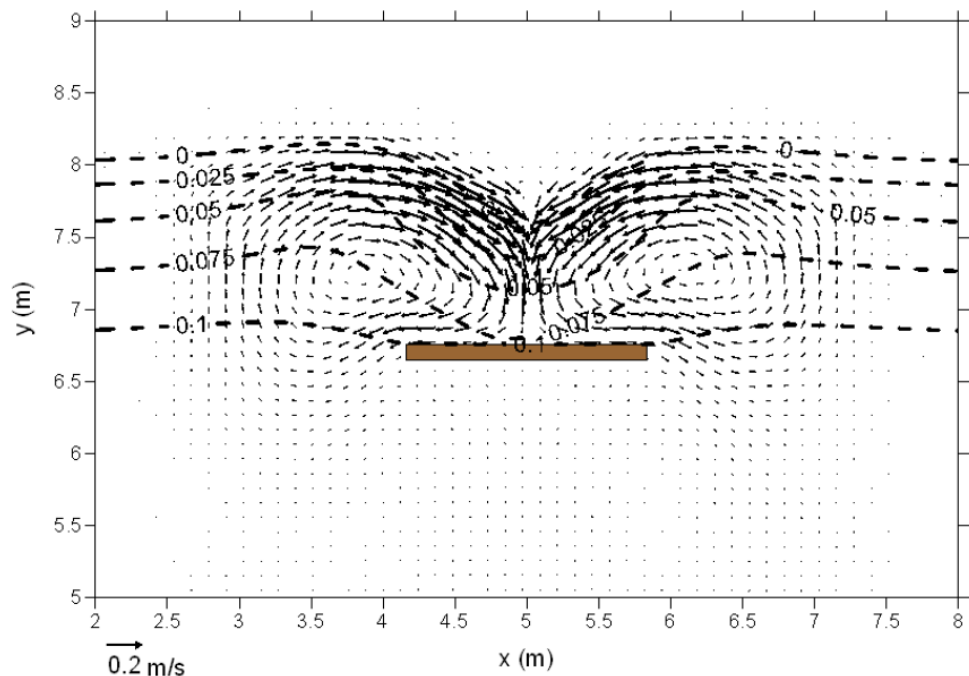
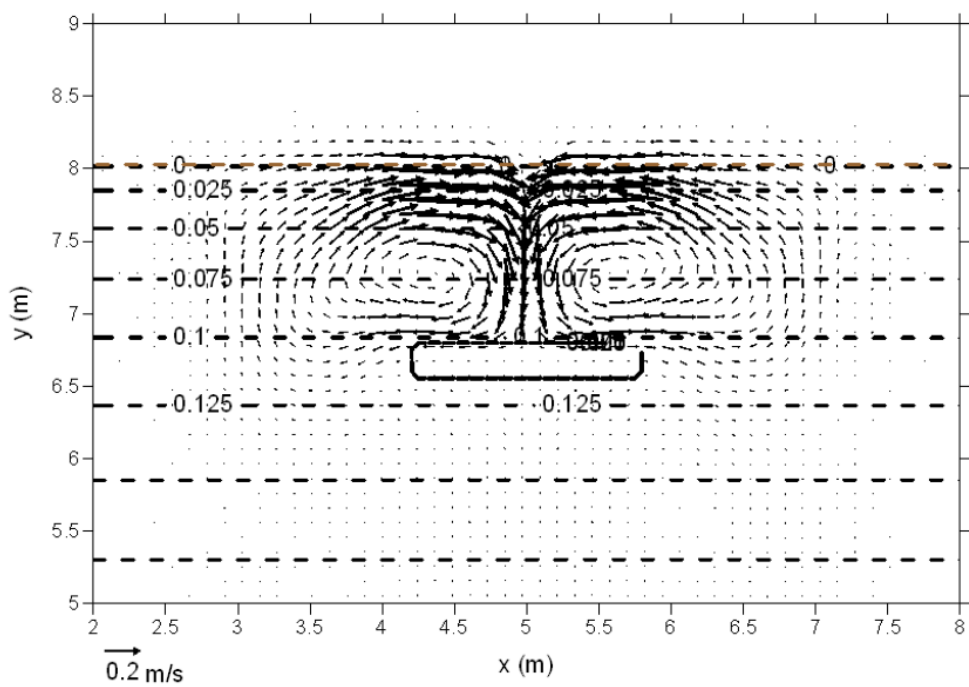
圖 4-15 在近岸海灘設置離岸堤後之「離岸堤效應」(左)及其所引致堤後之漂沙沉降淤積與堤端兩側外海灘之沖蝕(右)

至於離岸堤後之波、流場、輸沙與堤後灘線之時空演化，Karambas (2012) 曾針對近岸灘區之非線性波浪特性，應用自行研發之海灘變遷數值模式詳細作模擬計算，摘錄其部分之模擬計算結果，可得均勻坡度海灘上之離岸堤，受波浪正向入射之初始及海灘變化達穩定狀態後之波場，如圖 4-16 所示；相關初始海灘及海灘變化初期、中期與達穩定狀況後之流場與灘線變化，則摘錄如圖 4-17 所示，圖中，箭矢表示流速；虛點線為海灘等深線。至於離岸堤後最終灘線演化型態之判別，Karambas (2012) 依據其研究結果提出建議：當  $B/X > 1.2\text{--}1.3$  為繫岸沙洲 (Tombolo formation)； $0.2\text{--}0.3 < B/X < 1.2\text{--}1.3$  為沙舌 (Salient formation)；而當  $B/X < 0.2\text{--}0.3$ ，則因離岸堤長太短或離岸距太遠，對波浪之遮蔽效果有限，而使灘線變化僅陳現微小衝擊 (Minimal impact)。



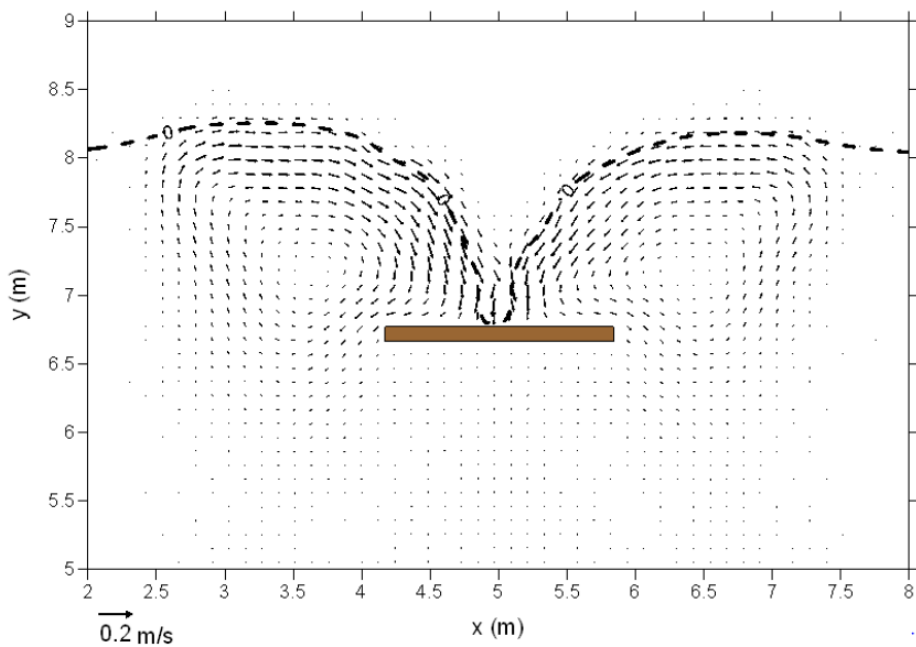
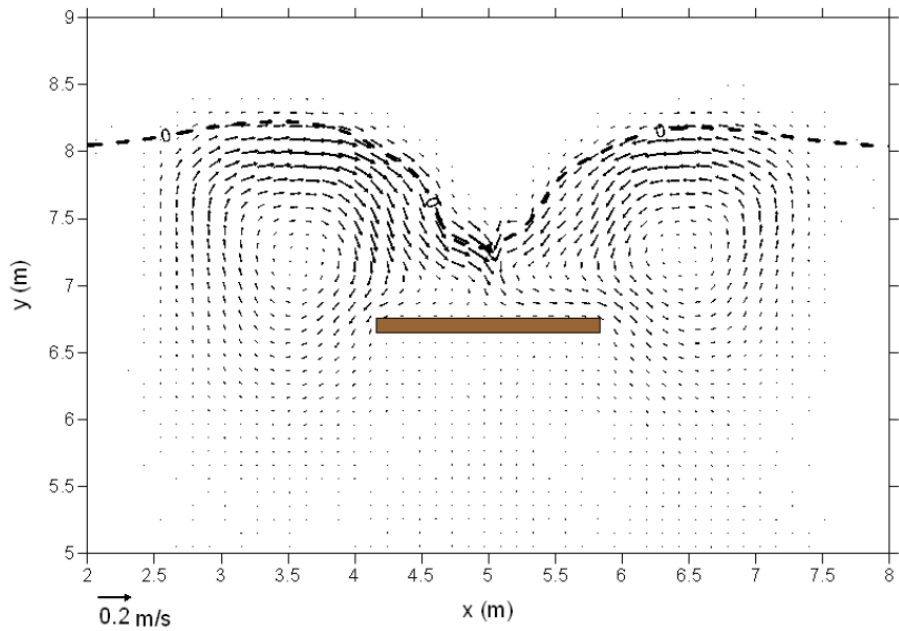
資料摘錄自：Karambas, Th. V. (2012) Design of detached breakwaters for coastal protection: Development and application of an advanced numerical model, *Coastal Engineering*.

**圖 4-16 均勻坡度海灘上之離岸堤受波浪正向入射之初始(上)及海灘變化達穩定狀態後(下)之波場**



資料摘錄自：Karambas, Th. V. (2012) Design of detached breakwaters for coastal protection: Development and application of an advanced numerical model, *Coastal Engineering*.

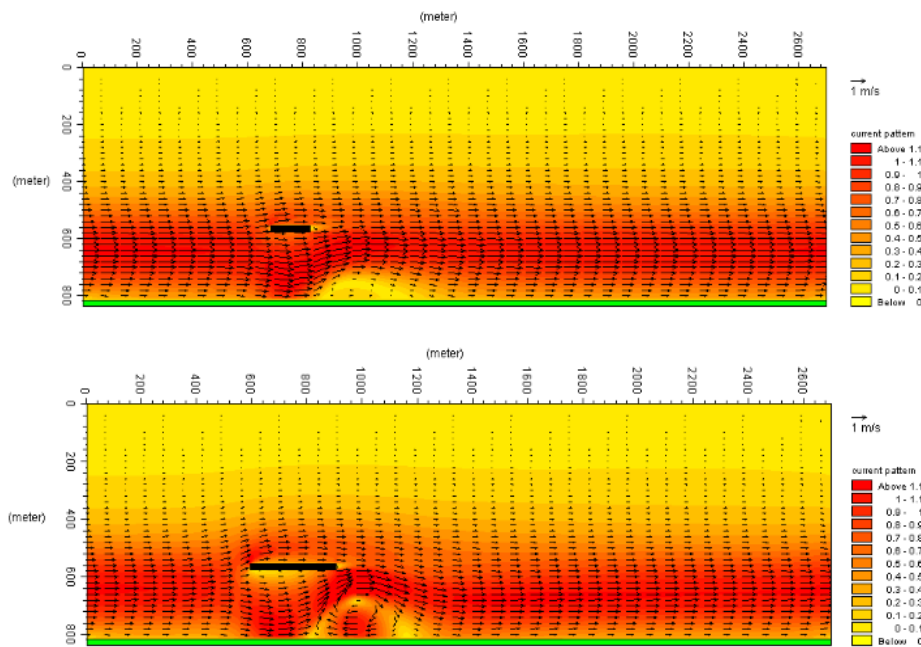
**圖 4-17 均勻坡度海灘上之離岸堤受波浪正向入射之初始(上)及海灘變化初期(下)之流場與灘線 (箭矢為流速；虛點線為海灘等深線)**



資料摘錄自：Karambas, Th. V. (2012) Design of detached breakwaters for coastal protection: Development and application of an advanced numerical model, *Coastal Engineering*.

**圖 4-17(續) 均勻坡度海灘上之離岸堤受波浪正向入射之中期(上)及海灘達穩定變化後(下)之流場與灘線 (箭矢為流速;虛點線為海灘等深線)**

另外，在均勻坡度海灘上，當波浪斜向入射離岸堤及灘線時，DHI (2017) 曾透過水動力模擬，結合波浪碎波後之輻射應力 (Longuet-Higgins & Stewart, 1964 ; Longuet-Higgins, 1970)，計算評估離岸堤長分別為 0.6 及 1.3 倍離岸距情況下之近岸流場。自其出版之海岸經理指引 (*Shoreline management guideline*) 摘錄，可得長短離岸堤鄰近之近岸流場，如圖 4-18 所示。



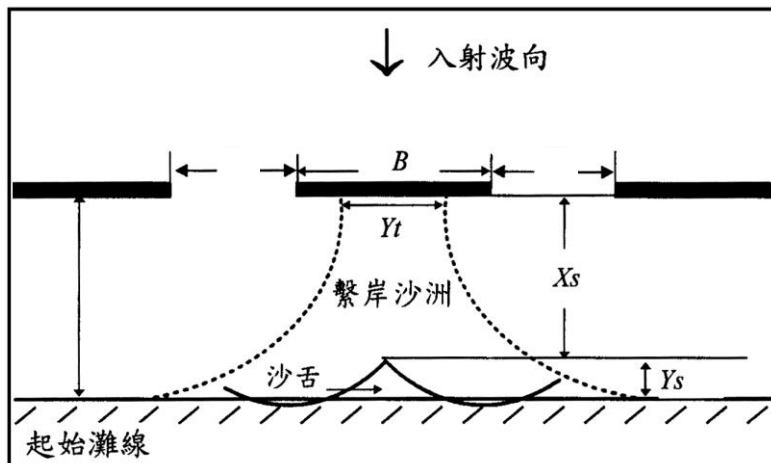
資料摘錄自：DHI (2017) Shoreline management guideline.

**圖 4-18 均勻坡度海灘上受波浪斜向入射之短(上)、長(下)離岸堤鄰近之近岸流場**

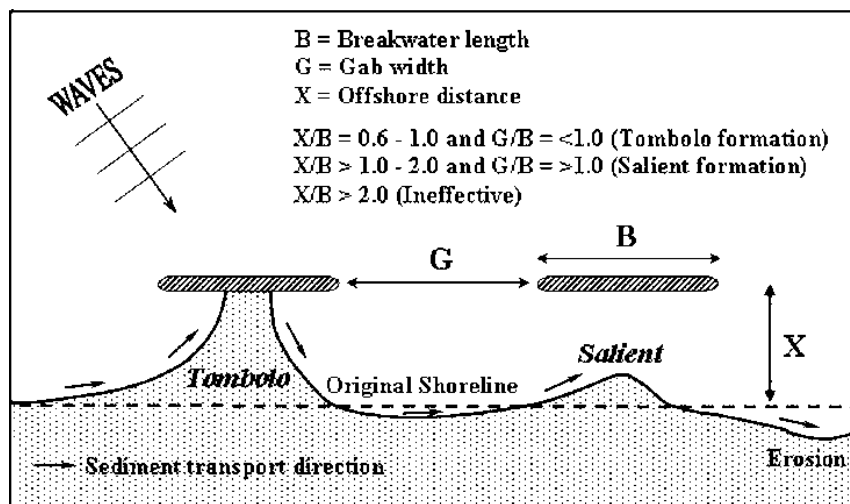
對於離岸堤群，相關堤長(B)、堤間距(G)、離岸距(X)、沙舌長度( $Y_s$ )等幾何尺寸，定義如圖 4-19 所示，部分國內、外實際建置案例之配置，如圖 4-20 所示。由圖觀察可見，對於相同海岸地區之離岸堤群，僅管配置情況與面對之海氣象條件相近似，但可能因地象條件之局部差異，因此，堤後灘線型態發展亦各不相同。可見影響堤後灘線演變之因素多且複雜，目前，可依循之規劃設計準則，尚普遍缺乏，惟透過現場實際建置案例之調查分析，由經驗方法可掌握，控制離岸堤群背後灘線型態發展及海灘地形演變之影響因素，主要包括：深海波浪尖銳度( $H_o/L_o$ )、卓越波浪入射方向( $\phi$ )、海灘坡度( $\tan \beta$ )、碎波相似參

數( $\xi_o$ )、碎波帶寬度( $X_b$ )、海灘底質之中值粒徑( $D_{50}$ )、堤長(B)、離岸距離(X)、堤間開口寬度或堤間距(G)、碎波引致之衝擊流速( $\sqrt{g H_b}$ )、潮差( $R_{tide}$ )、潮流速( $U_{tide}$ )及堤體之孔隙率 $\gamma$ 等，其通用關係可表示為

$$\frac{Y_s}{X} = f(H_0/L_0, B/X, X/X_b, \tan \beta, G/X, \sqrt{gH_b}/U_{tide}, \gamma, \dots) \dots \dots \dots \quad (4-8)$$

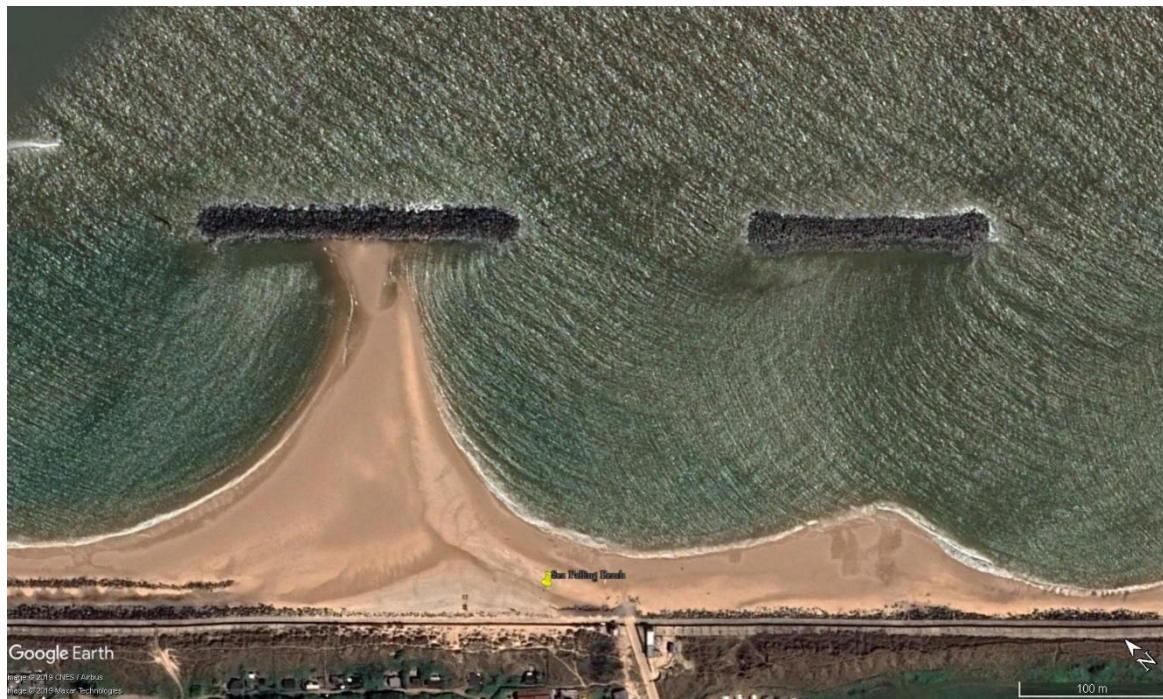


資料來源：「海岸工程學」，郭一羽，2001。

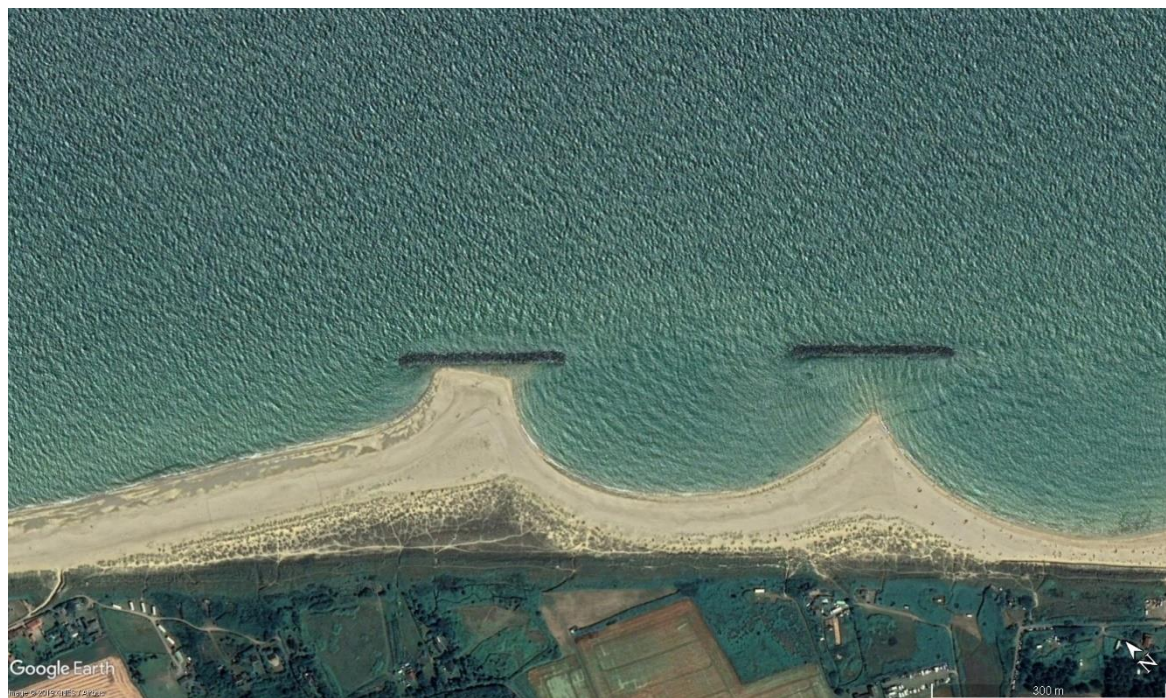


資料摘錄自：Frihy et al. (2003) Environmental impacts of Baltim and Ras El Bar shore-parallel breakwater systems on the Nile delta littoral zone, Egypt.

圖 4-19 離岸堤群配置與設計之主要控制及影響因素



離岸堤系統\_the Sea Palling on the Norfolk coast, UK\_平細小\_二堤沙洲沙舌 20190515. jpg

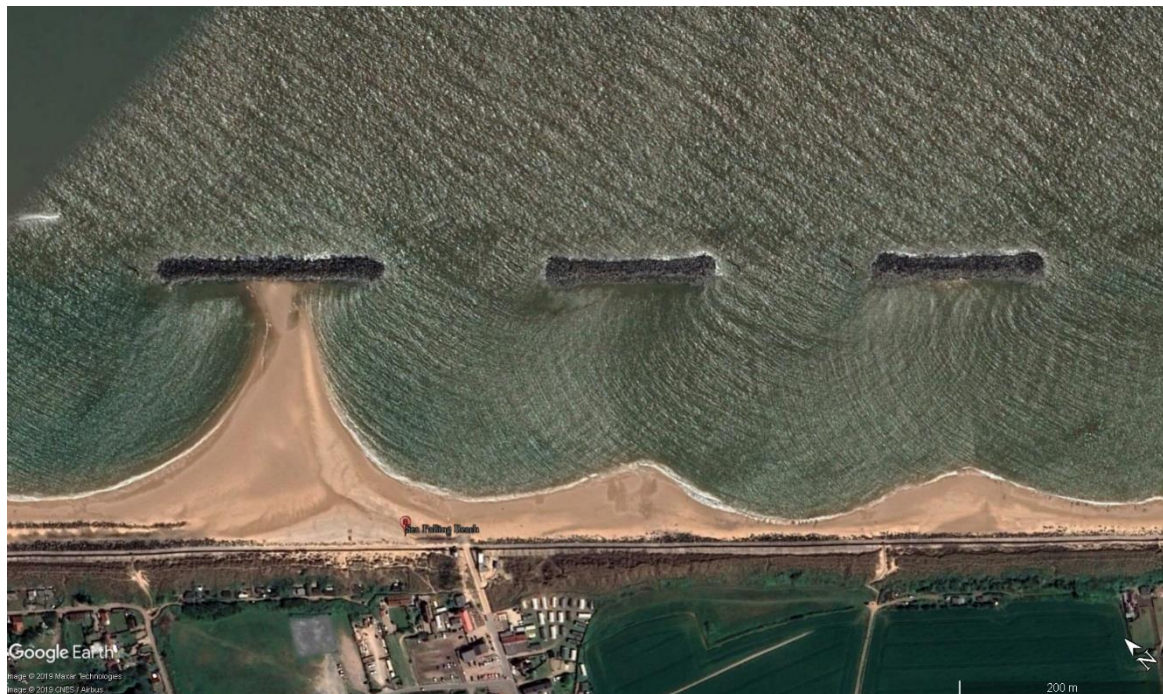


離岸堤系統\_the Sea Palling on the Norfolk coast, UK\_平細小\_雙沙舌 20190725. jpg

圖 4-20 英國東部 Norfolk 縣 Sea Palling 海灘上透水式離岸堤群後之沙舌及繫岸沙洲

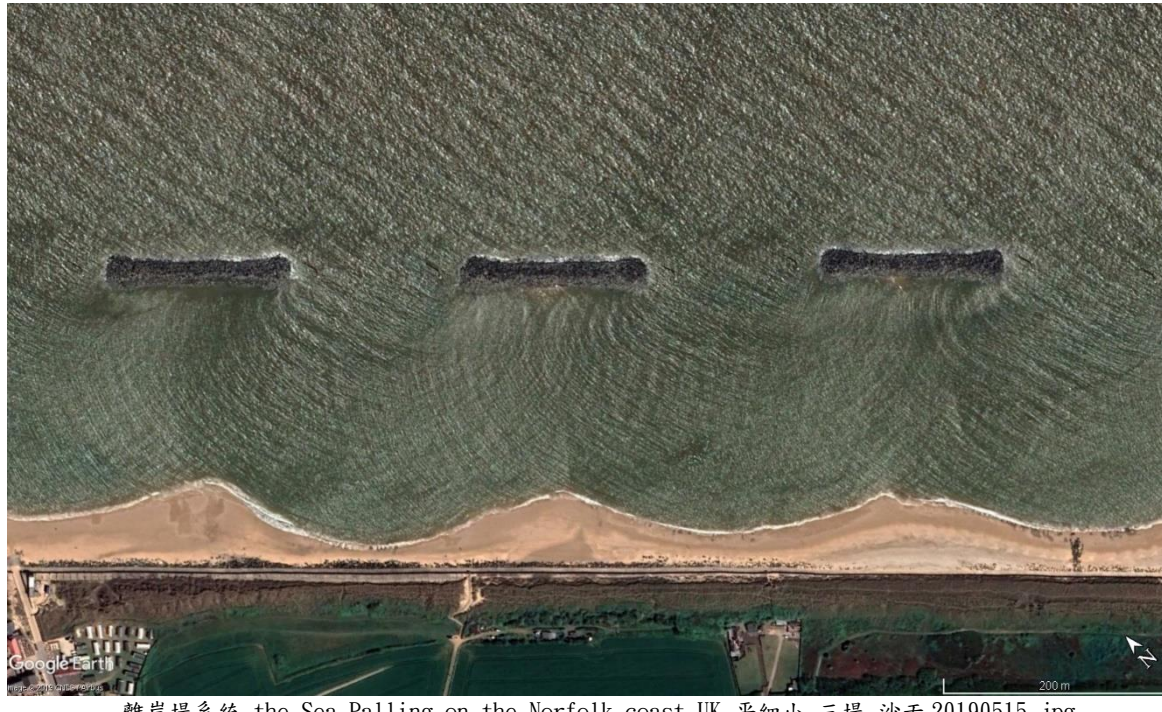


離岸堤系統\_the Sea Palling on the Norfolk coast, UK\_平細小\_雙沙舌 20090702.jpg



離岸堤系統\_the Sea Palling on the Norfolk coast, UK\_平細小 20190515.jpg

圖 4-20(續) 英國東部 Norfolk 縣 Sea Palling 海灘上透水式離岸堤群後之沙舌及繫岸沙洲

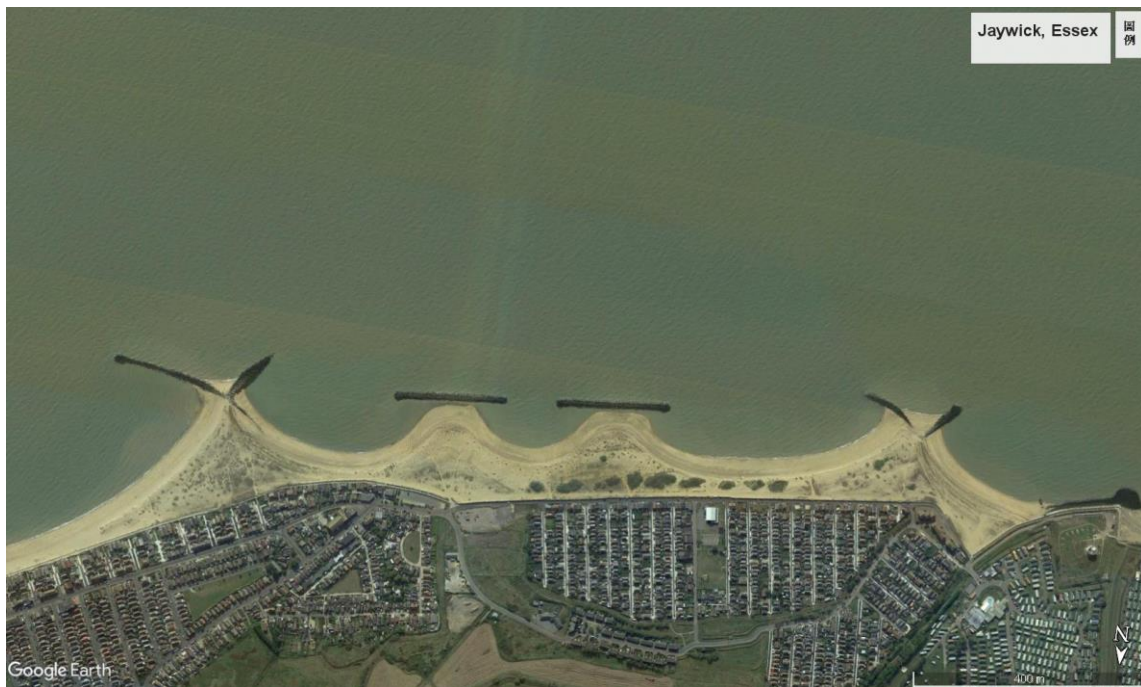


離岸堤系統\_the Sea Palling on the Norfolk coast, UK\_平細小\_三堤\_沙舌 20190515.jpg



離岸堤系統\_the Sea Palling on the Norfolk coast, UK\_平細小 20190725.jpg

圖 4-20(續) 英國東部 Norfolk 郡 Sea Palling 海灘上透水式離岸堤群後之沙舌及繫岸沙洲

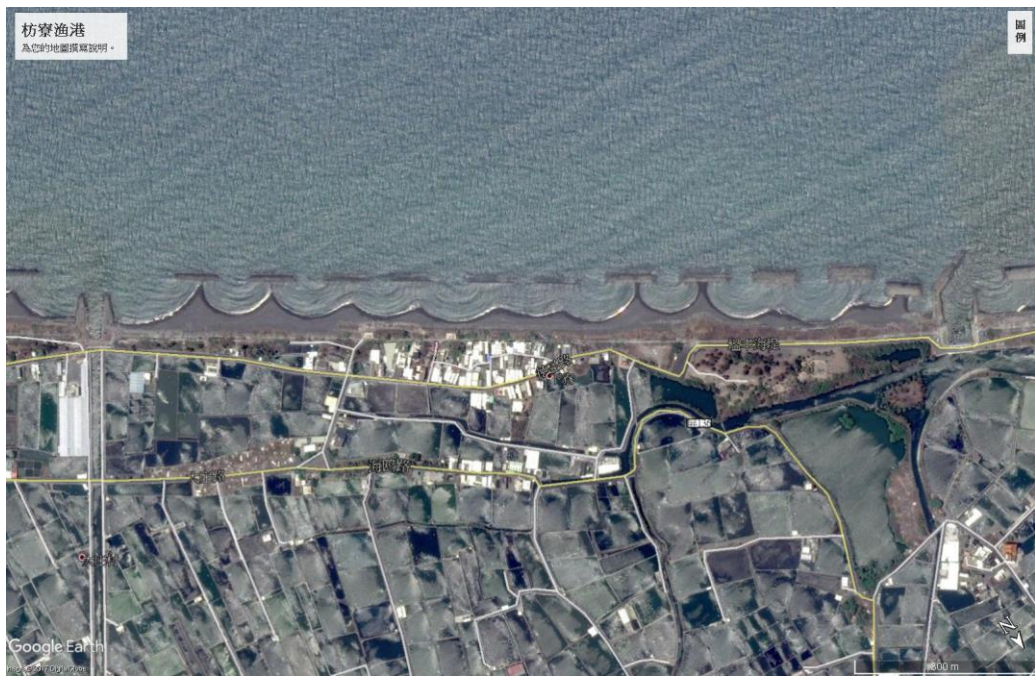


離岸漁尾堤系統\_Jaywick, Essex, UK\_平細\_201709. jpg



離岸堤系統\_the Sea Palling on the Norfolk coast, UK\_平遠大. jpg

圖 4-20(續) 英國東南部 Essex 郡 Jaywick 海灘(上)及東部 Norfolk 郡 Sea Palling 海灘上透水式離岸堤群後之沙舌及繫岸沙洲

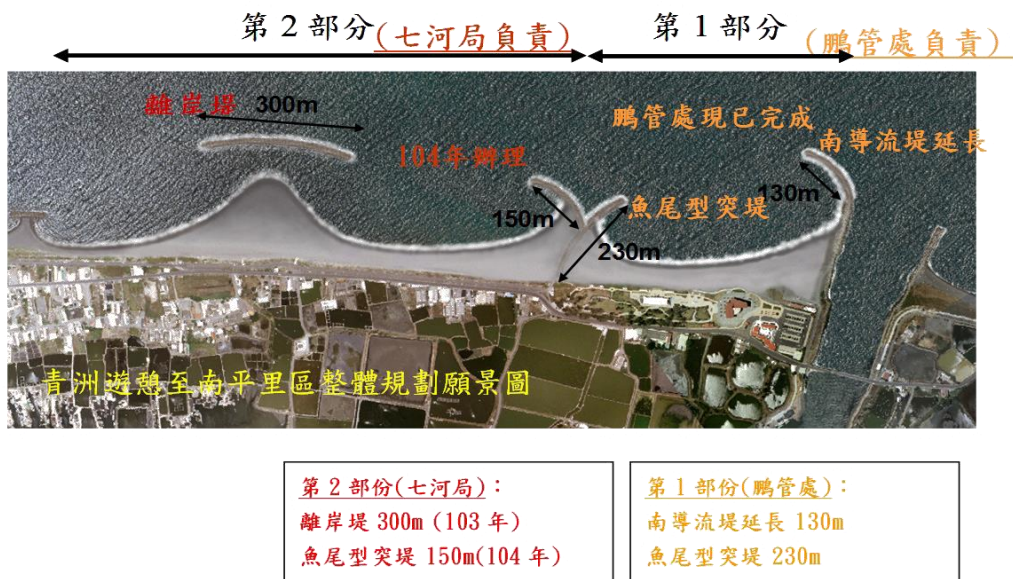


塭豐海堤\_google 地圖離岸堤群 2015 平. jpg



塭豐海堤\_google 地圖離岸堤群 2015 平小. jpg

圖 4-20(續) 臺灣西南部屏東佳冬海岸塭豐離岸堤群之實際配置與堤後的沙舌及繫岸沙洲



資料摘錄自：「大鵬灣至南平里海堤人工養灘及環境營造」，第七河川局，2010.

**圖 4-20(續) 臺灣西南部屏東青洲遊憩區海岸環境營造整體規劃建置離岸堤與魚尾型突堤及人工岬灣之海岸防護設施配置**

對於離岸堤後灘線演變型態之預判，參見圖 4-20 所示，一般而言，若僅就離岸距離(X)而論，當離岸堤設置位置離岸太近或太遠，均不易形成沙舌或繫岸沙洲，惟若將離岸堤設置於碎波帶附近，則最能使離岸堤之抗浪淤沙效能發揮。經由日本水工模型試驗結果發現，當離岸堤之離岸距離介在 40~150 公尺間，堤後通常會有寬且廣的繫岸沙洲形成，且即使在波浪條件較差之情況，堤後也能形成沙舌。

若僅就離岸堤之堤長(B)而論，由於堤長愈短，對波浪之遮蔽效果愈不佳，以致堤後淤沙的可能性亦相對降低。日本離岸堤之實置經驗認為：若離岸堤長在 50 公尺以下時，將難以形成沙舌或繫岸沙洲；而若堤長介於 50~200 公尺間，則能獲得較佳之淤沙效果(田中，1983)。

再就堤間開口寬度或堤間距(G)而論，目前尚無可據以應用在堤後達成最大攔沙量之設計準則。惟歐、許(1986)曾進行試驗研究，並提出： $G/B$  約介在 0.4~0.5 時，堤後可獲較佳之堆沙效果；而日本離岸堤之經驗則認為：若  $G/B = 0.12 \sim 0.5$ ，離岸堤背後亦有甚良好之堆沙效果(田中，1983)。

此外，對於離岸堤之堤長(B)與離岸距離(X)之綜合影響效應，在固定的深海波浪條件作用下，依據相關研究結果可知，當  $B/X > 1.9$ ，隨著離岸距離愈縮減，繫岸沙洲愈能形成；而當  $B/X < 1.9$  時，離岸距離愈遠，離岸堤背後所形成之沙舌規模愈小；當  $B/X < 0.5$  時，即在離岸距離大於堤長 2 倍的情況，則沙舌不易形成。

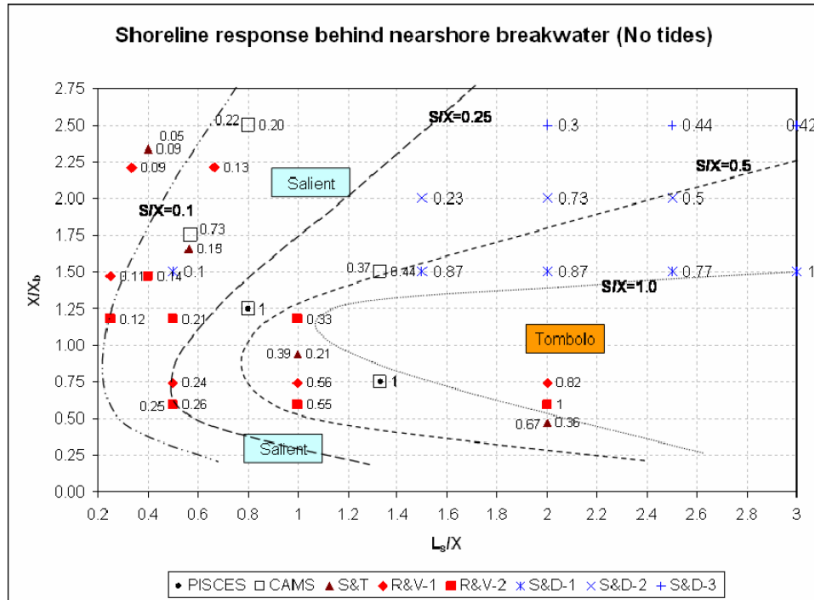
再針對離岸堤群背後灘線型態發展及海灘地形演變受碎波帶寬度( $X_b$ )之影響，英國環境署(Environment Agency, UK)曾透過委託研究，要求結合現場調查、實驗分析、文獻資料整理及數值模擬計算，進行與離岸堤群毗鄰海灘地形變遷之綜合評估，並將離岸堤群背後灘線發展型態與對應配置之研究結果(Environment Agency, 2010)，匯整如圖 4-21 所示，且提出當離岸堤群之空間幾何配置滿足下列條件情況下，離岸堤群背後灘線將可發展為繫岸沙洲型態：

$$B/X > 2.8 - 1.6 \quad (X/X_b) \quad X / X_b \leq 1.25 \quad (4-9)$$

$$B/X > -10.2 + 8.8 \quad (X/X_b) \quad 1.25 < X / X_b \leq 2.0 \quad (4-10)$$

面對具時、空變動性之近岸波浪，當近岸海灘設置離岸堤後，由於碎波帶內波浪之直接衝擊作用，因而會在兩堤端後側(下游側)之沖刷帶上，因波浪繞射及上沖、下刷衝擊流速、流向變化而自然衍生旋轉方向相互對應之強勁近岸環流，參見圖 4-16、圖 4-17 及圖 4-18，並促使堤後輸沙特性改變，進而造成兩堤端後側(下游側)之灘線發生沖蝕變遷，同時於堤後衍生沙舌或繫岸沙洲型態之淤積。此一離岸堤後因波浪碎波所自然衍生的近岸環流流場、上沖下刷衝擊作用、輸沙及灘線變遷特性，類比於突堤所造成之「突堤效應」，本研究將其稱為「離岸堤效應」。

在近岸海灘上，基於相同之波浪碎波衝擊作用，因此，離岸堤後所伴隨產生的「離岸堤效應」與伴隨突堤所產生之「突堤效應」相同，兩者在堤後端皆有特殊的沙灘沖淤特性與獨特的灘線變遷型態，因此，兩者皆可據以應用於卓越波浪入射方向及優勢輸沙方向之研判！



S&T:Shinohara & Tsubaki(1966); R&V:Rosen & Vajda(1982); S&D:Suh & Dalrymple(1987)  
資料摘錄自：Environment Agency, UK. (2010)

**圖 4-21 英國環境署研提離岸堤群之空間幾何配置與堤後灘線對應之發展演化型態**

## 4.2 臺東近岸港口淤塞與毗鄰海灘沖蝕原因評估

面對臺灣東部近岸港口之嚴重淤塞與毗鄰海灘之沖蝕，國內相關港口建置與維運單位，對於造成淤塞之複雜機制，迄今尚未能明確掌握，導致毗鄰海灘沖蝕的關鍵因素，亦有待釐清，因此，對於近岸港口之淤塞，目前大多僅能採取治標不治本的清淤疏浚對策，對於毗鄰海灘之沖蝕，亦只能不斷地以建構海岸防護設施，或持續地施行人工養灘對應。

基於上一節有關近岸港口淤塞與毗鄰海灘沖蝕之機制分析結果，經整理相關研究報告(公路總局，2010、2012；許，2011)並廣泛檢視圖4-22、圖4-23及圖4-24所示之媒體報導(<https://www.youtube.com/>)，對於評估臺灣東部近岸港口長年實際發生嚴重港口淤塞及毗鄰海灘沖蝕之原因，可檢選座落在臺東海岸北端之長濱漁港、座落在中段之金樽

漁港及座落在南端之大武漁港為代表，各港口在臺東海岸之地理位置座落，如圖 4-25 所示。配合圖 4-22 至圖 4-24 綜合觀察可見，臺東近岸港口的港口淤塞，以座落在臺東海岸北端之長濱漁港及座落在南端之大武漁港最為嚴重，每年皆須頻繁辦理清淤疏浚；主要的淤塞位置，皆位在東外防波堤內側及港嘴航道上，且在港嘴航道淤沙區，更有大粒料砂石，甚至是大卵石之表面沈積。因此，可初步判定，在近岸港口之既有外廓配置下，造成港口淤塞與毗鄰海灘沖蝕之主要機制，應可排除流速通常甚微弱的沿岸流，而集中於較大波高之波浪在碎波帶內的經常性衝擊作用。

關於臺東海域冬、夏季及全年相對應之觀測波浪統計特性，參照圖 2-13 及圖 2-14(運研所，2017)，可將其再綜整如圖 4-26 所示。由圖觀察可見，無論冬季或夏季，在臺東海域，經年會面對之卓越波向集中於東北東(ENE)至東南東(ESE)向間，示性波高以 1~2 公尺為主，較大波高可達 2~5 公尺，因此，為防範冬、夏季季風及颱風波浪之侵襲，增進港內停泊水域之靜穩度，港口之開口大多偏西南向，且為擴大港口規模，外廓防波堤之配置，普遍順沿海灘線，並具有側 L 形(ㄣ、ㄣ、ㄣ、ㄣ)之型態，如圖 4-25 所示。此外，在季風及颱風波浪之侵襲下，若碎波波高( $H_b$ )可達 1 公尺，則估計碎波之衝擊流速( $V \approx \sqrt{gH_b}$ )約可達 3.13 m/s，再依據衝擊流之拖曳力公式( $F_D = C_D A_s \rho V^2$ )，取  $C_D = 0.0016$  估算，若海灘坡度  $\tan \beta = 1/20$ ，則可推動沿斜坡海灘移動之卵石(比重  $\gamma_s = 2.65 \text{ ton/m}^3$ ；面積  $A_s = 4\pi R^2$ )，直徑( $D = \frac{C_D \times 6 \times H_b}{(\frac{\gamma_s}{\gamma_w} - 1) \times \tan \beta}$ )約可達 11.6 公分，重量約 2.2 公斤，這與臺灣東部近岸港口港嘴淤塞區大多存在有大粒徑卵石沈積之現象相符合。據此，更可判定並確認，即使當卓越波浪近乎以正向入射海灘，致使海灘上因碎波衍生之輻射應力(radiation stress)梯度小，近岸流速(Longuet-Higgins & Stewart, 1964；Longuet-Higgins, 1970)微弱，但由波向集中於 ENE~ESE 間、碎波波高達 1 公尺以上之經常性較大波浪所產生之強烈直接衝擊作用，仍應是造成臺灣東部近岸港口淤塞與毗鄰海灘沖蝕之主要機制。

至於圖 4-25 中臺灣東部各近岸港口各別之詳細建置與配置狀況，以及港口與毗鄰海灘之沖淤情況，自維基百科(<https://zh.wikipedia.org>)[zh-tw > Wikipedia](#)節錄相關之記述資訊，再配合自 Google Earth 所擷取之歷史圖像，可綜整分析闡釋如下：

(1) 長濱漁港：

長濱漁港座落在臺東縣長濱鄉，約位於台 11 線省道 85.9K 旁，距離南方的成功漁港約 54 公里，是目前臺東縣境內最北端的漁港，鄰近並無較大之溪河出口。漁港以漁筏使用率居多。長濱漁港興建於 1982 年，當時漁港工程僅建有防波堤兼碼頭 90 公尺，而自 1988 年起，政府再針對碼頭不足及漂沙導致港口堵塞問題進行防波堤延長，直至 1996 年止，已延建防波堤兼碼頭共 148 公尺，並新建西防波堤 98 公尺；目前，在漁港之第三期擴建方案中，計畫再延長防波堤 60 公尺，並利用漁港東側灘地闢建避風泊地與碼頭；對於港口之漂沙淤塞問題，臺東縣政府長久以來皆採行清淤疏浚對策，並秉持「以砂養港」、「以港養港」原則，將疏浚砂石標售，藉以擴展建設港口相關之基礎設施。

臺東長濱漁港，概約自 2010 年 10 月起至 2015 年 6 月止，其外廓防波堤之配置及受經常性較大波浪衝擊所衍生之港口航道淤塞與毗鄰海灘沖蝕影像，如圖 4-27 所示。其間，2013 年 6 月及 2017 年 11 月之外廓防波堤配置與港口航道淤塞及毗鄰海灘沖蝕之對照比較，如圖 4-28 所示。綜合觀察圖 4-27 及圖 4-28 可見，長濱漁港之港口，約為西南西向開口；港口外廓配置，除了距港口東側約 300 公尺處建置有一道長約 120 公尺的防沙堤外，主要由約與海灘線平行之外防波堤，以及約與海灘線垂直之內防波堤構成，港口寬度約 80 公尺，外防波堤之堤長，由港口順沿外防波堤線至內港端之總長度約 377 公尺，內防波堤之堤長約 122 公尺；此外，在外防波堤之堤頭，尚連結有一約向南延伸之碎波堤，長約 100 公尺；而在距內防波堤以南約 270 公尺之港外平直海灘上，尚有長約 88 公尺之突堤一座；突堤與內防波堤間，並有明顯的岬灣海灘生成。

再概約以港口外廓之外防波堤法線為參考方向，即針對近岸波浪之卓越入射方向，因而可將圖 4-27 及圖 4-28 所示之港口配置、港嘴淤塞區位、岬灣海灘型態及毗鄰灘沖蝕之變化歷程，陳現如圖 4-29 及圖 4-30 所示。由圖詳細觀察可見，臺東長濱漁港，經過歷年之擴建，外廓防波堤之配置，明顯順沿海灘線，而具有側 L 形(↑、匚)之離岸堤型態，因此，在面對臺東海域卓越波向集中於 ENE 至 ESE 間，示性波高以 1~2 公尺為主，較大波高可達 2~5 公尺之經年波浪衝擊作用下，由於港口外廓防波堤配置所類比之離岸堤長(B)約 377 公尺、離岸距(X)約 200 公尺，致使離岸堤之長/距比(B/X)約達 1.885，總體外廓配置因過往僅著重泊地靜穩度之港域擴建規劃而自然地具有離岸堤之型態與功用(Environment Agency, UK, 2010；Karambas, 2012)，參見圖 4-16、圖 4-17 及圖 4-18，所以，在波浪碎波及其在海灘沖刷帶上衍生之強大衝擊流作用下，可促使「離岸堤效應」有效發揮，並於外防波堤後，促成繫岸沙洲型態之漂沙淤積，進而導致港嘴與航道之淤塞，同時，造成內防波堤右(西)側岬灣海灘之淤積，以及與港口毗鄰海灘之沖蝕。特別值得一提的是，僅管長濱漁港約向西南西開口，且近海之卓越波向集中於 ENE 至 ESE 間，但觀察內防波堤右(西)側及港外突堤左右兩側海灘之明顯沖淤狀況，尚可依據「突堤效應」，研判長濱漁港港口之漂沙優勢方向，係為由西往東，而這意謂衝擊港口海域之波浪，會受近岸水深及港口外廓配置之影響，而明顯發生淺化、折射及繞射現象，並改變伴隨波浪所衍生衝擊流之主要作用方向，且卓越入射波浪，以夏季較強烈之西南季風及偏東南向颱風所衍生之波浪為主。

基於上列長濱漁港港口淤塞及毗鄰海灘沖淤型態之陳現及分析，參見圖 4-26 及圖 4-30，可綜合判定並確認，波浪之經常性衝擊，以及港口外廓配置對波浪及漂沙所複合導致之「離岸堤效應」與「突堤效應」，應是造成長濱漁港港口淤塞與毗鄰海灘沖蝕之主要原因。

## (2) 金樽漁港：

金樽漁港座落在臺東縣東河鄉東河村，約位於台 11 線省道 136.5K

旁，港口距離南邊的臺東市區約 40 公里，北側緊鄰有湧水溪，更北側有較大河川\_馬武溪出口，緊鄰港口南側有一陸連島，係自然形成於海灘與離岸礁石間之繫岸沙洲，再南側為金樽遊憩區，有沙灘綿延 3 公里長。在冬天的東北季風期間，由於衝浪條件優異，目前為國際衝浪之新聖地。在漁港興建前，港區為一天然灣澳，漁港初期之興建工程自 1984 年開始，至 1987 年完工，總計完成水深 2.5 公尺的內泊地，面積為 1.1 公頃、內泊地碼頭總長 450 公尺、外泊地碼頭總長 285 公尺，可靠泊約 40 艘漁船；於 1988 年後，開始第二期漁港建設方案，並將東防波堤再延長 92 公尺、西防波堤延長 290 公尺、碼頭增加 215 公尺、泊地面積增加 2.5 公頃，其後即無大型擴建工程。近年來，受到季風影響，港口因淤沙量增加而致港嘴水深不足，甚至堵塞港口，造成漁民出海不便，因此，臺東縣政府於 2013 年 10 月曾向中央爭取新台幣 320 萬元經費進行港疏浚工程，並將疏浚的沙石運輸至鄰近的金樽陸連島附近，進行養灘及海岸防護作業。

臺東金樽漁港，概約自 2013 年 8 月起至 2018 年 10 月止，其外廓防波堤之配置以及受經常性較大波浪衝擊所衍生之港口航道淤塞與毗鄰海灘沖蝕影像，如圖 4-31 所示。綜合觀察圖 4-31 可見，長濱漁港之港口，約向西南開口；港口外廓配置，主要由約與海灘線平行之外防波堤，以及約與海灘線垂直之內防波堤構成，港口寬度約 75 公尺，外防波堤之堤長，由港口順沿外防波堤線至內港端之總長度約 570 公尺，內防波堤之堤長約 270 公尺；此外，在港外距內防波堤以南約 650 公尺之海灘上，尚有一自然形成於海灘與離岸礁石間之陸連島，離岸礁石長約 255 公尺、寬約 40~80 公尺、離岸距約 160 公尺；介在內防波堤至陸連島間，亦有岬灣型態之海灘生成。

再概約以港口外廓防波堤法線為參考方向，即針對近岸波浪之卓越入射方向，因而可將圖 4-31 所示之港口配置、港嘴淤塞區位、岬灣海灘型態及毗鄰灘沖蝕之變化歷程，陳現如圖 4-32 及圖 4-33 所示。由圖詳細觀察可見，臺東金樽漁港，經過歷年之擴建，外廓防波堤之配置，明顯亦順沿海灘線，並具有側 L 形(ㄣ、匚)之離岸堤型態，因此，

在面對臺東海域卓越波向集中於 ENE 至 ESE 間，示性波高以 1~2 公尺為主，較大波高可達 2~5 公尺之經年波浪衝擊作用下，由於港口外廓防波堤配置所類比之離岸堤長(B)約 570 公尺、離岸距(X)約 340 公尺，致使離岸堤之長/距比(B/X)約達 1.676，總體外廓配置亦因過往僅著重泊地靜穩度之港域擴充規劃而具有離岸堤之型態與功用(Environment Agency, UK, 2010；Karambas, 2012)，參見圖 4-16、圖 4-17 及圖 4-18，所以，在波浪碎波及其在海灘沖刷帶上衍生之強大衝擊流作用下，可促使「離岸堤效應」有效發揮，並於外廓防波堤後，促成繫岸沙洲型態之漂沙淤積，進而導致港嘴與航道之淤塞，同時，於內防波堤右(西南)側，也會造成與港口毗鄰海灘之沖蝕，並促成岬灣海灘形成。惟因金樽漁港原係天然灣澳，加以可能屬礁岩地質，漂沙源較少，故港口之淤塞情況，與長濱漁港比較，相對較輕微。另外，金樽漁港雖然約向西南開口，但受近岸水深及港口外廓配置之影響，原來集中於 ENE 至 ESE 間之近海波浪，卓越波向於港口應已明顯因淺化、折射及繞射現象而略作改變，並調整至約略與外廓防波堤垂直，致使外廓防波堤後海灘之波浪衝擊方向，概略會由西南往東北，即直接迎向港口；而在外廓防波堤外之岬灣海灘以及陸連島屏蔽區，由於「離岸堤效應」及「突堤效應」之複合作用，因此，海灘之沖淤，皆約陳現對稱型態。這意謂衝擊金樽近岸海域之卓越入射波浪，於受近岸水深及港口外廓配置影響而發生淺化、折射及繞射後，伴隨波浪所衍生之衝擊流，仍應以夏季較強烈之西南季風及偏東南向颱風所衍生之波浪為主。

特別值得一提的是，金樽陸連島後的海灘，由於離岸礁岩所類比之離岸堤長(B)約 255 公尺、離岸距(X)約 160 公尺，致使離岸堤之長/距比(B/X)約達 1.594，所以，金樽陸連島自然地具有離岸堤之型態與功用，以致堤後之海灘，實際為繫岸沙洲型態之漂沙淤積。只是，因金樽陸連島的離岸礁岩，出水高度甚低，若逢暴潮又遇巨浪，則波浪甚易透過，致使繫岸沙洲甚容易會因波浪之時、空變動性衝擊作用而陳現變形或沖蝕。

基於上列金樽漁港港口淤塞及毗鄰海灘沖淤型態之陳現及分析，

參見圖 4-26 及圖 4-33，可進一步判定並確認，波浪之經常性衝擊，以及港口外廓配置對波浪及漂沙所複合導致之「離岸堤效應」與「突堤效應」，亦應是造成金樽漁港港口淤塞與毗鄰海灘沖蝕之主要原因。

### (3) 大武漁港：

座落在臺東縣大武鄉尚武村，約位於台 9 線 421K 省道旁，北鄰朝庸溪，更北側有較大河川\_大武溪出口。大武漁港始建於 1953 年，但已完成之防波堤於 1956 年毀於颱風；1960 年起，將出海口位於漁港內的朝庸溪改道至漁港北方，並興建堤防；1961 年至 1967 年間，大武漁港共進行六次增建與改善工程，並先後完成南、北防波堤及碼頭泊地等建設，工程總經費約新台幣 3,000 萬元，只是港口興建完成後，每年受季風與颱風波浪作用，港口航道經常發生淤塞，且須長年進行疏浚；1968 年及 1978 年雖曾前後兩次委託國內學研單位進行港口淤塞改善評估與規劃，惟因整建經費太高而暫緩；在 1979 年後，政府應當地人士之持續陳請，乃設立專案，並核撥新台幣 4,200 萬元，再辦理港口航道淤塞改善工程，同時配備挖土機及運土卡車，交大武鄉公所作應急之清淤應用，從此歷經 12 年，港口航道之淤塞情況依舊，清淤成效亦甚有限；直到 1991 年，政府再重新辦理港口改善研究規劃，並於 1992 年至 1995 年間編列預算實施改善工程，主要項目包括：興建北防波堤 234 公尺、南防波堤 132 公尺、北防沙堤 2 座共 140 公尺；迄今，大武漁港正規劃第三期漁港建設方案中，只不過港口航道之嚴重淤塞情況並未有效改善，且為維持港口航道之正常機能，每年不分季節仍須持續進行清淤疏浚。

臺東大武漁港，概約自 2011 年 10 月起至 2017 年 10 月止，其外廓防波堤之配置及受經常性較大波浪衝擊所衍生之港口航道淤塞與毗鄰海灘沖蝕影像，如圖 4-34 所示；其間，2000 年 12 月及 2005 年 6 月以及 2012 年 10 月及 2019 年 3 月之外廓防波堤配置與港口航道淤塞及毗鄰海灘沖蝕之對照比較，如圖 4-35 所示。綜合觀察圖 4-34 及圖 4-35 可見，大武漁港之港口，約為正南向開口；港口外廓配置，除了距港

口北側約 265 公尺處建置有一道長約 260 公尺的防沙堤外，主要由約與海灘線平行之外防波堤，以及約與海灘線垂直之內防波堤構成，港口寬度約 150 公尺，外防波堤之堤長，約 265 公尺，而由港口順沿外防波堤線至內港端之總長度約 500 公尺，內防波堤之堤長約 150 公尺；緊鄰內防波堤南側，有明顯的岬灣海灘生成；另外，在距內防波堤以南約 145 公尺之港外海灘上，有長約 55 公尺之舊拋石突堤一座；近年，公路總局(2010~2019)為防治省道台 9 線旁海灘之嚴重沖蝕，曾採行人工養灘措施，並於緊鄰舊拋石突堤南側，距內防波堤以南約 180 公尺之海灘上，佈建長約 150 公尺之新拋石突堤一座，且於距新拋石突堤以南約 315 公尺，再新建長約 110 公尺之拋石離岸堤。

再概約以港口外廓之外防波堤法線為參考方向，即針對近岸波浪之卓越入射方向，因而可將圖 4-34 及圖 4-35 所示之港口配置、港嘴淤塞區位、岬灣海灘型態及毗鄰灘沖蝕之變化歷程，分別陳現如圖 4-36、圖 4-37 及圖 4-38 所示。由圖詳細觀察可見，臺東大武漁港，經過歷年之擴建，外廓防波堤之配置，明顯亦順沿海灘線，且亦具有側 L 形(ㄣ、匚)之離岸堤型態，因此，在面對臺東海域卓越波向集中於 ENE 至 ESE 間，示性波高以 1~2 公尺為主，較大波高可達 2~5 公尺之經年波浪衝擊作用下，由於港口外廓防波堤配置所類比之離岸堤長(B)約 500 公尺、離岸距(X)約 230 公尺，致使離岸堤之長/距比(B/X)約達 2.174，總體外廓配置，由於過往僅以防治由北而南之沿岸漂沙為重點，且僅著重泊地靜穩度之港域擴建規劃，因亦自然地也具有離岸堤之型態與功用(Environment Agency, UK, 2010；Karambas, 2012)，參見圖 4-16、圖 4-17 及圖 4-18，所以，在波浪碎波及其在海灘沖刷帶上衍生之強大衝擊流作用下，可有效地促使「離岸堤效應」發揮，並於外防波堤後，促成繫岸沙洲型態之漂沙淤積，進而導致港嘴與航道之淤塞，同時，造成內防波堤右(南)側岬灣海灘之淤積，以及與港口毗鄰海灘之沖蝕。

特別值得一提的是，由於大武近海之卓越波向集中於 ENE 至 ESE 間，故港口之開口約採正南向，且依據「突堤效應」，觀察港口北端防沙堤北側所陳現大規模之淤積型態，可確認大武漁港之漂沙優勢方

向，確實係由北往南，且應是由冬季季風及偏北向颱風波浪之衝擊作用所造成；但同樣依據「突堤效應」，再觀察內防波堤右(南)側及港外舊拋石突堤左右兩側海灘之明顯沖淤狀況，卻可研判大武漁港港口南側海灘之漂沙優勢方向，係為由南往北，並與港口北側海灘之漂沙優勢方向完全相反，這現象意謂大武漁港近岸海域之卓越波浪衝擊作用，雖主要係由冬季季風及偏北向颱風波浪所主控，但受近岸水深及港口外廓配置之影響，衝擊港口毗鄰海域之波浪，明顯會因淺化、折射及繞射現象而改變衝擊流之作用方向，以致造成港口南側毗鄰海灘之漂沙優勢方向，轉換為由南往北。

基於上列大武漁港港口淤塞及毗鄰海灘沖淤型態之陳現及分析，參見圖 4-26 及圖 4-38，可確認判定，波浪之經常性衝擊，以及港口外廓配置對波浪及漂沙所複合導致之「離岸堤效應」與「突堤效應」，應是造成大武漁港港口淤塞與毗鄰海灘沖蝕之主要原因。

綜合而論，臺東近岸海域由於經年必須面對示性波高以 1~2 公尺為主，較大波高可達 2~5 公尺，卓越波向集中於 ENE 至 ESE 間之季風與颱風波浪衝擊作用，故而臺東之近岸港口(漁港)，為擴大港口規模，增進港內停泊水域之靜穩度，歷經多年之整建，港口大多採西南向開口，且外廓之內、外防波堤，大多分別與海灘線垂直及平行，以致總體外廓配置，普遍具有側 L 形(冂、匚)型態，並複合具有不透水離岸堤與突堤之功能，如圖 4-39 所示。因此，在約大於 1.5 公尺碎波波高之較大季風與颱風波浪衝擊作用下，港口淤塞區之灘面，經常可發現大粒徑卵石之沈積，參見圖 4-24。又在具離岸堤型態之港口外廓配置影響下，由於「離岸堤效應」之充分發展，致使外防波堤與灘線間，會自然促成繫岸沙洲之漂沙淤積型態，參見表 4-2，進而在外防波堤遮蔽區內衍生大幅度之堤後淤積，並造成港嘴航道嚴重淤塞及與港口毗鄰海域的沖蝕，參見圖 4-30、圖 4-33 及圖 4-38 所示。除此之外，為增進港域之靜穩度及防制沿岸漂沙，在近岸港口之外廓配置及毗鄰海灘上，經常可見具突堤型態之內防波堤以及防沙堤之佈建，因此，結合「突堤效應」的應用，更可依據突堤上、下游側之漂沙於積型態，準

確研判並掌握造成近岸海灘地形演變之卓越波浪衝擊作用力特性與區域性之漂沙優勢方向。

詳細關於波浪、水深地形及港口外廓配置等關鍵機制之互動影響，包括(1)季風及颱風暴潮巨浪之時空變動性衝擊作用；(2)非均勻性之海灘坡度、碎波型態與碎波帶之不定常變動；及(3)海岸防護設施與港口外廓配置所造成「突堤效應」及「離岸堤效應」之複合影響，經化繁為簡，從大處著眼，小處著手，可綜整如圖 4-40 所示。

表 4-2 臺灣東部近岸港口外廓防波堤配置因「離岸堤效應」造成堤後繫岸沙洲型態淤積之離岸堤長/距比值檢測

臺灣東部 近岸港口	離岸堤長 B(公尺)	離岸堤距 X(公尺)	堤長_距比 (B/X)	離岸堤後 淤沙型態
長濱漁港	377	200	1.885	繫岸沙洲
金樽漁港	570	340	1.676	繫岸沙洲
金樽陸連島	255	160	1.594	繫岸沙洲
大武漁港 (東防波堤長)	500 (265)	230	2.174 (1.152)	繫岸沙洲

Note:

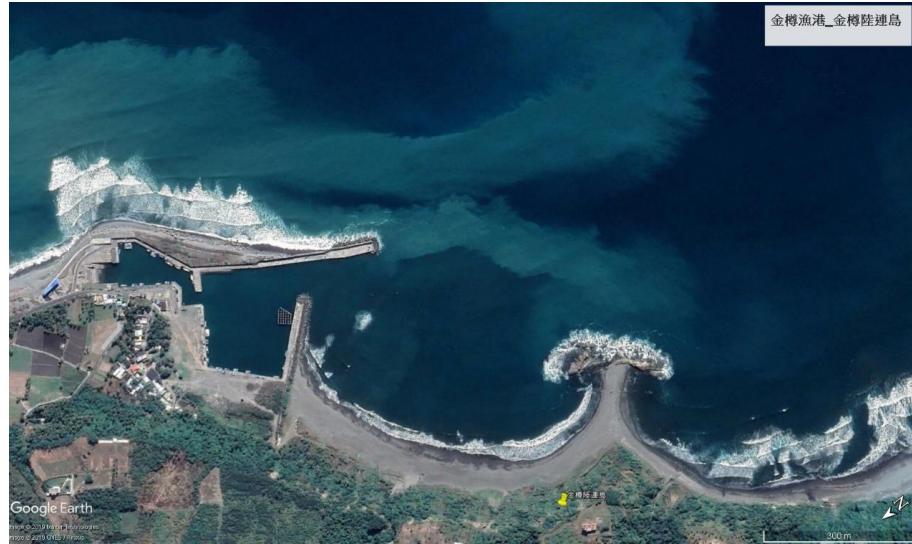
- 離岸堤長係指自港口沿外防波堤至內港端之總距離長度。
- tombolo formation index:  
 $B/X > 2.8-1.6 (X/X_b)$ ,  $X / X_b \leq 1.25$  (Environment Agency, UK, 2010)  
 $B/X > 1.2-1.3$  (Karambas, 2012)



資料來源：長濱漁港\_漁技社；



圖 4-22 臺東長濱漁港配置(上)與港口航道嚴重淤塞景況之媒體報導  
(下)



金樽漁港\_金樽陸連島\_google\_20181202\_細平.jpg



金樽漁港\_颱風毀堤防\_港口堤後淤積\_民視新聞 20181007.PNG

圖 4-23 臺東金樽漁港配置(上)與港口航道嚴重淤塞景況之媒體報導  
(下)

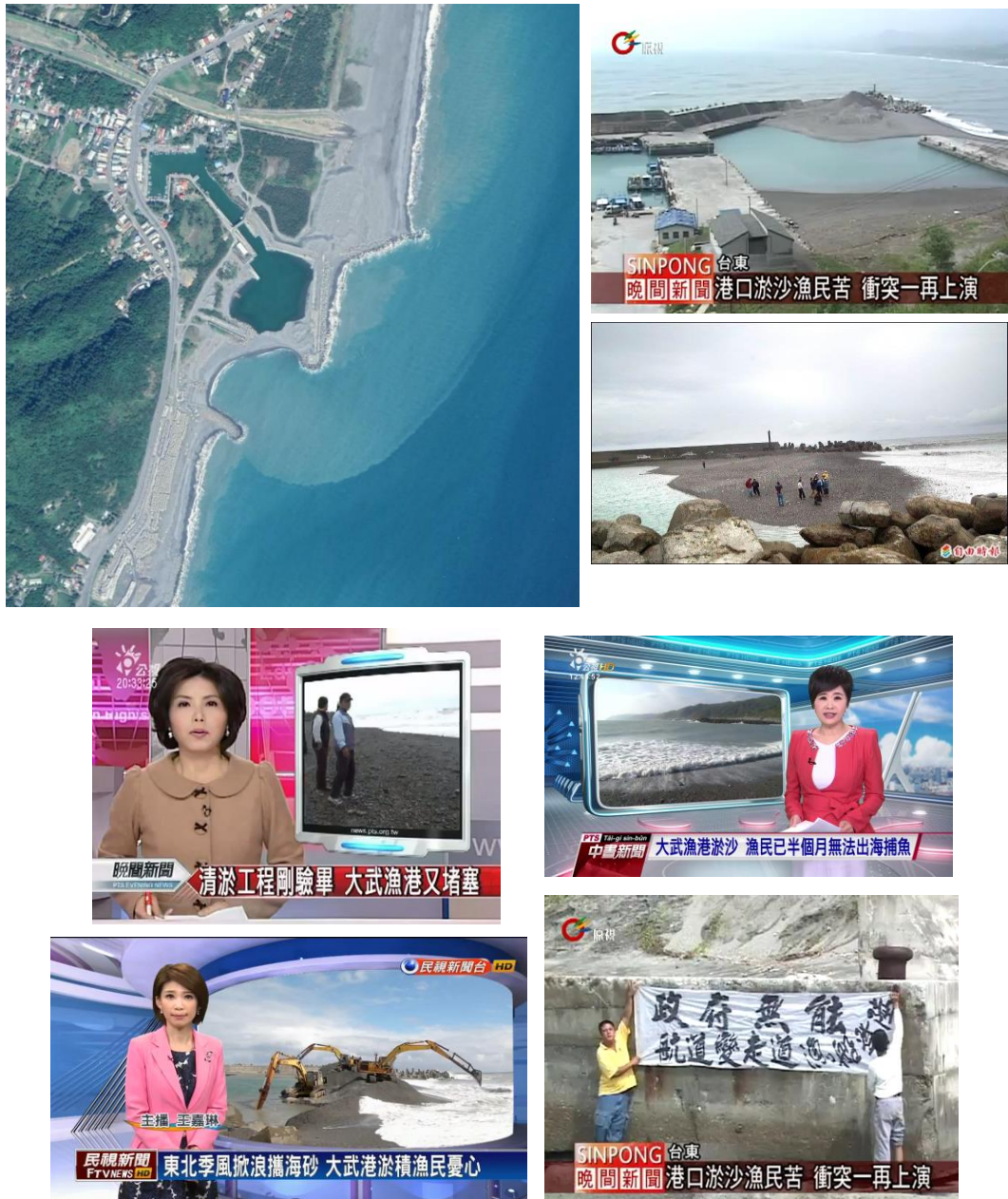


圖 4-24 臺東大武漁港配置(左上)與港口航道嚴重淤塞景況之媒體報導  
(下)

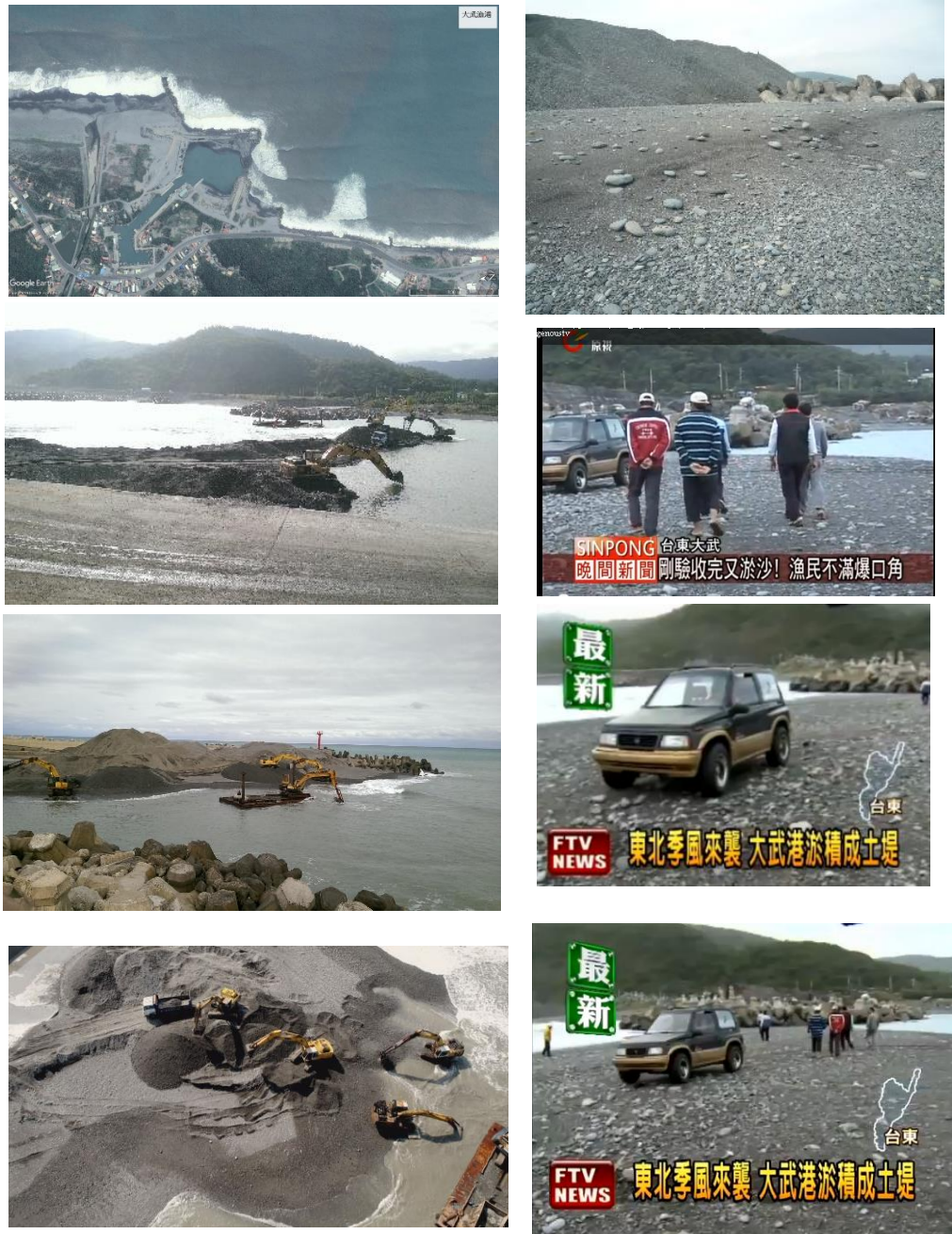


圖 4-24(續) 臺東大武漁港淤塞與清淤疏浚景況(左)及淤塞於港口航道上之大粒徑表面沉積砂石(右)

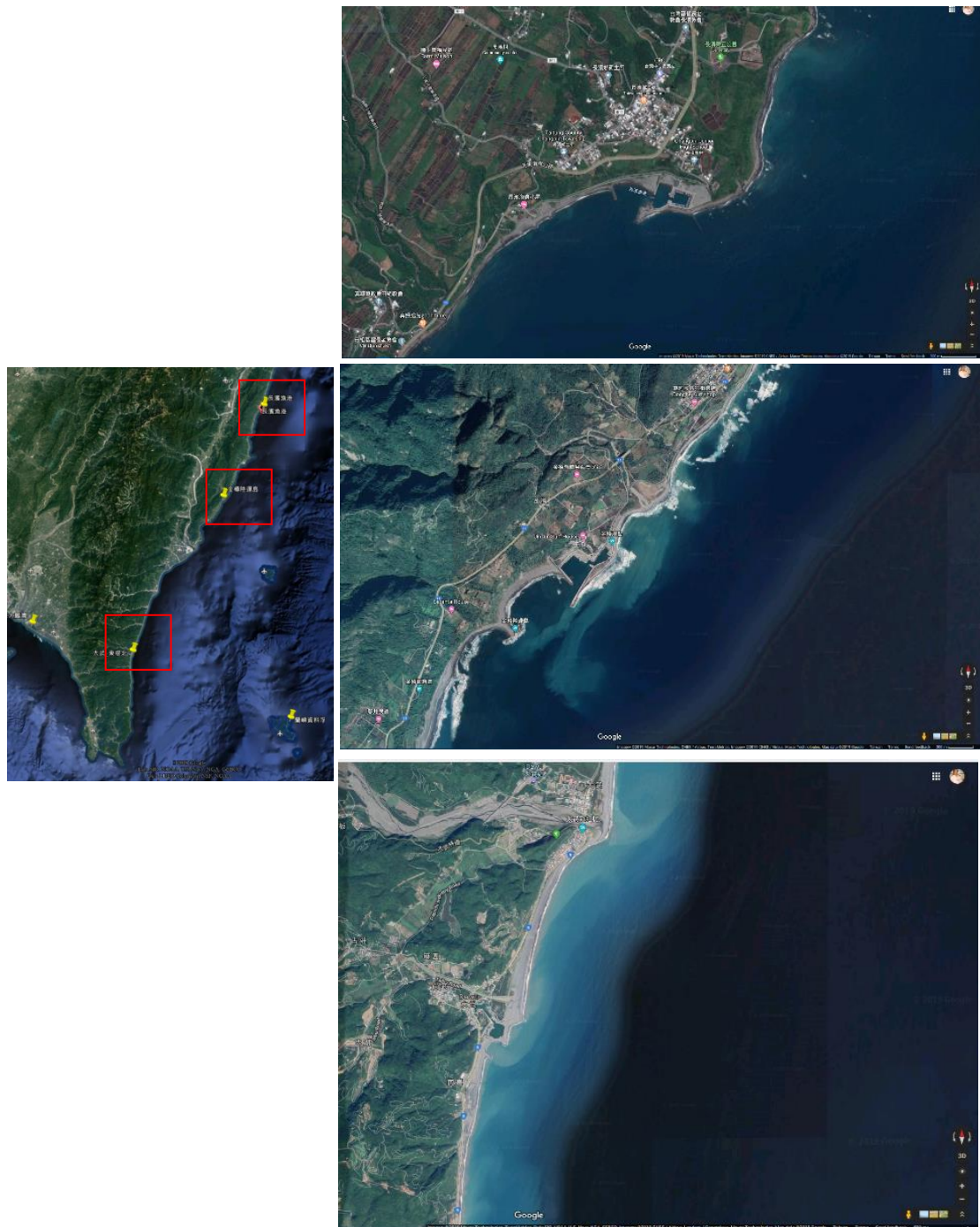
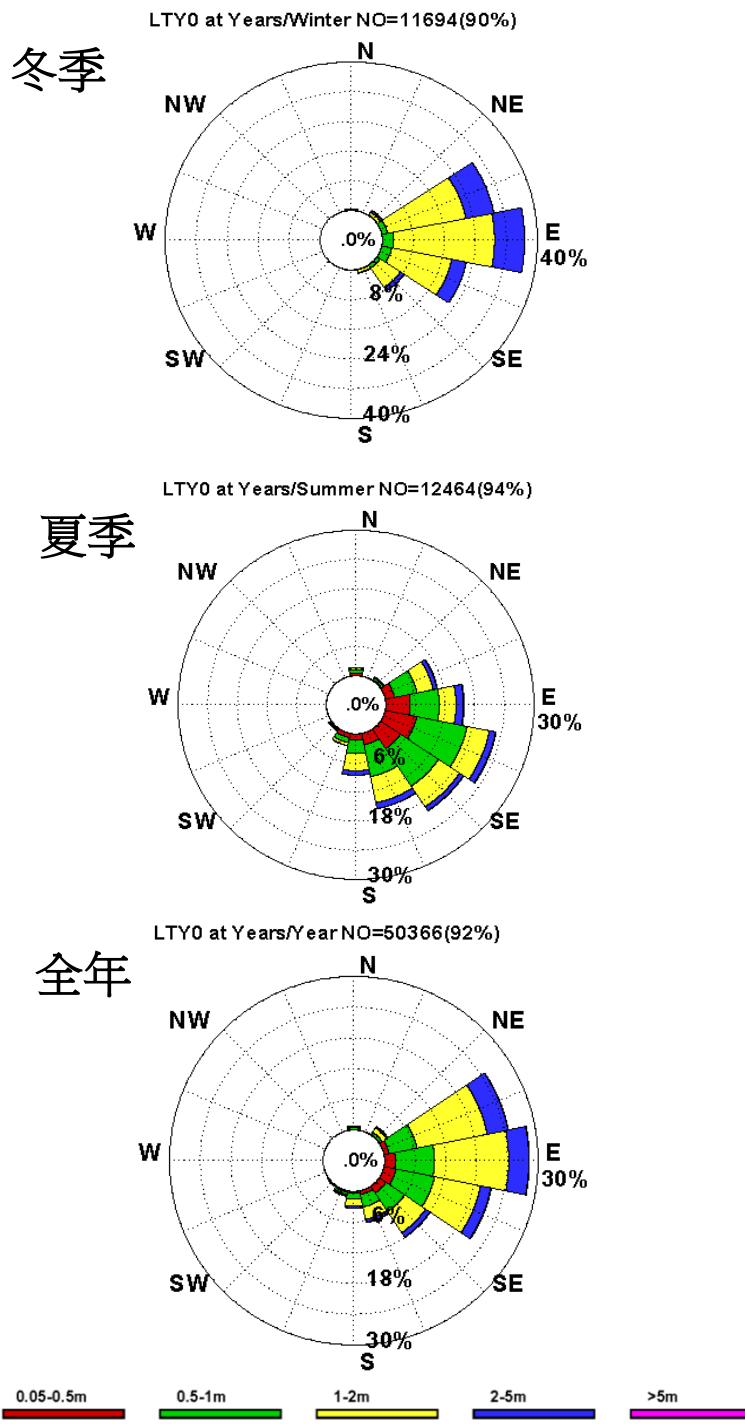


圖 4-25 由北而南座落在臺東海岸(左)之長濱(右上)、金樽(右中)及大武(右下)漁港及與港口毗鄰之海岸環境



資料來源：2016 年港灣海氣象觀測資料統計年報（運研所，2017）

**圖 4-26 臺東海域概約自 2000 年起至 2016 年止冬季(上)、夏季(中)及全年(下)之觀測波浪玫瑰圖**



長濱漁港\_google2010\_地圖中



長濱漁港\_google2012\_地圖中

圖 4-27 臺東長濱漁港 2010 年 10 月(上)及 2012 年 1 月(下)之外廓防波堤配置及衍生之港口航道淤塞與毗鄰海灘沖蝕



長濱漁港\_google2013\_地圖中



長濱漁港\_google201307\_地圖中

圖 4-27(續) 臺東長濱漁港 2013 年 6 月(上)及 2013 年 7 月(下)之外廓防波堤配置及衍生之港口航道淤塞與毗鄰海灘沖蝕



長濱漁港\_google201308\_地圖中



長濱漁港\_google201506\_地圖中

圖 4-27(續) 臺東長濱漁港 2013 年 8 月(上)及 2015 年 6 月(下)之外廓防波堤配置及衍生之港口航道淤塞與毗鄰海灘沖蝕

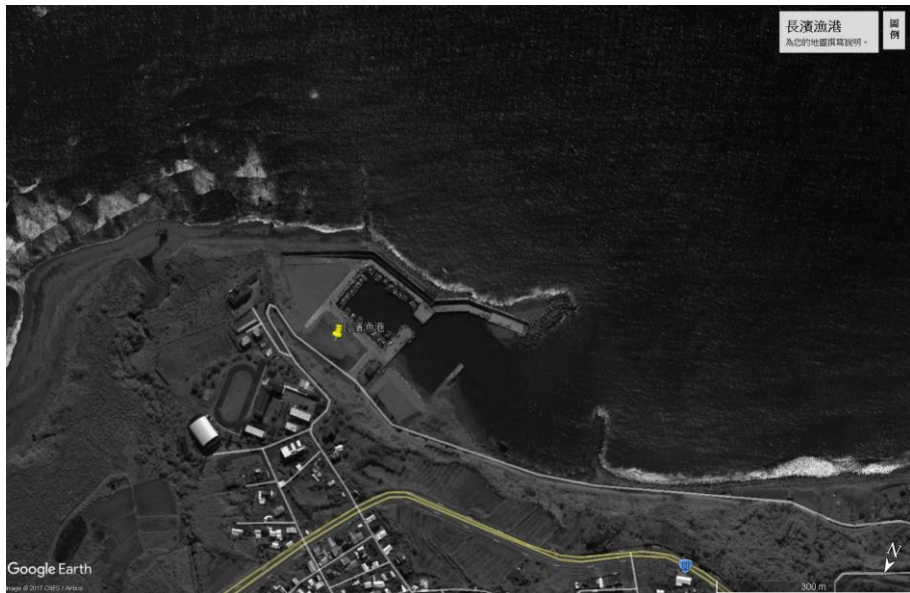


長濱漁港\_google20130627\_細



長濱漁港\_google20171128\_細

圖 4-28 臺東長濱漁港 2013 年 6 月 2017 年 11 月之外廓防波堤配置及  
衍生之港口航道淤塞與毗鄰海灘沖蝕對照比較



長濱漁港\_google20101121 細平



長濱漁港\_google20120108 細平

圖 4-29 臺東長濱漁港 2010 年 1 月(上)及 2012 年 1 月(下)具「離岸堤效應」之外廓防波堤配置及衍生之港口航道淤塞與毗鄰海灘沖蝕



長濱漁港\_google20130627 細平



長濱漁港\_google20150618 細平

圖 4-29(續) 臺東長濱漁港 2013 年 6 月(上)及 2015 年 6 月(下)具「離岸堤效應」之外廓防波堤配置及衍生之港口航道淤塞與毗鄰海灘沖蝕

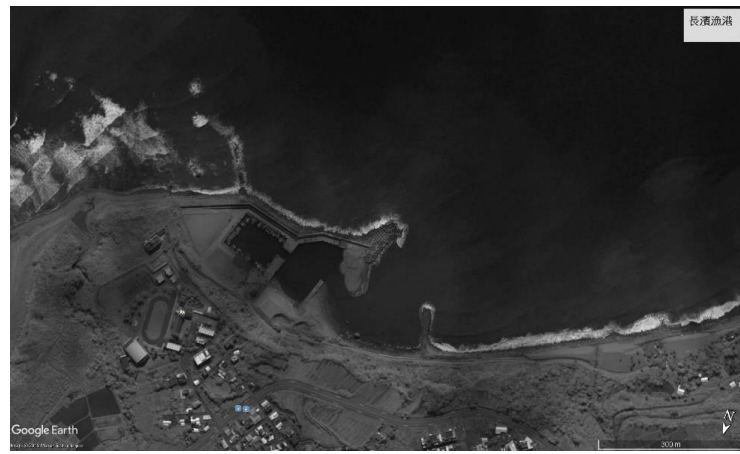


臺東長濱漁港\_離岸堤效應 google 地圖 20150618 平小. jpg



長濱漁港\_google20171114 細平

圖 4-29(續) 臺東長濱漁港 2015 年 6 月(上)及 2017 年 11 月(下)具「離岸堤效應」之外廓防波堤配置及衍生之港口航道淤塞與毗鄰海灘沖蝕



長濱漁港\_離岸堤效應\_細平 20120108.jpg



長濱漁港\_離岸堤效應\_港口細平 20130627.jpg



長濱漁港\_離岸堤效應\_港口細平 20170706.jpg

圖 4-30 臺東長濱漁港 2012 年 1 月、2013 年 6 月及 2017 年 7 月之外廓防波堤配置因複合「離岸堤效應」與「突堤效應」所衍生堤後繫岸沙洲型態之港口航道淤塞與毗鄰海灘沖蝕之對照比較



金樽漁港\_陸連島\_google\_20130819\_中.jpg



金樽漁港\_陸連島\_google\_20140707\_中.jpg

圖 4-31 臺東金樽漁港 2013 年 8 月(上)及 2014 年 7 月(下)之外廓防波  
堤配置及衍生之港口航道淤塞與毗鄰海灘沖蝕

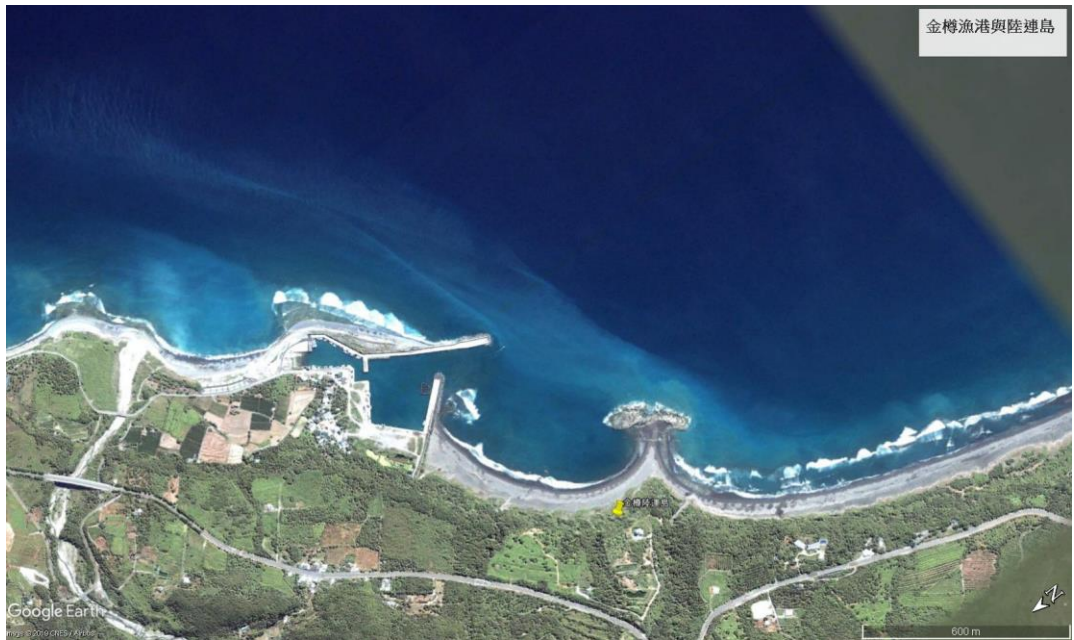


金樽漁港\_陸連島\_google\_20170625\_中.jpg

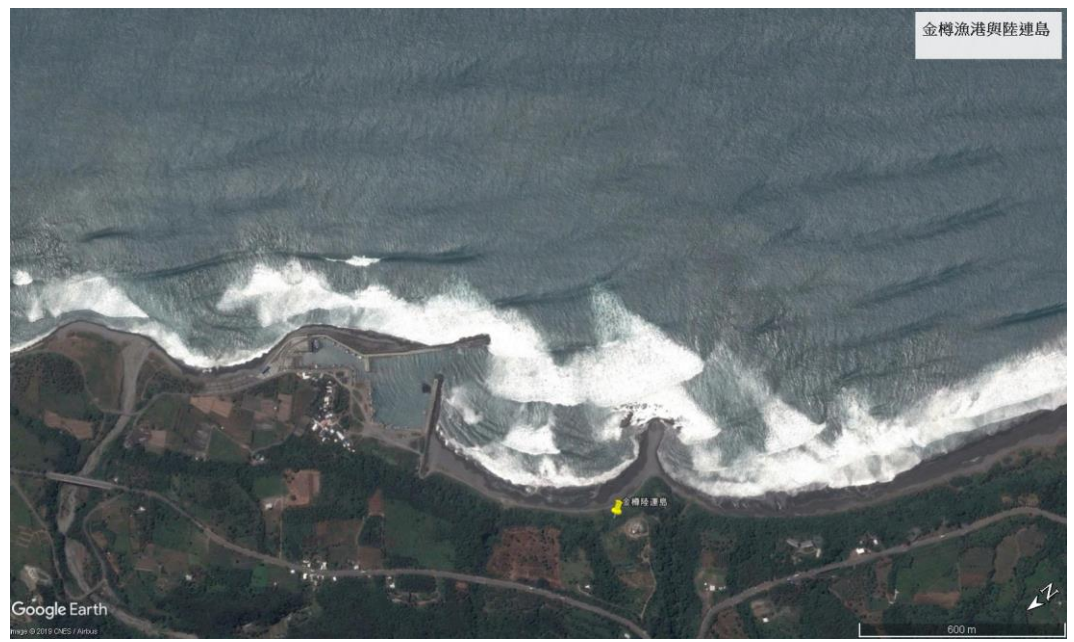


金樽漁港\_陸連島\_google\_20181006\_中.jpg

圖 4-31(續) 臺東金樽漁港 2017 年 6 月(上)及 2018 年 10 月(下)之外廓  
防波堤配置及衍生之港口航道淤塞與毗鄰海灘沖蝕



金樽漁港\_陸連島\_google\_20130819\_細平.jpg



金樽漁港\_陸連島\_google\_20140707\_細平.jpg

圖 4-32 臺東金樽漁港 2013 年 8 月(上)及 2014 年 7 月(下)兼具「突堤效應」與「離岸堤效應」之外廓防波堤配置及衍生之港口航道淤塞與毗鄰海灘沖蝕

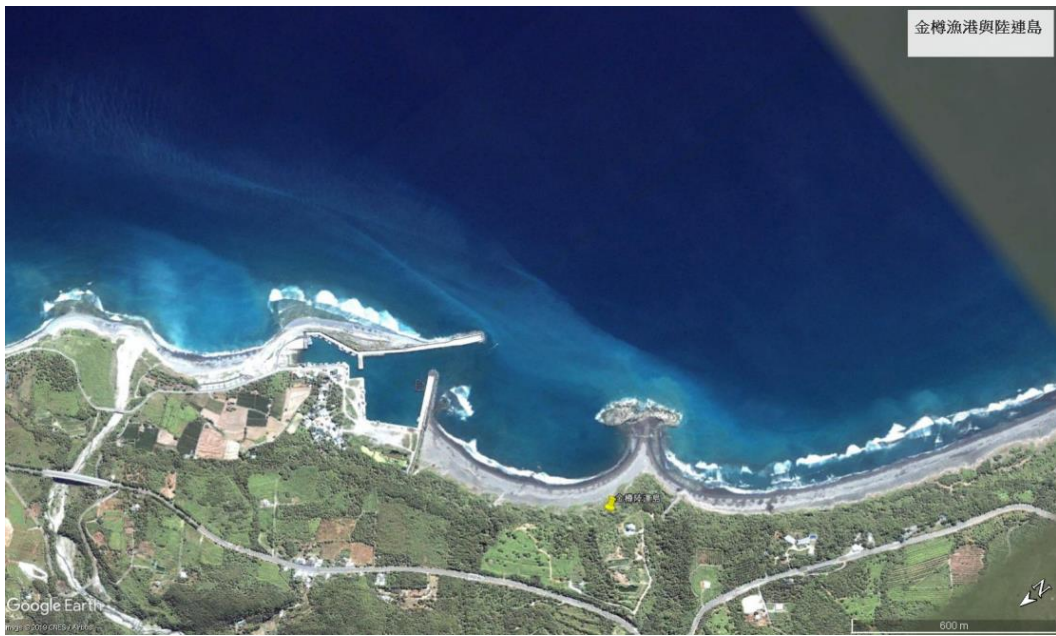


金樽漁港\_陸連島\_google\_20170625\_細平.jpg

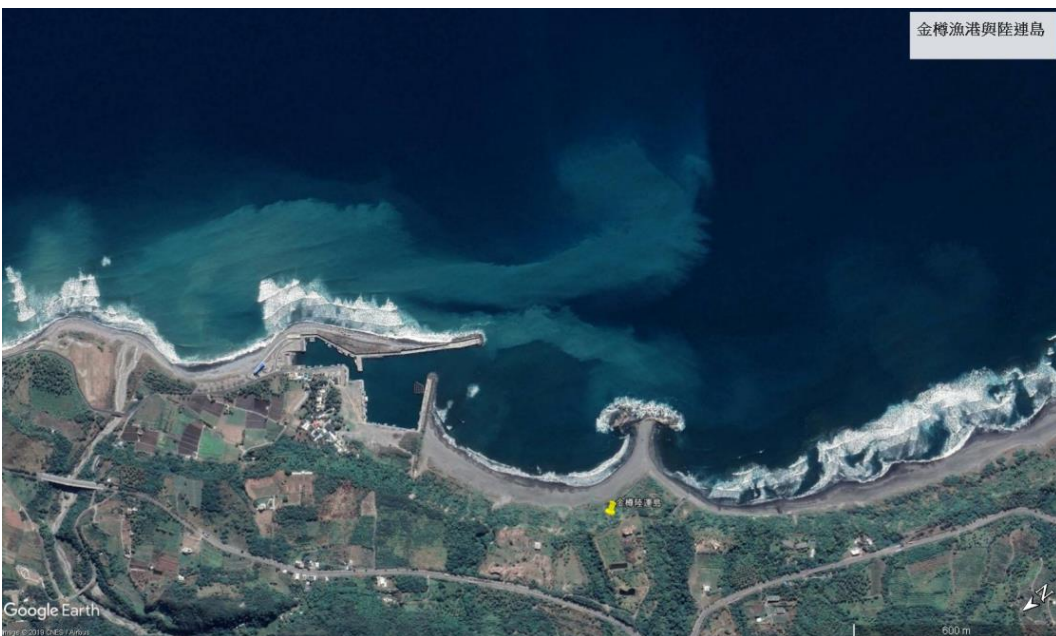


金樽漁港\_陸連島\_google\_20181006\_細平.jpg

圖 4-32(續) 臺東金樽漁港 2017 年 6 月(上)及 2018 年 10 月(下)兼具「突堤效應」與「離岸堤效應」之外廓防波堤配置及衍生之港口航道淤塞與毗鄰海灘沖蝕



金樽漁港\_陸連島\_google\_20130819\_細平.jpg



金樽漁港\_陸連島\_google\_20181006\_細平.jpg

圖 4-33 臺東金樽漁港 2013 年 8 月(上)及 2018 年 10 月(下)兼具「突堤效應」與「離岸堤效應」之外廓防波堤配置及衍生之港口航道淤塞與毗鄰海灘沖蝕對照比較



大武漁港\_google20111020\_細

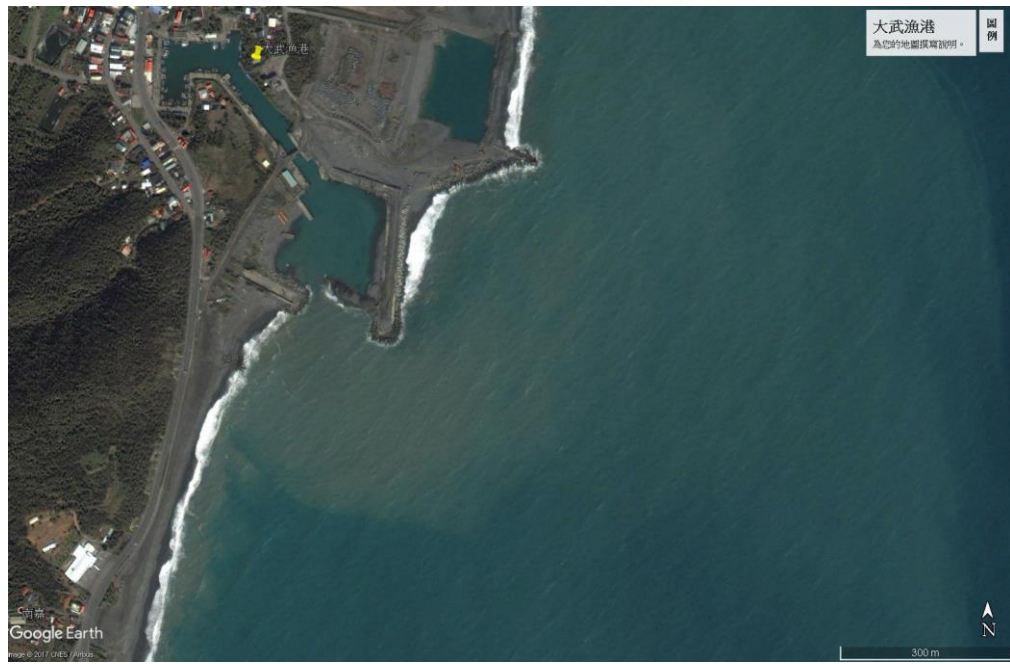


大武漁港\_google20120910\_細

圖 4-34 臺東大武漁港 2011 年 10 月(上)及 2012 年 9 月(下)之外廓防波堤配置及衍生之港口航道淤塞與毗鄰海灘沖蝕

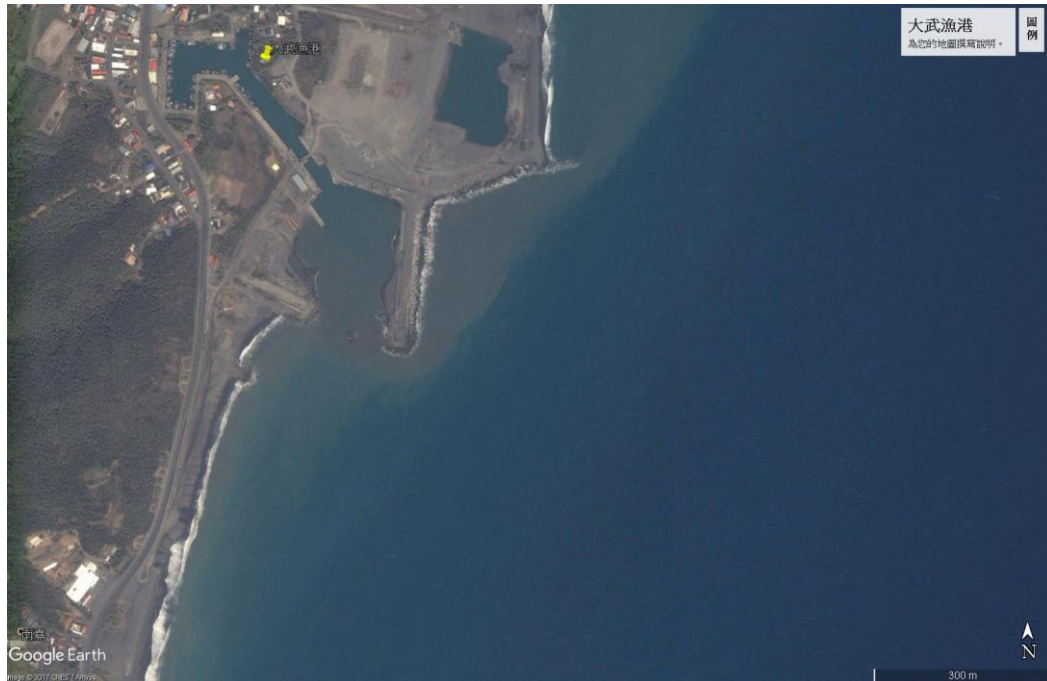


大武漁港\_google20121014\_細

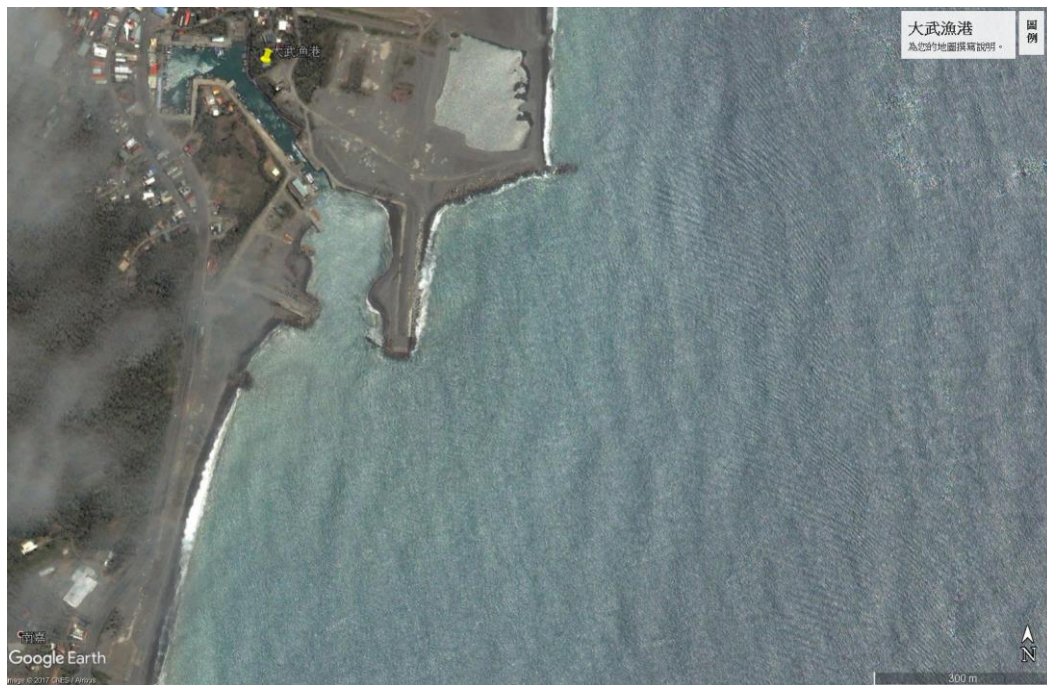


大武漁港\_google20130205\_細

圖 4-34(續) 臺東大武漁港 2012 年 10 月(上)及 2013 年 2 月(下)之外廓  
防波堤配置及衍生之港口航道淤塞與毗鄰海灘沖蝕



大武漁港\_google20130324\_細



大武漁港\_google20130609\_細

圖 4-34(續) 臺東大武漁港 2013 年 3 月(上)及 2013 年 6 月(下)之外廓防  
波堤配置及衍生之港口航道淤塞與毗鄰海灘沖蝕

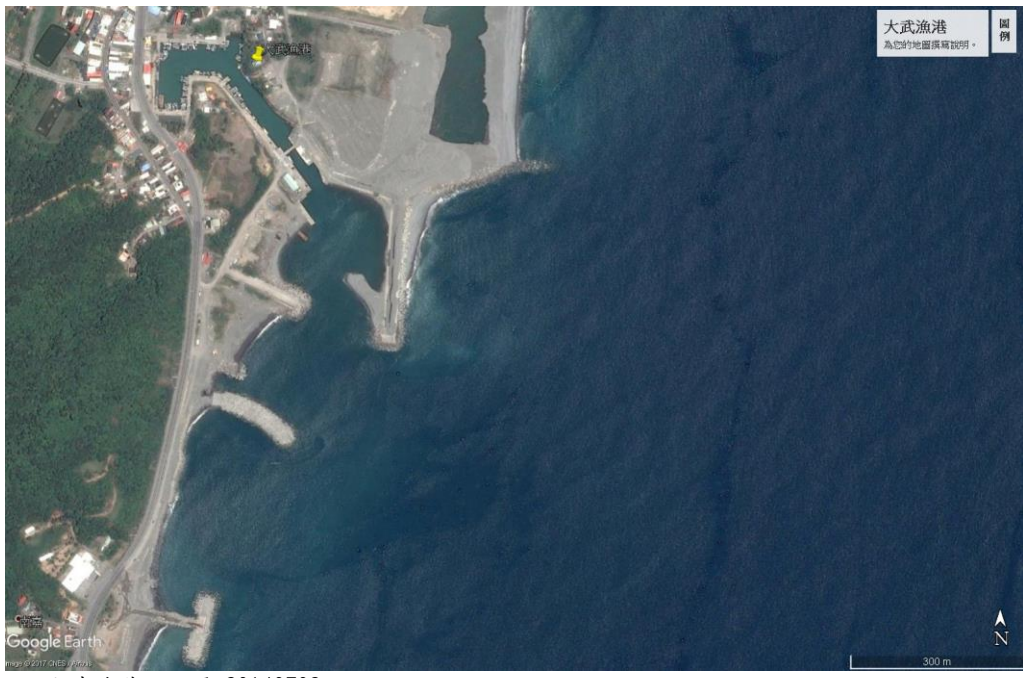


大武漁港\_google20130731\_細

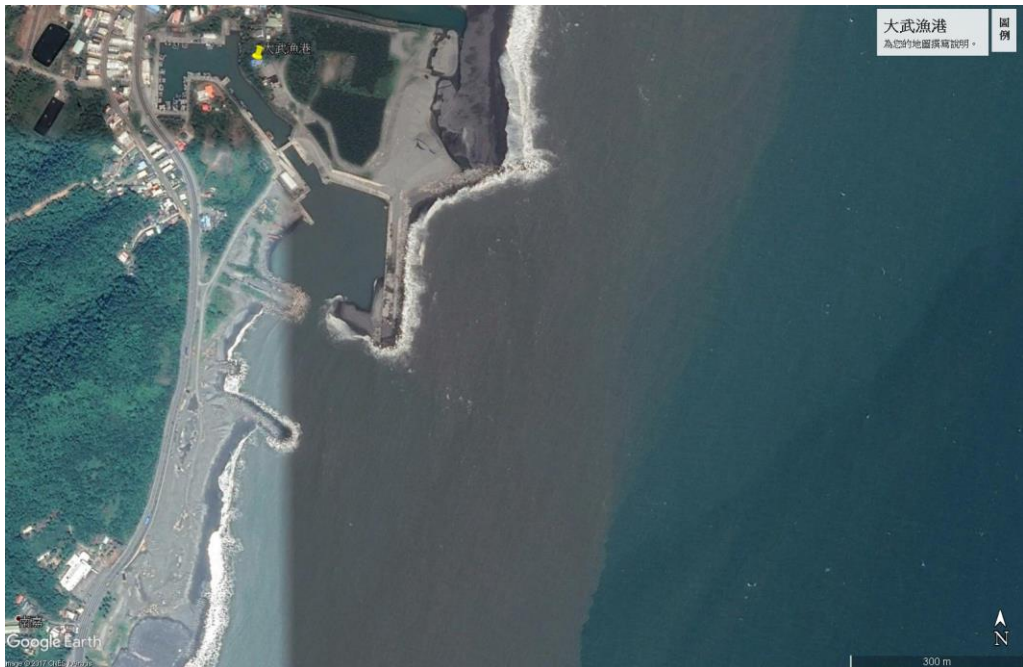


大武漁港\_google20140130\_細

圖 4-34(續) 臺東大武漁港 2013 年 7 月(上)及 2014 年 1 月(下)之外廓防  
波堤配置及衍生之港口航道淤塞與毗鄰海灘沖蝕



大武漁港\_google20140702\_細



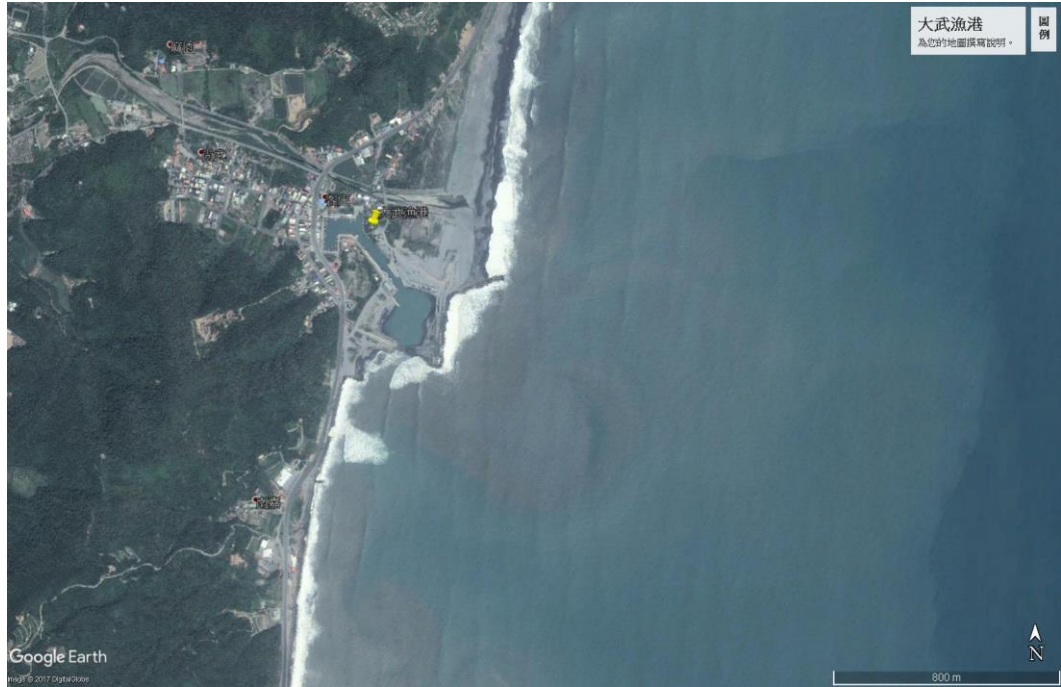
大武漁港\_google20171024\_細

圖 4-34(續) 臺東大武漁港 2014 年 7 月(上)及 2017 年 10 月(下)之外廓  
防波堤配置及衍生之港口航道淤塞與毗鄰海灘沖蝕

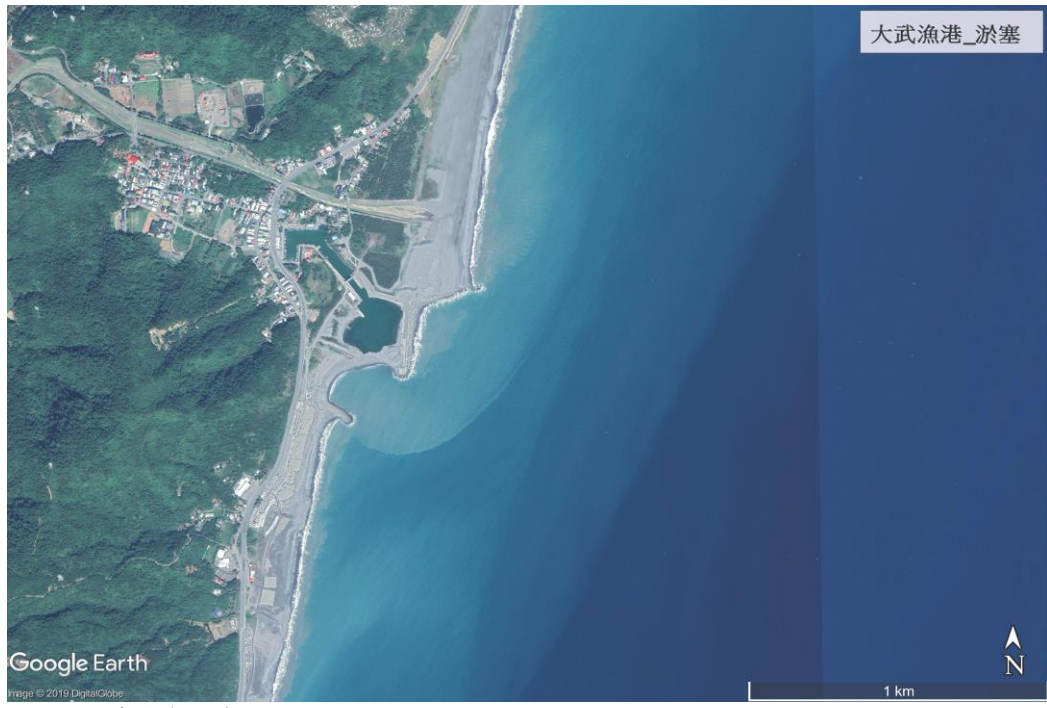


(左)離岸堤效應\_mod\_大武漁港北側防沙突堤施工前後灘線變遷空照圖\_2000 年 12 月\_台東海岸  
(尚武段)監測調查計畫 2010 ;(右)大武漁港北側防沙突堤施工前後灘線變遷空照圖\_2005 年 6 月  
\_台東海岸(尚武段)監測調查計畫 2010

圖 4-35 臺東大武漁港 2000 年 12 月(上)及 2005 年 6 月(下)兼具「突堤效應」與「離岸堤效應」之外廓防波堤配置及衍生之港口航道淤塞與毗鄰海灘沖蝕對照比較



大武漁港\_google201210\_地圖中



大武漁港\_淤塞\_Google earth\_20190321\_現況

圖 4-35(續) 臺東大武漁港 2012 年 10 月(上)及 2019 年 3 月(下)兼具「突堤效應」與「離岸堤效應」之外廓防波堤配置及衍生之港口航道淤塞與毗鄰海灘沖蝕對照比較



大武漁港\_突堤\_離岸堤效應 google 地圖 20120910 平小



大武漁港\_突堤\_離岸堤效應 google 地圖 20121014 平小

圖 4-36 臺東大武漁港 2012 年 9 月(上)及 2012 年 10 月(下)兼具「突堤效應」與「離岸堤效應」之外廓防波堤配置及衍生之港口航道淤塞與毗鄰海灘沖蝕



大武漁港\_突堤\_離岸堤效應 google 地圖 20130205 平小



大武漁港\_突堤\_離岸堤效應 google 地圖 20130318 平小

圖 4-36(續) 臺東大武漁港 2013 年 2 月(上)及 2013 年 3 月(下)兼具「突堤效應」與「離岸堤效應」之外廓防波堤配置及衍生之港口航道淤塞與毗鄰海灘沖蝕



大武漁港\_突堤\_離岸堤效應 google 地圖 20130609 平小



大武漁港\_突堤\_離岸堤效應 google 地圖 20130731 平小

圖 4-36(續) 臺東大武漁港 2013 年 6 月(上)及 2013 年 7 月(下)兼具「突堤效應」與「離岸堤效應」之外廓防波堤配置及衍生之港口航道淤塞與毗鄰海灘沖蝕



大武漁港\_突堤\_離岸堤效應 google 地圖 20131027 平小

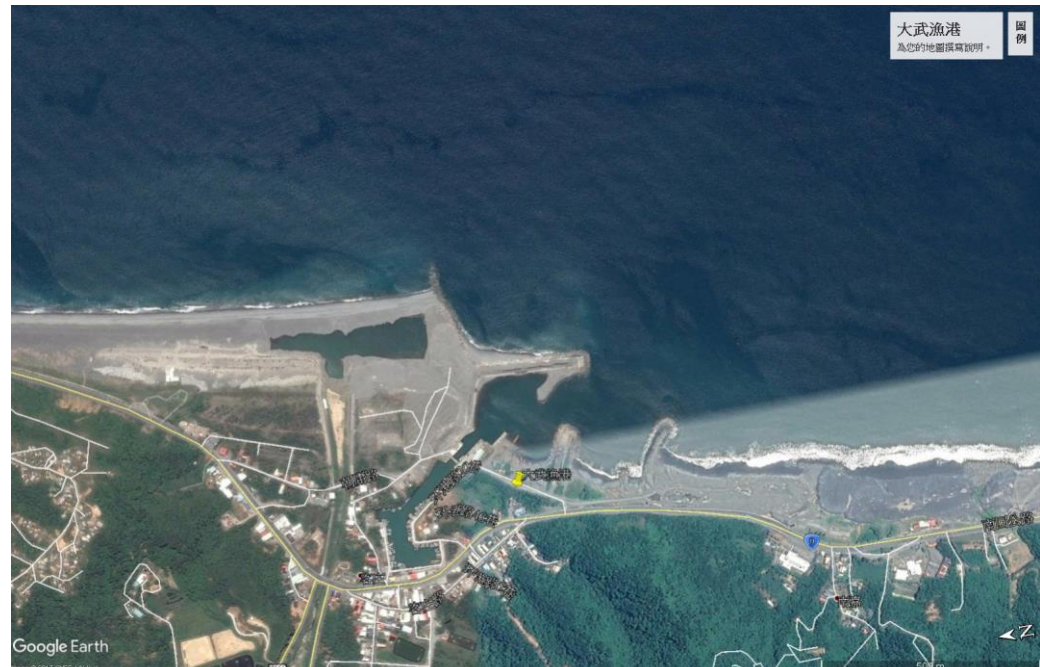


大武漁港\_突堤\_離岸堤效應 google 地圖 20140130 平小

圖 4-36(續) 臺東大武漁港 2013 年 10 月(上)及 2014 年 1 月(下)兼具「突堤效應」與「離岸堤效應」之外廓防波堤配置及衍生之港口航道淤塞與毗鄰海灘沖蝕



大武漁港\_突堤\_離岸堤效應 google 地圖 20140702 平小



大武漁港\_google20171024 細平

圖 4-36(續) 臺東大武漁港 2014 年 7 月(上)及 2017 年 10 月(下)兼具「突堤效應」與「離岸堤效應」之外廓防波堤配置及衍生之港口航道淤塞與毗鄰海灘沖蝕



大武漁港\_典型港口淤塞 google 地圖 20121014 平細

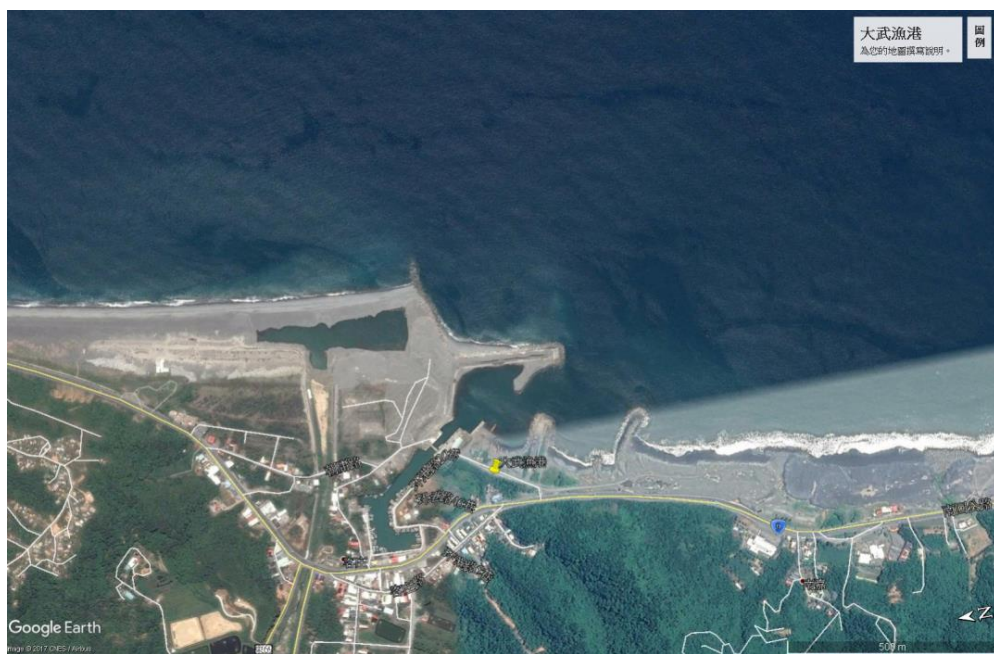


大武漁港\_港口淤塞 google 地圖 20130731 平細

圖 4-37 臺東大武漁港 2012 年 10 月(上)及 2013 年 7 月(下)兼具「突堤效應」與「離岸堤效應」之外廓防波堤配置及衍生之港口航道淤塞與毗鄰海灘沖蝕對照比較



大武漁港\_港口淤塞 google 地圖 20140702 平細



大武漁港\_google20171024 細平

圖 4-37(續) 臺東大武漁港 2014 年 7 月(上)及 2017 年 10 月(下)兼具「突堤效應」與「離岸堤效應」之外廓防波堤配置及衍生之港口航道淤塞  
與毗鄰海灘沖蝕對照比較



大武漁港\_離岸堤效應\_細平 20111020.jpg



大武漁港\_離岸堤效應\_港口細平 20121014.jpg



大武漁港\_離岸堤效應\_港口細平 20181202.jpg

圖 4-38 臺東大武漁港外廓防波堤配置因複合「離岸堤效應」與「突堤效應」所衍生堤後繫岸沙洲型態之港口航道淤塞與毗鄰海灘沖蝕

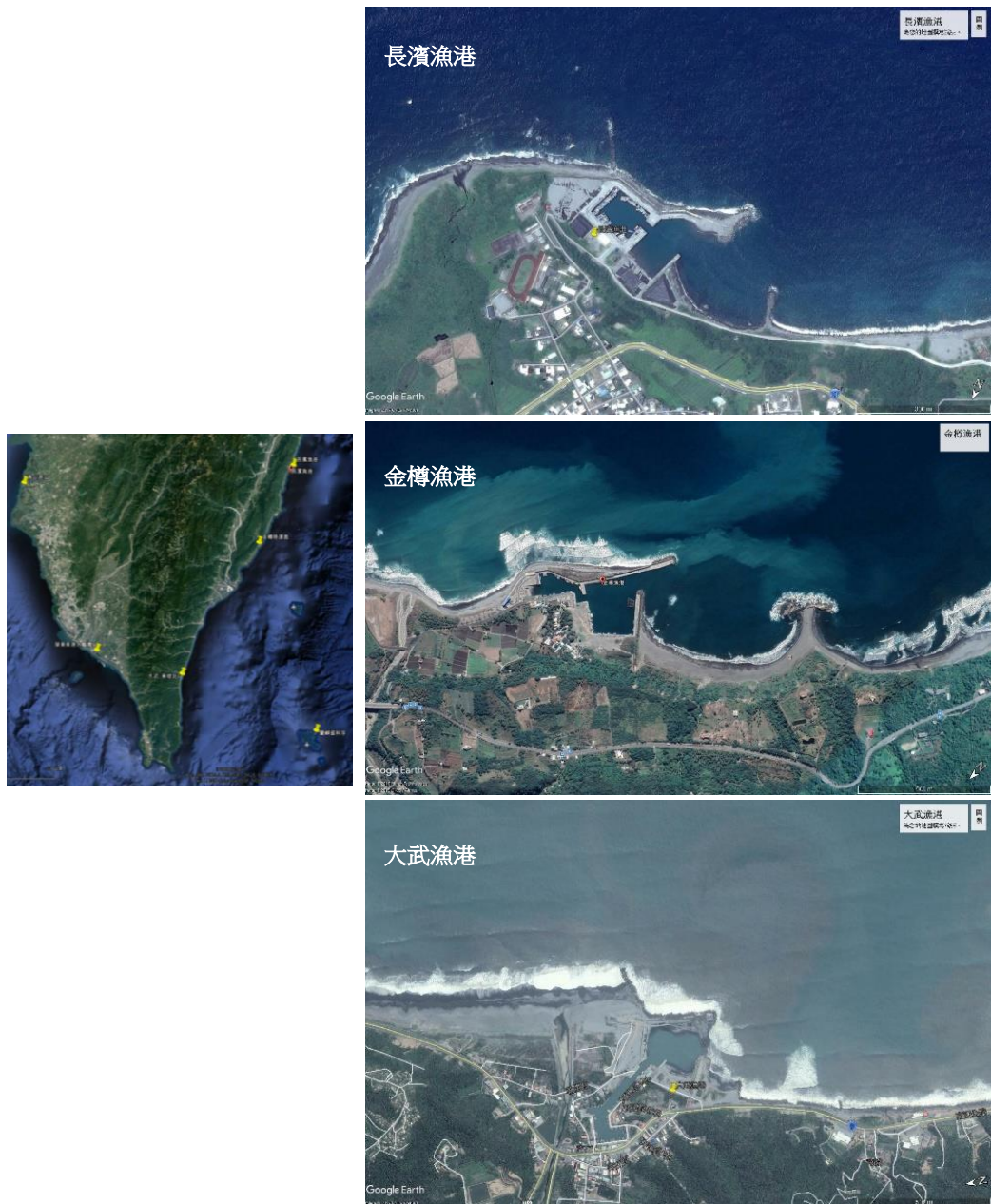


圖 4-39 臺東海岸(左)面對冬、夏季主要波浪入射方向之長濱(右上)、  
金樽(右中)及大武(右下)漁港既有複合離岸堤及突堤型態之港口配置及  
與港口毗鄰海岸之防護設施

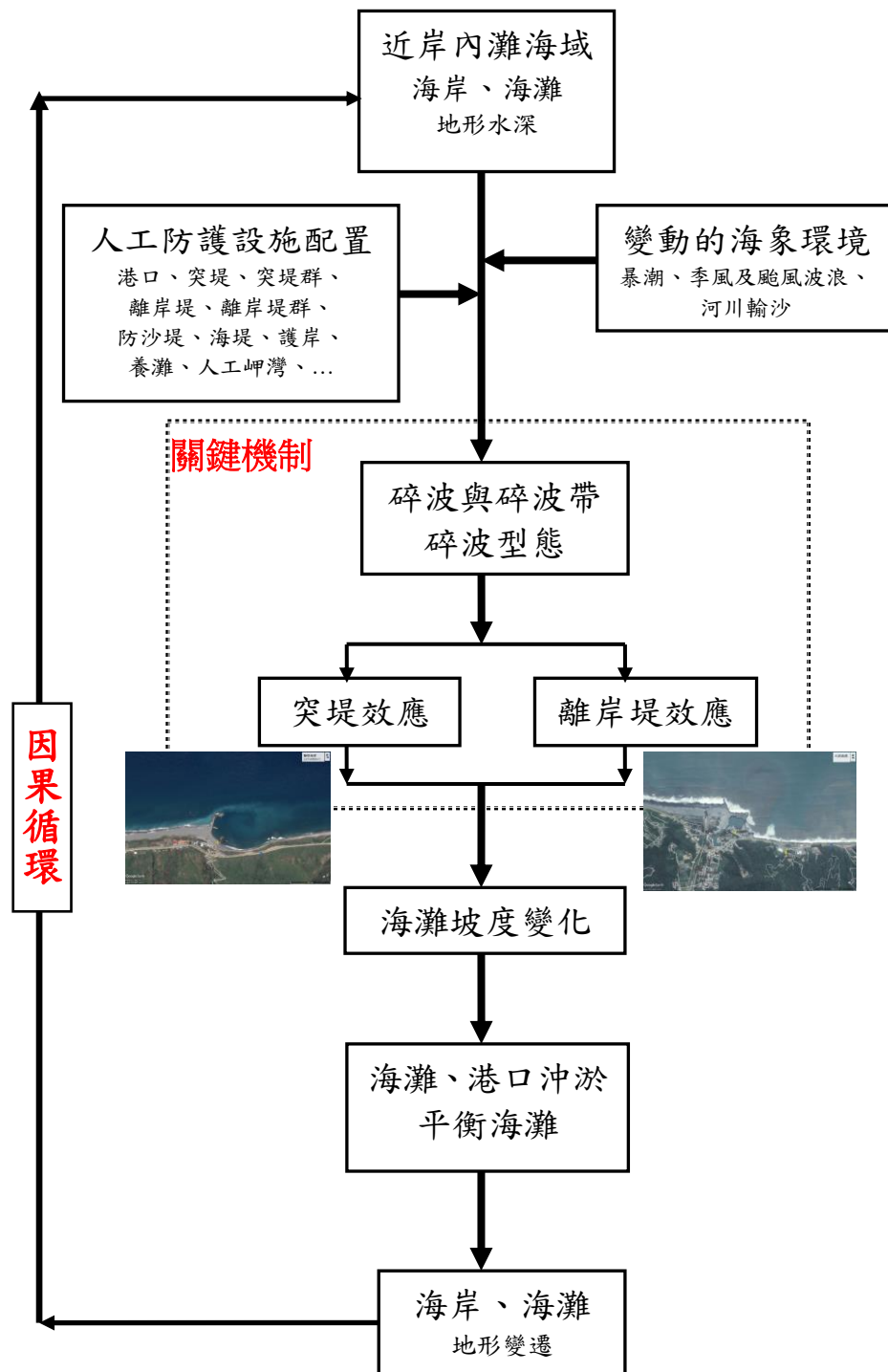


圖 4-40 造成臺灣近岸港口淤塞與其毗鄰海灘沖淤之波浪、水深地形及  
港口外廓配置等關鍵機制之互動影響

### 4.3 近岸港口外廓配置對毗鄰海灘沖淤之影響評估

評估近岸港口外廓配置所造成之港口航道淤塞與毗鄰海灘之沖蝕，通常皆會考量河川輸沙、毗鄰港口之海岸防護設施、卓越波浪、碎波帶寬度及海灘坡度等影響因素，其中，具較大波高與卓越波向之波浪直接衝擊作用，即使在波浪正向入射海灘之情況，仍可有效地替代由輻射應力梯度所衍生之微弱近岸流，而成為促使近岸港口外廓配置造成「突堤效應」與「離岸堤效應」發展之關鍵角色，參見圖 4-40 所示。

假設近岸港口外廓配置簡單地具有離岸堤或突堤型態，且波浪在近岸淺灘海域係直線傳播而不發生折射與繞射變形，因此，若卓越波浪之入射波向與海灘線之夾角為  $\varphi$ ，且自堤頭垂直於海灘之離岸距離為 X，則波浪對與近岸港口毗鄰海灘之衝擊影響範圍(S)，將可定義如圖 4-41 所示。

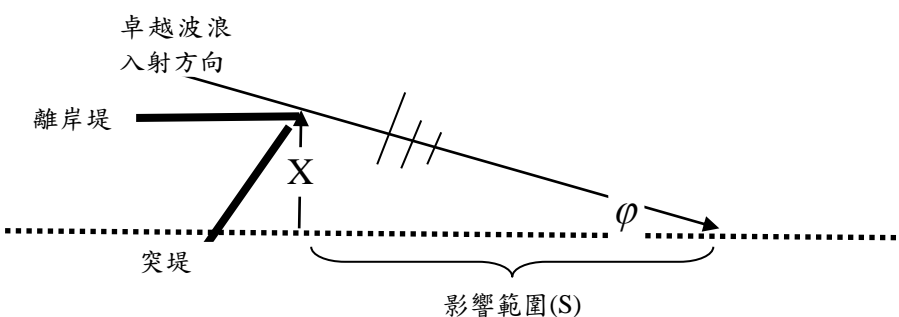


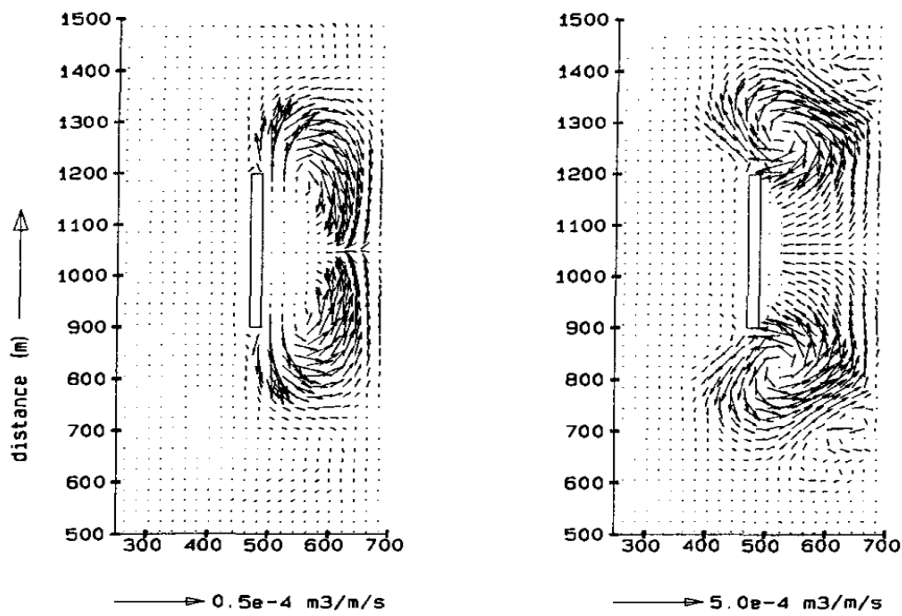
圖 4-41 具離岸堤或突堤型態之近岸港口外廓配置面對卓越波向入射波浪衝擊之遮蔽影響範圍

在一般之海灘，由於  $\varphi$  值通常不會小於  $30^\circ$ ，所以，依據三角幾何關係(勾:股:弦  $\sim 1:\sqrt{3}:2$ )可推估，波浪對與港口毗鄰海灘之最大沖蝕影響範圍( $S_{\max}$ )，與無近岸港口外廓配置對海灘影響之情況相對照，長期而言，應不會超過 2 倍外廓防波堤端之離岸距離(X)。特別是對於離岸堤，因其配置一般會與海灘平行，且共同面對卓越入射波向，即  $\varphi \approx 90^\circ$ ，

故若離岸堤距小於碎波帶寬度( $X_b$ )，則波浪對與離岸堤毗鄰海灘之沖蝕影響範圍(S)，最大概約應可以  $S_{max} \leq 2X$  推估；而若離岸堤距大於碎波帶寬度( $X_b$ )或與其相當，即若  $X \geq X_b$ ，則  $S_{max} \leq 2X_b$ 。

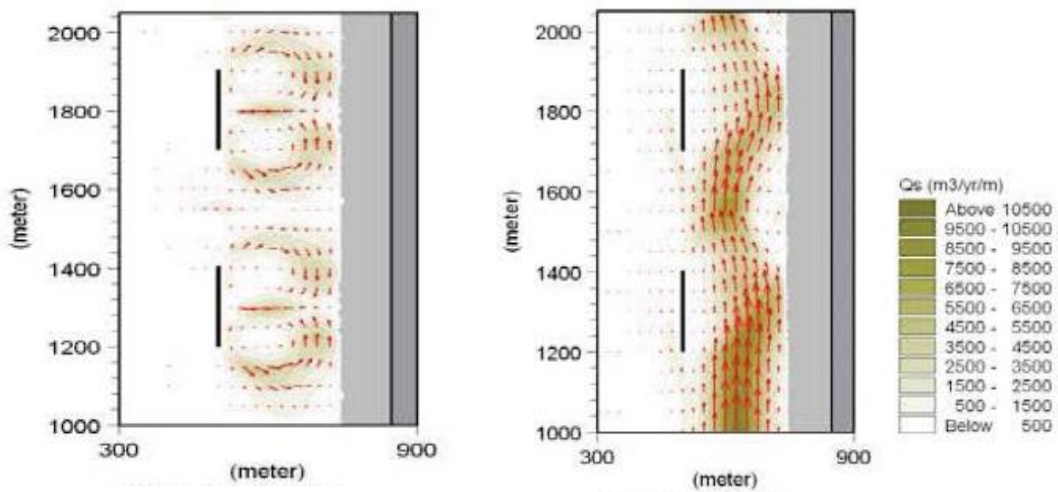
相關離岸堤受波浪正向及斜向入射而在堤後所衍生之近岸波浪衝擊流場與輸沙率，自 Bosl et al. (1996)之數值模擬結果及自英國 Environment Agency (2010)出版之研究報告摘錄，可得如圖 4-42 及圖 4-43 所示。由圖觀察可見，在「離岸堤效應」下，波浪對下游側(堤後)毗鄰海灘之沖蝕影響範圍，均概約可滿足  $S_{max} \leq 2X$ ，或顯著的影響範圍，應可概略以 2 倍離岸距離為極限。

此外，在以波浪衝擊作用為主的海灘，岬灣海灘(headland-bay beach)是相對較平直海灘安定的自然海灘，其常存在於各類型天然岬頭(headland、cape、promontary)、海岸防護設施及港口外廓配置受波浪衝擊作用之下游側，如圖 4-4~圖 4-7 所示。岬灣海灘的型態特徵，Hsu et al. (1987)經過共計 27 個實際及模型試驗岬灣型態之統計分析，改進最早由 Yasso (1965)提出之對數螺旋(logarithmic spiral)型態，提出以二階多項式表現之經驗化拋物線型岬灣(Parabolic bay shape)，如圖 4-44 所示；Hsu and Evans (1989)並從岬灣海灘內由繞射波浪造成漂沙之靜態與動態平衡觀點，探討岬灣海灘之安定性。只是欲建構圖 4-44 所示受波浪衝擊岬頭下游側之岬灣海灘，必須先行掌握造成岬灣之卓越波浪繞射點或上游控制點(upcoast control point)，亦須針對波峰線(wave front)或繞射波向( $\beta$ )，判定海灘下游控制點(downcoast control point)或不受岬頭影響之平直、安定海灘起始位置。僅管如此，在岬頭控制(headland control)之岬灣海灘上，由於通過上游控制點之卓越波浪均係為繞射波，且波向會因淺化及折射效應而近乎以正向衝擊岬灣，藉以降低漂沙沿海灘之輸運，增進平衡，並達成海灘之安定性與平直化。所以，營造岬灣海灘卓越波浪之波峰線與下游控制點間之交角  $\beta$ ，一般概約會介於  $10^\circ$  到  $40^\circ$  間。而若  $\beta \geq 30^\circ$ ，則岬灣海灘之上、下游控制點間之距離( $S_{max}$ )，概略亦可以 2 倍離岸距離(X)估計，或滿足  $S_{max} \leq 2X$ 。



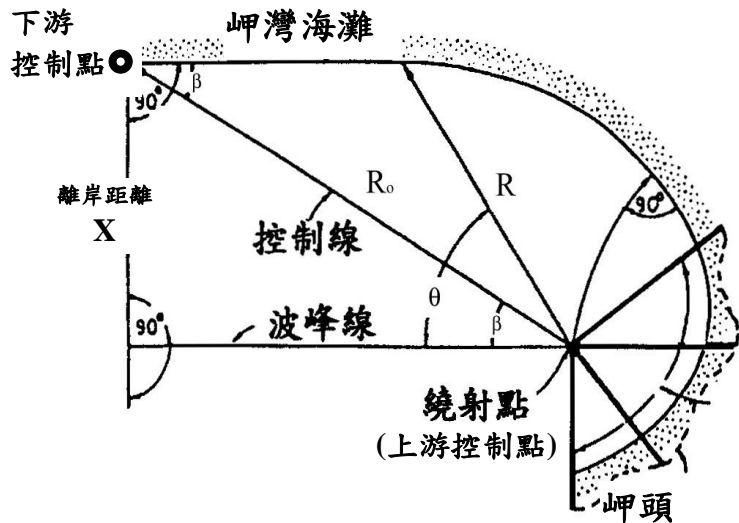
資料摘錄自：Bosch et al., 1996. Modelling the impact of detached breakwaters on the coast.

**圖 4-42 離岸堤後因正向入射波浪之衝擊流作用所造成初始(左)及穩定(右)狀況下之輸沙型態及影響範圍**



資料摘錄自：Environment Agency, UK. (2010)

**圖 4-43 離岸堤後受波浪正向(左)及斜向(右)入射所衍生之近岸波浪衝擊流流場(箭矢)與輸沙率(色階)及對應之影響範圍**



資料來源：「海岸工程學」，郭一羽，2001。

圖 4-44 單純由波浪衝擊作用造成具拋物線特徵之經驗化岬灣海灘

針對波浪衝擊港口外廓防波堤配置所衍生之「離岸堤效應」甚或是「突堤效應」，應用由 Klein et al. (2003)所研發之 MepBay 靜態岬灣海灘(static headland bay)陳繪軟體(<http://siaiacad17.univali.br/mepbay/?pagina=home/>)，再結合岬灣海灘上、下游控制點間之距離概略應小於 2 倍離岸距離或依據圖 4-41 所示  $S_{max} \leq 2X$  之推估概念，可將臺灣東部近岸港口外廓配置對毗鄰海灘所造成之沖蝕影響範圍以及對港口航道造成淤塞之原因，評估如下：

#### (1) 突堤效應控制影響之岬灣海灘

臺灣東部花蓮鹽寮漁港之港口外廓配置，參見圖 4-6，明確具有突堤型態。應用 MepBay 岬灣海灘陳繪軟體(Klein et al., 2003)，配合圖 2-12 至圖 2-14 所示花蓮海域概約自 2000 年起至 2016 年止冬季、夏季及全年之觀測波浪玫瑰圖，因此，可先在外防波堤堤頭後檢選一卓越波浪繞射點(上游控制點)，然後，採用岬灣海灘上、下游控制點間之影響距離應約小於 2 倍離岸距離之準則，再於岬灣海灘之安定(平直)段上，設定下游控制點，接著，依據港口歷史圖

像所陳示之實際岬灣海灘型態，調整上游控制點及其上之卓越繞射波向，再透過對照比較，最後，可得受突堤效應控制影響下之經驗化岬灣海灘，如圖 4-45 所示。由圖觀察可見，針對不同的港口擴展歷程，在單純的突堤效應控制影響下，可應用靜態岬灣海灘以預判波浪影響下游側之海灘沖蝕規模。另外，對於上、下游控制點間之影響距離，若縮減離岸距離至僅約為 1 倍時，則必須配合岬灣海灘內之繞射波特性，略為調整上游控制點上之卓越入射波向，特別是在港口外廓配置影響範圍內的小型岬灣中，因其通常會在岬灣入口兩側各具有繞射點，當於小型岬灣底部之平直(安定)海灘段上選定下游控制點後，則通過岬灣入口兩側繞射點之卓越入射波向，更必須配合岬灣入口處之繞射波特性，調整上游控制點上之卓越入射波向。上列結果意謂造成近岸港口毗鄰海灘之沖淤或營造岬灣海灘之主要衝擊作用力，明確係來自於波浪，而且是受可類比岬頭之突堤外廓配置影響而逐漸改變入射波向之繞射波。此外，透過既有實際與經驗化岬灣海灘之相互對照比較，不僅可用以評估港口外廓配置之最大影響距離以及預判波浪影響下游側之海灘沖蝕規模外，最主要的功用，尚可據以研判並推測近岸海域通過外防堤繞射點(上游控制點)之卓越入射波向。

## (2) 離岸堤效應控制影響之岬灣海灘

臺東長濱漁港具有離岸堤型態之港口外廓配置，參見圖 4-30 所示。應用 MepBay 岬灣海灘陳繪軟體(Klein et al., 2003)，配合圖 4-26 所示臺東海域冬季、夏季及全年之波浪統計玫瑰圖，因而即可隨著港口之擴展歷程，在外防波堤堤頭後，檢選一卓越波浪繞射點(上游控制點)，然後，採用岬灣海灘上、下游控制點間之影響距離應約小於 2 倍離岸距離之準則，再於岬灣海灘之安定(平直)段上，設定下游控制點，接著，依據不同時期港口歷史圖像所陳示之實際岬灣海灘型態，調整上游控制點及其上之卓越繞射波向，再透過對照比對，最後，可得受離岸堤效應控制影響下之經驗化岬灣海灘，如圖 4-46 所示。由圖觀察可見，在純粹的離岸堤效應控制影響下，

若離岸堤之長\_距比足夠大，則靜態岬灣海灘可應用以預判堤後繫岸沙洲之淤積位置以及對港嘴與航道淤塞之影響。另外，依據不同的港口擴展歷程，假設沿岸輸沙量微小，以致與上游控制點毗鄰的地形水深經年不變，亦即可檢選相同的波浪繞射點，則隨著上、下游控制點間之影響距離縮減，通過繞射點之卓越入射波向，亦必須配合岬灣海灘內之繞射波行進特性而略為調整。特別是在港口外廓配置影響範圍內(內防波堤與港外海灘上之突堤間)的小型岬灣中，因其通常會在岬灣入口兩側各具有繞射點，當於小型岬灣底部之平直(安定)海灘段上選定下游控制點後，則通過岬灣入口兩側繞射點之卓越入射波向，更應配合岬灣入口處之繞射波特性，調整兩個上游控制點上之卓越入射波向。至於座落在港外平直海灘上之突堤，若其毗鄰海灘會受突堤效應控制影響，則通過突堤繞射點之卓越入射波向，亦必須參照並符合通過外防波堤堤頭繞射點之波向。基於上列實際與經驗化岬灣海灘之對照比較結果可綜合說明，造成近岸港口毗鄰海灘之沖淤或營造岬灣海灘之主要衝擊作用力，明確係因源於波浪，而且是受可類比岬頭之離岸堤外廓配置影響而逐漸改變入射波向之繞射波。此外，透過既有實際與經驗化岬灣海灘之相互對照比較，不僅可用以評估港口外廓配置在波浪繞射點之地形水深變異性、研判外廓配置對下游海灘之最大影響距離外，最主要的功用，尚可應用以預判堤後繫岸沙洲之淤積位置、對港嘴與航道淤塞之影響，並據以推測近岸海域通過外防堤繞射點(上游控制點)之卓越入射波向。

臺東金樽漁港及金樽陸運島皆具有離岸堤型態之港口外廓配置，參見圖 4-33 所示。應用 MepBay 岬灣海灘陳繪軟體(Klein et al., 2003)，配合圖 4-26 所示臺東海域冬季、夏季及全年之波浪統計玫瑰圖，因而即可隨著港口之擴展歷程，在外防波堤堤頭後，檢選一卓越波浪繞射點(上游控制點)，然後，採用岬灣海灘上、下游控制點間之影響距離應約小於 2 倍離岸距離之準則，再於岬灣海灘之安定(平直)段上，設定下游控制點，接著，依據不同時期港口歷史圖

像所陳示之實際岬灣海灘型態，調整上游控制點及其上之卓越繞射波向，再透過對照比對，最後，可得受離岸堤效應控制影響下之經驗化岬灣海灘，如圖 4-47 所示。由圖觀察可見，假設與上游控制點毗鄰的地形水深經年不變，即可檢選相同的波浪繞射點，則隨著上、下游控制點間之影響距離縮減，通過繞射點之卓越入射波向，亦必需配合岬灣海灘內之繞射波行進特性而略為調整。特別是在港口外廓配置影響範圍內(內防波堤與陸連島間)的小型岬灣中，因其通常會在岬灣入口兩側各具有繞射點，當於小型岬灣底部之平直(安定)海灘段上選定下游控制點後，則通過岬灣入口兩側繞射點之卓越入射波向，更應配合岬灣入口處之繞射波特性，調整兩個上游控制點上之卓越入射波向。至於座落在港外平直海灘上之陸連島，由於島後繫岸沙洲型態約略具對稱性，以致其明確係受正向波浪衝擊之離岸堤效應所控制影響，因此，建構陸連島後之經驗化岬灣海灘，如圖 4-48 所示，在通過陸連島兩側繞射點之卓越入射波向，基於近岸波浪的一致性，亦應約略具正向性，且應參照通過外防波堤堤頭繞射點之波向，並據以調整、設定下游控制點。基於上列實際與經驗化岬灣海灘之對照比較結果，可綜合說明，造成近岸港口毗鄰海灘之沖淤或營造岬灣海灘之主要衝擊作用力，明確係因源於波浪，而且是受可類比岬頭之離岸堤外廓配置影響而逐漸改變入射波向之繞射波。此外，透過既有實際與經驗化岬灣海灘之相互對照比較，不僅可用以評估港口外廓配置在波浪繞射點之地形水深變異性、研判外廓配置對下游海灘之最大影響距離外，最主要的功用，尚可應用以預判堤後繫岸沙洲之淤積位置、對港嘴與航道淤塞之影響，並據以判定岬頭繞射點(上游控制點)、海灘受波浪衝擊之最大影響距離(下游控制點)、及通過岬頭繞射點之卓越入射波向。

臺東大武漁港具有離岸堤型態之港口外廓配置，參見圖 4-38 所示。應用 MepBay 岬灣海灘陳繪軟體(Klein et al., 2003)，配合圖 4-26 所示臺東海域冬季、夏季及全年之波浪統計玫瑰圖，因而即可隨著港口之擴展歷程，在外防波堤堤頭後，檢選一卓越波浪繞射點

(上游控制點)，然後，採用岬灣海灘上、下游控制點間之影響距離應約小於 2 倍離岸距離之準則，再於岬灣海灘之安定(平直)段上，設定下游控制點，接著，依據不同時期港口歷史圖像所陳示之實際岬灣海灘型態，調整上游控制點及其上之卓越繞射波向，再透過對照比對，最後，可得自 2000 年 12 月至 2018 年 12 月期間，不同擴展歷程之港口外廓配置，受離岸堤效應控制影響下之經驗化岬灣海灘，分別如圖 4-49、圖 4-50 及圖 4-51 所示。由圖觀察可見，在不同時期之港口外廓配置，由於外防波堤堤頭近傍的地形水深，受經年累月由北而南之沿岸輸沙沉積影響而有淤淺變化趨勢，所以，欲將實際與經驗化岬灣海灘作對照比較，原來應檢選鄰近堤頭位置之上游控制點或波浪繞射點，因而必須稍向堤頭外側移動；另外，隨著上、下游控制點間之影響距離縮減，通過繞射點之卓越入射波向，亦必需配合岬灣海灘內之繞射波行進特性而略為調整。特別是在港口外廓配置影響範圍內(內防波堤與港外海灘上之新建突堤間)的小型岬灣中，參見圖 4-51 所示，因其在岬灣入口兩側明顯各具有繞射點，當於小型岬灣底部之平直(安定)海灘段上選定下游控制點後，則通過岬灣入口兩側繞射點之卓越入射波向，亦應配合岬灣入口處之繞射波特性，調整兩個上游控制點上之卓越入射波向。至於座落在港外平直海灘上之新建突堤，由於堤後岬灣海灘明確係受突堤效應控制影響，因此，新建突堤後之經驗化岬灣海灘，參見圖 4-51 所示，通過突堤堤頭繞射點之卓越入射波向，基於近岸波浪的一致性，亦應參照通過外防波堤堤頭繞射點之波向。基於上列受「離岸堤效應」與「突堤效應」共同控制影響所造成實際與經驗化岬灣海灘之對照比較結果，可綜合說明，造成近岸港口毗鄰海灘之沖淤或營造岬灣海灘之主要衝擊作用力，明確係因源於波浪，而且是受具有可類比岬頭之離岸堤或突堤外廓配置影響而逐漸改變入射波向之繞射波，也因此，面對具時、空變異性的近海波浪衝擊，並隨著近岸港口的擴展歷程與因沿岸輸沙沈積影響造成港口地形水深之變化，毗鄰港口外廓配置之岬灣海灘，實際應非靜態，反而應皆是動態，而且是持續變動的。僅管如此，透過既有實際與經驗化岬灣海灘之相

互對照比較，仍可有效評估港口外廓配置在波浪繞射點之地形水深變異性、研判外廓配置對下游海灘之最大影響距離，確認堤後繫岸沙洲之淤積位置及造成港嘴與航道淤塞原因，特別是可據以推測近岸海域通過外防堤繞射點(上游控制點)之卓越入射波向。

總合而論，在近岸港口外廓配置通常會導致「離岸堤效應」或「突堤效應」之控制影響下，可確認波浪之衝擊作用，明確是造成與港口毗鄰海灘沖蝕及導致港口航道淤塞之主要原因，且與港口毗鄰海灘受波浪衝擊作用之影響範圍，概約可達離岸堤或突堤離岸距離的 2 倍，而離岸距離，參見圖 4-44，係指順沿卓越入射波向而介在堤頭繞射點與安定海灘線間之距離。至於在港口外廓配置影響範圍內，岬灣海灘的營造，實際的經常作用力，主要係來自於卓越波浪通過堤頭之繞射波的強力衝擊，因此，基於近岸卓越波浪的時、空變異性，以及隨著近岸港口的擴展與因沿岸輸沙沈積影響造成港口地形水深之變化，致使鄰近岬頭之波浪繞射點具有變動性，所以，毗鄰港口外廓配置之岬灣海灘，實際皆是動態的，這意謂長久穩定的靜態岬灣海灘，其存在性是不可期待的。僅管如此，經驗化岬灣海灘之應用，可依據既有動態性之岬灣海灘以判定岬頭繞射點(上游控制點)、海灘受波浪衝擊之最大影響距離(下游控制點)及通過岬頭繞射點之卓越入射波向。

此外，值得特別注意的是，假若港口的外廓配置與卓越波浪特性不具時變性，則由「離岸堤效應」所造成與港口毗鄰之岬灣海灘型態或沖蝕影響範圍，與「突堤效應」對照比較，相對上是較穩定且是長期性的，造成差異的主要原因，係由於在「突堤效應」之控制影響下，位在突堤兩側的海灘，不僅沖淤狀態具時變性，在空間上更具有不均勻性，以致在突堤設施完成建置初期，僅管其對概約 2 倍離岸距離範圍內之下游毗鄰海灘，短期間內會因沿岸輸沙被阻斷而產生明顯之沖蝕影響，但長期而言，當突堤上游側之海灘充分淤積後，由於近岸地形水深的變化，卓越入射波浪特性將被迫改變，突堤岬頭之波浪繞射點會移位，致使沿岸輸沙將可越過突堤之岬頭而可重新補注至下游側海灘，進而可逐漸縮減突堤對下游側海灘之衝擊影響範圍。



鹽寮漁港\_20121215\_突堤的影響距離\_花蓮鹽寮漁港\_3



鹽寮漁港\_20160208\_突堤效應\_擴建後靜態岬灣\_1-2Xa.tif

**圖 4-45 臺灣東部具突堤外廓配置型態之花蓮鹽寮漁港應用靜態岬灣海灘以 2 倍(上)及 1 倍(下)離岸距離評估「突堤效應」對堤後毗鄰海灘之沖蝕影響範圍**

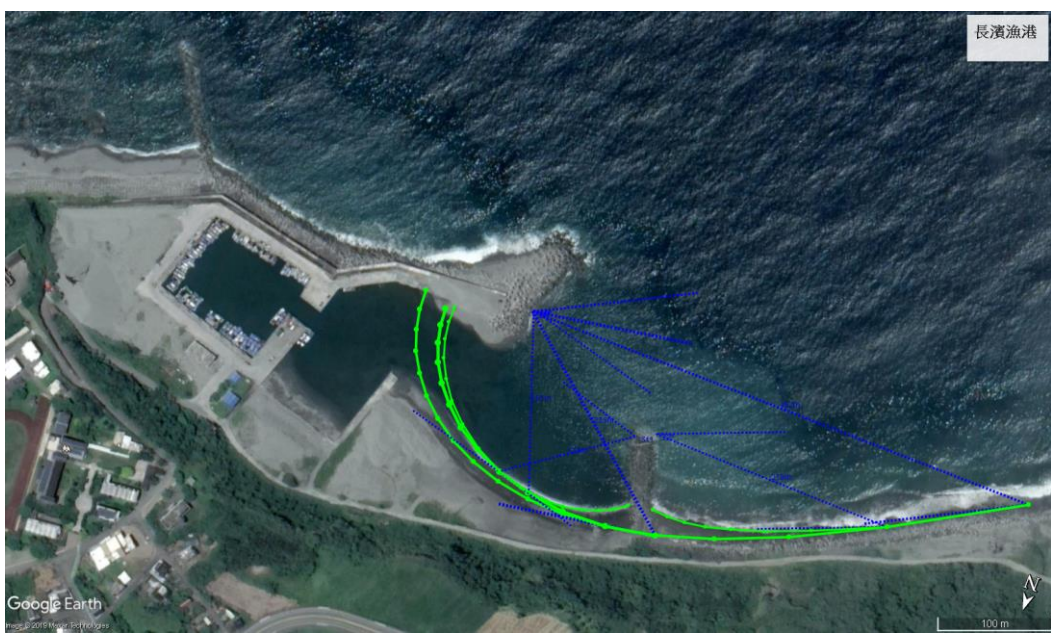
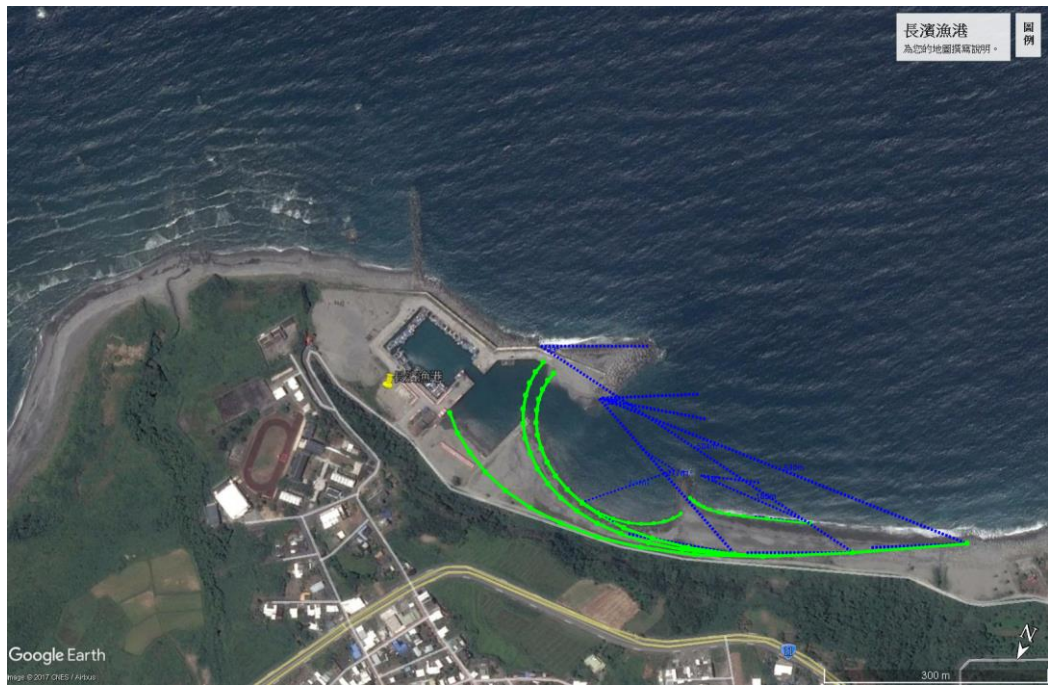


圖 4-46 臺灣東部具離岸堤外廓配置型態之長濱漁港應用靜態岬灣海灘以 2 倍(上)及 1 倍(下)離岸距離評估「離岸堤效應」與「突堤效應」共同造成港嘴航道之淤塞及對堤後毗鄰海灘之沖蝕影響範圍



金樽漁港\_20130819\_離岸堤效應\_陸連島\_靜態岬灣\_2X.tif



金樽漁港\_20180115 離岸堤效應\_陸連島\_靜態岬灣\_1-2X.tif

圖 4-47 臺灣東部具離岸堤群外廓配置型態之金樽漁港應用靜態岬灣  
海灘以 2 倍及 1 倍離岸距離評估 2013 年(上)與 2018 年(下)「離岸堤效  
應」與「突堤效應」共同造成港嘴航道之淤塞及對堤後毗鄰海灘之沖  
蝕影響範圍



金樽陸連島\_20180115 離岸堤效應\_靜態岬灣\_4.tif



金樽陸連島\_20180115 離岸堤效應\_靜態岬灣\_1X.tif

圖 4-48 臺灣東部具離岸堤外廓配置型態之金樽陸連島應用靜態岬灣海灘以 1 倍離岸距離評估「離岸堤效應」所造成之堤後繫岸沙洲淤積及對毗鄰海灘之沖蝕影響範圍



大武漁港\_離岸堤效應\_200012\_靜態岬灣\_淤淺\_2Xa.tif



大武漁港\_離岸堤效應\_20111020\_靜態岬灣\_淤淺\_2X.tif

圖 4-49 臺灣東部具離岸堤外廓配置型態之大武漁港應用靜態岬灣海灘以 2 倍及 1 倍離岸距離評估 2000 年(上)與 2011 年(下)「離岸堤效應」與「突堤效應」共同造成港嘴航道之淤塞及對堤後毗鄰海灘之沖蝕影響範圍



大武漁港\_離岸堤效應\_20120910\_靜態岬灣\_淤淺\_2Xa.tif



大武漁港\_離岸堤效應\_20130731\_靜態岬灣\_淤淺\_2X.tif

圖 4-50 臺灣東部具離岸堤外廓配置型態之大武漁港應用靜態岬灣海灘以 2 倍及 1 倍離岸距離評估 2012 年(上)與 2013 年(下)「離岸堤效應」與「突堤效應」共同造成港嘴航道之淤塞及對堤後毗鄰海灘之沖蝕影響範圍

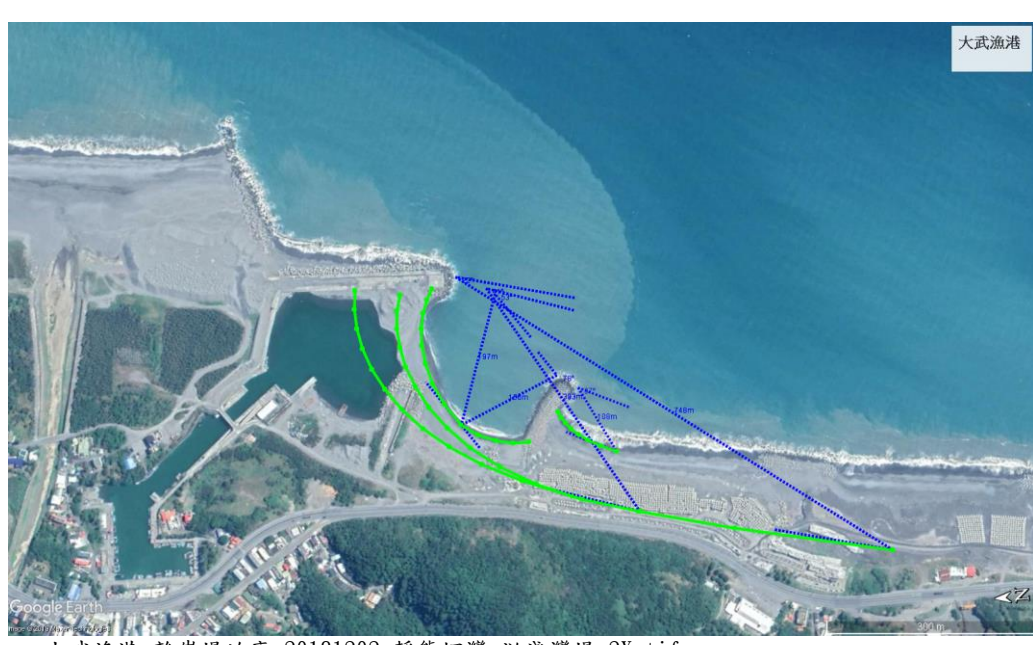


圖 4-51 臺灣東部具離岸堤外廓配置型態之大武漁港應用靜態岬灣海灘以 2 倍及 1 倍離岸距離評估 2014 年(上)與 2018 年(下)「離岸堤效應」與「突堤效應」共同造成港嘴航道之淤塞及對堤後毗鄰海灘之沖蝕影響範圍

#### 4.4 近岸港口淤塞與毗鄰海灘沖淤之防治對策

臺灣的近岸港口，特別是漁港與其航道的順暢，密切與船筏進出安全、港澳功能維持、甚至是與社區發展等社經事務相關聯，因此，向來是漁民及政府各級漁業主管機關重視之問題。

解決近岸港口之淤沙問題，長年以來，國內普遍採行之防治對策，一般皆以增建防沙堤或延伸港口外廓防波堤作為改善因應。惟因漁港規模普遍偏小，淤塞土方量通常不大，辦理疏浚經費又遠較增建防沙堤或防波堤儉省，因此，近年來近岸港口之淤塞防治，僅管治標不治本，仍然採行以緊急疏浚工程因應，並曾編列高達四億餘元清淤經費，藉以暫時性改善港口航道之淤淺(農委會，2009)。又對於與近岸港口構建所導致毗鄰海灘的沖蝕問題，國內通常採行之防治對策，大多以興築突堤(群)、離岸堤(群)、應用岬頭控制並施行人工養灘等海岸防護措施為主，惟因區域海地氣象條件不同，準確掌握不易，加以波浪與結構物及漂沙間的交互作用複雜，施行相關防護措施與對策，成效甚難以預期，尤其海灘是波浪作用及生態環境之敏感區，不適當或不週詳的對策擬訂與措施執行，反而極易導致海灘侵蝕、棲地變遷消失、甚至是海岸環境景觀破壞等副作用。

防治近岸港口航道淤塞與毗鄰海灘的沖蝕，是具有整體性、多元性、全面性、長期性的海岸工程課題。本研究透過臺灣近岸海域風、浪、流等海氣象環境的瞭解，針對暴潮巨浪之時空變動性作用、海灘坡度與碎波型態改變、及海岸防護設施及港口外廓配置影響等三項關鍵機制，參見圖 4-40，從近岸波浪與漂沙及結構物間的交互作用著手，研提並建議港口淤塞與毗鄰海灘沖蝕之防治對策如后：

- (1) 針對近岸港口，無論是在規劃、設計、擴建、維護及清淤疏浚階段，建議皆應著重於「離岸堤效應」與「突堤效應」之影響評估，參見圖 4-45~圖 4-51，並交互應用「突堤效應」及「離岸堤效應」，

藉以防治港嘴航道淤塞及減輕毗鄰海灘沖蝕；

- (2) 應用數值模擬技術，持續推展現場調查，如圖 4-52 所示，藉以廣泛研究前灘地形水深與海灘坡度對波浪繞射與碎波型態的影響，掌握近岸波浪與漂沙特性，詳實評估近岸灘區卓越波浪之衝擊作用力及波浪對漂沙的輸運作用；

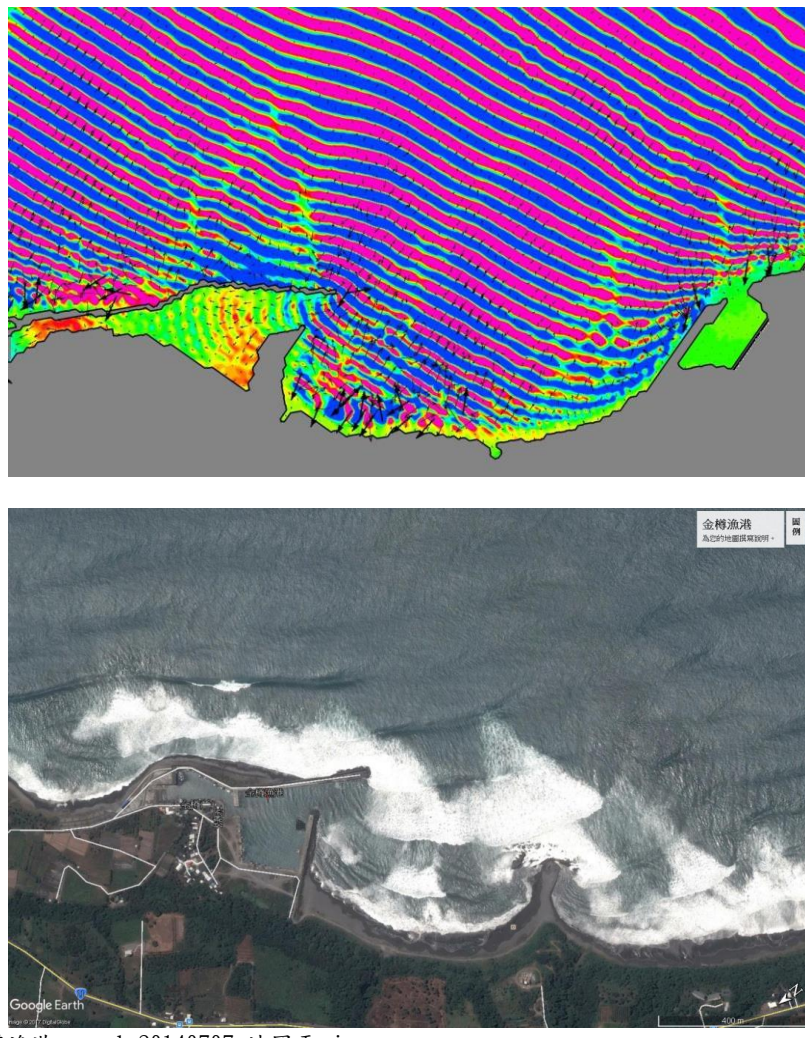


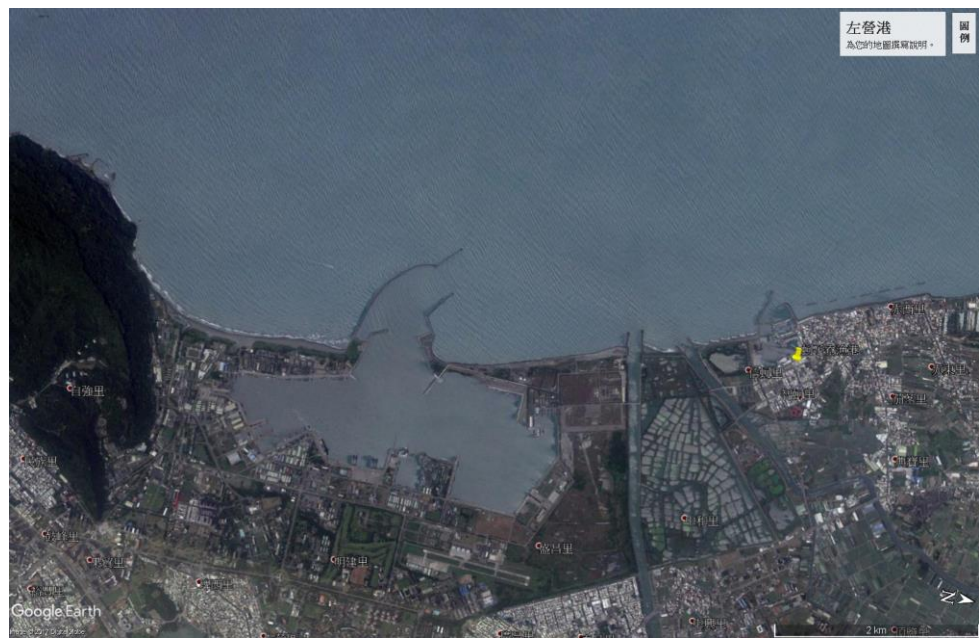
圖 4-52 對於近岸港口外廓配置，應用數值模擬(上)及現場調查(下)詳實掌握波浪碎波型態及對近岸灘區之波浪衝擊力與對漂沙的輸運作用

- (3) 港口外廓配置之外防波堤，應盡可能避免採用對波浪或漂沙具良好阻絕效果之直線或折線，並改採可有效減緩波浪衝擊及順應漂沙輸運之圓弧型態，藉以維持沿岸漂沙輸送途徑之通暢，如圖 4-53 及圖

4-54 所示；至於內防波堤，特別應替代直線而改採圓弧型態，藉以轉移原存在於外防波堤岬頭之波浪繞射點，參見圖 4-54，並利用「突堤效應」，防制因「離岸堤效應」在堤後發展所衍生之衝擊環流以及直接向港口及航道輸運之漂沙，減輕淤塞，如圖 4-55 所示；

- (4) 對於既有存在淤積狀況之近岸港口，港口配置與規模必定普遍因往昔的擴建或改善工程而存在「離岸堤效應」，故建議外廓內、外防波堤，可參考國內、外施行減量工程之成功案例，進行配置改善、調整評估，如圖 4-56 所示；特別是對於平行海岸的港口外廓設施或防波堤，應針對「離岸堤效應」，就其總長度(B)及離岸距離(X)，配合近岸碎波帶寬度作嚴謹衡量，並依據既有離岸堤之設計與配置經驗準則，參見式(4-9)及式(4-10)，作適度限縮，藉以降低「離岸堤效應」之發展，排除堤後繫岸沙洲或沙舌海灘之營造規模，同時可防治港嘴及航道之淤塞，並可輕減毗鄰港口海灘之沖蝕。

針對臺灣東部長濱漁港、金樽漁港及大武漁港等近岸港口，因其外廓防波堤配置所造成之「離岸堤效應」及因而衍生之港嘴航道淤塞與毗鄰海灘沖蝕課題，本研究基於暴潮巨浪之時空變動性作用、海灘坡度與碎波型態改變及海岸防護設施與港口外廓配置影響等三項關鍵機制，參見圖 4-40，從近岸波浪與漂沙及結構物間的交互作用著手，檢選以臺東大武漁港現況外廓配置為例，參見圖 4-51，建議最經濟之防治對策且規模最小之改善措施，係將內防堤，比照港口南側新建突堤之拋石形式與圓弧型態，將既有配置向南作適度延伸約 120 公尺至 5 米等深線，藉以降低及減小外防波堤所造成之「離岸堤效應」，並轉移現況伴隨「離岸堤效應」而存在於外防波堤岬頭之波浪繞射點，同時可應用「突堤效應」，截斷與導引外防波堤後側營造繫岸沙洲之波浪沖擊流，並攔阻直接向港口及航道輸運之漂沙。相關建議之防治措施與改善對策，初步規劃之示意配置，如圖 4-57 所示。



左營港\_google 地圖 201602 平\_圓弧防波堤\_細.jpg

圖 4-53 港口外廓防波堤設施為減小「突堤效應」、防制「離岸堤效應」  
替代直線而改採圓弧型態之配置



和平工業專用港\_GoogleEarth 地圖 20160615 大平.jpg

圖 4-54 港口外防波堤配置為防治港嘴航道淤塞及輕減毗鄰海灘沖蝕  
而採圓弧型態以減小「突堤效應」及縮減長度以防制「離岸堤效應」  
在堤後營造繫岸沙洲或沙舌海灘



左\_大武漁港\_南興海岸\_離岸堤與圓弧形的突堤配置\_細平\_20140702.jpg



右\_大武漁港\_南興海岸\_離岸堤與圓弧形的突堤配置\_細平\_20181202.jpg

圖 4-55 港口外廓內防波堤配置成圓弧型態前(上)、後(下)應用「突堤效應」以防制因「離岸堤效應」在堤後所衍生之衝擊環流及阻絕其直接向港口及航道輸運漂沙而造成淤塞



和美漁港\_google 地圖\_細平\_20020402\_離岸堤效應. jpg



和美漁港\_google 地圖\_細平\_20131204\_離岸堤效應之改善. jpg

**圖 4-56 港口外廓防波堤配置實施「減量工程」前(上)、後(下)因有效降低及減小「離岸堤效應」並充分應用「突堤效應」所複合達成港口淤塞與毗鄰海灘沖蝕之改善**

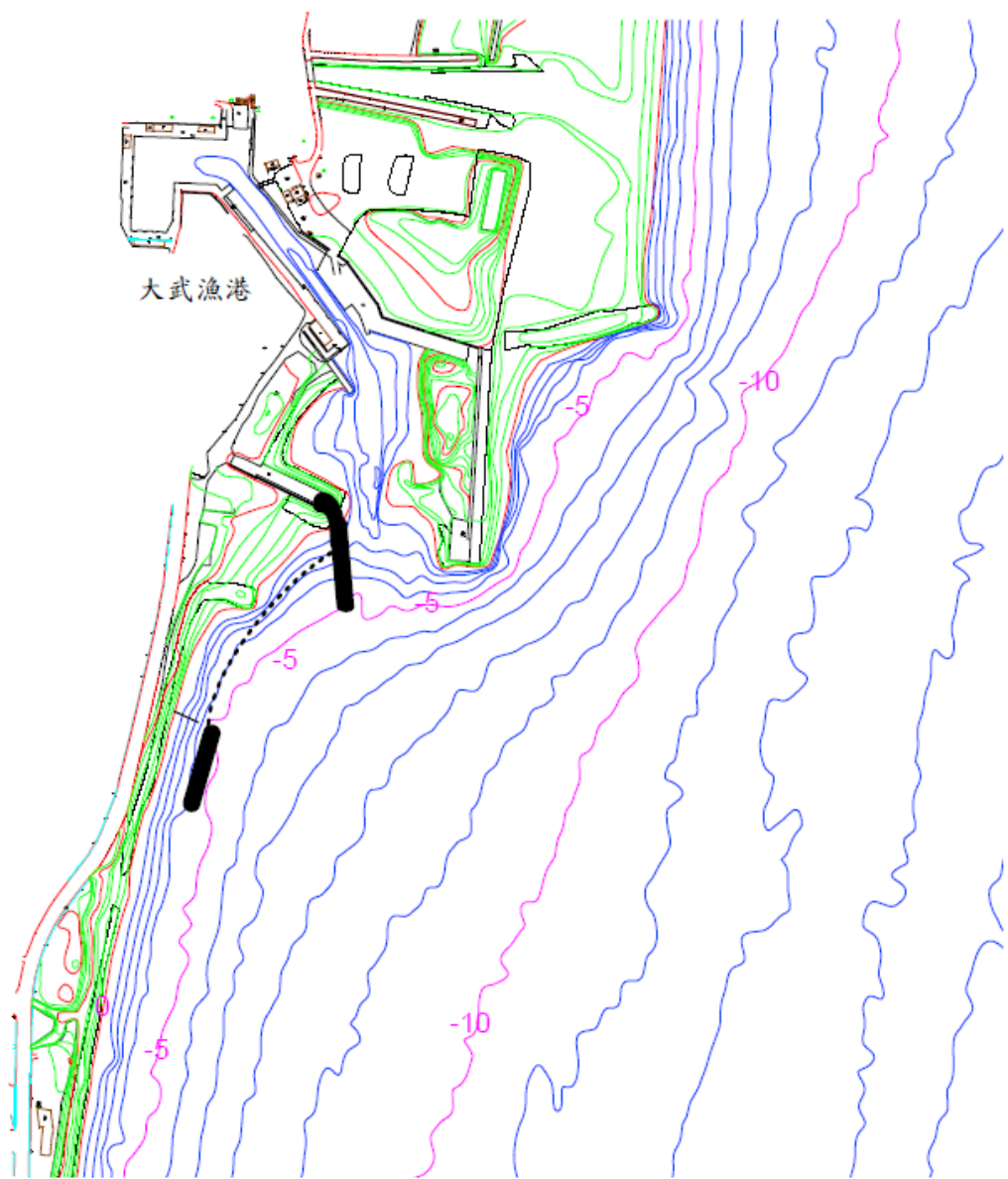


圖 4-57 防治臺東大武漁港現況港口嚴重淤塞及毗鄰海灘沖蝕之措施與對策，建議適度延伸內防堤以應用其「突堤效應」降低及減小外防波堤所造成之「離岸堤效應」並導引外防波堤後側營造繫岸沙洲之波浪沖擊流，且攔阻直接向港口及航道輸運之漂沙

## 第五章 結論與建議

本研究所稱之「近岸港口」，係指港口之外廓防波堤或航道出口座落於碎波帶內或位於內灘者。

臺灣環島的近岸港口，大多為規模不大、航道水深較淺的漁港，為防制颱風與季風波浪之侵襲，保持港域之靜穩，經常會在平行及垂直海岸方向，構築防波堤之外廓防浪設施，但是在過於著重防浪功能、急切擴增港域面積、及講究泊地靜穩度情況下，外廓防波堤之配置或擴建，因而普遍具有突堤與離岸堤之複合形式，以致外廓防波堤，除了防浪外，將附帶衍生具有影響及改變近岸灘區輸沙平衡之離岸堤型態與功能，且當此些具有防護海灘侵蝕之防波堤設施座落在漂沙最活躍之碎波帶內，則勢必將因近岸灘區失衡的波浪作用與失調之輸沙運移沈積而導致「離岸堤效應」與「突堤效應」，進而促成港口與航道之嚴重淤塞與毗鄰海灘之沖蝕。

針對臺灣東部近岸港口現況發生之嚴重淤塞及毗鄰海灘沖蝕課題，本研究主要之研究目的，在結合現今進步且多元的網際網路資源，應用 Google Earth 之歷史圖像，調查既有近岸港口外廓防浪設施之配置，綜整分析港口之外廓配置型態，檢視毗鄰海灘之沖淤特性，再檢選分別座落在臺東海岸南、北兩端之大武及長濱漁港為例，應用莊(2017)所提出之「離岸堤效應」作基礎，從近岸波浪、海流與人工構造物的交互干擾與影響層面著手，尤其著重近岸波浪碎波之直接衝擊，據以評估近岸港口外廓防浪設施對毗鄰海灘沖淤之影響，掌握造成港口淤塞之關鍵控制因素，進而研提相關之防治對策與建議。藉期透過本研究，可提升近岸港口沖淤課題觀察之廣度與深度，精進海岸經理策略，降低生態環境衝擊，促成國家海岸資源之永續利用。

## 5.1 結論與建議

近岸港口淤塞與毗鄰海灘沖蝕，是波浪、漂沙與港口外廓配置的交互干擾課題。本研究依據臺灣東部長濱漁港、金樽漁港及大武漁港港口航道淤塞與毗鄰海灘沖蝕之特性，研判主要的影響因素，含括具時、空變動性暴潮巨浪(約大於 1.5 m)在沖刷帶上之強勁衝擊流作用、具不定常且非均勻性海灘坡度與碎波型態之改變及海岸防護設施與港口外廓配置規模持續擴展等三項。關鍵機制則是碎波帶內波浪對港口外廓配置之直接衝擊流所引致「離岸堤效應」與「突堤效應」之複合作用。

當近岸港口受「離岸堤效應」與「突堤效應」之控制影響下，波浪衝擊作用對與港口毗鄰海灘之沖淤影響範圍，概約可達外防波堤(離岸堤)或內防波堤(突堤)堤頭離岸距離的 2 倍。又在港口外廓配置影響範圍內，受卓越波浪通過外防波堤堤頭之繞射波的強力衝擊，海灘通常會自然形成岬灣，惟因近岸卓越波浪的時、空變異性，以及隨著近岸港口擴展與沿岸輸沙沈積所造成港口地形水深之變化影響，致使鄰近岬頭之波浪繞射點具有變動性，所以，毗鄰港口外廓配置之岬灣海灘，實際皆是動態的，這說明長久穩定的靜態岬灣海灘，其存在性是不可期待的。僅管如此，經驗化岬灣海灘之應用，可據以明確有效地研判近岸海域短期間內通過岬頭控制點(繞射點)之卓越入射波向。

對於近岸港口航道淤塞與毗鄰海灘沖蝕之防治對策，建議可採行之通用綜合措施包括：無論是在規劃、設計、擴建、維護及清淤疏浚階段，皆應著重於「突堤效應」及「離岸堤效應」之評估，藉以確實避免或有效降低其影響；對於前灘地形水深與海灘坡度對波浪繞射與碎波型態的時空變動性，應配合現場調查並採用數值模擬技術，廣泛詳實進行研究，特別是掌握近岸灘區卓越波浪之衝擊作用力及波浪對漂沙的輸運作用；擴展港口外廓配置規模，外防波堤應盡採用可有效減緩波浪衝擊及順應漂沙輸運之圓弧型態，而內防波堤，特別應著重於轉移原存在於外防波堤岬頭之波浪繞射點，並利用「突堤效應」，防

制因「離岸堤效應」在堤後發展所衍生之衝擊環流以及直接向港口及航道輸運之漂沙；對於既有港口外廓配置所衍生之「離岸堤效應」，可參考國內、外施行減量工程之成功案例，就其外防波堤之總長度及離岸距離，配合離岸堤之設計與配置經驗準則，作適度限縮，藉以抑制「離岸堤效應」之發展，排除堤後繫岸沙洲或沙舌海灘之營造規模。

檢選大武漁港做為臺灣東部近岸港口之代表，針對其外廓防波堤配置所造成之「離岸堤效應」及因而衍生之港嘴航道淤塞與毗鄰海灘沖蝕，本研究綜合近岸波浪與漂沙及結構物間的交互作用及關鍵影響機制之研判分析，建議最經濟之防治對策且規模最小之改善措施，係將內防堤，比照港口南側新建突堤之拋石形式與圓弧型態，將既有配置向南作適度延伸約 120 公尺至 -5 米等深線，藉以降低及減小外防波堤所造成之「離岸堤效應」，並轉移現況伴隨「離岸堤效應」而存在於外防波堤岬頭之波浪繞射點，同時可應用「突堤效應」，截斷與導引外防波堤後側營造繫岸沙洲之波浪沖擊流，並攔阻直接向港口及航道輸運之漂沙。

## 5.2 研究成果之效益

本研究成果主要在充分掌握碎波帶內造成近岸港口與毗鄰岸灘沖淤之關鍵機制，進而研提並建議相關之防治對策。主要研究效益，綜整條列如下：

- (1) 學術成就(科技基礎研究)方面：發表國內研討會論文 2 篇，出版研究報告 1 冊。深切分析檢討臺灣東部近岸港口既存之沖淤機制與型態，提出「離岸堤效應」，確認造成近岸港口淤塞之關鍵因素，並評估與港口毗鄰海灘之沖蝕影響。結合海岸專業知識，溫故知新，學以致用；；
- (2) 技術創新(科技整合創新)方面：結合網際網路資源，應用 Google Earth 之歷史圖像，提升掌握科研課題之廣度與深度，擴展分

析觀點，精進海岸經理評估策略，降低生態環境衝擊，促成國家海岸資源之永續利用；

- (3) 在經濟效益(經濟產業促進)方面：配合政府推展「海岸管理法」之永續發展目標，因應海岸防災效能，撙節經常性防沖減淤之減災與救災成本，大量減少長期性港口淤沙疏浚之維運費用；
- (4) 在社會影響(社會福祉提升、環保安全)方面：配合「整體海岸管理計畫」，綜整海岸管理之課題與對策、導引海岸地區之有效維護措施，推展海岸利用方向，健全海岸之永續管理，改善近岸港口之經常性淤塞，消弭漁民對出海作業不便之怨言；
- (5) 在其它效益(政策管理及其它)方面：維繫自然平衡之海灘系統，確保自然海岸零損失，因應氣候變遷，防治海岸災害與環境破壞，保護與復育海岸資。

### 5.3 可供本所或其他政府機關後續應用情形

本研究結合網際網路資源，應用 Google Earth 之歷史圖像，提升掌握科研課題之廣度與深度，擴展分析觀點，發揮海岸專業學能，溫故知新，學以致用，歸納近岸港口外廓配置型態，研判其對毗鄰海灘之沖淤影響與範圍，具體建議對於近岸港口之防沖減淤對策，無論是在規劃、設計、擴建或維護階段，皆應著重於「突堤效應」及「離岸堤效應」之避免或降低，特別是對外廓防波堤之既有配置，施行長度減量工程，或適度延長港口內防波堤之長度，藉以有效阻絕離岸堤堤後沙舌或繫岸沙洲之衍生，進而可大量減少長期性港口淤沙疏浚之人力與物力投注。相關成果可提供行政院農委會漁業署、交通部、各港務分公司、內政部、經濟部水利署、各工程顧問公司等相關產、官、學、研單位從事海岸開發、港灣規劃、設計、擴建及維護的應用參考。推動並落實總體性之海岸保育與防災策略，撙節年度防沖減淤經費之投注。

## 參考文獻

1. Antonio Henrique da Fontoura Klein, Ariel Vargas, Andre Luis Alice Raabe and John R.C. Hsu, (2003). Visual assessment of bayed beach stability with computer software. *Computers & Geosciences*, 29, pp.1249-1257.
2. Bos, K.J., Roelvink J.A. and M.W. Dingemans, (1996). Modelling the impact of detached breakwaters on the coast, *Coastal Engineering*, pp.2022-2035.
3. DHI (2017). *Shoreline management guideline*, DHI , Hørsholm, Denmark. Author(s): Karsten Mangor, Nils K. Drønen, Kasper H. Kærgaard and Sten E. Kristensen, pp.462.
4. Environment Agency (2010). *Modelling the effect of nearshore detached breakwaters on sandy macro-tidal coasts*, Environment Agency, SC0600026/R2, Bristol, UK. Author(s): Hakeem Johnson, Jort Wilkens, Andy Parsons and Tim Chesher. pp.161.
5. Frihy, O.E., El Banna M.M. and A.I. El Kolfat (2004). Environmental impacts of Baltim and Ras El Bar shore-parallel breakwater systems on the Nile delta littoral zone, Egypt. *Environmental Geology*, 45, pp.381-390. DOI 10.1007/s00254-003-0886-y.
6. Hsu, J.R.C., R. Silvester and Y.M. Xia (1989). Applications of headland control, *Journal of Waterways, Port, Coastal, and Ocean Engineering*, ASCE, Vol. 115, No. 3, pp. 299-310.
7. Hsin, Y.C., C.R. Wu and P.T. Shaw (2008). Spatial and temporal variations of the Kuroshio east of Taiwan, 1982-2005: A numerical study. *J. Geophys. Res.*, 113, C04002.
8. Hsu, J.R.C. and C. Evans, (1989). Parabolic bay shapes and applications. *Proceedings, Institution of Civil Engineers*, Part 2, London: Thomas Telford, Vol. 87, pp. 557-570.
9. Hsu, J.R.C. and R. Silvester, (1990). Accretion behind single offshore breakwater. *J. Waterways, Ports, Coastal and Ocean Engineering*,

ASCE, 116 (3) , pp. 362-379.

10. Hsu, J.R.C., J.C. Chu, S.R. Liaw and C.Y. Lee, (2006). Methodology of shore protection in Taiwan at the crossroads. *Proc. 30th International Conference on Coastal Engineering*, ASCE, v. 4, pp. 3762-3774.
11. Karambas Th. V. and C. Koutitas, (2002). Surf and swash zone morphology evolution induced by nonlinear waves, *Journal of Waterway, Port, Coastal and Ocean Engineering*, American Society of Civil Engineers (ASCE), Vol. 128, no 3, pp. 102-113.
12. Karambas Th. V. (2002) Nonlinear Wave Modeling and Sediment Transport in the Surf and Swash Zone, *ADVANCES in COASTAL MODELING*, Elsevier Science Publishers.
13. Karambas Th. V. and E.K. Karathanassi, (2004). Boussinesq modeling of Longshore currents and sediment transport, *Journal of Waterway, Port, Coastal and Ocean Engineering*, American Society of Civil Engineers (ASCE), Vol. 130, no 6, pp. 277-286.
14. Karambas Th. V. (2006). Prediction of sediment transport in the swash zone by using a nonlinear wave model, *Continental Shelf Research*, 26, pp. 599-609.
15. Karambas, Th. V. (2012). Design of detached breakwaters for coastal protection: Development and application of an advanced numerical model, *Coastal Engineering*, pp. 1249–1257.
16. Klein, A.H.F., A. Vargas, A.L.A. Raabe and J.R.C. Hsu, (2003). Visual assessment of bayed beach stability with computer software, *Computers and Geosciences*, Vol. 29, pp. 1249-1257.
17. Lin, M.C., W.J. Juang and T.K. Tsay, (2001). Anomalous Amplification of Semidiurnal Tides along the Western Coast of Taiwan. *Ocean Engineering*, Vol. 28, No. 9, pp. 1171-1198.
18. Longuet-Higgins, M.S. and R.W. Stewart, (1964). Radiation stress in water wave - A physical discussion with applications. *Deep-Sea Res.*, Vol. 11, No. 4, pp. 529-562.

19. Longuet-Higgins, M.S., (1970). Longshore currents generated by obliquely incident sea waves. *Journal of Geophysical Research*, Vol. 75, pp. 6778-6789.
20. Matsumoto K., Takanezawa T. and M. Ooe, (2000). Ocean Tide Model Developed by Assimilating TOPEX/POSEIDON Altimetry Data into Hydrodynamical Model: A Global and a Regional Model around Japan. *Journal of Oceanography*, 56, pp. 567-581.
21. Ming D. and Y-M. Chiew, (2000). Shoreline changes behind detached breakwater, *Journal of Waterway, Port, Coastal, and Ocean Engineering*, Vol. 126, No. 2, 63-70.
22. Rosati J.D. (1990). *Functional design of breakwaters for shore protection: empirical methods Technical Report*, CERC-90-15, US Army Corps of Engineers, Washington DC.
23. Silvester, R. and J.R.C. Hsu, (1997). *Coastal Stabilization*, Singapore, World Scientific, 578 pp.
24. Sørensen O.R., Schäffer H.A. and P.A Madsen, (1998). Surf zone dynamics simulated by a Boussinesq type model. Part III. Wave-induced horizontal nearshore circulations. *Coastal Engineering*, 33, pp 155-176.
25. Sunamura, T. and K. Horikawa, (1974). Two-dimensional beach transformation due to waves. *Proceedings of the 14th Conference on Coastal Engineering*, ASCE, pp. 920-938.
26. Tucker, M.J. (1991). *Waves in Ocean engineering : Measurement, Analysis, Interpretation*, Ellis Horwood Series in Marine Science, E. Horwood, New York, , 431p.
27. Wu, C.R., S.Y. Chao and C. Hsu, (2007). Transient, seasonal and interannual variability of the Taiwan strait current. *J. Oceanogr.*, 63, pp.821-833.
28. 田中則男(1983),「日本沿岸の漂砂特性と沿岸構造物築造に伴う地形變化に関する研究」, 港灣技研資料, No. 453, 第 148 頁。

29. 台南水工試驗所 (1970) “大武漁港模型試驗及漂沙研究報告”，成功大學台南水工試驗所，研究報告第十二號。
30. 聯勤 (1978)，「臺灣省全圖-五十萬分之一比例尺」，中華民國聯合勤務總司令部測量署。
31. 郭金棟 (1988)，“海岸工程”，中國土木水利工程學會，共 442 頁。
32. 郭金棟 (1990)，“臺灣海岸地形變化及其未來之開發利用”，行政院科技顧問組委託研究報告，CKHOTR-90-012，國立成功大學水利及海洋工程研究所，共 219 頁。
33. 許泰文、歐善惠、張憲國 (1994)，「花蓮海岸侵蝕防護對策之研究」，第 16 屆海洋工程研討會論文集，第 D186-206 頁。
34. 許泰文、徐立政、張憲國 (1996)，「單一離岸堤背後海岸線變遷之研究」，中國土木水利工程學刊，第九卷，第三期，第 473-482 頁。
35. 溫志中、許泰文 (1996)，「動態人工岬灣應用之研究」，第 18 屆海洋工程研討會論文集，第 675-682 頁。
36. 簡仲和、許泰文、黃建維、邱耀達 (1996)，“和美漁港現場調查與地形變遷初步研究（II）”，國立成功大學水利及海洋工程學系。
37. 郭金棟 (1997)，「臺灣海岸災害防治之展望」，第 19 屆海洋工程研討會專題演講，中國土木水利工程學會，共 8 頁。
38. 許泰文、溫志中 (1997)，「河川與海岸穩定對策之研究-宜蘭海岸侵蝕對策之研究(III)」，國立成功大學水利及海洋工程研究所，CKHOTR-97-005，共 65 頁。
39. 張金機、黃清和 (1997)，「臺灣四周海岸侵蝕現況分析」，86 年度海岸工程研討會論文-臺灣四周海岸沖蝕防治技術，港灣技術研究所，第 1-26 頁。
40. 郭金棟、蔡丁貴、簡仲和、陳文俊 (1997)，“氣候變遷對臺灣海平面上升及海岸地形之影響”，環保署計畫報告，EPA-86-FA41-

09-79。

41. 郭金棟、陳文俊 (1999),「臺灣西部海平面變動分析」, 第 21 屆海洋工程研討會論文集, 第 403-410 頁。
42. 郭金棟 (1999),“大武漁港漂沙防治研究”, 國立成功大學水利及海洋工程學系研究報告, 編號 : 87 科技-1.4-漁-07, 序號 : 9。
43. 林輝、閻國年、宋志堯 (2000),“東中國海潮波系統與海岸演變模擬研究”, 科學出版社, 中國, 共 266 頁。
44. 監察院 (2000),「國土保全總體檢」, 委員自動調查報告, 89 年 1 月 14 日(89)院台業壹字第 890700305 號函。
45. 林銘崇、蕭松山、張國強 (2001),「海岸線變遷模式發展」, 2001 海洋數值模式研討會論文集, 第 13.1-8 頁。
46. 郭一羽 (2001),“海岸工程學”, 文山書局。
47. 郭金棟、簡仲和 (2001),“臺灣地區既有海堤功能檢討”, 國立成功大學水利及海洋工程研究所, 共 173 頁。
48. 歐善惠、許泰文、張憲國 (2001),“永續的鑽石海岸-臺灣海岸災害防救與永續利用規劃”, 經濟部水資源局, 共 150 頁。
49. 許榮中 (2001),“漂沙淤塞漁港之防治方案研究”, 國立中山大學海洋環境及工程學系, 90 科技-1.4.5-漁-F4 (2)。
50. 王玉懷 (2002),「臺灣海峽流量知多少」, 科學月刊, 第三十三卷第二期, pp.132-136。
51. 詹森 (2002),「全方位探索臺灣海峽」, 科學月刊, 第三十三卷第二期, pp.127-131。
52. 劉康克 (2002),「認識臺灣附近的海洋環境」, 科學月刊, 第三十三卷第二期, pp.102-111。
53. 許榮中 (2002),「海岸新工法—人工岬灣與養灘綜合工法」, 海下技術月刊, 第 13 卷第 2 期, 第 35-48 頁。

54. 許榮中 (2002), “人工岬灣與養灘綜合工法” , 海岸新工法與海洋再生研討會, 中國土木水利工程學會、中華民國水下技術協會, 第 86-112 頁。
55. 莊文傑、江中權 (2002),「潮流與臺灣環島沿岸之水下沙體」, 第 24 屆海洋工程研討會論文集, 臺灣海洋工程學會, 梧棲, pp.579-586。
56. 莊文傑、江中權 (2002),「臺灣環島海域潮流引致之輸沙潛勢」, 第 7 屆海峽兩岸水利科技交流研討會, 美華水利學會 等, 台南, pp.621-628。
57. 洪開燁、蕭松山、林永德 (2003),「臺灣漁港淤沙問題之研究」, 第 25 屆海洋工程研討會論文集, 國立臺灣海洋大學, 第 743-748 頁。
58. 郭金棟 (2004),“海岸保護－海岸環境創造序論”, ISBN : 9576553814, 科技圖書, 共 439 頁。
59. 邱筱嵐 (2004),“以人工岬灣與養灘綜合工法應用於花蓮南北濱海岸”, 國立中山大學海洋環境及工程學系碩士論文, 共 108 頁。
60. 吳政忠 (2005),“離岸堤背後灘線長期變遷之數值模擬”, 國立中山大學海洋物理研究所碩士論文, 共 159 頁。
61. 農委會 (2005),“漁港防波堤減量工法可行性研究”, 行政院農業委員會漁業署。
62. 水利署 (2005),“新竹港南海岸環境保護及營造計畫規劃” , 經濟部水利署第二河川局, 共 244 頁。
63. 吳憲昌、蕭松山、岳景雲、許永誠、張君名 (2005),「漁港防波堤減量工法可行性研究」, 第 27 屆海洋工程研討會論文集, 臺灣海洋工程學會, 台中。
64. 莊文傑、江中權 (2005),“臺灣海峽的水深地形對潮波振盪之影響研究”, MOTC-IOT-93-H3DA004 基本研究報告, 交通部運輸研究

所港灣技術研究中心，共 438 頁。

65. 莊文傑、江中權 (2005)，「臺灣四周海域的潮波系統」，第 27 屆海洋工程研討會論文集，臺灣海洋工程學會，台中，pp.154~161。
66. 莊文傑、江中權 (2006)，「臺灣四周海域旋轉潮波系統之同潮圖」，第 28 屆海洋工程研討會論文集，國立中山大學，臺灣海洋工程學會，pp.325-330。
67. 吳南靖、朱志誠、張欽森 (2006)，「西子灣海岸環境營造計畫」，專題報導，中華技術，中華顧問工程司，第 34-49 頁。
68. 吳憲昌、陳陽益、許永誠 (2006)，「和美漁港防波堤減量工程特性之探討」，第 28 屆海洋工程研討會論文集，國立中山大學，臺灣海洋工程學會，第 895-900 頁。
69. 許永誠、林達三、易敬君 (2006)，「新竹漁港航道迂迴供砂人工養灘工程實務探討」，第 28 屆海洋工程研討會論文集，國立中山大學，臺灣海洋工程學會，第 663-667 頁。
70. 余孟娟、許榮中、朱志誠、陳建中、謝謂君、郭進慶 (2006)，「西班牙全國通用海岸模擬系統 SMC 在臺灣的應用」，第 28 屆海洋工程研討會論文集，國立中山大學，臺灣海洋工程學會，第 557-562 頁。
71. 莊文傑、曾相茂、江中權 (2006)，「潮汐資料之補遺及其在暴潮位萃取之應用」，第 28 屆海洋工程研討會論文集，國立中山大學，臺灣海洋工程學會，第 277-282 頁。
72. 莊文傑、林立青、張永欣 (2007)，「氣象潮位的萃取及其在暴潮預報的應用」，第 29 屆海洋工程研討會論文集，國立成功大學，臺灣海洋工程學會，第 207-212 頁。
73. 經濟部 (2008)，“海岸環境營造計畫(98~103 年)”，行政院 97 年 7 月 24 日院臺經字第 0970031448 號函核定，經濟部水利署，共 95 頁。

74. 莊文傑 (2008), “潮殘餘流與臺灣西海岸長期沖淤潛勢之研究(1/2) ——臺灣環島海域海洋數值模式之引進及建置”，MOTC-IOT-96-H3DA002 基本研究報告，交通部運輸研究所港灣技術研究中心，共 200 頁。
75. 農委會 (2009), “海岸新生之漁港疏濬及多功能漁港開發規劃”，行政院農業委員會漁業署，浩海工程顧問股份有限公司，共 227 頁。
76. 公路總局 (2010), “台 9 線南迴公路拓寬改善後續計畫環境影響說明書”，交通部公路總局第三區養護工程處。
77. 公路總局 (2010), “台 9 線南迴公路拓寬改善後續計畫環境影響說明書\_附件 A21 (養灘計畫書)”，交通部公路總局西部濱海公路南區臨時工程處。
78. 水利署 (2010), “台東海岸(尚武段)監測調查計畫(2/2)”，財團法人成大水利海洋研究發展文教基金會執行報告，經濟部水利署第八河川局，共 440 頁。
79. 莊文傑 (2009), “潮殘餘流與臺灣西海岸長期沖淤潛勢之研究(2/2) ——臺灣環島海域潮殘餘流之數值模擬”，MOTC-IOT-97-H3DA002 基本研究報告，交通部運輸研究所港灣技術研究中心，共 140 頁。
80. 莊文傑 (2010), 「臺灣環島海岸各主要河口與港口之潮差」，第 19 屆水利工程研討會論文集，第 K 1-7 頁。
81. 許泰文、許榮中、藍元志 (2010), 「動態人工岬灣應用於臺南高雄海岸之研究」，MOEAWRA0990225，水利署 99 年度委辦計畫成果發表會，第 1-12 頁。
82. 黃清哲、許泰文、吳立中 (2010), “運用潮位與衛星資料推估海平面變遷量技術之研發(2/2)”，MOEAWRA0990248，經濟部水利署，共 302 頁。
83. 許榮中 (2011), 「臺灣海岸環境營造的回顧與展望」，通識專題講

座：生態環境與人文關懷，共 12 頁。

84. 余孟娟 (2011)，“臺灣海岸防護與規劃系統的建置”，國立中山大學海洋環境及工程學系博士論文，共 184 頁。
85. 莊文傑、廖建明 (2011)，“臺灣鄰近海域洋流之模擬及其對近岸海流之影響評估(2/4)－臺灣鄰近海域洋流之模擬驗證與水動力特性探討”，MOTC-IOT-99-H3DA004 基本研究報告，交通部運輸研究所港灣技術研究中心，共 210 頁。
86. 廖建明、莊文傑、許泰文、楊文昌、陳聖詒 (2011)，「臺灣海域綜合潮流與洋流效應之海流數值模擬」，第 33 屆海洋工程研討會論文集，國立高雄海洋科技大學，臺灣海洋工程學會，pp.531-536。
87. 廖建明、莊文傑、許泰文、楊文昌 (2012)，“臺灣各國際商港海域綜合洋流與潮流效應之海流數值模擬”，MOTC-IOT-100-H3DB004a 基本研究報告，交通部運輸研究所港灣技術研究中心，共 409 頁。
88. 廖建明、莊文傑、許朝敏、陳思樺、高家俊 (2012)，「臺灣海域由海流引致之漂沙傳輸現象探討」，第 34 屆海洋工程研討會論文集，國立成功大學，臺灣海洋工程學會，pp.535-540。
89. 公路總局 (2012)，“台 9 線南迴公路拓寬改善後續計畫\_台東海岸養灘規劃評估”，艾奕康工程顧問股份有限公司總結報告，交通部公路總局第三區養護工程處。
90. 許榮中 (2012)，“斜向波浪作用於人工岬灣配合養灘之灘線與地形變化模擬”，行政院國家科學委員會專題研究計畫成果報告(精簡版)，pp.17。
91. 廖建明、許朝敏、莊文傑 (2013)，“臺灣環島近岸海域大尺度海流引致之輸沙潛勢評估”，MOTC-IOT-101-H3DB004a 基本研究報告，交通部運輸研究所，共 268 頁。
92. 莊文傑、廖建明、李俊穎 (2013)，“臺灣鄰近海域洋流之模擬及其

對近岸海流之影響評估(4/4)—臺灣近岸海域海流對海岸長期沖淤之影響”，MOTC-IOT-101-H3DA004b 基本研究報告，交通部運輸研究所，共 197 頁。

93. 張憲國、莊文傑、曾相茂 (2013)，「臺灣商港的主要天文潮汐與潮流的特性比較」，*海洋工程學刊*，第十三卷，第四期，第 393-410 頁。
94. 許泰文 (2013)，「海岸變遷的工程作為」，*地質季刊*，第 32 卷，第 4 期，第 48-51 頁。
95. 郭少谷、賴彥廷、朱志誠、廖學瑞、吳宏謀 (2013)，「潛堤配合人工養灘之定沙成效探討—以旗津海岸為例」，第 35 屆海洋工程研討會論文集，第 341-346 頁。
96. 內政部 (2013)，“永續海岸整體發展方案(第二期)”，行政院 102 年 2 月 8 日院臺建揆字第 1020002682 號函核定，內政部營建署，共 52 頁。
97. 經濟部 (2014)，“海岸環境營造計畫(104~109 年)”，行政院 103 年 7 月 7 日院臺經字第 1030038866 號函核定，經濟部水利署，共 131 頁。
98. 公路總局 (2014)，“台 9 線南迴公路拓寬改善後續計畫-安朔至草埔段養灘計畫場址之環境監測工作\_施工階段第一季監測報告”，交通部公路總局西部濱海公路南區臨時工程處。
99. 莊文傑、張憲國、曾相茂 (2014)，「臺灣七大商港海域之潮流橢圓特性」，*海洋工程學刊*，第十四卷，第三期，第 177-200 頁。
100. 莊文傑、李俊穎、藍文浩 (2014)，“全球暖化引致臺灣海域海面水位升降變動率之評估研究(1/4)—臺灣近岸潮位紀錄應用於平均海水位變動率之分析”，MOTC-IOT-102-H3DA004b 合作研究報告，交通部運輸研究所港灣技術研究中心，共 105 頁。
101. 曾相茂、何良勝、曾俊傑 (2015)，“103 年臺灣地區國際港附近

海域海氣象現場調查分析研究(2/4)"，交通部運輸研究所，  
MOTC-IOT-103- H2DA001a 基本研究報告，共 373 頁。

102. 簡仲和、郭晉安、黃建維、呂珍謀、呂學修、楊連洲 (2015)，「離岸潛沒突堤應用於海岸防護之理念與成效探討」，第 37 屆海洋工程研討會論文集，第 289-294 頁。
103. 張憲國、張高瑋、衛紀淮、何良勝，2015：「考慮風向分區與波浪分類下風速與波浪的迴歸分析」，第 37 屆海洋工程研討會論文集，第 581-586 頁。
104. 莊文傑、曾相茂 (2015)，「臺灣東海岸颱風長浪演化歷程之共通特性」，第 37 屆海洋工程研討會論文集，第 83-88 頁。
105. 莊文傑、曾相茂 (2016)，「東北季風期基隆港與臺中港長浪之關聯性」，第 38 屆海洋工程研討會，第 5-10 頁。
106. 張憲國、劉勁成、陳蔚瑋 (2016)，“臺灣主要港口附近海域混合波浪統計特性及推算模式建置研究 (4/4)”，*MOTC-IOT-105-H2DB001f* 合作研究報告，交通部運輸研究所，共 163 頁。
107. 郭少谷、賴彥廷、林螢俞、朱志誠、吳宏謀 (2016)，「海岸環境營造趨勢\_以高雄市旗津海岸為例」，專題報導，中華技術，第 109 期，第 114-133 頁。
108. 運研所 (2017)，“2016 年港灣海氣象觀測資料統計年報”，*MOTC-IOT-105- H2DA001e*，交通部運輸研究所，作者：蘇青和、李俊穎、蔡立宏、廖慶堂、蔣敏玲、衛紀淮、羅冠顯、林受勳、傅怡釧、陳鈞彥，共 218 頁。
109. 莊文傑、曾相茂 (2017)，「臺灣海域夏季颱風與冬季季風波浪之近岸觀測特性」，2017 天氣分析與預報研討會論文集，中央氣象局，第 5.7\_1-5 頁。
110. 莊文傑、曾相茂 (2017)，「臺灣海峽南段西南季風波浪之觀測

特性」，第 39 屆海洋工程研討會，第 89-94 頁。

111. 郭重言、林立青、藍文浩、莊文傑、李俊穎 (2017), “臺灣海域海平面上升之加速特性研究”，*MOTC-IOT-105-H3DB003a* 合作研究報告，交通部運輸研究所港灣技術研究中心，共 210 頁。
112. 審計部 (2017), “行政院農業委員會漁港建設方案與計畫執行情形”，審計部專案審計報告，共 47 頁。
113. 內政部 (2017a), “整體海岸管理計畫”，行政院 106 年 2 月 3 日院臺建字第 1060002429 號函核定，內政部營建署，共 195 頁。
114. 內政部 (2017b), “修正全國區域計畫”，內政部 106 年 5 月 16 日臺內營字第 1060806764 號公告，共 274 頁。
115. 內政部 (2017c), 「國土利用監測」，<https://www.nlsc.gov.tw/Home/MakePage/448?level=448>。
116. 水利署 (2017)，「臺灣海岸」，經濟部水利署，<http://www.wra.gov.tw/6950/7170/7356/7378/>。
117. 水規所 (2017)，「海岸概況」，經濟部水利署水利規劃試驗所，<https://www.wrap.gov.tw/pro12.aspx?type=0301000000>。
118. 氣象局 (2017)，「氣象百科」，交通部中央氣象局，<http://www.cwb.gov.tw/V7/knowledge/encyclopedia/me000.htm>。
119. 莊文傑 (2017), “近岸港口之淤積機制分析與防治對策研究”，*MOTC-IOT-106-H3DA002b* 自辦研究報告，交通部運輸研究所，共 220 頁。
120. 氣象局 (2018), “中華民國 105 年資料浮標觀測年報”，年刊，第 18 期，ISSN: 1607-288X，交通部中央氣象局，共 1820 頁。
121. 莊文傑、曾相茂 (2019), “颱風與季風波浪特性分析及其在瘋狗浪預警之應用”，*MOTC-IOT-107-H3DA001c* 自辦研究報告，交通部運輸研究所，共 187 頁。

122. 公路總局 (2019), “台 9 線南迴公路改善後續計畫-網路資訊平臺”，交通部公路總局西部濱海公路南區臨時工程處，  
<https://pweb.ceci.com.tw/vision/intro.aspx>。



## **附錄 1 期末報告審查簡報資料**

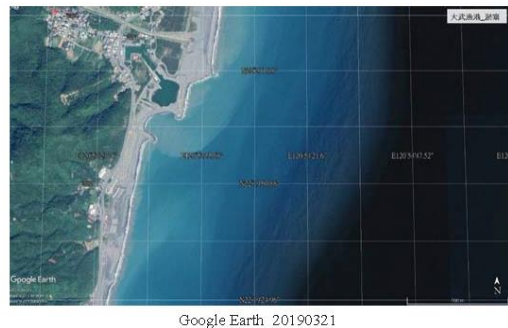
交通部運輸研究所/港灣技術研究中心  
108 年度政府科技計畫「港灣環境資訊整合及防災應用」期末報告審查

## 臺灣東部近岸港口外廓配置對毗鄰海灘沖淤之影響評估

■ 研究人員：莊文傑<sup>1</sup>  
<sup>1</sup>交通部運輸研究所港灣技術研究中心研究員

### 簡報內容

- 研究緣起與目的
- 研究方法
- 研究成果與討論
- 結論與建議



1

### 研究緣起

近岸港口淤塞；毗鄰海灘沖蝕 !!



2011/12/14\_原視晚間新聞



2019/11/18\_Google Earth



2011/12/13-公視晚間新聞



> 我們能做點什麼？!



2017/01/10-公視中畫新聞



## 研究緣起與目的

### ■ 問題與挑戰：

- ▣ **近岸港口**是指位在內灘或碎波帶內的漁港；  
(港口水深大多在-6米以內!)
- ▣ **近岸港口常淤塞：**
  - > 大粒徑底床質之表面沉積；
  - > 外廊堤後及港嘴之淤塞；
- ▣ 與港口毗鄰海灘嚴重沖蝕；
- ▣ 關聯近岸波浪碎波衝擊之複雜實務應用課題；



2019/11/18\_Google Earth

### ◆ 研究方法與目的：

- > 以臺東**大武漁港**及**長濱漁港**為例，
- > 結合網際網路資源，應用Google Earth之歷史圖像，
- > 調查既有港口外廊配置型態，
- > 檢視港口及毗鄰海灘之沖淤特性，
- > 再從近岸**波浪碎波後衍生之衝擊流**與人工構造物的交互干擾與影響層面著手，
- > 據以進行沖淤機制分析，從而**掌握關鍵控制因素**，
- > 並研提相關之改善、防治對策。



## 近岸港口淤塞狀況之觀察與思考

### ■ 觀察與思考：

- ◆ **近岸港口**規模普遍偏小，80%港口水深在-6公尺以內，  
→ 港口位在漂沙最活躍的碎波帶內！
- ◆ **大粒徑**之表面沉積與港嘴嚴重淤塞；  
→ **衝擊流速必定強勁！**型態獨特！
- ◆ 港口頻繁清淤疏濬；  
→ **經常性**之波、流衝擊作用！
- ◆ 港口外廊堤後淤積；而毗鄰海灘沖蝕；  
→ **波浪與港口外廊配置交互影響！**  
→ 不必然受河川輸沙及沿岸輸沙影響！



## 近岸海灘上波浪與碎波衍生之衝擊流

### ◆ 碎波、衝擊流與海灘坡度 (含碎波型態、碎波帶、輻射應力)：

#### ➤ 碎波指標：

Miche (1944)、McCowan (1894)、Goda (1975)

$$\frac{H_s}{L_o} = 0.142 \tanh \frac{2\pi h_b}{L_o}$$

$$\frac{H_b}{h_b} = 0.78$$

$$\frac{H_s}{L_o} = 0.17 \left[ 1 - \exp \left[ -1.5 \frac{\pi h_b}{L_o} (1 + 15 (\tan \beta)^2) \right] \right]$$

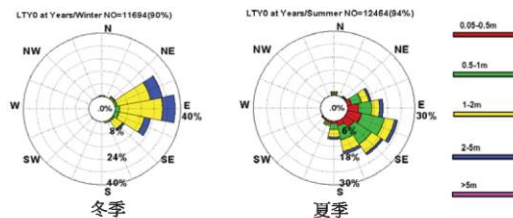
#### ➤ 碎波型態：

Battjes (1974)碎波相似參數 (surf similarity parameter)

$$\xi_o = \frac{\tan \beta}{\sqrt{H_o / L_o}}$$

$$\xi_b = \frac{\tan \beta}{\sqrt{H_b / L_o}}$$

碎波型態	碎波相似參數 $\xi_o$	碎波相似參數 $\xi_b$
溢出型碎波	$\xi_o < 0.46$	$\xi_b < 0.4$
捲浪型碎波	$0.46 < \xi_o < 3.3$	$0.4 < \xi_b < 2.0$
洶湧型碎波	$\xi_o > 3.3$	$\xi_b > 2.0$



臺東海域近15年來之波浪統計

資料來源：2016年海氣象觀測資料統計年報(12港域觀測波浪資料)，交通部運輸研究所。

#### ➤ 近岸流？(碎波帶內之斜向入射波浪)

≈ 波動前進剩餘動量或輻射應力梯度 (Longuet-Higgins & Stewart, 1964) ，具週期平均特性，較微弱 ( $u \leq 1.0 \text{ m/s}$ )！

#### ➤ 碎波衝擊流(沖刷帶上之上沖及下刷流速)!!

$$u > C_g \approx \sqrt{gh_b}$$

• 水粒子速度 ( $u_p$ ) 超越波浪能量傳播速度 ( $\sqrt{gh_b}$ )

$$h_b \approx 2 \text{ m}, u \approx 4.4 \text{ m/s}$$

• 隨碎波高之時空變動性而改變流速強度；甚強勁！可移運大粒徑底質！！

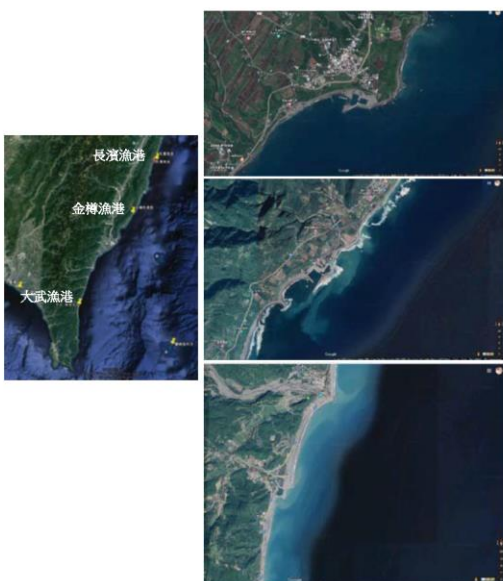
• 以深海示性波高 3.0 公尺；尖峰週期 10 秒為例，若近岸海灘坡度  $\tan \beta = 1/10$ ；則估算碎波相似參數  $\xi_0 = 2.281$ ，碎波型態為捲浪型，可推動之海灘底床卵石重量，依據 Hudson 覆堤消波塊重量公式(取  $K_D = 2.1$ )估算，約可達 7.58 公斤，換算為圓卵石之直徑約 17.6 公分，這與造成臺灣東部大武漁港及長濱漁港港口淤沙之大粒徑卵石甚符合!!!

5

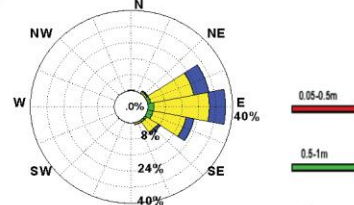
## 臺灣東部近岸港口既有港口配置

#### ➤ 著重港域靜穩度，港口外廓配置面對卓越波向(波浪正向入射)！

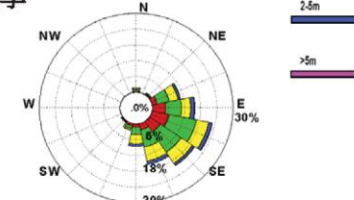
#### ➤ 遮蔽季風及颱風波浪侵襲而向西南開口！



冬季 LTY0 at Years/Winter NO=11694(90%)



夏季 LTY0 at Years/Summer NO=12464(94%)



臺東海域近15年來之波浪統計

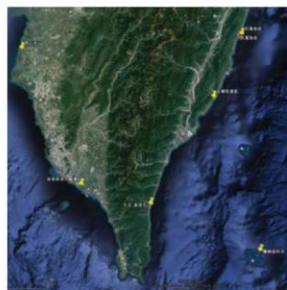
資料來源：2016年海氣象觀測資料統計年報(12港域觀測波浪資料)，交通部運輸研究所。

6

## 既有港口配置型態與毗鄰海灘防護設施

- 具有離岸堤及突堤複合型態！
- 歷經多次擴建！皆僅偏重考量港域靜穩度！
- 港口南防波堤內縮於東防堤端！
- 優勢輸沙方向未確認，北往南？南往北？
- 為增進港域靜穩度及防制海灘沖蝕，港口南側常構建突堤設施！

臺灣東部近岸港口外席配置對毗鄰海灘沖淤之影響評估



7

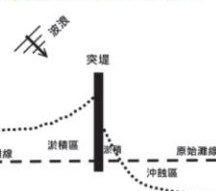
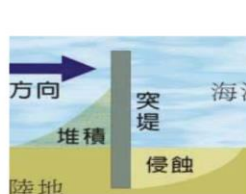
## 突堤配置與毗鄰海灘沖淤特性

### ➤ 突堤功用與「突堤效應」

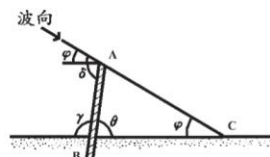
➤ 突堤(groins)，係為突出於海岸灘線之防浪、阻沙結構物，常用於海岸地形變遷控制及海灘侵蝕防護。

➤ 佈建後，對上下游海灘沖淤具長、短期影響，可應用堤側堆沙型態研判優勢波浪及輸沙方向！

臺灣東部近岸港口外席配置對毗鄰海灘沖淤之影響評估



➤ 據永井(1955)之試驗，為使沖刷及波力均較小，入射波與防沙堤之交角 $\delta$ ，以 $100^\circ \sim 110^\circ$ 時較適當； $120^\circ$ 以上則不佳。突堤之長度，以水中長度作衡量，並以灘線至碎波點距離之 $40\% \sim 60\%$ 為最有效設置距離。至於由多突堤組成之突堤群，其長度與間隔必須視預期蓄沙量而相互配合，一般L型與T型突堤之間隔，約為堤長之 $2.5 \sim 3.5$ 倍(郭，1988；郭，2001)。



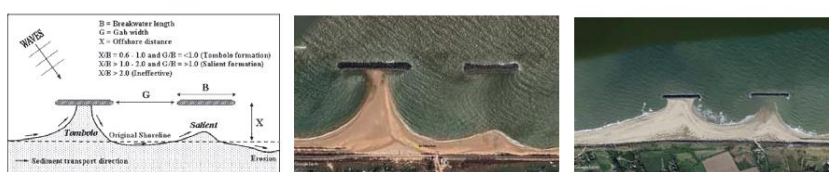
8

## 離岸堤配置與毗鄰海灘沖淤特性

### ➤離岸堤功用與「離岸堤效應」

➤離岸堤(detached breakwaters)，係約平行於海岸灘線之防浪、定沙結構物，國內外普遍應用於海岸地形變遷控制及海灘侵蝕防護。

➤佈建後，長期且經常對海灘沖淤具影響性，可應用堤後堆沙型態研判優勢波浪及輸沙方向！



➤國內現況之建置，普遍採用透水式，設置水深，一般在5 m以內：

➤在內灘區建置離岸堤，由於入射波浪受堤體遮蔽而於堤後形成透射區或繞射區，致使堤端兩側外與堤後的波高，具有強弱差異與高低落差，進而導致堤端外後側之海灘，因波浪在冲刷帶上所衍生強勁上沖、下刷衝擊流的作用而陳現沖蝕，同時，迫使被沖蝕的漂沙向衝擊流速較弱小之堤後區集中並堆積，終至形成突出於原海灘線的沙舌(salient) ( $\sim 0.3 < B/X_b < 1.3$ )，甚或是繫岸沙洲(tombolo) ( $\sim B/X_b > 1.3$ ) (Karambas, 2012)。

➤離岸堤後繫岸沙洲(tombolo)海灘型態控制(Environment Agency, 2010)

$$B/X > 2.8 - 1.6 \quad (X/X_b) \quad X/X_b \leq 1.25$$

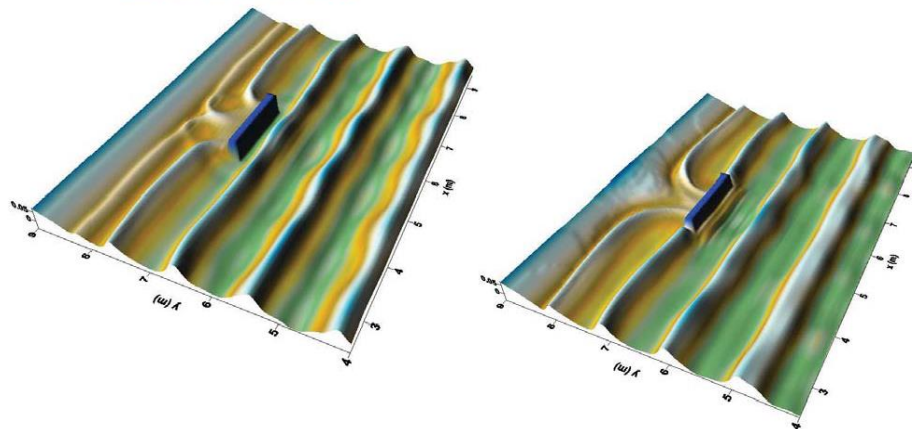
$$B/X > -10.2 + 8.8 \quad (X/X_b) \quad 1.25 < X/X_b \leq 2.0$$

9

## 離岸堤後的波場及衍生的流場特性

### ➤「離岸堤效應」\_波場

- 碎波帶內，正向入射波浪，近岸流弱！
- 沖刷帶上，即使波浪正向入射，仍保有強勁上沖及下刷之衝擊流速！



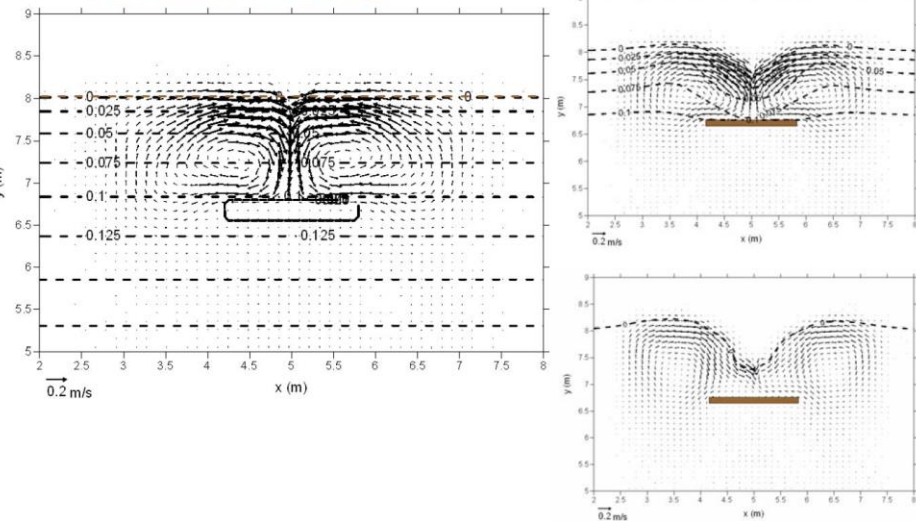
資料摘錄自：Karambas, Th. V. (2012) Design of detached breakwaters for coastal protection: Development and application of an advanced numerical model, *Coastal Engineering*.

10

## 離岸堤後的波場及衍生的流場特性

### ➤ 「離岸堤效應」\_流場

- 碎波帶內及沖刷帶上，即使波浪正向入射，持續仍有強勁上沖及下刷衝擊流速！



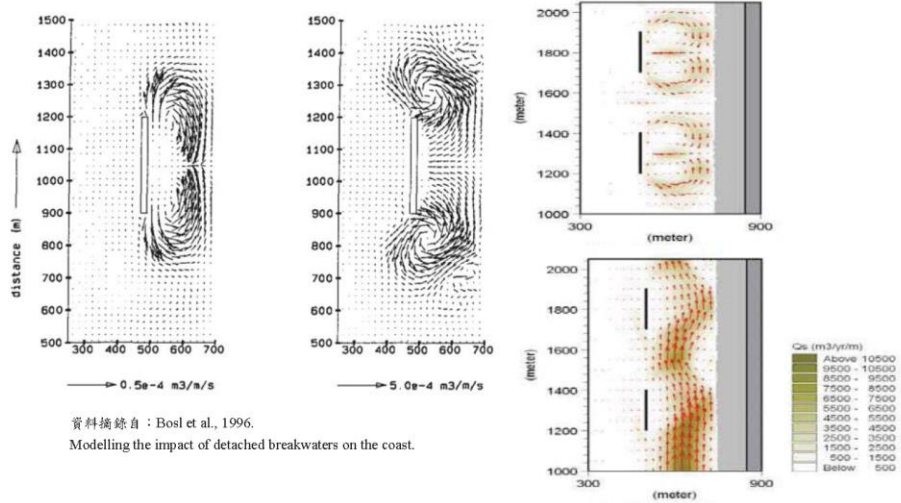
資料摘錄自：Karambas, Th. V. (2012) Design of detached breakwaters for coastal protection: Development and application of an advanced numerical model, *Coastal Engineering*.

11

## 離岸堤後的波場及衍生的流場特性

### ➤ 「離岸堤效應」\_輸沙型態

- 碎波帶內及沖刷帶上，即使波浪正向入射，漂沙仍持續受強勁衝擊流輸運！



資料摘錄自：Bosch et al., 1996.

Modelling the impact of detached breakwaters on the coast.

資料摘錄自：Environment Agency, UK. (2010)

12

## 長濱漁港淤塞與毗鄰海灘沖蝕機制分析

### ◆離岸堤效應(含季風及颱風波浪)：

- 半無限長離岸堤型態( $\frac{B}{X} \gg 1.3$ );
- 繫岸沙洲(tombolo)之堤後淤沙;
- 港口南防波堤(突堤)南側淤沙;
- 東向及東南東向優勢波浪;
- 北防沙堤北側無顯著淤沙;



長濱漁港\_離岸堤效應\_細平20120108.jpg

臺灣東部近岸港口外席配置對毗鄰海灘沖淤於之影響評估



長濱漁港\_離岸堤效應\_港口細平20130627.jpg



長濱漁港\_離岸堤效應\_港口細平20170706.jpg

13

## 大武漁港淤塞與毗鄰海灘沖蝕機制分析

### ◆離岸堤效應(含季風及颱風波浪)：

- 半無限長離岸堤型態( $\frac{B}{X} \gg 1.3$ );
- 繫岸沙洲(tombolo)之堤後淤沙;
- 港口南防波堤(突堤)南側淤沙;
- 東向及東南東向優勢波浪;
- 北防沙堤北側有顯著淤沙;



大武漁港\_離岸堤效應\_細平20111020.jpg

臺灣東部近岸港口外席配置對毗鄰海灘沖淤於之影響評估



大武漁港\_離岸堤效應\_港口細平20121014.jpg



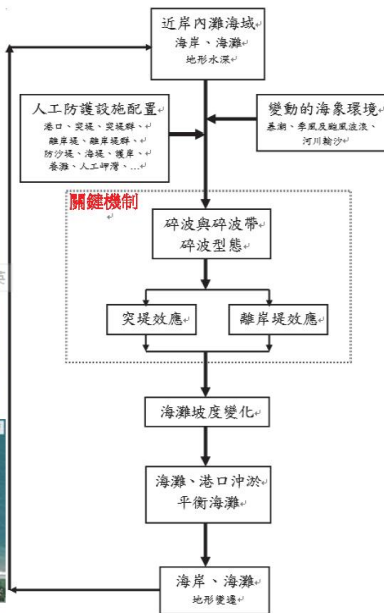
大武漁港\_離岸堤效應\_港口細平20181202.jpg

14

## 近岸港口淤塞與毗鄰海灘沖蝕之總合機制

➤化繁為簡！

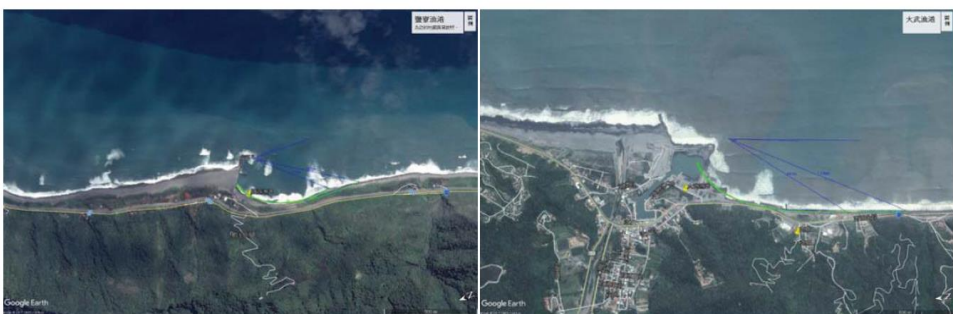
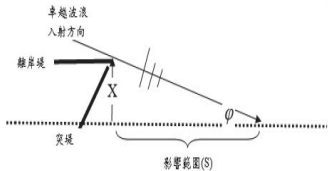
➤大處著眼；小處著手！



15

## 港口外廓配置對毗鄰海灘沖淤之影響

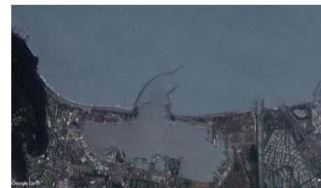
- ◆ 與區域性無港口外廓配置之自然海灘對照；
- ◆ 純就波浪之衝擊影響， $\varphi > 30^\circ$ ， $S_{max} < 2X$ 。



16

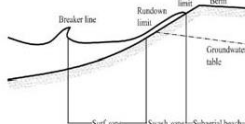
## 港口淤塞與毗鄰海灘沖蝕之防治建議與對策

- 縣政府、公路總局等相關政府單位，應在規劃、擴建或維護階段，共同針對區域優勢波浪之衝擊作用，並著重於「突堤效應」及「離岸堤效應」之減小與避免；
- 掌握前灘地形、底床質、海灘坡度及波浪碎波型態，藉以詳實掌握近岸灘區之波浪衝擊力以及波浪對漂沙的輸運作用；
- 「突堤效應」對港口毗鄰海灘沖淤具長、短期的影響，為減少「突堤效應」，港口外廊設施應改採可有效減緩波浪衝擊之側斜式及順應漂沙輸運之圓弧型態配置，藉以維持海灘漂沙輸送途徑之通暢！
- 「離岸堤效應」對港口淤塞及毗鄰海灘沖蝕具有長期且經常性的影響，為減少「離岸堤效應」，港口外廊設施應適度實施減量工程，並應對堤端後側形朔繁岸沙洲之波浪衝擊流，作有效之截斷與導引！



## 結論與建議

- ◆ 近岸港口淤塞與毗鄰海灘沖蝕是波浪、流(?)與人工構造物的交互干擾課題：
- 主要影響因素：
  - 季風及颱風期具時、空變動性暴潮巨浪(> 1.5 m ?)作用；
  - 非均勻性海灘坡度與不定常碎波型態、碎波帶變動及碎波在沖刷帶上之強勁上沖(runup)、下刷(rundown)衝擊流作用；
  - 既有海岸防護設施及港口外廊配置型態影響；
  - 底床質粒徑、河川輸沙(?) ...
- 關鍵機制：
  - 固碎波帶內波浪對港口外廊配置之直接衝擊流所引致「突堤效應」與「離岸堤效應」之複合作用。
- 防治建議：
  - 縣政府、公路總局等相關政府單位，應共同努力減小與避免「突堤效應」及「離岸堤效應」，特別應對堤端後側形朔繁岸沙洲之波浪衝擊流，作有效之截斷與導引！



交通部運輸研究所/港灣技術研究中心  
108年度政府科技計畫期末報告審查



敬請  
指教、賜正！

研究人員：  
莊文傑



## **附錄 2 期末報告審查會議紀錄及委員意見處理表**

交通部運輸研究所港研中心 108 年度合作研究計畫

MOTC-IOT-108-H3DA001c

臺灣東部近岸港口外廓配置對毗鄰海灘沖淤之影響評估  
期末審查會議紀錄

壹、時間：民國 108 年 11 月 20 日（星期三）下午 3 時 00 分

貳、地點：本所港研中心二樓簡報室

參、主持人：本所港研中心李俊穎科長

記錄：蔡世璿

肆、出席單位及人員：

服務單位	姓名	簽名
中央氣象局海象測報中心	林燕璋委員	林燕璋
特聘專家學者	林銘崇委員	林銘崇
公路總局第三區養護工程處	余兆興委員	余兆興
臺東縣政府農業處	許家豪委員	許家豪
港研中心	李俊穎委員	李俊穎
港研中心計畫主持人	莊文傑研究員	莊文傑
	蔡世璿助理研究員	蔡世璿

伍、主席致詞：略。

陸、計畫主持人簡報：參見附錄一。

柒、審查委員意見：參見後附委員意見處理表。

捌、主席結論：

1. 經出席委員同意，本計畫期末報告內容審查通過。
2. 報告書內容請依審查委員意見修正，並依規定期程提出報告書印製申請。

玖、散會(下午 5 時 15 分)

審查委員評審意見與建議	處理情形
<p><b>一、林銘崇 委員</b> (評分：88)</p> <p>1. 本計畫係以概念性評估說明為主，說明詳盡，研究成果具參考價值。</p> <p>2. 圖 4-32 (p.4-60) 之突堤與離岸堤組合效應圖，可否更具體表示其模式圖？</p>	<p>感謝林委員的出席審查。所賜教指正之意見，回復並處理如后：</p> <ol style="list-style-type: none"> <li>感謝肯定。本研究對於座落在臺灣東部之長濱漁港、金樽漁港及大武漁港造成港口之淤塞原因，雖僅進行概念性評估，但所研提之「離岸堤效應」，應可廣泛應用於闡明臺灣東部近岸港口之港口淤塞機制，並提供改善策略。</li> <li>原圖 4-32 已修訂如圖 4-41，主要應用於說明具離岸堤或突堤型態之近岸港口外廓配置對卓越波向入射波浪之遮蔽影響範圍，已配合第 4.3 節內文及圖說作更具體修訂。</li> </ol>
<p><b>二、林燕璋 委員</b> (評分：83)</p> <p>1. 本計畫利用 Google 圖資使用公眾網路上之資源進行計畫研究工作，並將此列為科技整合創新立意甚佳的解決方案，惟此圖資更新週期是否符合計畫標的變化需求可進一步說明，又依據本計畫研究成果，建議可使用推廣網路資源於各項海岸合宜監測標的物，研擬調適策略與施行。</p> <p>2. 本計畫完整收集臺灣附近海域波潮流資料，可對近海海象背景有清晰圖像，有助海岸相關建設決策依循，又廣泛收集相關研究成果佐證推論說明；唯報告中大量照片（港區）與報告文字說明連結稍少，建議精實照片個案加強文字說明以利閱讀參考。</p> <p>3. 關於報告書季風之描述，如：1020mb 與季風加強、海陸風分布、描述西南季風、波浪與長浪、瘋狗浪等均為概括描述，建議加強於計畫定義分野，增加文字說明。</p>	<p>感謝林委員的出席審查。所賜教指正之意見，回復並處理如后：</p> <ol style="list-style-type: none"> <li>感謝委員的肯定及提示與指教。本研究整合科技，推廣網路資源應用，主要即在依據 Google Earth 之歷史圖資，評估探討臺灣東部近岸港口造成港口長年淤塞之原因，進而針對「離岸堤效應」研提具體之海岸保護調適策略，圖資更新週期確可符合計畫目標需求。</li> <li>感謝委員的肯定及提示與指教。本研究應用大量圖表與照片，主要在以較大的視野範圍(尺度)，提供臺灣近岸海域詳細的海氣象條件、海岸環境與近岸港口配置實況，再綜合應用於評估探討臺灣近岸港口造成港口長年淤塞之原因。相關圖、表與照片之說明，已於內文強化補充。</li> <li>感謝委員的提示與指教。本研究對於季風、海陸風、波浪、長浪與瘋狗浪之論述，主要係為瞭解與掌握臺灣近岸海域之實際海氣象條件，主要目的仍集中在進行臺灣東部近岸港口外廓配置對毗鄰海灘沖淤之影響評估，並研提相關之防治對策。</li> </ol>

<p><b>三、余兆興 委員</b> (評分：87)</p> <p>1. p.4-34 所提臺灣東部近岸港口淤塞與毗鄰海灘沖蝕之主要致因與關鍵機制，綜整如圖 4-31，惟圖 4-31 核心應於虛線區域之碎波型態、突堤效應及離岸堤效應；核心區域建議可節錄報告中相關分析說明以補強之。</p> <p>2. p.4-66 適用之沖淤防治對策：</p> <ul style="list-style-type: none"> <li>i. 有關「突堤效應」及「離岸堤效應」之避免，簡易是否可結合報告 p.4-13~p4.31 相關理論分析內容，具體建議如何避免相關配置作為，又若避免上述效應，海灘沖刷部分如何處理亦建議加以說明。</li> <li>ii. 有關圓弧形態配置突堤，藉此維持海灘漂沙輸送之順暢，其理論基礎建議可再補充於報告內相關分析章節；又依 p.4-13 所提 <math>\delta</math> 交角於圓弧突堤如何確定 <math>\delta</math> 值，亦建議加以補充說明。</li> </ul> <p>3. p.4-67 所提大武漁港建議採行之補救防治對策，僅以圖 4-52 示意，建議以文字具體說明圖示增作之突堤及離岸堤配置之規模及考量依據。</p>	<p>感謝余委員的出席審查。所賜教指正之意見，回復並處理如后：</p> <ol style="list-style-type: none"> <li>1. 感謝提示及指教。原圖 4-31 已修訂為圖 4-40，該圖之提供，主要目的係在綜整本研究全文之論述，並精簡闡明有關臺灣近岸港口造成港口淤塞及毗鄰海灘沖淤之主要致因與關鍵機制。詳細的因果分析說明，可參見第四章全文。</li> <li>2. 感謝提示及指教。</li> <li>ii. 本研究有關「突堤效應」及「離岸堤效應」之理論分析及相關近岸港口外廓配置對毗鄰海灘沖淤之影響及防治處置對策，請依據並應用第 4.1 節及第 4.2 節內文所綜整之經驗公式，並請參見第 4.3 節及第 4.4 節內文之實際範例說明。</li> <li>iii. 海岸上建置突堤之功用與一般配置之準則，相關理論基礎，詳細參見本研究 4.1.3 節內文之闡述。惟本研究對於避免或降低建置突堤所引致之「突堤效應」，係針對近岸港口外廓防波堤配置對下游灘區所造成之必然沖蝕作用而論，因而建議外廓防波堤配置應採圓弧型態，俾使波浪與突堤(防波堤)之交角 <math>\delta</math> 隨離岸距增加而緩和降低(參見圖 4-9)，主要目的，即在維持近岸漂沙輸送之順暢與平衡。</li> <li>3. 感謝提示及指教。本研究對於避免或降低「離岸堤效應」，係以大武漁港現有的外廓配置為例，作示意性之補救防治對策建議，參見圖 4-57 所示。相關具體配置規模說明，已於第 4.4 節內文作補述說明，致於其有效性，則有待後續進一步辦理數值模擬或直接按建議配置實行作確認(至少應可有效)</li> </ol>
---	--

	改善目前之最壞情況!)。
<p><b>四、許家豪 委員</b> (評分：89)</p> <p>1. 在章節 1.3 工作項目中檢選臺東縣長濱及大武漁港作討論，所以建議第二章海氣象的各個項目中，可以增加對臺灣東南海域的論述，增加聯結。例如：2.6.1 節水下沙體部分。</p> <p>2. 第二章臺灣海域的海氣象環境，係以大尺度分析各項海氣象資料，其中，p.2-56 之章節應改為 2.6.2 輸沙潛勢中，敘述東部海域由南至北，可是與大武長濱所作漂沙調查由北往南不同，可檢討在文字內補充說明。</p> <p>3. p.3-25，台東縣海岸，文字建議修改：            i. 成功“鎮”。            ii. 大武以南侵蝕。            iii. 公告名稱：大武漁港。            iv. 尤聰光、彭杏珠報導妥適性。</p> <p>4. 圖 4-13 上圖，為金樽陸連島，為自然形成，侵蝕中。</p> <p>5. 圖 4-46、4-47、4-52，圖都與現況不相同，建議找新圖。</p>	<p>感謝許委員的出席審查。所賜教指正之意見，回復並處理如后：</p> <p>1. 感謝提示及指教。本研究第二章關於臺灣環島海氣象之綜合論述，主要係為瞭解與掌握臺灣近岸海域之實際海氣象條件，俾進行臺灣東部近岸港口外廓配置對毗鄰海灘沖淤之影響評估，相關臺灣東南海域的海象，特別是水下沙體，已於內文強化評述。</p> <p>2. 感謝提示及指教。第 2.6.2 節編序已修訂。關於東部海域之輸沙潛勢，本研究係假定：若潮殘餘流為近岸輸沙之主要動力，則從圖 2-29 及第 2-60 頁第(i)項內文可見，在臺灣東部海岸，整體的輸沙潛勢甚微小，潮殘餘流的運移作用應微不足道，故臺灣東部海岸的侵蝕與輸沙優勢方向，主要將取決於當地之卓越波浪作用。至於大武、長濱之漂沙，其優勢方向，可參見第 4 章內文論述，由近岸港口配置所複合造成的「離岸堤效應」與「突堤效應」作綜合判定。</p> <p>3. 感謝提示及指教。關於台東縣海岸近岸港口之記敍，已作檢視修訂。至於媒體報導資訊之妥適性，因只是引敍該媒體記者之個人觀察與瞭解，對於本文之研究目的，應不致於造成誤導與影響。</p> <p>4. 圖 4-13 所示之金樽陸連島，已於圖說敍明，並於第 4.2 節內文說明其成因。感謝提示其目前之沖淤狀況。</p> <p>5. 原圖 4-46、4-47、4-52，已更新替換為圖 4-49、圖 4-50、圖 4-51 及圖 4-57，原圖之引用係以臺東大武漁港歷史圖像為例，應用靜態岬灣灘線，以 2 倍及 1 倍之不同離岸距離，評估不同時期如：2000 年與 2011 年「離岸堤效</p>

<p>6. 感謝中心對東部海域漁港關心，未來如有資料蒐集需要地方政府協助的地方，可洽臺東縣政府農業處。</p>	<p>應」對堤後毗鄰海灘之沖蝕影響範圍。</p> <p>6. 感謝提示及惠允協助。現階段本研究有關臺東海岸長濱漁港、金樽漁港、大武漁港之港口淤塞機制分析與外廓配置對毗鄰海灘沖淤之影響評估結果，仍建請審酌參採，並期盼對貴處日後推行改善對策有實質助益。</p>
<p><b>五、李俊穎 委員</b> (評分：85)</p> <p>1. 計畫內容充分蒐集相關文獻及彙整相關成果，可提供做為台灣周邊整體海象環境供參考。</p> <p>2. 所提出 <math>S_{max} \leq 2X</math> 為計劃內重要論述，建議加以補述。</p> <p>3. 所提出大武漁港內防波堤延伸目的為何？建議可多加補充說明。</p>	<p>感謝李委員的出席審查。所賜教指正之意見，回復並處理如后：</p> <p>1. 感謝委員的肯定。本研究自期能將研究成果廣為散布、分享，藉以促進對臺灣近岸港口實質發生港口淤塞機制的瞭解，並正確掌握與推行有效的改善對策。</p> <p>2. 感謝肯定。本研究分析及驗證突堤及離岸堤之實際配置準則，再應用近岸波浪之淺化及繞射現象，綜整如圖4-41，提出具離岸堤或突堤型態之近岸港口，其外廓配置對卓越波向入射波浪之遮蔽影響範圍，最大應不會高於2倍離岸堤距，即應符合 <math>S_{max} \leq 2X</math>。相關說明已於內文強化論述。</p> <p>3. 感謝建議。基於本研究成果，可判定「離岸堤效應」及「突堤效應」之複合作用，係為大武漁港現況造成港口淤塞及毗鄰海灘沖蝕之主要致因，因此，對於港口淤塞及毗鄰海灘沖蝕之防治對策，建議可採行將內防波堤作圓弧型態延伸之目的，係為應用「突堤效應」，截斷與導引外防波堤後側因「離岸堤效應」而營造繫岸沙洲之波浪沖擊流，並攔阻直接向港口及航道輸運之漂沙。相關建議之防治措施與改善對策，初步規劃之示意配置，如圖4-57所示，相關補充說明，請參見第4章內文。</p>